

كيف يعمل التصوير بالرنين المغناطيسي؟

مقدمة عن فيزياء وعمل التصوير بالرنين المغناطيسي

تأليف

دومينيك واشوبت د. كوكيلور بوريت مارينسك

شارك في الطبعة الثانية

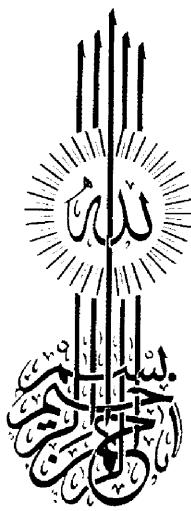
ج. ج. فروهيلش د. كانز ك. ب. بروسما

ترجمة

د. ناصر محمد عبدالسلام عمر د. حسن فؤاد محمد السيد







كيف يعمل التصوير بالرنين المغناطيسي؟

مقدمة عن فيزياء وعمل التصوير بالرنين المغناطيسي

How Does MRI Work?

An Introduction to the Physics
and Function of Magnetic Resonance Imaging

تأليف

بوريت مارينسك

Borut Marincek

فيكتور د. كوكلي

Victor D. Kochli

دومينيك واشوبت

Dominik Weishaupt

شارك في الطبعة الثانية

ج.م. فروهيلش، د. كانز، ك.ب. بروسمان

J.M. Froehlich, D.Nanz, K.P. Pruessmann

ترجمة

الدكتور / حسن فؤاد محمد عبد السلام عمر

أستاذ الهندسة الحيوية الطبية السيد

قسم العلوم الطبيعية

أستاذ الهندسة الحيوية الطبية المشارك -

كلية المجتمع في الرياض - جامعة الملك سعود

قسم العلوم الطبية التطبيقية

كلية المجتمع في الرياض - جامعة الملك سعود

النشر العلمي والمطباعي - جامعة الملك سعود

ص.ب ٧٨٩٥٣ - الرياض ١١٥٣٧ - المملكة العربية السعودية



جامعة الملك سعود، ١٤٣٢هـ (٢٠١١م) (ح)

هذه ترجمة عربية مصرح بها من مركز الترجمة للكتاب:

How Does MRI Work?

by: Dominik Weishaupt, Victor D.Kochli, and Borut Marincek

© Springer-Verlag Berlin Heidelberg 2003,2006

فهرسة مكتبة الملك فهد الوطنية أثناء النشر

كيف يعمل التصوير بالرنين المغناطيسي؟ مقدمة في فيزياء
و عمل التصوير بالرنين المغناطيسي . / دومينيك واشوبت ؛ فيكتور
كوخلي ؛ بوريت مارينسك ؛ حسن فؤاد السيد ؛ ناصر محمد
عمر - الرياض، ١٤٣١هـ

٢٥٤ ص ٢٤×١٧٤

ردمك: ٩٧٨-٩٩٦٠-٥٥-٧٢٤-٣

- ١- التصوير بالأشعة ٢- الرنين النووي المغناطيسي - أجهزة ومعدات
أ- كوخلي ؛ فيكتور (مؤلف مشارك) ب- مارينسك ؛ بوريت (مؤلف مشارك)
ج- السيد، حسن فؤاد (مترجم) د- عمر، ناصر محمد (مترجم) هـ- العنوان

١٤٣١/٩١٦٠

ديوي ٦١٦,٠٧٥٤٨

رقم الایداع: ١٤٣١/٩١٦٠

ردمك: ٩٧٨-٩٩٦٠-٥٥-٧٢٤-٣

حكمت هذا الكتاب لجنة متخصصة شكلها المجلس العلمي بالجامعة، وقد وافق المجلس
العلمي على نشره، بعد اطلاعه على تقارير المحكمين في اجتماعه الخامس عشر للعام الدراسي
١٤٣١هـ المعقود بتاريخ ١٤٣١/٤/١٣هـ الموافق ٢٠١٠/٣/٢٩م.



مقدمة المترجمين

على الرغم من التطور الملحوظ في ترجمة العديد من الكتب العلمية إلى اللغة العربية إلا أن مكتبتنا العربية مازالت تفتقر إلى المراجع العلمية في كثير من الموضوعات ولا سيما المتخصص منها. ونظراً للتطور السريع في مجال التصوير بالرنين المغناطيسي، أصبح من الضروري أن يواكب ذلك مزيد من الترجمة والتأليف في هذا المجال.

أن حاسنا لترجمة كتابنا هذا، إنما يرجع في المقام الأول إلى أهميته البالغة ليس للمتخصصين في الرنين المغناطيسي أو فيزيائي الرنين المغناطيسي، ولكنه لطلابنا ولكل المهتمين بتقنية التصوير بالرنين المغناطيسي الذين يتطلعون لمقدمة سهلة لفهم أساسيات التقنية النمطية في بداية تدريسيهم على التصوير بالرنين المغناطيسي. يتضمن هذا الكتاب مقدمة عن فيزياء ونظرية عمل التصوير بالرنين المغناطيسي والتي أصبحت من التقنيات الهاامة في مجال التشخيص الإكلينيكي. هذا فضلاً عن تناوله - بسهولة وعمق - للمبادئ الأساسية اللازمة لفهم تقنية التصوير بالرنين المغناطيسي. كما تضمن الكتاب فصلاً عن تصوير الأوعية الدموية والقلب. بالإضافة لذلك، فصلين عن تقنية إخماد الدهون وتصوير الرنين المغناطيسي الإكلينيكي بالمجالات المغناطيسية العالية.

وعلى ذلك، فلا يسعنا إلا أن نتوجه بالدعاء إلى الله العلي القدير بأن تكون قد وفقنا في ترجمة هذا الكتاب على نحو يحقق فيه الإفادة العلمية المرجوة، وأن يكون

إضافة يعتد بها - في مجال التخصص - للمكتبة العربية. ونود في هذا السياق أن نشكر مركز الترجمة بجامعة الملك سعود على إتاحة الفرصة لإجراء هذا العمل وتوفير المناخ المناسب لذلك.

وإذ نقدم هذا العمل المتواضع فإننا في الوقت نفسه نرحب بأي اقتراح موضوعي من شأنه أن يقدم إضافة مفيدة إلى هذا العمل.

والله من وراء القصد وهو الهدى إلى سوء السبيل،

المترجمان

مقدمة المؤلفين

إنه لمن دواعي سعادتنا أن نقدم هذه الطبعة الإنجلizية الكاملة والمنقحة من كتابنا، "كيف يعمل التصوير بالرنين المغناطيسي؟ مقدمة عن فيزياء ووظيفة التصوير بالرنين المغناطيسي" بعد ستين فقط من نشر الطبعة الإنجلizية الأولى. إننا سعداء خاصة أن الكتاب الدراسي التقديمي الذي عرضناه قد لاقى استحسان عظيم من قبل العالم المتحدث باللغة الإنجلizية وليس فقط في الأقطار المتحدثة بالألمانية. لقد كان هذا النجاح هو الحافز العظيم لنا لكي نحسن ونطور كتابنا. ولهذا السبب، فإننا نقدم الآن الطبعة الثانية. لقد تم مراجعة جميع فصول الكتاب وتطويرها بدقة لكي تحتوي على آخر التطورات في تقنية التصوير بالرنين المغناطيسي دائمة التغير والتطوير. فصل تصوير القلب والأوعية الدموية، بالذات، تم تطويره وزيادته. إننا نعبر عن شكرنا العظيم للدكتور دانييل دانز مؤلف هذا الفصل. بالإضافة لذلك، تم إضافة فصلين كاملين عن: "تقنية إخاد الدهون Fat Suppression Techniques" و "تصوير الرنين المغناطيسي الإكلينيكي بال المجالات العالية High Field Clinical MR Imaging".

على الرغم من هذه الإضافات، فإن القارئ المستهدف لكتابنا يظل كما هو: إنه ليس كتاباً للمختصين في الرنين المغناطيسي أو فيزيائي الرنين المغناطيسي، ولكنه لطلابنا، ولمجموعتنا، وتقنيتنا، إنه باختصار لكل المهتمين بالتصوير بالرنين المغناطيسي الذين يتطلعون لمقدمة سهلة الفهم للأساسيات التقنية في بداية تدريتهم على التصوير بالرنين المغناطيسي.

إن الطبعة الإنجليزية الثانية المقدمة هنا تظهر بالتوالي مع الطبعة الألمانية الخامسة الكاملة والمنقحة.

إن المؤلفين ليعبّرون عن شكرهم العظيم للدعم المقدم من أشخاص عديدين والذين بدون مشاركتهم ما كانت الطبعات الألمانية والإنجليزية من كتابنا لتكون ممكناً. في البداية وقبل كل شيء، فإننا نشكر قراءنا، الذين اشتروا وقرءوا النسخ الأولى من الكتاب وقدمو لنا التعليقات الشفوية والمكتوبة مع المقتراحات المهمة للتحسين.

والشكر واجب أيضاً مقدماً لكل من الدكتور كلاس بروسمان والدكتور جوهانس م فريهيلتش لمقدماً لهم الممتازة للتصوير المتوازي وسائل التباهي المستخدمة في الرنين المغناطيسي.

الشكر الخاص لترجمتنا، بيترنا هيروينج التي بمعرفتها العالية وعنایتها العظيمة ترجمت كل النص وقدمت نصائحها الغالية في تجهيز الطبعة الجديدة.

في النهاية نود أن نتقدم بالشكر لسبرنجر فيرلاج، وبالذات الدكتور يوهان، وماكهوج دبليو، ودكتور إل روتنجر، لتعاونهم.

عن المؤلفين

الدكتور الطيب دومينيك واشوبت

يناير ٢٠٠٦

المحتويات

٩	مقدمة المترجمين
٩	مقدمة المؤلفين
١٠	المختصرات
١١	الفصل الأول: الدوران وظاهرة الرنين المغناطيسي النووي
١٢	المراجعة
١٣	الفصل الثاني: التراخي
١٤	(١) التراخي الطولي T1
١٥	(٢) التراخي المستعرض: *T2/T2
١٦	المراجعة
١٧	الفصل الثالث: تباين الصورة
١٨	(١) زمن التكرار TR والوزن T1
١٩	(٢) زمن الصدى TE والوزن T2
٢٠	(٣) التشبع عند أزمة التكرار القصيرة
٢١	(٤) زاوية الانقلاب (زاوية المقدمة)
٢٢	(٥) التشبع المسبق
٢٣	(٦) نقل المغنة
٢٤	المراجعة

الفصل الرابع: اختيار الشريحة والتشغير المكاني	٢٩
(٤) التشغير المكاني ثلاثي الأبعاد	٣٥
..... الفضاء-K	٣٦
الراجع	٣٧
الفصل الخامس: العوامل المؤثرة في نسبة الإشارة للضوابط	٣٩
(١) البكسل والفوكلل والمصفوفة	٤٠
(٢) سifik الشريحة وعرض المجال للمستقبل	٤١
(٣) مجال الرؤية والمصفوفة	٤٤
(٤) عدد الإثارات	٤٩
(٥) معاملات التصوير	٤٩
(٦) شدة المجال المغناطيسي	٥٠
(٧) الملفات	٥٠
..... (١) ملفات الحجم	٥٠
..... (٢) ملفات السطح	٥١
..... (٣) ملفات داخل التجويف	٥١
..... (٤) ملفات صف الطور	٥١
الراجع	٥٤
الفصل السادس: ماسح الرنين المغناطيسي	٥٥
(١) المغناطيس	٥٦
(٢) نظام الانحدار	٥٩
(٣) نظام الترددات الراديوية	٦٠
(٤) نظام الحاسب	٦٠
الراجع	٦١

الفصل السابع: تتابعات النبضات الأساسية ٦٣	
(١) تتابعات الصدى المغزلي ٦٤	
(٢) تأثير الدم الأسود ٦٦	
(٣) التصوير متعدد الشرائح ٦٧	
(٤) تتابعات استرداد الانعكاس ٦٨	
(٥) تتابعات استرداد انعكاس T1 القصير ٦٩	
(٦) تتابعات الاسترداد الانعكاسي للسوائل المضمحة FLAIR ٧٠	
(٧) تتابعات انحدار الصدى ٧٠	
(٨) تتابعات الصدى المتعدد ٧٤	
المراجع ٧٦	
الفصل الثامن: تتابعات النبضات السريعة ٧٧	
(١) تتابعات الصدى المغزلي السريعة أو الدوامية ٧٨	
(٢) تتابعات الصدى المغزلي السريع ذو الطلقة الواحدة ٧٩	
(٣) تتابعات الاسترداد العكسي السريع أو الدوامي ٨٠	
(٤) تتابعات انحدار الصدى السريعة ٨١	
(٥) تتابع تصوير الصدى المستوي ٨١	
(٦) التتابعات المهجنة ٨٢	
(٧) تتابع الانحدار وصدى المغزل ٨٣	
(٨) التتابعات الحلزونية ٨٤	
(٩) زمن الصدى وتبالين T2 في التتابعات السريعة ٨٤	
المراجع ٨٥	
الفصل التاسع: تقنيات التخلص من إشارة الدهون ٨٧	
(١) تصوير الإزاحة الكيميائية ٨٧	
(٢) الاختيار الترددية لتشييع الدهون ٩٠	

٩١	(٩,٣) الاسترداد العكسي لـ T1 القصير
٩٢	(٤,٩) التشبع المسبق الطيفي مع الاسترداد العكسي
٩٣	الفصل العاشر: التصوير المتوازي
٩٣	(١٠,١) خلفية عن الموضوع
٩٣	(١٠,٢) أساسيات التصوير المتوازي
٩٥	(١٠,٣) متطلبات خاصة
٩٦	(٤) تطبيقات
٩٧	المراجع
٩٩	الفصل الحادي عشر: تصوير القلب والأوعية الدموية
١٠٠	(١١,١) تصوير الأوعية
١٠٠	(١١,١,١) تصوير الدم المضيء
١١٧	(١١,١,٢) التصوير الأسود للدم
١٢٠	(١١,١,٣) تصوير الرئتين المعناططيسي للأوعية بالتحليل الزمني
١٢١	(١١,٢) التصوير الموزون بالرش
١٢٤	(١١,٣) التصوير الموزون بالانتشار
١٢٨	(١١,٤) تأثير التباين المعتمد على مستوى أوكسجين الدم BOLD في التصوير الوظيفي للمخ
١٣١	(١١,٥) التصوير القلبي
١٣٤	(١١,٦) التصوير القلبي باستخدام تتابعات SSFP
١٣٥	(١١,٧) تصوير ضخ عضلة القلب
١٣٧	(١١,٨) تصوير التحسين المتأخر
١٣٨	(١١,٩) تحديد الزيادة في تركيز الحديد في عضلة القلب

الفصل الثاني عشر: العوامل المساعدة للتباين في الرنين المغناطيسيي	١٣٩
(١) التركيب الكيميائي	١٤٦
(٢) الاسترخائية.....	١٤٨
(٣) الخواص الدوائية.....	١٥٢
(٤) عوامل التباين خارج الخلية.....	١٥٣
(٥) العوامل المساعدة داخل الأوعية أو بركة الدماء	١٥٧
(٦) عوامل التباين الخاصة بالكبد	١٥٩
(٧) عوامل النظام الغشائي الشبكي	١٦١
(٨) العوامل الخاصة بالعقد الليمفاوية	١٦٢
(٩) العوامل الموجهة للورم	١٦٣
(١٠) عوامل أخرى واعدة للتباين الأنسجة.....	١٦٤
(١١) الغازات فائقة القطبية	١٦٥
(١٢) عوامل تباين الرنين المغناطيسيي التي تؤخذ بالفم	١٦٦
(١٣) التطلعات أو وجهة النظر.....	١٦٨
المراجع	١٧٣
الفصل الثالث عشر: تشویش أو زبغ الرنين المغناطيسيي	١٧٥
(١) التشویش الناجم عن الحركة والجريان (أو التدفق)	
(ظل أو شبح الصورة).....	١٧٥
(٢) التفاف الطور	١٧٨
(٣) الإزاحة الكيميائية.....	١٨٠
(٤) القابلية المغناطيسية	١٨٣
(٥) مشاكل القطع	١٨٤
(٦) الزاوية السحرية.....	١٨٤
(٧) التيارات الدوامية	١٨٥

١٨٥	(١٣,٨) مشاكل الحجم الجزئي
١٨٥	(١٣,٩) إخماد الدهون غير المتجانس
١٨٦	(١٣,١٠) مشاكل المترافق
١٨٦	(١٣,١١) مشاكل الخطوط المتشابكة أو عظامه السمسكة
١٨٧	الراجع
١٨٩	الفصل الرابع عشر: تصوير الرنين المغناطيسي الإكلينيكي ذو المجال العالي
١٩٠	(١٤,١) تباين الأنسجة
١٩١	(١٤,٢) القابلية المغناطيسية
١٩١	(١٤,٣) الإزاحة الكيميائية
١٩١	(١٤,٤) امتصاص ترددات الراديو
١٩٣	الفصل الخامس عشر: التأثيرات البيولوجية والأمان
١٩٧	الراجع
١٩٩	سرد المصطلحات
٢٣٣	ثبت المصطلحات
٢٣٣	أولاً: (عربي-إنجليزي)
٢٤٣	ثانياً: (إنجليزي-عربي)
٢٥٣	كتاف الموضوعات

المختصرات Abbreviations

2D-FT	Two dimensional FT	تحويل فوري ثنائي الأبعاد
3D-FT	Three dimensional FT	تحويل فوري ثلاثي الأبعاد
ADC	Apparent diffusion coefficient	معامل الانتشار الظاهري
ASL	Arterial spin labeling	تعليم (توسيم) مغاذل الشريان
DWI	Diffusion weighted imaging	التصوير الموزون بالانتشار
ECG	Electrocardiogram	المخطط الكهربائي للقلب
EPI	Echo planar imaging	تصوير الصدى المستوي
ESVR	European society of vrogenital radiology	الجمعية الأوروبية للأشعة البولية والتناسلية
ETL	Echo train length	طول تتابعات الصدى
FFE	Fast field echo	صدى المجال السريع
FID	Free induction decay	الاضمحلال الذاتي الحر
FJSP	Fast imaging with steady state free precision	التصوير السريع مع دقة حالة الاستقرار
FMRI	Functional magnetic resonance imaging	تصوير الرنين المغناطيسي الوظيفي
FOV	Field of view	مجال الرؤية

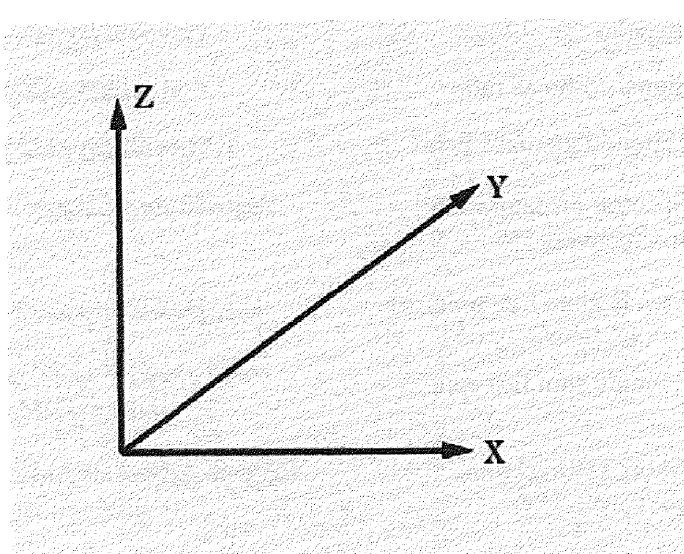
FSE Fast spin echo	الصدى المغزلي السريع
FT Fourier transform	تحويل فوريير
GRASS Gradient recalled acquisition in the steady state	اكتساب الانحدار الاستدعائي في حالة الاستقرار
GRE Gradient echo	صدى الانحدار
IR Inversion recovery	استعادة العكس
MHz Megahertz	الميجاهرتز
MR Magnetic resonance	الرنين المغناطيسي
MRA Magnetic resonance angiography	تصوير الأوعية بالرنين المغناطيسي
MRI Magnetic resonance imaging	التصوير بالرنين المغناطيسي
msec Milliseconds	ملي ثانية
MTCI Magnetization transfer contrast imaging	التصوير بتباين نقل المغنتة
NEX Number of excitations	عدد الإثارات
NMR Net magnetization vector	متوجه المغنتة الكامل
NSA Number of signal averages	عدد متوسطات الصورة
PC MRA Phase-contrast MR angiography	تصوير الأوعية بالرنين المغناطيسي المتبادر الطور
PC Phase contrast	تباين الطور
PD Proton density	كثافة البروتون
Pixel Picture element	عنصر الصورة

المختصرات

ف

ppm Parts per million	جزء في المليون
PWI Perfusion weight imaging	التصوير الموزون بالرش
RF Radiofrequency	تردد الراديو
ROI Region of interest	منطقة الاهتمام
SAR Specific absorption rate	معدل الامتصاص النوعي
SE Spin echo	الصدى المغزلي
SNR Signal-to-noise ratio	نسبة الإشارة للضوضاء
SPGR Spoiled gradient Echo	انحدار صدى متهالك
SPIR Spectral presaturation inversion recovery	طيف التشيع المسبق مع الاسترداد العكسي
SSFP Steady state free precision	طاقة الاستقرار ذات الدقة الحرة
SSFSE Single shot fast spin	الصدى المغزلي السريع ذو الطلقة الواحدة
STIR Short T1 inversion recovery	تتابعات استرداد انعكاس الزمن T1 القصير
T Tesla	التسلا
TE Echo time	زمن الصدى
TOF Time of flight	زمن الطيران
TR Repetition time	زمن التكرار
TSE Turbo spin echo	بيانات الصدى الدوامية
VENC Velocity encoding	تشغير السرعة

ملاحظة: تستخدم التعبيرات "الاتجاه z " و "المستوى xy " كثيراً في هذا الكتاب. في جميع الأشكال، يعبر عن المجال المغناطيسي الأساسي B من أسفل لأعلى واتجاهه يشير إلى الاتجاه z . البعدان الآخرين للمجال المغناطيسي يرمز لهما بـ x و y . المستوى xy يكون عمودياً على المحور z ولذلك يمثل أفقياً في الأشكال.



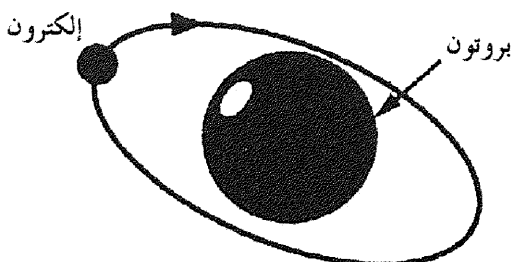
الفصل الأول

الدوران وظاهرة الرنين المغناطيسي النووي

Spin and the Nuclear Magnetic Resonance Phenomenon

إن التصوير الطبي بالرنين المغناطيسي Magnetic Resonance MR يستخدم الإشارة الناتجة من دوران ذرات الهيدروجين (H^1) في تخلق (إنشاء) الصورة المطلوبة.

من المعروف أن ذرة الهيدروجين تكون من نواة nucleus تحتوي على بروتون proton وحيد والإلكترون electron وحيد يدور حول هذه النواة كما في الشكل رقم (١). إن شحنة البروتون موجبة، وشحنة الإلكترون سالبة، وذرة الهيدروجين كوحدة واحدة تكون متعادلة كهربياً. ما يهمنا هنا هو البروتون.



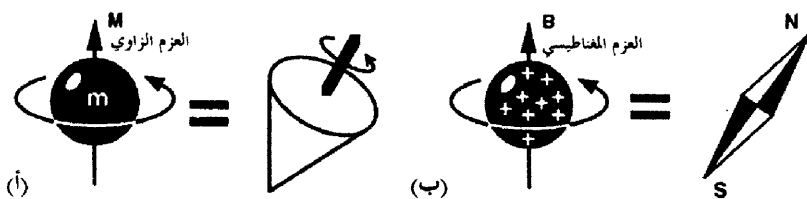
الشكل رقم (١).

كيف يعمل التصوير بالرنين المغناطيسي؟

فبعيدةً عن كون شحنته موجبة، فإن البروتون له خاصية الدوران والتي هي خاصية ضمنية وجوهرية لكل الجزيئات الأولية تقريباً، وهذا يعني أن البروتون يدور حول محوره مثل المغزل. وهذا البروتون له خاصيتان مهمتان وهما:

كتلة دوارة أو تدور حول محورها (m)، فإن البروتون يكون له عزم زاوي angular momentum بحيث يكون مثل المغزل الذي يحاول دائماً أن يحافظ أو يستمر في الوضع المكاني أو الإزاحي لمحور الدوران كما في الشكل رقم (٢).

كتلة دوارة، لها شحنة كهربية، فإن البروتون يكون له عزم مغناطيسي (B) magnetic moment ويتصرّف مثل المغناطيس الصغير. لذا يتأثر البروتون بالمجالات المغناطيسية الخارجية وبالموجات الكهرومغناطيسية، وعندما يتحرك، فإنه يحدث فرقاً جهداً في ملف الاستقبال كما في الشكل رقم (٢ ب).



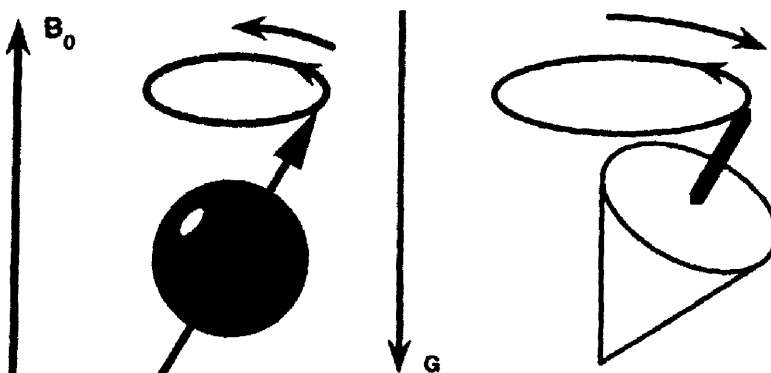
الشكل رقم (٢)

بالطبع تختلف نواة الهيدروجين عن المغزل الدوار في أنها لا تستطيع أن ننظر فيها لنرى ما يحدث، لذلك لا نستطيع رؤية العزم الزاوي الضمني للبروتون أو دورانه من الخارج، وفي هذا السياق فإن النواة تمثل صندوقاً أسود بالنسبة لنا، ومع ذلك فإنه يمكننا تحديد اتجاه محور دورانها بالنسبة لاتجاه المجال المغناطيسي B. هذه الحركة تعتبر مرئية (افتراضياً) بالنسبة لنا لأنها تولد إشارة في ملف استقبال تماماً كما يفعل المغناطيس في المولد الكهربائي (مثل دينامو الدراجة).

هناك فرق مهم أيضاً (بين المغزل ونواة ذرة الهيدروجين) وهو أنه بالرغم من أن المغزل الدوار يبطئ دورانه باستمرار حتى يقف، فإن دوران البروتون يكون دائرياً أو مستمراً بنفس المقدار، ولا يمكن زيادة أو تقليل سرعته، وذلك ببساطة لأن هذا يعتبر خاصية أساسية في الجزيئات الأولية، التي يكون الدوران فيها دائرياً وعلى طول الوقت!

كيف سيكون سلوك الجزء الدوار عندما يكون في وجود مجال مغناطيسي قوي؟
لكي نجيب على هذا السؤال فإننا سنعود مرة ثانية إلى فرض المغزل الدوار:

عندما تؤثر قوة خارجية (ولتكن الجاذبية الأرضية G) على المغزل، وتحاول تغيير اتجاه محور دورانه، فإن المغزل يبدأ في التهاب أو الارتفاع أو الذبذبة، وهذه العملية تسمى المبادرة أو السبق precession. وفي نفس الوقت فإن الاختناك عند نقاط التلامس يسحب طاقة من المغزل مما يتسبب في تقليل سرعة دورانه. كتيبة لذلك فإن محور دورانه يميل أكثر وأكثر إلى أن يقع المغزل في النهاية كما في الشكل رقم (٣).



الشكل رقم (٤).

الشكل رقم (٣).

عودة مرة أخرى إلى نواة ذرة الهيدروجين: عندما تتعرض هذه الذرات إلى مجال مغناطيسي قوى B_0 ، فإن العزوم المغناطيسي، أو الجزيئات الدوارة تأخذ اتجاه المجال المغناطيسي كما تفعل الإبرة المغناطيسية. هذه العزوم المغناطيسي، لا تأخذ فقط اتجاه المجال المغناطيسي، ولكن يحدث لها ذبذبة أيضاً مثل المغزل كما ذكرنا سابقاً وكما هو موضح في الشكل رقم (٤).

إن ذبذبة النواة تحدث بتردد معين يتناسب طردياً مع شدة المجال المؤثر وهذه الذبذبة تسمى تردد لارمور Larmor frequency. إن محاذاة الجزيئات الدوارة مع اتجاه المجال المغناطيسي يحدث تدريجياً كما في حالة المغزل الدوار وتكون مصحوبة بفقد في الطاقة كما سنرى في المقطع ١.

إن تردد لارمور له مفهوم مهم جداً، وهو أساس أو قلب عملية التصوير بالرنين المغناطيسي MR imaging، ولذلك سنكرر هذا المفهوم:

”تردد لارمور أو التسابق هو المعدل الذي يتذبذب عنله البروتون الدوار عند وضعه في مجال مغناطيسي“.

يتناوب تردد لارمور طردياً مع شدة المجال B_0 ويعطى بمعادلة تعرف بمعادلة لارمور:

$$\omega_0 = \gamma_0 \cdot B_0$$

حيث:

- ω_0 هي تردد لارمور بالميجاهرتز [MHz]

- γ_0 هي ثابت تناسب خاص بكل نواة ويسمى النسبة الجيرومغناطيسية gyromagnetic ratio

و

- B_0 هي شدة المجال المغناطيسي بالتسلا (أو بوحدة الخث المغناطيسي) [T]

والنسبة الجير ومغناطيسية للبروتونات هي $\gamma_0 = 42.58 \text{ MHz/T}$ ، ويعطي هذا تردد لارمور يساوي 63.9 MHz عندما تكون $B_0 = 1.5 \text{ T}$ ، بينما يكون تردد لارمور يساوي 1 KHz في المجال المغناطيسي للأرض. (للمقارنة فإن موجات التعديل الترددية لإرسال الراديو تعمل عند ترددات في المدى $88-108 \text{ MHz}$).

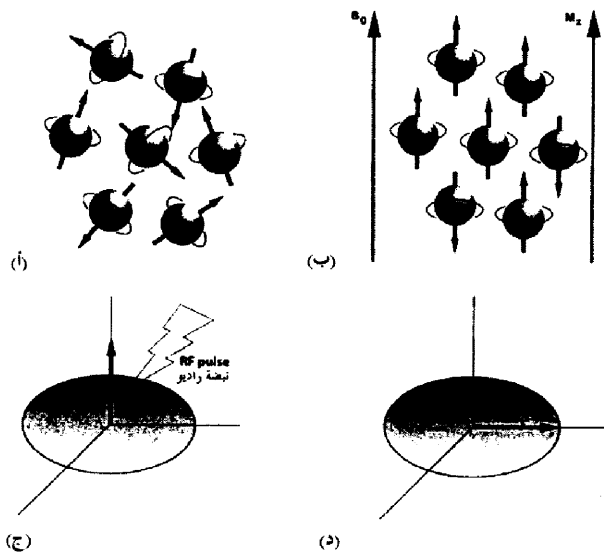
دعنا نرى الآن ماذا يحدث لعملية الدوران والتوجه البطيء داخل المجال المغناطيسي؟

مع تراخي نظام الدوران ووصوله إلى حالة استقرار فإنه تحدث عملية بناء لمنطقة طولية M_z longitudinal magnetization في اتجاه المحور Z بسبب أن المتجهات المغناطيسية والتي تمثل العزوم المغناطيسي للجسيمات المنفردة تتجمع مع بعضها. وللعلم فهذا يحدث أيضاً في المجال المغناطيسي للأرض ولكن المنطقة الطولية تكون ضعيفة. المجال المغناطيسي B_0 لنظام تصوير بالرنين المغناطيسي MR يكون أقوى 6000 مرة، وبال مقابل فإن المنطقة الطولية تكون أقوى لكي تعطى إشارة قوية. في الحقيقة فإن الأشياء تكون أكثر تعقيداً من ذلك، حيث يحاول الجسم الدوار أن يأخذ اتجاهًا موازيًا أو عكسيًا للمجال المغناطيسي، والمجال الموازي يكون أفضل قليلاً. وعلى ذلك فإنه في حالات الاستقرار فإن جزءاً أكبر قليلاً يتوجه موازيًا للمجال المغناطيسي الأساسي، وهذا الفرق البسيط هو في الحقيقة ما يتبع عنه المنطقة الكلية M_z التي يمكن قياسها والتي يتم تمثيلها بالتجه المغناطيسي التام Net Magnetization Vector, NMV. بما أن الفرق بين الاتجاهين يعتمد على شدة المجال المغناطيسي الخارجي، فإن المنطقة الكلية M_z ستزداد بزيادة شدة هذا المجال.

يمكن دمج طاقة على مثل هذه الأنظمة الدورانية المستقرة عن طريق تطبيق موجة كهرومغناطيسية لها تردد يساوي تردد لارمور وهو يسمى بحالة الرنين. ويتم الحصول على الموجة الكهرومغناطيسية اللازمة من مرسل راديو قوي جداً ويتم توجيه هذه الموجة ناحية الهدف المراد تصويره عن طريق ملف هوائي. وتعرف عملية إضافة أو امتصاص الطاقة بإثارة نظام الدوران حيث تؤدي هذه الإثارة إلى منطقة طولية تبعد الأنظمة الدورانية شيئاً فشيئاً عن اتجاه المحور Z ، وباتجاه المحور المستعرض xy والذي هو عمودي على اتجاه المجال المغناطيسي الأساسي.

كيف يعمل التصوير بالرنين المغناطيسي؟

جميع المغناطيسية الطولية يتم دورانها إلى مستوى مستعرض عن طريق نبضة تردد راديو RF pulse تكون قوية بما فيه الكفاية ويتم تطبيقها بما يكفي لميل المغناطيسة 90° تماماً، وتسمى نبضة الراديو ذات 90° RF pulse. المغناطيسة الناتجة في هذه الحالة يرمز لها بالرمز Mxy بدلاً من MZ لأنها تكون الآن في المستوى xy. عند وجود المغناطيسة المستعرضة فإنها تدور حول المحور Z للجسم الدوار والذي يعطي جهداً متزدداً بنفس تردد لارموم في ملف الاستقبال تماماً مثل تأثير المولد الكهربائي، هذا الجهد الناتج في الملف هو إشارة الرنين المغناطيسي MR. هذه الإشارة يتم تجميعها ومعالجتها بمستقبل خاص بالإضافة لخالب آلي للحصول على صورة الرنين المغناطيسي MR كما في الشكل رقم (٥).



الشكل رقم (٥). (ا) في عدم وجود مجال مغناطيسي خارجي تدور الأجسام حول محورها في اتجاهات عشوائية. (ب) في وجود مجال مغناطيسي فإن عدداً أكبر من الجسيمات الدوارة تأخذ اتجاهها موازياً للمجال المغناطيسي B_0 ولذلك يتبع عنها مغناطيسة طولية Mz. (ج) موجة تردد راديو RF pulse (د) موجة الرadio تحمل متوجه المغناطيسة بمقدار 90° درجة مما يجعل المغناطيسة الطولية تدور وتحول إلى مغناطيسة مستعرضة Mxy.

المراجع References

- 1- Hobbie RK (1988) Magnetic resonance imaging. In: Intermediate physics for medicine and biology. Wiley & Sons, New York
- 2- Elster AD, Burdette JH (2001) Questions and answers in magnetic resonance imaging, 2nd edn. Mosby, St. Louis

الفصل الثاني

الترانز

Relaxation

ماذا يحدث لهذه الجسيمات الدوارة بعد إثارتها بالموجة الكهرومغناطيسية كما شرحنا سابقاً؟

فوراً وبعد الإثارة، تدور المغнطة في المستوى xy كما شرحنا وتسمى في هذه الحالة المغнطة المستعرضة transverse magnetization ورمزنا لها بالرمز M_{xy} . دوران المغنطة المستعرضة هي التي تعطى إشارة الرنين المغناطيسي MR في ملف الاستقبال. هذه الإشارة MR سرعان ما تضمحل (تضعف) نتيجة عمليتين منفصلتين يتسبب عنها تقليل هذه المغنطة المستعرضة، ولذلك فإنها تسبب العودة بالنظام إلى حالة الاستقرار الموجودة قبل الإثارة، هذان السبيان هما: التفاعل التداخلي للجزيئات الدوارة فيما بينها والتفاعل التداخلي للجزيئات والشبكة الكلية الموجودة فيها lattice، حيث تسبب هاتين العمليات تراخي الزمن الأول T_1 وتراخي الزمن الثاني T_2 على التوالي^(*).

١٢) التراخي الطولي T_1 : Longitudinal Relaxation

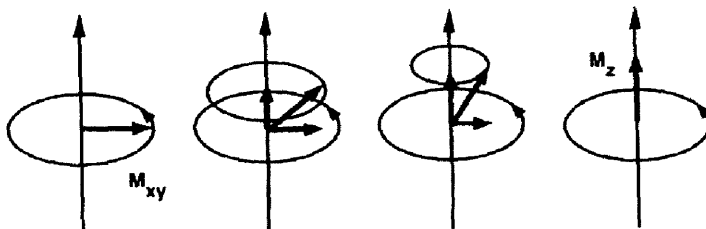
مع تداعي المغنطة المستعرضة، تنجذب الجزيئات الدوارة بالعزم المغناطيسي مرة أخرى باتجاه المحور z للمجال المغناطيسي الأساسي B_0 كما ذكرنا سابقاً. إن المغنطة المستعرضة المتبقية ضمن المستوى xy وبالتحديد مسقط متوجه المغنطة على المحور y كما في الشكل رقم (٦) تتناقص بالتدرج وبذلك فإن إشارة الرنين المغناطيسي تقل

(*) هنا يرمز للزمن الأول T_1 بالرمز Time 1 ويرمز للزمن الثاني T_2 بالرمز Time 2

كيف يعمل التصوير بالرنين المغناطيسي؟

بالتناسب معها. مع تداعي المغнطة المستعرضة، فإن المغنطة الطولية، M_z ، والتي هي مسقط متوجه المغنطة على المحور Z تبني تدريجياً. هذه العملية تعرف بالتراخي الطولي أو استعادة الزمن الأول T_1 .

تعود النواة للحالة الأصلية عن طريق فقد الطاقة الزائدة للوسط المحاط بها وهي الشبكية lattice (وهذا هو سبب تسمية هذا النوع من التراخي بـ تراخي الشبكية أحياناً). الثابت الزمني لهذا النوع من التراخي هو الزمن الأول T_1 ويعتمد على شدة المجال المغناطيسي الخارجي B_0 وعلى الحركة الداخلية للجزيئات molecules والتي تسمى حركة براونيان Brownian motion. تتراوح قيمة الزمن الأول T_1 للأنسجة الحيوية من نصف ثانية إلى عدة ثوان عندما تكون $T = 1.5 B_0$



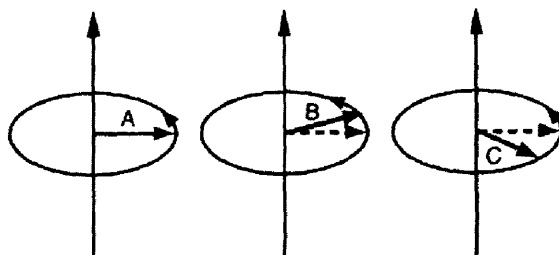
الشكل رقم (٦). التراخي الطولي للزمن الأول T_1 ، تداعي المغنطة المستعرضة وإعادة بنائها في اتجاه المحور Z مما يتطلب تبادل للطاقة.

(٢) التراخي المستعرض: T_2/T_2^* : Transverse Relaxation

لكي نفهم التراخي المستعرض من الضروري أولاً أن نعرف ما هو المقصود بالطور phase. سنستخدم الطور هنا للدلالة على مكان العزم المغناطيسي في مساره الدائري المستعرض حيث يتم التعبير عن هذا المكان كزاوية. افترض أن الجسيمين A و B يدوران

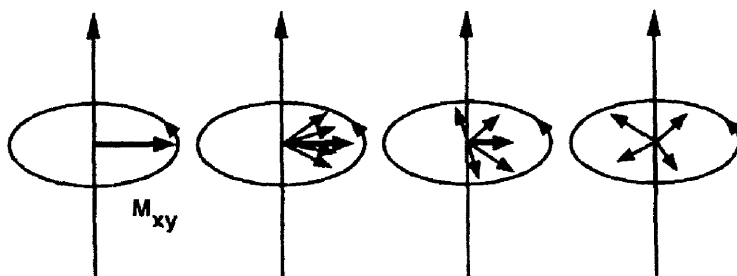
بنفس السرعة في المستوى xy . إذا كان الجسيم B يسبق A في حركته الزاوية بمقدار 10° درجات، ففي هذه الحالة يمكننا القول إن الجسيم B له طور $+10^\circ$ درجات بالنسبة للجسيم A. والعكس فإن الجسيم C الذي يتأخر عن A بمقدار 30° درجة يكون طوره -30° بالنسبة للجسيم A كما في الشكل رقم (٧).

بعد الإثارة مباشرةً، تدور أغلب الجسيمات متوافقة مع بعضها. هذه الجسيمات يكون لها طور تعداده 0° ويقال بأنها كانت في الطور in phase. وهذه الحالة تدعى تماسك أو توافق الطور phase coherence.



الشكل رقم (٧). الطور، المتجه B له طور $+10^\circ$ درجات بالنسبة للمتجه A بينما C له طور -30° درجة. لاحظ أن كل المتجهات تدور حول المحور Z بينما تختلف أطوارها بالزوايا النسبية.

لأسباب سيتم ذكرها فيما بعد فإن تماسك الطور هذا يتم فقدانه بالتدرج بحيث تسبق بعض الجسيمات ويتأخر البعض الآخر في المسار الدائري حول المحور z. وبذلك تبدأ متجهات المغنتة في إزالة بعضها بعضاً بدلاً من أن يقوى بعضها ببعض. وعلى ذلك فإن متجه المجموع والمغنتة المستعرضة تصبح أصغر وأصغر وفي النهاية تتلاشى ومعها الإشارة MR كما في الشكل رقم (٨).



الشكل رقم (٨). التراخي المستعرض $T2$ و $T2^*$. فقد في طور المغازل (فقد تماستك الطور)، يؤدي إلى فقد المغذية المستعرضة بدون تبديد للطاقة.

بمعنى آخر فإن التراخي المستعرض هو تداعي المغذية المستعرضة بسبب أن الجسيمات أو الجسيمات الدوارة تفقد توافقها الزاوي. التراخي المستعرض مختلف عن التراخي الطولي في أن الجسيمات لا تفقد الطاقة في الوسط المحيط، ولكنها تتبادل الطاقة مع بعضها . يتم فقد التوافق الزاوي بطريقتين :

- انتقال الطاقة بين الجسيمات بسبب التغيرات الموضعية في المجال المغناطيسي. وهذه التغيرات تكون بسبب أن الجسيمات تكون مصحوبة ب المجالات المغناطيسية تتعارض مع بعضها بطريقة عشوائية. تدور الجسيمات أسرع أو أبطأ على حسب تغيرات المجال المغناطيسي الذي تكتسبه. النتيجة النهائية هي تراكم في فقد الطور أو التوافق بين الجسيمات. هذه العملية تحدث نتيجة التفاعل الحالص بين جسيم وجسيم آخر، لذلك فإنها لا تتأثر بتطبيق نبضة ذات ١٨٠ درجة لإعادة تركيزها (الفصل السابع). يحدث هذا فقد في التوافق بثابت زمني هو الزمن الثاني $T2$ ويكون تقريباً غير معتمد على شدة المجال المغناطيسي الخارجي B_0 .

- عدم تجانس لا يعتمد على الزمن في المجال المغناطيسي الخارجي B_0 . يعتبر عدم التجانس هذا خاصية ضمنية تحدث بسبب مصدر أو مولد المجال نفسه،

وبسبب الشخص الذي يتم تصويره. وتلعب هذه الأسباب في عدم التوافق الطوري مما يتبع عنه تداعي للإشارة الكلية بثابت زمني أسرع من الثابت الزمني T_2 ، هذا النوع الثاني من التداعي يحدث بثابت زمني هو T_{2^*} الذي يكون أقصر من الزمن T_2 . معظم عدم التجانس الذي يسبب T_{2^*} يحدث عند حواف أو محيط الأنسجة، وبالذات عند تلامس وسط الهواء مع الأنسجة، أو تحدث بسبب مجالات مغناطيسية موضعية (مثل جزيئات الحديد مثلًا). تداعي الإشارة MR بسبب T_{2^*} يسمى تداعي الحث الحر Free induction decay. تأثيرات الثابت الزمني T_{2^*} يمكن تجنبها باستخدام تتابعات الصدى FID.

الزمن الثاني T_2 يرمز لعملية نقل الطاقة بين الجزيئات، بينما T_{2^*} ترمز لتأثيرات عدم تجانس المجال التي تسبب عدم التوافق الزاوي.

كل من التراخي T_1 و T_2 لا يعتمد أيها على الآخر، ولكنها تحدث تقريبًا في نفس الوقت حيث التداعي في الإشارة MR يحدث في أول ١٠٠ إلى ٣٠٠ ملي ثانية، وهذا قبل أن تسترد المغناطة الطولية M_z نفسها بسبب التراخي T_1 والذي يحدث في زمن مقداره ٥ ، ٠ إلى ٥ ثوان.

المراجع References

- 1- Gore JC, Kennan RP (1999) Physical principles and physiological basis of magnetic relaxation. In: Stark DD, Bradley WG Jr (eds). Magnetic resonance imaging, 3rd ed. Mosby-Year Book no 33, Mosby, St. Louis
- 2- Elster AD, Burdette JH (2001) Questions and answers in magnetic resonance imaging, 2nd ed. Mosby, St. Louis
- 3- Elster AD (1986) Magnetic resonance imaging, a reference guide and atlas. Lippincott, Philadelphia

الفصل الثالث

تباین الصورة Image Contrast

ما الذي يؤثر في تباین صورة الرئین المغناطیسي وكیف نؤثر فيها؟

بعد شرح معنی الإثارة والتراخي، يمكننا الآن الإجابة على هذا السؤال. ثلاثة خواص ضمنية في أي نسیج حیوي تشارك في كثافة إشارته أو شدة إضاءته في صورة الرئین المغناطیسي، ومن ثم على تباین الصورة:

- كثافة البروتونات، بمعنى عدد المغازل القابلة للإثارة في وحدة الحجم والتي تحدد الإشارة القصوى التي يمكن الحصول عليها من أي نسیج. كثافة البروتون يمكن زیادتها أو التأکید عليها عن طريق تقليص أو خفض معاملين الزمن الأول T1 والزمن الثاني T2. مثل هذه الصور تسمى الصور المحددة بكثافة البروتون أو ببساطة صور كثافة البروتون.

- الزمن الأول T1 للنسیج هو الزمن اللازم للمغزل المثار ليعود أو يستقر ويصبح متاحاً لإثارة تالية. الزمن الأول T1 يؤثر على شدة الإشارة بطريقة غير مباشرة ويمكن تغييره بطريقة عشوائية. الصور التي يحدد تباینها بالزمن الأول T1 أساساً تسمى صوراً موزونة أو محددة بالزمن الأول T1 أو (T1W).

- الزمن الثاني T2 يحدد في الغالب سرعة تلاشي إشارة الرئین المغناطیسي MR بعد الإثارة. تباین صور الرئین المغناطیسي MR من الزمن الثاني T2 يمكن التحكم فيه عن طريق المشغل أيضاً. الصور التي يتحدد تباینها عن طريق الزمن الثاني T2 تسمى صوراً موزونة أو محددة بالزمن الثاني T2 أو (T2W).

كثافة البروتون والزمن الأول T1 و الزمن الثاني T2 هي من الخواص الضمنية لأي نسيج حيوي ويمكن أن تغير بصورة كبيرة من نسيج لآخر. اعتماداً على أي من هذه المعاملات والذي سيتم التأكيد عليه في تتابع الرنين المغناطيسي MR، فإن الصور الناتجة ستختلف في تباينها من نسيج لآخر. إن هذا سيكون أساساً للتحديد الرائع للأنسجة الناعمة والقدرة التشخيصية لصور الرنين المغناطيسي MR: اعتماداً على الفروق النوعية بدلالة هذه المعاملات الثلاث، فإن الأنسجة التي تخيل صعوبة تباينها في صور المسح بالـ CT يمكن تفريقيها أو تمييزها في صور الرنين المغناطيسي MRI بدون استخدام وسط تباين.

(١٣) زمن التكرار TR والوزن الأول T1

Repetition Time (TR) and T1 Weighting

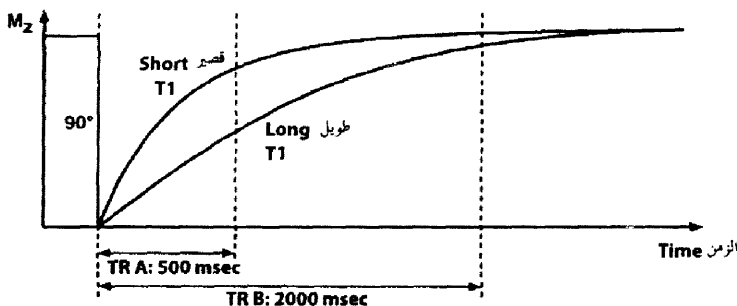
لكي نحصل على صورة الرنين المغناطيسي MRI، يجب إثارة شريحة وتسجيل الإشارة الناتجة عدة مرات. لماذا يتم ذلك، سيتم شرحه في الفصل الرابع.

زمن التكرار (TR) هو الفترة الزمنية بين إثاراتين متتاليتين لنفس الشريحة.

زمن التكرار TR هو طول فترة التراخي بين نبضتي إثارة ولذلك فإنه أساسي بالنسبة لتبين الزمن الأول T1. حينما يكون زمن التكرار TR طويلاً، فإن مغازل أكثر ستدور مرة ثانية في المستوى Z وستشارك في إثناء أو زيادة المغнطة الطولية. زيادة المغнطة الطولية التي يمكن إثارتها بنبضة تردد الراديو RF التالية، ستعطى إشارة رنين مغناطيسي MR يمكن تجميعها بصورة أكبر.

إذا تم اختيار زمن تكرار قليل (أقل من ٦٠٠ ملي ثانية)، فإن تباين الصورة سيتأثر بقوة بالزمن الأول T1 (القيمة TRA في الشكل رقم ٩). تحت هذا الشرط فإن الأنسجة التي لها الزمن الأول T1 أقصر ستراخي أسرع وتعطى إشارة أكبر عقب نبضة تردد

الراديو RF التالية (ومن ثم ستظهر مضيئة على الصورة). وعلى الجانب الآخر فإن الأنسجة التي لها الزمن الأول الرمادي الأول T_1 طويلة ستمر بترابي أقل بين نبضتي تردد الرadio RF وبذلك وجود منطقة طولية أقل عند تطبيق نسبة الإثارة التالية. لذلك فإن هذه الأنسجة ستشع إشارة أقل من الأنسجة التي لها الزمن الأول T_1 أقل وستظهر بصورة أكثر إظلاماً (أغمق). الصورة التي يتم الحصول عليها يزمن تكرار TR أقصر تكون موزونة بالزمن الأول T_1 لأنها تحتوي غالباً على معلومات الزمن الأول T_1 .



الشكل رقم (٩). العلاقة بين تباين زمن التكرار TR والزمن الأول T_1 . عندما يكون زمن التكرار TR قصيراً (A)، فإن أي نسيج له الزمن الأول T_1 قصير سيأخذ معظم المغنتة الولية في أثناء فترة زمن التكرار TR وعلى ذلك سيعطي إشارة رنين مغناطيسي MR أكبر بعد الإثارة بالنبضة التالية، بينما النسيج الذي له الزمن الأول T_1 طويلاً (B)، فإن فروق الإشارة لا تظهر نتيجة وجود زمن كافٍ لزيادة المغنتة الطولية في النسيجين.

كيف يعمل التصوير بالرنين المغناطيسي؟

إذا تم اختيار زمن تكرار طويل نسبياً (نحو ١٥٠٠ ملي ثانية)، فإن كل الأنسجة بها فيها الأنسجة التي لها الزمن الأول T1 أطول سيكون لديها زمن كافي لتعود إلى الازان ولذلك فإن كلها تعطى إشارات متشابهة (TRB في الشكل رقم ٩). نتيجة لذلك سيكون هناك وزن أقل للزمن الأول T1 لأن تأثير الزمن الأول T1 على تباين صورة يكون صغيراً.

لذلك، عن طريق اختيار زمن التكرار، يمكننا التحكم في درجة وزن الزمن الأول T1 في الصورة الرنين المغناطيسي MR الناتجة.

زمن التكرار TR قصير ← وزن قوي T1

زمن التكرار TR طويل ← وزن قليل T1

العلاقة بين إشارة الرنين المغناطيسي MR لنسيج معين وظهوره على صور موزونة بالزمن الأول T1 تكون كما يلي:

الأنسجة ذات الزمن الأول T1 القصير تظهر أكثر إضاءة لأنها تكتسب معظم المغنتة الطولية أثناء فترة زمن التكرار TR ولذلك فإنها تنتج إشارة MR قوية.

الأنسجة ذات الزمن الأول T1 الطويل تظهر مظلمة (غامقة) لأنها لا تكتسب معظم المغنتة الطولية أثناء فترة زمن التكرار TR ولذلك فإنها تنتج إشارة الرنين المغناطيسي ضعيفة. **MR**

(٣، ٢) زمن الصدى TE والوزن الثاني T2

Echo Time (TE) and T2 Weighting

على أي حال، ما هو الصدى؟

سنرى في الفصل الرابع أن انحدارات مختلفة يجب تطبيقها للحصول على صورة الرنين المغناطيسي MR. في الوضع الحالى يكفي أن نعرف أن هذه الانحدارات

ستسبب عدم تجانس في المجال المغناطيسي ويمكن التحكم فيه وسنحتاجه لوضع نقطة الأصل لصورة الرنين المغناطيسي MR. كما أن الانحدارات ستشارك في إعادة طور المغازل. هذه التأثيرات يجب عكسها عن طريق تطبيق نبضة بؤرية قبل الحصول على إشارة رنين مغناطيسي MR معقولة. الإشارة التي يتم تطبيقها على ملف الاستقبال بعد حدوث التوافق في الطور يطلق عليها صدى المغزل ومن الممكن قياسها.

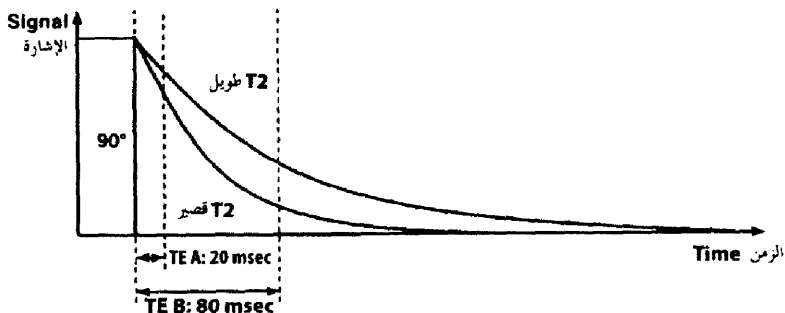
زمن الصدى TE هو الفترة الزمنية بين تطبيق نبضة الإثارة وتجميع إشارة الرنين المغناطيسي MR.

زمن الصدى يحدد تأثير الزمن الثاني T2 على تباين الصورة. يقع الزمن الثاني T2 في مدى عدة مئات من ملي ثانية ولذلك فهو أقصر بكثير من الزمن الأول T1.

إذا تم استخدام زمن صدى قصير (أقل من حوالي ٣٠ ملي ثانية)، فإن فروق الإشارة بين الأنسجة المختلفة تكون أقل (TEA في الشكل رقم ١٠) لأن زمن التراخي T2 يكون في بدايته ويكون هناك تداعي ضعيف للإشارة عند زمن تجميع الصدى. وبالتالي فالصورة الناتجة يكون لها وزن قليل للزمن الثاني T2.

إذا تم استخدام زمن صدى أكبر، في مدى الزمن الثاني T2 للأنسجة (فوق حوالي ٦٠ ملي ثانية)، فإن الأنسجة تظهر بشدة إشارة مختلفة في صورة الرنين المغناطيسي MR الناتجة (TEB في الشكل رقم ١٠): الأنسجة التي لها الزمن الثاني T2 أقصر تفقد معظم إشارتها وتظهر مظلمة في الصورة، بينما الأنسجة التي لها الزمن الثاني T2 أطول تتبع إشارات أقوى ولذلك تظهر أكثر إضاءة. وهذا يفسر سبب ظهور السوائل الدماغية التي لها الزمن الثاني T2 أطول (مثل الماء) بصورة أكثر إضاءة في الصورة الموزونة بالزمن الثاني T2 بالمقارنة بأنسجة المخ.

كيف يعمل التصوير بالرنين المغناطيسي؟



الشكل رقم (١٠). العلاقة بين زمن الصدى TE وتباعي الزمن الثاني T2. عندما يكون زمن الصدى TE قصيراً جداً (A)، لن يكون هناك فرق تقربياً في الإشارة بين تسيجين بازمنة T2 مختلفة، بينما ستكون هناك فرق واضح عندما سيكون زمن الصدى TE أطول (B): النسيج الذي له الزمن الثاني T2 أقصر يفقد الإشارة أسرع ويصبح مظلماً بينما النسيج الذي له الزمن الثاني T2 أطول يكتسب إشارة أكثر إضاءة لفترة زمنية أطول.

عن طريق اختيار زمن صدى TE، فإن المشغل يمكنه التحكم في درجة وزن T2 في صورة الرنين المغناطيسي MR الناتجة.

زمن الصدى TE أقصر \leftarrow وزن T2 ضعيف

زمن الصدى TE أطول \leftarrow وزن T2 قوي

الشكل رقم (١٠) يبين أيضاً العلاقة بين قيم الزمن الثاني T2 للأنسجة وكيفية ظهورها على الصور الموزونة بالزمن الثاني T2.

الأنسجة التي لها الزمن الثاني T2 أقصر تظهر مظلمة أو غامقة على الصور الموزونة بالزمن الثاني T2، والأنسجة التي لها الزمن الثاني T2 أطول تظهر بصورة أكثر إضاءة على الصور الموزونة بالزمن الثاني T2.

العلاقة بين زمن التكرار TR وزمن الصدى TE وتبالين الصورة الناتجة تم تلخيصها في الجدول رقم (١). الجدول رقم (٢) يبيّن قائمة بشدة الإشارة لأنسجة مختلفة في الصور الموزونة بالزمن الأول T1 وبالزمن الثاني T2. الجدول رقم (٣) يعطي نظرة شاملة لمعاملات التبالي الضمنية لبعض الأنسجة المختارة.

الجدول رقم (١). تبالي الصورة كدالة في زمن التكرار TR والزمن الثاني T2.

زمن الصدى TE	زمن التكرار TR	تبالي الصورة
قصير	قصير	الوزن بالزمن الأول T1
طويل	طويل	الوزن بالزمن الثاني T2
قصير	طويل	الوزن بكثافة البروتون

الجدول رقم (٢). شدة الإشارة لأنسجة مختلفة للصور الموزونة بالزمن الأول T1 والزمن الثاني T2.

النسيج	الصور الموزونة بالزمن الأول T1	الصور الموزونة بالزمن الثاني T2
الدهون	مضيء	مضيء
سائل مائي	مظلم	مضيء
ورم	مظلم	مظلم
نسيج ملتهب	مظلم	مظلم
عضلة	مظلم	مظلم
أنسجة موصلة	مظلم	مظلم
هيبياتوما حادة	مظلم	مظلم

النسيج		الصور الموزونة بالزمن الأول T1	الصور الموزونة بالزمن الثاني T2
هيباتوما غير حادة	مضيء	لامضيء	مضيء
دم متدفق	لا توجد إشارة تأثير الأظلامي للدم (المقطع ٧، ٢)	الأظلامي للدم (المقطع ٧، ٢)	لا توجد إشارة
غضروف ليفي	مظلم	مظلم	مظلم
غضروف زجاجي	مضيء	مضيء	مضيء
عظام مدجحة	مظلم	مظلم	مظلم
هواء	لاتوجد إشارة	لاتوجد إشارة	لاتوجد إشارة

الجدول رقم (٣). كثافات البروتون النسبية (%) والأزمنة الضمنية T1 و T2 بالملي ثانية للأنسجة المختلفة.

T2(1.5T)	T1(1.5T)	كثافة البروتون	النسيج
> 2000	> 4000	100	CSF
90	780	70	المادة البيضاء White matter
100	920	85	المادة الرمادية Gray matter
80	400	90	أورام الأغشية السحائية Meningioma
85	1800	85	النمو السرطاني Metastasis
80	260	100	الدهون Fat

يمكن الحصول على تتابع صدى مغزلي SE مثالي موزون بالزمن الأول T1 باستخدام TR/TE تساوي ١٣ / ٣٤٠ ملي ثانية. يمكن الحصول على صورة رنين مغناطيسي MR بصدى مغزلي سريع وموزونة بالزمن T2 باستخدام TR/TE تساوي ١٢٠ / ٣٥٠٠ ملي ثانية. صور الرنين المغناطيسي MR التي تربط بين تأثيرات بالزمن الأول T1 والزمن الثاني

T2 تسمى بالصور الموزونة بكتافة البروتونات (PD images). الصور الموزونة بكتافة البروتونات PD التي لها زمن صدى TE حوالي ٤٠ ملي ثانية ينظر إليها أيضاً على أنها صور متوسطة الوزن. حقيقة مهمة هي أن الصور الموزونة بكتافة البروتونات PD تكون نسبة الإشارة للضواعف فيها أعلى (الفصل الخامس) من نظيرتها الموزونة بالزمن الأول T1 والزمن الثاني T2 لأن طول زمن التكرار TR يسمح باستعادة أو استعراض المغnetة الطولية بينما قصر زمن الصدى TE يقلل الإشارة نتيجة التداعي في المغnetة العكسية.

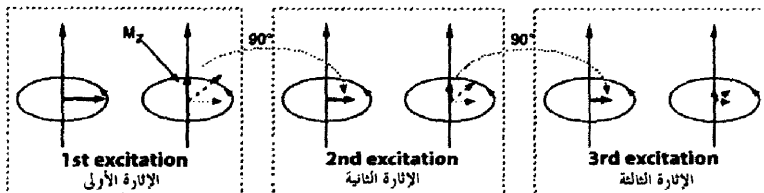
القيم المثالیة للمعاملات للحصول على صور موزونة بكتافة البروتونات PD هي كمثال TR/TE تساوي ١٥ /٢٠٠٠ ملي ثانية لصور كثافة البروتونات PD الموزونة بتتابع الصدى المغزلي SE و TR/TE تساوي ٤٤٠٠ /٤٠ ملي ثانية للصور الموزونة بكتافة البروتونات PD الموزونة بتتابع الصدى المغزلي السريع FSE. تتابعات الصور الموزونة بكتافة البروتونات PD تكون مفيدة خاصة لتقسيم الهياكت ذات الإشارات الضعيفة الشدة مثل العظام أو هياكت الأنسجة المتصلة مثل الأربطة والأوتار. الوزن بكتافة البروتونات يستخدم عادة للصور ذات التباين العالى. تتابعات الصدى المغزلي SE تفضل على تتابعات الصدى المغزلي السريع FSE للصور الموزونة بكتافة البروتونات PD لأن صور الصدى المغزلي SE تكون أقل عرضة للتلویه. في العيادات، تستخدم عادة تتابعات الصورة الموزونة بكتافة البروتونات PD لتصوير المخ، والعمود الفقري والجهاز العضلي الهياكت.

(٣) التشيع عند أزمنة التكرار القصيرة

Saturation at Short Repetition Times

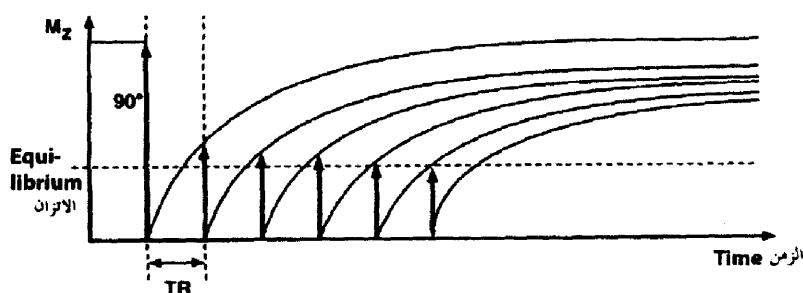
لقد ذكرنا في الجزء الخاص بزمن التكرار بأن هناك زماناً قليلاً لإعادة نمو المغnetة الطولية عندما يكون زمن التكرار TR قليلاً. كلما كان زمن التكرار TR قليلاً، كلما كانت مركبة المغnetة الطولية المتاحة للإثارة التالية أصغر، ومن ثم تقل إشارة الرنين المغناطيسي MR كذلك. عند تطبيق تتابع من نبضات الإثارة، فإن إشارة الرنين المغناطيسي MR تصبح أضعف وأضعف بعد كل نبضة تكرار. هذه العملية تسمى بالتشيع (الشكل رقم ١١).

كيف يعمل التصوير بالرنين المغناطيسي؟



الشكل رقم (١١). آلية التشيع، المغنتة الطولية M_z التي مسترد في الفترة الزمنية والتي من تكون متاحة للإثارة الثالثة تتناقص بعد كل نبضة راديو RF . في المثال الموضح، يكون زمن التكرار TR قصيراً جداً بحيث أن كمية أقل قليلاً من نصف المغنتة الطولية الأصلية يمكنها أن تنمو قبل بداية نبضة الإثارة الثالثة.

التشيع يكون موضوعاً مهماً عند استخدام تقنيات الرنين المغناطيسي MR سريعة أو فوق السريعة. هنا تكون إشارة الرنين المغناطيسي MR ضعيفة جداً نتيجة زمن التكرار القصير جداً (الشكل رقم ١٢). سنجعل هذه الظاهرة عندما نشرح تبعات الصدى الانحداري.



الشكل رقم (١٢). المغنتة الطولية عند زمن تكرار قصير. بعد تكرار الإثارة على فترات زمنية قصيرة جداً، فإن كمية المغنتة الطولية M_z المستعادة بعد كل نبضة تستقر عند مستوى قليل (حالة استقرار أو اتزان). في هذا الموقف، فإن كل إشارة الرنين المغناطيسي MR تتكون بعد كل نبضة إثارة ضعيفة جداً.

(٤) زاوية الانقلاب (زاوية المقدمة) Flip Angle (Tip Angle)

إن التصوير بزاوية الانقلاب الجزئي هو تقنية يمكن استخدامها لتقليل التشبع والحصول على إشارة رنين مغناطيسي MR مناسبة على الرغم من قصر زمن التكرار. زاوية الانقلاب الصغيرة لا تحدث انحرافاً كلياً للمغناطيسة حتى ٩٠ درجة ولكن جزء من الـ ٩٠ درجة (مثلاً ٣٠ درجة). كتيبة لذلك يكون هناك مغناطيسة عرضية أقل والإشارات المفردة ستكون أقل بينما سيكون هناك مغناطيسة طولية أكثر متاحة للإثارة التالية حتى لو كان زمن التكرار TR قصيراً جداً. وعلى ذلك فإن الإشارة الكلية ستكون أكبر من التي يمكن الحصول عليها مع زاوية انقلاب ٩٠ درجة. وعلى العموم، فكلما كان زمن التكرار TR قصيراً، فإن زاوية الانقلاب المطلوبة لمنع التشبع تكون أقل. زاوية الانقلاب التي تعظم الإشارة لأي زمن تكرار TR وزمن صدى TE تعرف بأنها زاوية Ernst angle.

(٥) التشبع المسبق Presaturation

هناك اختيار آخر متاح لتعديل تباین الصورة وهو التشبع المسبق. هذه التقنية تستخدم نبضة عاكسة ابتدائية طورها ٩٠ أو ١٨٠ درجة يتم تطبيقها قبل الحصول على بيانات الصورة. يمكنربط أو دمج نبضة التشبع المسبق مع كل نبضات التتابع الأساسية (SE, FSE, GRE, and EPI). ولكن ما هي فائدة هذه التقنية؟

نبضات صدى الانحدار السريعة تكون في العادة محدودة بالتباین الضعيف للصورة لأن أزمنة التكرار القصيرة تؤدي إلى تشبع متجانس للأنسجة المختلفة. كمارأينا سابقاً، فإن الصور الناتجة تكون موزونة بالزمن الأول T1 ولكن ليست بهذه القوة. يمكن الحصول على وزن أقوى للزمن الأول T1 عن طريق اختيار زاوية انقلاب أكبر ولكن

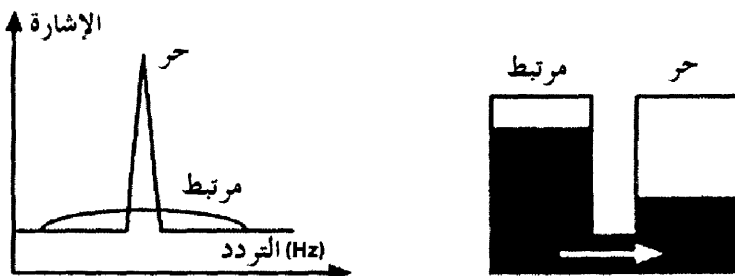
إشارة الرنين المغناطيسي MR الناتجة من الممكن أن تكون ضعيفة جداً للحصول على جودة مقبولة للصورة لأن التشيع من الممكن أن يزيد كذلك.

إن هذا يوضح لماذا تم استخدام التشيع المسبق لتحسين تباين الزمن الأول T1. يمكن الحصول على تأثير أكثر فعالية للزمن الأول T1 باستخدام نبضة عاكسة ١٨٠ درجة، أفضل من النسبة ٩٠ درجة لأن النسبة ١٨٠ درجة تعكس كل المغнطة الطولية. كنتيجة لذلك فإن تراخي T1 يبدأ عند -١ بدلاً من ٠ وبذلك يتاح ضعف الكمية من المغنطة الطولية. بالإضافة لذلك، فإن المشغل يمكنه تعديل تأثير الزمن الأول T1 عن طريق تغيير الفترة الزمنية بين النبضات العاكسة ١٨٠ درجة ونبضة الإثارة (= زمن العكس، T1). الزمن الأول T1 يمكن اختياره بحيث إن مشاركة الإشارة من نسيج معين يمكن القضاء عليها عن طريق تطبيق نبضة الإثارة عندما يكون النسيج حالياً من المغнطة. لذلك، فإن قصر T1 سيخدم الإشارة من الدهون المقطوع ٧، ٥) وطول الزمن الأول T1 للإشارة من CSF (تابع FLAIR، المقطوع ٦، ٧). وتطبيق عملي آخر لاستخدام التشيع المسبق وهو تحسين التصوير المتأخر في مرضي الذبحة القلبية (المقطوع ١١، ٨).

٦) نقل المغнطة Magnetization Transfer

بدون التصريح بذلك، فإنه فيما سبق كنا نقصد البروتونات الحرجة (البروتونات في الماء الحر) عندما كنا نتكلّم عن البروتونات لأن هذه فقط هي التي تشارك في إشارة الرنين المغناطيسي MR. بالإضافة إلى بروتونات الماء، فإن الأنسجة الحية تحتوي أيضاً تجمعات معينة من البروتونات المرتبطة والتي تكون جزيئات فسيخمة (أو ماكريوية) macromolecules (في العادة بروتينات). هذه البروتونات لا يمكن إظهارها مباشرة نتيجة أن الزمن الأول T1 لها قصير جداً. إن مدى ترددات لarmor لها أوسع من ترددات بروتونات الماء. وهذا هو السبب في أن البروتونات الجزيئية الفسيخة يمكن أيضاً إثارتها بنبضات راديو RF لها

ترددات تختلف قليلاً من ترددات لارمور لبروتونات الهيدروجين. لذلك، فمن الممكن أن نختار إثارة الأنسجة التي لها تجمعات كبيرة من البروتونات الجزيئية الضخمة بدون التأثير المباشر على البروتونات في الماء الحر. التطبيق المتكرر لنبضات نقل المغнطة يشيع المغнطة في البروتونات الجزيئية الضخمة حيث تم نقلها إلى البروتونات الحرقة القريبة. هذه العملية تكون مصحوبة بنقص في الإشارة التي يعتمد مقدارها على تركيز الجزيئات الضخمة ومدى تعاملها مع الماء الحر والذي يعرف بنقل المغнطة (الشكل رقم ١٣). النقص في شدة الإشارة بسبب النقل المغناطيسي يكون كبيراً في الأنسجة الصلبة وصغيراً فقط في السوائل طالما أن محتوياتها من الجزيئات الضخمة يكون قليلاً والأنسجة الدهنية.



الشكل رقم (١٣).

لقد تم استغلال ظاهرة نقل المغнطة لتحسين تباين الصورة باستخدام تقنية معروفة بالتصوير بنقل المغنطة. تباين نقل المغنطة (MTC) يستخدم في التصوير الغضروفي حيث يستخدم لتحسين التباين بين السوائل الزلالية synovial fluids والغضاريف لأن هذه السوائل تحتوي على القليل من البروتونات المرتبطة ولذلك فإنها تُظهر نقل مغнطة قليل بينما الغضاريف تحتوي جزء أكبر من البروتونات المرتبطة ولذلك تظهر كمية أكبر من المغنطة المنقوله. في المخ، نجد أن تقنية نقل المغنطة MTC تحسن اكتشاف جروح تعزيز الجادولينيوم gadolinium.

المراجع References

- 1- Nessaiver M (1996) All you really need to know about MR imaging physics. University of Maryland Press, Baltimore
- 2- Duerk JL (1997) Relaxation and contrast in MR imaging. In: Riederer SJ, Wood ML (eds) Categorical course in physics: the basic physics of MR imaging. RSNA Publications no 19, Oak Brook
- 3- Elster AD, Burdette JH (2001) Questions and answers in magnetic resonance imaging, 2nd edn. Mosby, St. Louis

الفصل الرابع

اختيار الشريحة والتشفير المكاني Slice Selection and Spatial Encoding

لقد أستعرضنا في الأجزاء السابقة ظاهرة الرنين المغناطيسي MR وشرحنا دور آرمنة التكرار والصدى. الآن، وفي النهاية، نحن نريد أن نصنع صورة. كتقنية التصوير الشعاعي المقطعي tomographic، فإن تصوير الرنين المغناطيسي يولد صوراً لمقاطع عرضية للجسم البشري. لذلك فإن نبضة الإثارة تطبق على الشريحة التي نريد تصویرها وليس لكل الجسم. كيف يتم ذلك، وكيف تمدنا الإشارة بمعلومات عن أصلها في الشريحة؟

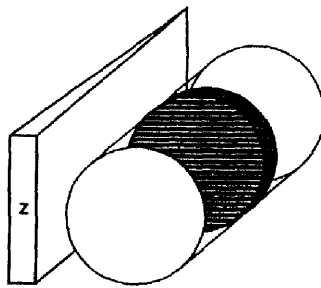
لتوضيح ذلك، سنفترض شريحة عرضية (محورية) أو مقطع عرضي خلال الجسم. المجال المغناطيسي في معظم ماسحات الرنين المغناطيسي MR لا يتم توجيهها من القمة للقاع، كما في كل التوضيحات التي استخدمناها حتى الآن، ولكن من خلال محور الجسم للشخص الذي يتم تصويره. من الآن، سترمز لهذا الاتجاه بالرمز "z" لأنه كما قلنا سابقاً فإن z تعني اتجاه المجال المغناطيسي الأساسي. الانحدار أو التدرج في المجال المغناطيسي الذي تم استخدامه يمكن التعبير عنه بأهداب، الجزء السميكي من هذه الأهداب يمثل شدة المجال الأعلى والجزء الرفيع فيها يمثل شدة المجال الأقل.

كل من الإثارة لشريحة معينة وتحديد مكان أصل الإشارة داخل الشريحة يعتمد على حقيقة أن تردد لارموري يتناسب مع شدة المجال المغناطيسي. بالإضافة إلى ذلك، نذكر أن البروتونات يتم إثارتها فقط بنبضات راديو RF والتي يكون ترددها تقريباً

كيف يعمل التصوير بالرنين المغناطيسي؟

يساوي تردد لارمور (حالة الرنين). إذا تم توليد مجالات بشدة متماثلة في كل الجسم، فإن كل البروتونات ستكتسب نفس تردد لارمور ويمكن إثارتها بشكل متزامن عن طريق نبضة راديو RF وحيدة.

لتنشيط الإثارة الاختيارية لشريحة معينة، فإن المجال المغناطيسي يتم ضبطه ليكون غير متجانس بطريقة خطية خلال الاتجاه z عن طريق ملف انحدار. كتيبة لذلك، فإن شدة المجال المغناطيسي يكون لها انحدار منتظم بحيث، كمثال، تكون أضعف ما يمكن عند رأس المريض وأقوى ما يمكن عند الأقدام. لذلك فإن تردد لارمور يتغير تدريجياً خلال المحور z وسيكون لكل شريحة الآن تردداتها الخاصة. لذلك، فإن تطبيق نبضة RF التي توافق تردد لارمور عند الشريحة المطلوبة ستثير البروتونات عند الشريحة المختارة فقط بينما سيقى باقي الجسم غير متأثر (الشكل رقم ١٤).



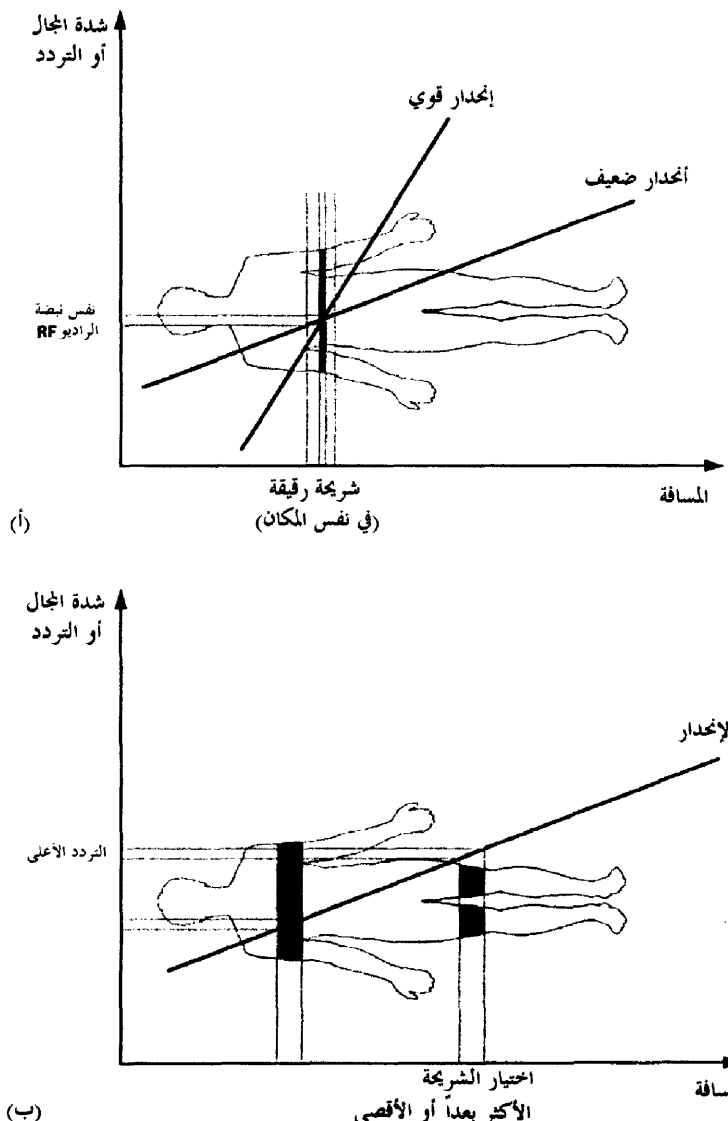
الشكل رقم (١٤). اختبار الشريحة عن طريق الانحدار في المحور z . نبضة راديو RF بتردد معين تثير شريحة واحدة محددة (المطللة) بحيث إن الشريحة المجاورة لن تتأثر لأن لها تردد رئيسي مختلف.

الانحدارات هي عبارة عن مجالات مغناطيسية إضافية تولدت عن طريق ملفات الانحدار ويتم طرحها أو إضافتها من المجال المغناطيسي الأساسي. على حسب موقعها من خلال الانحدار، فإن البروتونات يتم تعريضها وقتياً لمجالات مغناطيسية بشدة

مختلفة وبذلك ستختلف في ترددتها الدقيق. الانحدار الضعيف سيولد شرائحة سميكة بينما الانحدار الشديد أو العالي سيولد شرائحة أرفع أو أقل سمكًا (الشكل رقم ١٥). مكان الشرحية يتعدد بتغيير مركز التردد لنسبة الراديو RF المطبقة (الشكل رقم ١٥ ب).

باختيار مكان وسمك الشرحية عن طريق تطبيق الانحدار المناسب لذلك، يمكننا الآن أن نستمر في شرح كيفية تحديد مكان إشارة الرنين المغناطيسي MR. يتم ذلك عن طريق التشفير المكانـي spatial encoding والذي يعتبر الهدف الصعب في توليد صورة الرنين المغناطيسي MR ويطلب ذلك تطبيق انحدارات إضافية لتغيير من شدة المجال المغناطيسي في المحور y والمحور x. بمجرد فهمـنا لمعنى التشفير المكانـي، سيكون من السهل علينا فهمـ الأنواع المختلفة للعوامل التي تقلـل من جودة الصورة عمليـاً. التشفير المكانـي يحتوى على خطوتين، تشفير لزاوية الطور phase encoding و تشفير للتردد frequency encoding. سيتم شرح هاتين الخطوتين بترتيبـهم السابق، مما يعني أنـا يجب أن نبدأ بالخطوة الصعبة والتي هي تشفيرـ الطور.

بالنسبة لتشـفـيرـ الطـورـ، فإـنه يتم تـطـيـقـ انـحدـارـ في الاتـجـاهـ yـ (من أعلى لـأسـفلـ) بعد إثـارةـ المـغـازـلـ وـعـملـهـاـ فيـ المـسـتـوـيـ xyـ. انـحدـارـ تـشـفـيرـ الطـورـ هـذـاـ يـغـيـرـ فيـ تـرـدـدـاتـ لـأـرـمـورـ لـلـمـغـازـلـ تـبـعـاـ لـمـوـقـعـهـمـ فيـ اـتـجـاهـ الـانـحدـارـ. كـتـيـجـةـ لـذـلـكـ، فـإـنـ المـغـازـلـ التـيـ فيـ المـسـتـوـيـاتـ الـأـعـلـىـ مـنـ مـسـحـ تـعـرـضـ لـمـجـالـ مـغـناـطـيـسـيـ أـقـويـ وـلـذـلـكـ فـإـنـهاـ تـكـسـبـ طـورـاـ بـالـنـسـبـةـ لـلـمـغـازـلـ الـأـكـثـرـ بـطـئـاـ فيـ اـتـجـاهـ الـانـحدـارـ. سـتـكـونـ النـتـيـجـةـ هـيـ إـزـاحـةـ فيـ طـورـ المـغـازـلـ بـالـنـسـبـةـ لـعـضـهـاـ بـعـضـ (الـشـكـلـ رـقـمـ ١٦ـ). درـجـةـ إـزـاحـةـ الطـورـ تـتـحـدـدـ بـمـقـدـارـ وـسـعـةـ انـحدـارـ مشـفـرـ الطـورـ وـبـمـوـقـعـ الطـبـيـعـيـ لـتـذـبذـبـ النـوـىـ عـلـىـ اـمـتدـادـ طـوـلـهـاـ. إنـ كـسـبـ الطـورـ يـكـوـنـ أـعـلـىـ لـنـوـىـ الـقـرـيـبـةـ مـنـ قـمـةـ الـمـاسـحـ. عـنـدـ غـلـقـ انـحدـارـ أوـ توـقـيـفـهـ بـعـدـ فـتـرـةـ منـ الزـمـنـ، فـإـنـ كـلـ المـغـازـلـ تـعـوـدـ إـلـىـ بـدـاـيـةـ مـعـدـلـ عـمـلـهـاـ مـعـ الـاحـفـاظـ بـطـورـ لـلـإـمـامـ أوـ لـلـخـلـفـ بـالـنـسـبـةـ لـحـالـتـهـاـ السـابـقـةـ. يـتـغـيـرـ الطـورـ الـآنـ خـلـالـ المـحـورـ yـ بـطـرـيـقـةـ خـطـيـةـ بـحـيثـ إنـ كـلـ خـطـ منـ خـلـالـ الشـرـحـيـةـ يـمـكـنـ تـحـديـدـهـ بـزاـوـيـةـ طـورـ خـاصـةـ بـهـ وـفـرـيـدةـ.



الشكل رقم (١٥). (أ) شدة الانحدار المطبق يحدد سماكة الشرحقة. نبضة الراديو RF لتردد عرض مجال معين تنتج شرحة رقيقة إذا كان الانحدار قوياً وشرحة سميكه إذا كان الانحدار ضعيفاً. (ب) نبضة الراديو RF المركزية المطبقة تحدد مكان الشرحقة.

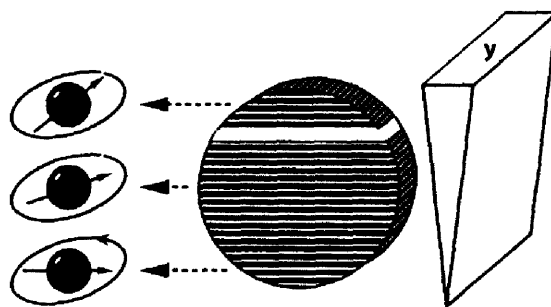
البعد المكاني الثاني لإشارة الرنين المغناطيسي MR الذي نريد تحديده يكون مشفراً بالتغيير في التردد خلال الاتجاه x. للوصول لذلك، يتم تطبيق تشفير تردد الانحداري، في المثال الحالي يكون في اتجاه المحور x. هذا الانحدار يولد مجالاً مغناطيسياً تزداد شدته من اليمين لليسار. التغيرات المقابلة في تردد لامور يجعل المغازل على الجانب الأيسر تعمل أبطأً من المغازل على الجانب الأيمن. عند تجميع إشارة الرنين المغناطيسي MR في أثناء عمل مشفر التردد الانحداري، فإننا لا نحصل على تردد وحيد ولكن على طيف تردد كامل (الشكل رقم ١٧) مسبباً ترددات أعلى عند الحافة اليمنى للشريحة وترددات أقل عند الحافة اليسرى. لذلك فإن كل عمود في الشريحة يتحدد بتردد معين . التردد والطور معاً ينشطان تحديد مكانى وحيد لكل عنصر حجمي (voxel).

تحتوي إشارة الرنين المغناطيسي MR المقاسة في هذه الحالة على معلومتين. التردد الذي يحدد الإشارة خلال المحور x. هذه المعلومة يمكن استخدامها مباشرة عن طريق تطبيق محول فوريير (أو تحليل ترددى) لفك الإشارة إلى محتوياتها أو مركباتها الترددية في اتجاه التشفير الترددى. هذه العملية الحسابية تساعده في تحديد الترددات الخاصة التي تحدد الإشارة. توزيع الطور في كل تردد يعطي معلومات عن مكان أصل الإشارة المقابلة في خلال المحور y. كيف سنحصل على هذه المعلومة الثانية إذا كان لدينا كل المغازل تدور بنفس التردد وأطوار مختلفة؟ الزاوية الخاصة بكل مغزل لا يمكن استنتاجها من إشارة وحيدة ولكن من مجموعة من الإشارات . في هذا الإطار يتم مقارنة إشارة الرنين المغناطيسي MR مع معادلة حسابية بعدة مجاهيل (٢٥٦ مثلاً) نعرف نتيجتها ولا نعرف مجاهيلها.

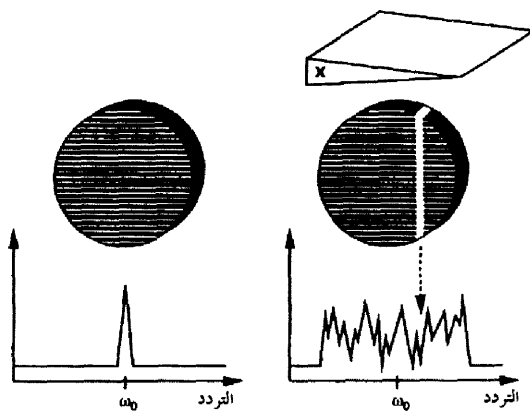
حساب هذه المجاهيل، فإننا نحتاج لعدد من المعادلات يساوى هذا العدد من المجاهيل. بتطبيق ذلك على إشارة الرنين المغناطيسي MR، فإن ذلك يعني أننا يجب أن نكرر هذا التتابع عدة مرات مع زيادة أو نقص شدة الانحدار. مجموعة الصدى التي نحصل عليها بتشفييرات مختلفة للطور تمكننا من استنتاج معلومات الطور المكانية المشفرة عن طريق تطبيق محول فوريير ثانى، يكون في اتجاه المحور y هذه المرة. لذلك، فإنه للتشفيير المكاني في بعدين، فإن محول فوريير يتم تطبيقه مرتين، وهذا هو السبب في

كيف يعمل التصوير بالرنين المغناطيسي؟

تسمية هذه الطريقة بمحول فوريير ذي البعدين (2D-FT). لإجراء مثل هذه الحسابات المعقّدة، حل مجموعة من المعادلات تصل إلى ٢٥٦ معادلة في ٢٥٦ مجهولاً كمثال، فإن ماسح الرنين المغناطيسي MR يتم تجهيزه بحاسب خاص، يسمى معالج المصفوفات.



الشكل رقم (١٦). تشفير الطور عن طريق الاتحدار في اتجاه y . كل خط أفقي (كمثال الخط الأبيض) يتحدد بكمية محددة من إزاحة الطور.



الشكل رقم (١٧). التشفير التردددي عن طريق الاتحدار في اتجاه x . عند إغلاق الاتحدار (اليسار) يتم استقبال تردد وحيد فقط، تردد لارمور ω_0 . عند فتح الاتحدار (اليمين) يتم استقبال طيف تردددي يتحدد فيه كل عمود بالتردد الوحيد والخاص به.

يتم إجراء قياسات متعددة بتأخيرات زمنية متعددة، وقد ذكر زمن التكرار مسبقاً. عدد خطوات تشفير الطور التي يتم إجراؤها يعتمد على جودة الصورة المطلوبة. زيادة عدد خطوات التشفير يحسن من تباين وجودة الصورة ولكنه أيضاً يطيل زمن المسح.

٤) التشفير المكاني ثلاثي الأبعاد Three-dimensional Spatial Encoding

أحياناً نحتاج لتصوير الحجم الكلي بدلاً من الالكتفاء بشرائح معينة، وذلك للأسباب التالية:

- مجموعة بيانات المصدر المكتسبة يكون مطلوبًا معالجتها مبدئياً، كمثال، لتوليد إعادة هيكلة في مستويات مختلفة.

- رغبة أحدهم في الحصول على شريحـة رقيقة بدون إغراق إشارة الرنين المغناطيسي MR في الضوضاء. الشـرائح الرقيقة تؤدي إلى إشارات رنين مغناطيسي MR أضعف لأن المغازل المثارة تكون أقل. يمكن التغلب على هذا العيب عن طريق الاستفادة من الإشارة القوية المتولدة عن طريق حجم كامل واستخلاص الشرائح المعينة بعد ذلك.

إذا أردنا إثارة حجم كامل بدلاً من شريحـة واحدة، فإننا سنحتاج لخطوة إضافية لتشفيـر المعلومات المكانية في الاتجاه الثالث (z). (هذه هي المعلومات المتوفرة عن طريق انحدار اختيار الشرحـة عند مسح شريحـة وحيدة).

في التصوير الحجمي، فإن الوضع المكاني للإشارة في خلال الاتجاه z يتم تشفيره عن طريق تطبيق انحدار تشفير طور إضافي، يسمى بالانحدار z. كما في حالة تشفير الانحدار في المحور y، فإن عدد التكرارات التي يتم إجراؤها يقيم مختلفة للانحدار تحدد تباين الصورة في الاتجاه z، والذي يقابل سـمك الشرحـة في التصوير ثالثي الأبعاد. حساب الصورة الحجمية يستهلك وقتاً أكثر؛ لأنه يتم استخدام محول فوريـر ثلاثي الأبعاد (3D-FT) مع وجوب إضافة محول في الاتجاه z. يعطي المحول 3D-FT بيانات

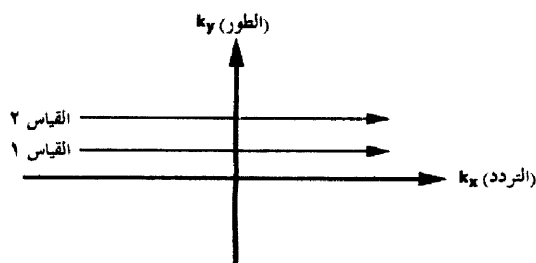
ثلاثية الأبعاد للحجم بدون فجوات بين الشرائح والتي يمكن منها إعادة هيكلتها في أي مستوى أو مسقط يمكن توليه بمساعدة خوارزم هيكلة مناسب. هذه التقنيات مفيدة جداً في تصوير الأوعية بالرنين المغناطيسي MR.

العيوب الأساسي في التصوير الحجمي هو أنه يمكن أن يطيل زمن المسح بطريقة غير مبررة أو مفرطة لأن التشغيل المكاني في الاتجاه x و y لا بد من إجرائه لكل خطوة تشغيل للطور في اتجاه المحور z.

٤ ، ٢) الفضاء K-space

البيانات المجمعية من الإشارات يتم تخزينها في مساحة حسابية تعرف بالفضاء K. الفضاء K له محوران، الأفقي منه K_x (يمثل بيانات التردد والمحور الرأسي K_y) يمثل بيانات الطور (الشكل رقم ١٨). إنها مصفوفة شكلية لبيانات الرنين المغناطيسي MR الرقمية والتي تمثل صورة الرنين المغناطيسي MR قبل استخدام محول فوريير. كل خط في الفضاء K يقابل واحداً من القياسات ويتم اكتساب خط لكل خطوة تشغيل للطور. خط المركز (٠) يمتلأ ببيانات التي لم تتأثر بتشغيل انحدار الطور (مركز الانحدار).

الفضاء K



الشكل رقم (١٨). الفضاء K . K_x هي محور التردد، و K_y هي محور الطور. البيانات من كل قياس تمثل خط أفقي مختلف.

يتم إنشاء صورة الرنين المغناطيسي MR من البيانات الخام عن طريق تطبيق محول فوريير ثنائي الأبعاد 2D-FT بعد الانتهاء من المسح وامتلاء الفضاء K. الخطوط في الفضاء K لا تتقابل تماماً مع الخطوط في الصورة الناتجة. البيانات في مركز الفضاء K تحدد أساساً التباين في الصورة بينما الخطوط الخارجية تمثل أساساً معلومات مكانية. عند شرح التتابعات السريعة (الفصل الثامن)، سنتعلم كيف نزيد من سرعة المسح عن طريق ملء أكثر من خط في الفضاء K بقياس واحد.

المراجع References

- 1- Wehrli FW (1997) Spatial encoding and k-space. In: Riederer SJ, Wood ML (eds). Categorical course in physics: The basic physics of MR imaging. RSNA Publications no 31, Oak Brook
- 2- Wood ML, Wehrli FW (1999) Principles of magnetic resonance imaging. In: Stark DD, Bradley WG Jr (eds) Magnetic resonance imaging, 3rd edn. Mosby-Year Book no 28, Mosby, St. Louis

العوامل المؤثرة في نسبة الإشارة للضوضاء

Factors Affecting the Signal-to-Noise Ratio

لقد تعلمنا في الفصول السابقة كيف تكون إشارة الرنين المغناطيسي MR وكيف يتم معالجة الإشارات المجمعية لتكوين صورة الرنين المغناطيسي MR. ما تم إهماله فيها سبق هو أن إشارة الرنين المغناطيسي MR يمكن أن تتأثر أو تنخفض عن طريق الضوضاء. الضوضاء على هذه الصورة تتبع من عدد من العوامل المختلفة:

- عيوب في نظام الرنين المغناطيسي MR مثل عدم التجانس في المجال المغناطيسي، والضوضاء الحرارية من ملفات الراديو RF، أو عدم الخطية في مكبرات الإشارة.
- عوامل مصاحبة مع عمليات معالجة الصورة نفسها.
- عوامل متعلقة بالمريض تتبع من تحريك جسمه أو حركاته التنفسية.

العلاقة بين إشارة الرنين المغناطيسي MR وكمية الضوضاء في الصورة يعبر عنها بنسبة الإشارة للضوضاء signal to noise ratio (SNR). حسابياً نسبة الإشارة للضوضاء SNR هي حاصل قسمة شدة الإشارة المقاسة في منطقة الاهتمام (ROI) والانحراف القياسي لشدة الإشارة في منطقة خارج التشريح أو الهدف الذي يتم تصويره (بمعنى منطقة لا توجد عندها إشارة من الأنسجة).

كيف يعمل التصوير بالرنين المغناطيسي؟

القيم العالية لنسبة الإشارة للضوضاء SNR يكون مرغوباً فيها دائمًا في الرنين المغناطيسي MRI. تعتمد نسبة الإشارة للضوضاء SNR على العوامل التالية:

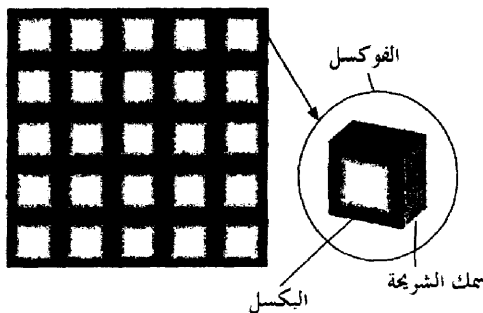
- سماكة الشرحقة وعرض المجال للمستقبل
- مجال الرؤية Field of view
- حجم (الصورة) المصفوفة
- عدد القياسات
- معاملات المسح (زمن التكرار TR وزمن الصدى TE وزاوية الانقلاب)
- شدة المجال المغناطيسي
- اختيار ملف الإرسال والاستقبال (ملف الراديو RF)

قبل البدء في شرح كل من هذه المعاملات، من الضروري أولاً أن نوضح بعض المفاهيم.

١٥) البكسل والفووكسل والمصفوفة Pixel, Voxel, Matrix

إن صورة الرنين المغناطيسي MR صورة رقمية تتكون من مصفوفة من البكسلات أو عناصر الصورة. المصفوفة هي شبكة ثنائية الأبعاد من الصفوف والأعمدة. يمثل البكسل كل مربع في شبكة الصورة ويحدد بقيمة شدة الإشارة المفاسدة فيه. كل بكسل في صورة الرنين المغناطيسي MR يعطي معلومات عن عنصر في حجم ثالثي الأبعاد، يسمى الفووكسل (الشكل رقم ١٩). إن حجم الفووكسل يحدد التباين المكاني لصورة الرنين المغناطيسي MR.

يمكن حساب حجم الفووكسل من مجال الرؤية، وحجم المصفوفة، وسمك الشرحقة. على العموم، تباين صورة الرنين المغناطيسي MR يزداد مع تناقص حجم الفووكسل.



الشكل رقم (١٩). الفوكسل هو حجم نسيجي مثل بكسل في صورة الرنين المغناطيسي **MR** ثنائية الأبعاد.

(٥) سماكة الشرحقة وعرض المجال المستقبل

Slice Thickness and Receiver Bandwidth

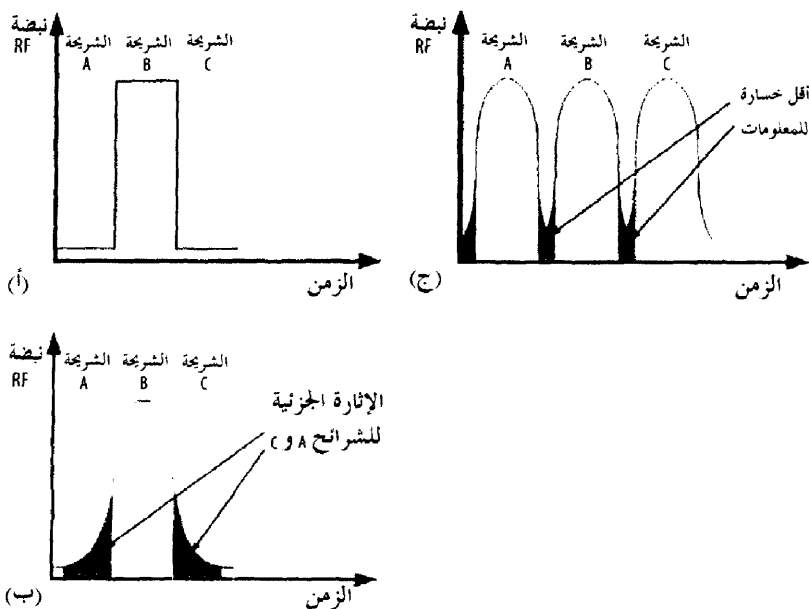
لتحقيق تباين مثالي للصورة، فإننا نحتاج لشرحقة رقيقة جداً مع نسبة إشارة لضوضاء SNR عالية. ولكن الشرائح الرقيقة تكون مصحوبة بضوضاء أكثر، وعلى ذلك فإن نسبة الإشارة للضوضاء SNR تقل مع تقليل سماكة الشرحقة. وبالعكس، فإن الشرائح السميكة تكون مصحوبة بمشاكل أخرى مثل الزيادة في تأثيرات الحجم الجزيئي.

يمكن التغلب على تأثير ضعف نسبة الإشارة للضوضاء SNR مع الشرائح الرقيقة إلى حدٍ ما عن طريق زيادة عدد القياسات أو تطويل زمن التكرار TR. حتى هذا يتم فقط على حساب زمان قياس الصورة الكلية ويقلل كفاءة تكلفة نظام تصوير الرنين المغناطيسي **MR**.

عرض (أو اتساع) المجال للمستقبل band width هو مدى التردد الذي يتم تجميعه عن طريق نظام الرنين المغناطيسي MR أثناء التشغيل الترددية. يتم وضع عرض المجال إما آلياً أو يمكن تغييره عن طريق المشغل. عرض المجال الواسع ينشط التجميع السريع للبيانات ويقلل من مشاكل الإزاحة الكيميائية (المقطع ١٣، ٣) ولكن أيضاً يقلل نسبة الإشارة للضوضاء SNR بالإضافة ضوضاء أكثر. إنقاذه عرض المجال للنصف يؤدى ذلك إلى زيادة نسبة الإشارة للضوضاء SNR للصورة بحوالي ٣٠٪. مع عرض المجال الضيق، على الجانب الآخر، سيكون هناك إزاحة كيميائية أكثر وعيوب حركية وسيكون عدد الشرائح التي يمكن اكتسابها في زمن تكرار TR معين محدوداً.

الفراغ بين الشرائح هو عبارة عن فراغ صغير بين شريحتين متجاورتين. ربما يكون من المرغوب فيه الحصول على شرائح متصلة ولكن الفراغ بين الشرائح يكون ضرورياً في تصوير الصدى المغزلي SE نتيجة العيوب في نصبات الراديو RF. لأن شكل الشرائح الناتجة لا يكون مستطيلاً بالضبط (الشكل رقم ٢٠)، فإن شريحتين متجاورتين تتطبقان عند حوافهم عندما تكونان متجاورتين تماماً بدون فراغ. تحت هذا الشرط، فإن نسبة الراديو RF لأحد الشرائح تثير أيضاً البروتونات في الشرائح المجاورة. مثل هذا العيب يسمى cross talk أو التداخل.

التداخل يتبع عنه تأثيرات تشبعيه ولذلك فإنه يقلل نسبة الإشارة للضوضاء SNR (الشكل رقم ٢٠ بـ). عند اختيار فراغ مناسب بين الشرائح عليك المقارنة بين نسبة إشارة لضوضاء SNR جيدة، التي تتطلب فراغاً كبيراً ليقلل أو ينهي التداخل، والرغبة في تقليل كمية البيانات التي تفقد حينما تكون الفجوة كبيرة جداً. في أغلب التطبيقات العملية يكون الفراغ بين الشرائح حوالي ٢٥ - ٥٠٪ من س سمك الشريحة.



الشكل رقم (٢٠). (أ) شكل شريحة قياسي (ب) شكل شريحة مشوه وغير مستطيل في تصوير الصدى المغزلي SE مع الإثارة غير المتزمعة للشرايين المجاورة يقلل نسبة الإشارة للضوباء SNR. (ج) مع فراغات بين الشرايين، فإن التناقص في نسبة الإشارة للضوباء SNR يمكن أقل ما يمكن.

على الجانب الآخر، فإن التشبع غير المرغوب فيه للبروتونات في الشرايين المجاورة يمكن تقليله عن طريق تصوير شرائين متعددة، والذي سيتم شرحه في المقطع ٧. أزمنة المسح تكون كبيرة إلى حد ما إلا إذا تم استخدام أزمنة تكرار قصيرة TR.

إن تتابعات صدى الانحدار GRE تكون مختلفة، لأنها لا تتطلب نبضة تركيز ١٨٠ درجة ولذلك تسمح بقياس الشرايين المجاورة بدون فراغات بين الشرايين.

(٣، ٥) مجال الرؤية والمصفوفة Field of View and Matrix

هناك علاقة وثيقة بين مجال الرؤية FOV و نسبة الإشارة للضوضاء SNR. عندما يكون حجم المصفوفة ثابتاً، فإن مجال الرؤية FOV يحدد حجم البكسل. يتم حساب حجم البكسل في اتجاه تشفير التردد عن طريق قسمة مجال الرؤية FOV بالملليمتر على المصفوفة في اتجاه تشفير التردد وحجم البكسل في اتجاه تشفير الطور.

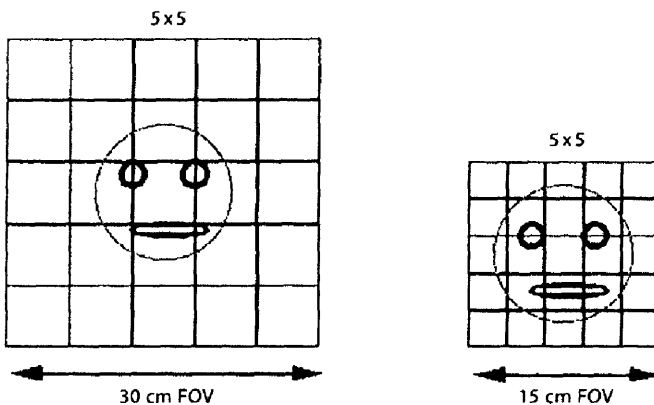
كما هو موضح في الشكل رقم (٢١)، فإن حجم البكسل يتغير مع مجال الرؤية FOV. إن مجال رؤية صغير يتبع عنه حجم بكسل صغير طالما أن المصفوفة لم تتغير. حجم البكسل يكون حرجاً لتحديد التباين المكانى لصورة الرنين المغناطيسي MR. لنفس مجال الرؤية FOV فإن المصفوفة الأدق (بمعنى المصفوفة التي تتكون من بكسلات أكثر) يتبع عنها تباين مكانى أحسن (انظر الشكلين رقمي ٢٢ و ٢٣).

وبالعكس فإن المصفوفة الأقل دقة (بمعنى المصفوفة التي لها عدد بكسلات أقل) يتبع عنها تباين مكانى أسوأ عندما يكون مجال الرؤية FOV ثابتاً (الشكل رقم ٢٣).

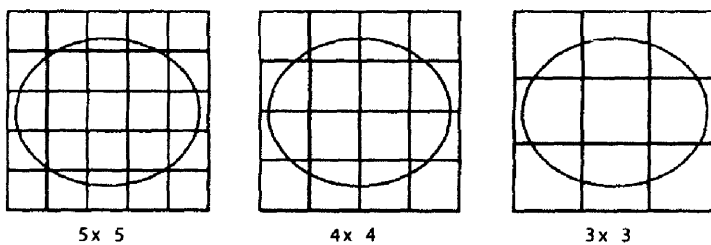
اعتماداً على ما قلنا فيما سبق، فإنه يمكننا أن نستنتج أن المصفوفة يجب أن تكون كبيرة بقدر الإمكان للحصول على عدد كبير من عناصر الصورة. هذا يكون حقيقة بدلالة تباين الصورة، ولكن الحجم الأصغر للبكسل يكون محدوداً بحقيقة أن نسبة الإشارة للضوضاء SNR تقل مع حجم الفوكسيل.

عامل محدد آخر هو اكتساب الصورة أو زمن مسحها، والذي يزيد بطريقة مباشرة مع حجم المصفوفة. زمن المسح هو المفتاح للكفاءة الاقتصادية لكل أنظمة الرنين المغناطيسي MR ويمكن حسابه بمعادلة بسيطة.

$$\text{زمن المسح} = \text{زمن التكرار TR} \times \text{عدد خطوات تشفير الطور} \times \text{عدد متosteats} \\ \text{الإشارة (NSA)} [\text{طول تتابعات الصدى (ETL)}]$$



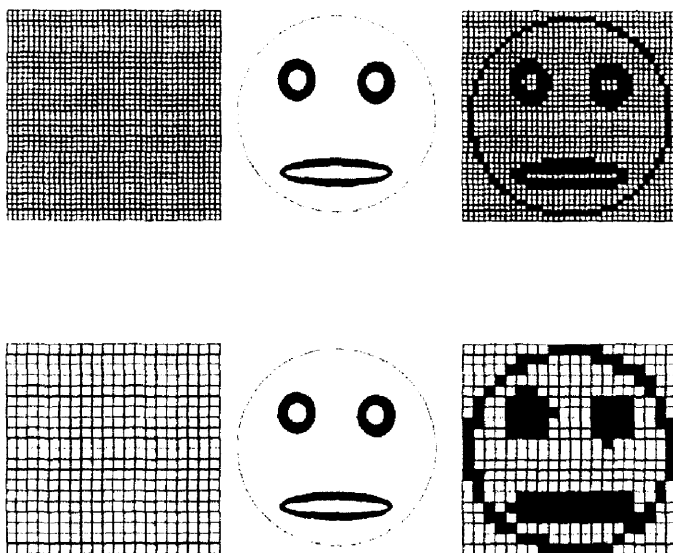
الشكل رقم (٢١). تأثير مجال الرؤية **FOV** على حجم البكسل مع الاحتفاظ بحجم المصفوفة ثابت.



الشكل رقم (٢٢). حجم صغير للمصفوفة مع ثبات مجال الرؤية **FOV** ينتج بكسلات بحجم أكبر ولذلك يعطي تبايناً أسوأ.

يمكن استخدام حيلة للحصول على تباين مكاني أعلى في زمن مسح معقول. يتم ذلك عن طريق تقليل مجال الرؤية في اتجاه تشفير الطور فقط (مجال رؤية مستطيل) وهذا ممكن لأن التباين المكاني يتحدد بحجم المصفوفة في اتجاه تشفير التردد بينما زمن المسح يتحدد بحجم المصفوفة في اتجاه تشفير الطور. لذلك فإن تقليل حجم المصفوفة في اتجاه تشفير الطور لا

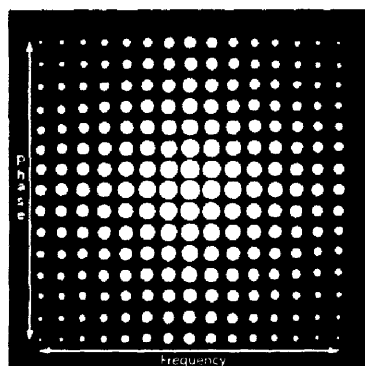
يقلل التباين المكاني. ملء نصف العدد العادي فقط من خطوط تشير الطور في الفضاء يقلل زمن التصوير ومحال الرؤية FOV بمقدار ٥٠٪. وبالتالي، فإن استخدام محال رؤية FOV مستطيل يمكن أن يكون مصحوب بعيوب التفافية عندما تظهر إشارات من خارج محال الرؤية FOV في اتجاه تشير الطور في الصورة عند مواضع غير صحيحة (الفصل الثالث عشر). هذا النوع من الالتفاف يمكن التخلص منه عن طريق اختيار معينة مثل "منع التفاف الطور no phase wrap". بالإضافة لذلك، فإن تقليل محال الرؤية في اتجاه تشير الطور يكون مصحوباً بانخفاض قليل في نسبة الإشارة للضوضاء SNR. محال الرؤية المستطيل يستخدم تماماً لتصوير العمود الفقري وتصوير الأوعية بالرنين المغناطيسي MR.



الشكل رقم (٢٣). تأثير حجم المصفوفة على التباين المكاني. افترض أنت تصور الوجه الضاحك باستخدام مصفوفة أدق (أعلى) ومصفوفة أقل دقة (أسفل). البكسلات التي تبعد عن الوجه سوداء. نلاحظ من الصورتين سوء التباين عند استخدام المصفوفة الأقل دقة (أسفل يمين): مركز العين والعين لم يمكن تمييزها وكذلك الفم المفتوح ظهر مغلقاً.

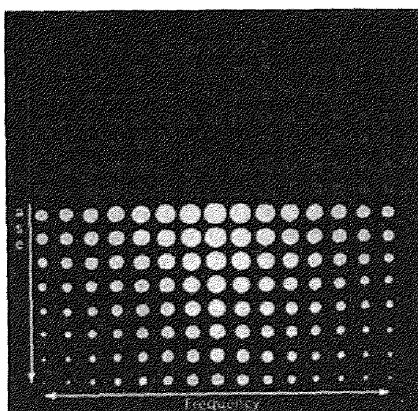
زمن المسح يمكن تقصيره أكثر في المساحات الحديثة التي تمكن المستخدم من استخدام مجالات رؤية مستطيلة مع بكسلات مستطيلة.

في النهاية، فإن تقنيات مختلفة لقياس الفضاء K الجزئي (انظر الأشكال أرقام ٢٤، ٢٥، و ٢٦) توفر زمن المسح بدون الحاجة إلى تغيير حجم الغوكسيل. في تصوير فوريير الجزئي، يتم ملء نصف (أو أعلى قليلاً) الخطوط فقط في اتجاه تشفير الطور (الشكل رقم ٢٤) بينما تصوير الصدى الجزئي أو الكسري (الشكل رقم ٢٥) يقصد به تقنية الملة غير الكامل لخطوط تشفير التردد عن طريقأخذ عينات من جزء فقط من كل صدى. كل من الطريقتين تعتمد على التمايز الضمني للفضاء K والتي تسمح باستنتاج interpolate الخطوط غير المملوأة ومن ثم إنشاء صورة الرنين المغناطيسي MR عندما يكون نصف من خطوط الفضاء K أو أكثر قليلاً تم أخذها كعينات sampled. كل من الطريقتين تقصر زمن المسح ولكن ذلك يكون على حساب نسبة الإشارة للضوضاء SNR. فوريير الجزئي وتصوير الصدى الجزئي تستخدم في تقنيات التصوير السريع (الفصل الثامن).

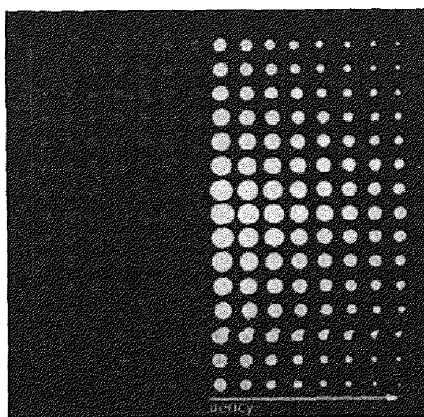


الشكل رقم (٢٤). عينات كاملة للفضاء $-K$. كل نقطة بيانات تمثل خط تشفير تردد واحد وخط تشفير طور واحد.

كيف يعمل التصوير بالرنين المغناطيسي؟



الشكل رقم (٢٥). تصوير فوري جزئي. أقل قليلاً من نصف الخطوط في الفضاء- K في اتجاه تشفير التردد لم يتمأخذ عيناتها (النقط الرمادي). هذه الخطوط يتم استنتاجها من الخطوط المجاورة **interpolation**.



الشكل رقم (٢٦). تصوير الصدى الجزيئي. أقل قليلاً من نصف خطوط الفضاء- K في اتجاه تشفير التردد لا يتم ملؤها مباشرة (النقط الرمادية). الخطوط غير الملوأة تمثل جزء الصدى التي لم يتمأخذ عينات لها. صورة الرنين المغناطيسي **MR** الناتجة لها تباين مماثل ولكن نسبة الإشارة للضوضاء **SNR** أسوأ بالمقارنة مع الصورة المأخوذة بعينات كاملة للفضاء K (شكل رقم ٢٤) (نتيجة استخدام بيانات حقيقة أقل).

في تحويل فوري ثنائي الأبعاد 2D العادي أو تصوير الانحراف المغزلي spin warp imaging، يتم ملء الفراغ - K تابعياً خطأً بعد الآخر (قياسات خطية أو كارتيزية Cartesian) . تتابعات متقدمة أكثر تعقیداً تستخدم مسارات الفضاء K spiral والتي تملأ الخطوط من المركز إلى المحيط (ترتيب محوري منحنى للفضاء K أو CENTRA). في تصوير الرنين المغناطيسي MR للأوعية، كمثال، فإن هذه التقنية تستخدم ملء مركز الفضاء K بالبيانات المهمة لعمل تحسين شكلي للتباين.

(٤ ، ٥) عدد الإثارات Number of Excitations

عدد الإثارات (NEX)، أو عدد متوسطات الإشارة (NSA) تحدد كم عدداً من المرات سيتم قياس إشارة من شريحة معينة. إن نسبة الإشارة للضوّاء SNR، التي تتناسب مع الجذر التربيعي لعدد الإثارات NEX، تحسن بزيادة عدد الإثارات NEX، ولكن زمن المسح أيضاً يزيد خطياً مع عدد الإثارات NEX.

(٥) معاملات التصوير Imaging Parameters

معاملات أخرى تؤثر على نسبة الإشارة للضوّاء SNR وهي التتابع المستخدم، وזמן الصدى (TE)، وזמן التكرار (TR)، وزاوية الانقلاب. إن نسبة الإشارة للضوّاء SNR تزداد مع زمن التكرار TR ولكن تأثير الزمن الأول T1 يفقد أيضاً مع أزمنة التكرار TRs الطويلة. وبالعكس، فإن نسبة الإشارة للضوّاء SNR تنقص مع زيادة زمن الصدى TE. مع TE القصيرة، فإن تباين الزمن الثاني T2 يفقد. لهذا السبب، فإن اختيار تقصير زمن الصدى TE لتحسين نسبة الإشارة للضوّاء SNR يكون متاحاً فقط للتتابعات الموزونة بالزمن الأول T1.

٦، ٥) شدة المجال المغناطيسي Magnetic Field Strength

تطبيق شدة مجال مغناطيسي أعلى يزيد المغнطة الطولية لأن بروتونات أكثر تتحادى مع المحور الأساسي للمجال المغناطيسي، ينتج عنه زيادة في نسبة الإشارة للضوباء SNR. ونسبة الإشارة للضوباء SNR المحسنة التي نحصل عليها مع أنظمة المجال الأعلى (الفصل الرابع عشر) يمكن استخدامها لتحقيق صور بتباين مكاني أحسن أو للحصول على تصوير سريع.

٦، ٧) الملفات Coils

وسيلة مهمة لتحسين نسبة الإشارة للضوباء SNR، بدون زيادة حجم الفوكسل أو تطويل زمن المسح، هي عن طريق اختيار ملف ترددات راديو مناسب radiofrequency (RF). عامة، ملف الراديو RF يجب أن يكون أقرب ما يمكن للجسم الذي سيتم تصويره ويجب أن يحيط بالعضو أو الهدف المراد تصويره. كلما كان الملف قريباً من العضو المراد فحصه كلما كانت الإشارة الناتجة أحسن. ملفات الراديو RF يمكن استخدامها إما لإرسال إشارة الراديو RF واستقبال إشارة الرنين المغناطيسي MR، أو تعمل كملفات استقبال فقط. في الحالة الثانية فإن نبضات الإثارة يتم إعطاؤها من ملف الجسم body coil. أنواع الملفات الأساسية التي يمكن تمييزها سيتم شرحها فيما يلي:

٦، ٨) ملفات الجسم Volume Coils

ملفات الجسم يمكن استخدامها ضمنياً كملفات استقبال فقط أو ملفات إرسال/استقبال معاً. ملفات الجسم تحيط بالعضو المراد تصويره مباشرةً. هناك شكلان شائعان الاستخدام هما شكل السرج (البردعة) saddle وقفص الطيور birdcage. تميز ملفات الجسم بإشارة متجانسة. نوع آخر من ملفات الجسم هي ملف الجسم، والذي يكون

جزءاً أساسياً في ماسح الرنين المغناطيسي MR والذي يكون عادة في ثقب المغناطيس نفسه. ملفات الرأس والأطراف عبارة عن أمثلة أخرى لملفات الحجم.

Surface Coils (٥,٧,٢)

معظم ملفات السطح يمكنها فقط استقبال إشارة الرنين المغناطيسي MR وتعتمد على ملفات الجسم في إعطاء نبضات الراديو RF. ملفات السطح متاحة أيضاً في صورة يمكنها إرسال/استقبال للإشارات. تستخدم ملفات السطح في التصوير بالرنين المغناطيسي MRI للعمود الفقري وللأجزاء التشريحية الصغيرة.

Intracavity Coils (٥,٧,٣)

ملفات داخل التجويف أو الفراغ البيني هي ملفات صغيرة موضعية توضع في تجويف الجسم لتحسين جودة الصورة لكونها تكون مجاورة للهدف الذي يراد تصويره. في عيادات التصوير بالرنين المغناطيسي MRI، تستخدم ملفات نهاية المستقيم لتصوير البروستاتة والعضلة العاصرة الشرجية Anal sphincter muscle. تتضمن التطبيقات التجريبية كذلك تصوير بطانة الأوعية endovascular وتصوير الأعضاء المقوفة.

Phased Array Coils (٤,٧,٥)

تستخدم ملفات صف الطور في استقبال إشارة الرنين المغناطيسي MR. يتكون نظام صف الطور من عدة ملفات لا تعتمد على بعضها وموصلة على التوالي أو التوازي. كل ملف يغذي مستقبل معين. تجمع البيانات من كل هذه المستقبلات لتكون صورة واحدة. ملفات صف الطور تعطي صوراً تباين مكاني عالي وتسمح بالتصوير في مجال رؤية عالي مما يحسن من نسبة الإشارة للضوّضاء SNR وتجانس الإشارة.

كيف يعمل التصوير بالرنين المغناطيسي؟

الجدول رقم (٤) يلخص العوامل التي تؤثر في نسبة الإشارة للضوضاء SNR.
 الجدول رقم (٥) يلخص تأثير حجم المصفوفة، وسمك الشرحمة، ومحال الرؤية FOV على التباين المكاني. الجدول رقم (٦) يلخص تأثير معاملات التتابع على نسبة الإشارة للضوضاء (SNR).

الجدول رقم (٤). تأثير معاملات التصوير والتتابع على نسبة الإشارة للضوضاء SNR.

SNR للضوضاء	نسبة الإشارة	التجدد في المعاملات
تزايد	زيادة سماكة الشرحمة	
تزايد	زيادة مجال الرؤية FOV	
تقليل	تقليل مجال الرؤية FOV في اتجاه تشفير الطور (مجال رؤية مستطيل)	
تزايد	زيادة زمن التكرار TR	
تقليل	زيادة زمن الصدى TE	
تقليل	زيادة حجم المصفوفة في اتجاه تشفير التردد	
تقليل	زيادة حجم المصفوفة في اتجاه تشفير الطور	
تزايد	زيادة عدد الإثارات NEX	
تزايد	زيادة شدة المجال المغناطيسي	
تقليل	زيادة عرض مجال المستقبل	
تزايد	تشغيل الملفات الموضعية	
تقليل	تصوير صدئي جزئي	
تقليل	تصوير فوري جزئي	

الجدول رقم (٥). تأثير حجم المصفوفة، وسمك الشرحقة ، و مجال الرؤية FOV على التباين المكانى.

البيان المكانى	التغير في المعاملات
تردد	زيادة حجم المصفوفة
تقل	استخدام شرائح سميكة
تقل	زيادة مجال الرؤية FOV

الجدول رقم (٦). تأثير معاملات التتابع المختلفة على زمن المسح.

زمن المسح	التغير في المعاملات
يقل	استخدام شرائح سميكة
لا تأثير مباشر	زيادة مجال الرؤية FOV
يقل	استخدام مجال رؤية FOV مستطيل(في اتجاه تشغیر الطور)
يزداد	زيادة زمن التكرار TR
يزداد	زيادة زمن الصدى TE
يزداد	زيادة حجم المصفوفة في اتجاه تشغیر التردد
يقل	تصوير فوري الجزئي
يقل	تصوير صدى جزئي
يزداد	زيادة عدد الإثارات NEX

المراجع References

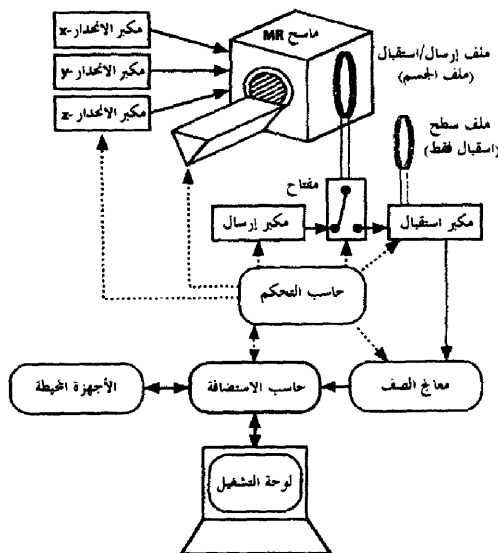
- 1- Elster AD, Burdette JH (2001) Questions and answers in magnetic resonance imaging, 2nd ed. Mosby, St. Louis
- 2- Mitchell DG, Cohen MS (2004) MRI principles, 2nd ed. Saunders, Philadelphia
- 3- Hendrick RE (1999) Image contrast and noise. In: Stark DD, Bradley WG Jr (eds) Magnetic resonance imaging, 3rd ed. Mosby-Year Book no 43. Mosby, St. Louis

الفصل السادس

ماسح الرنين المغناطيسي The MR Scanner

- لقد تم ذكر جميع المكونات الأساسية لجهاز التصوير بالرنين المغناطيسي MRI وسنُعيد ذكرها الآن وهي كما يلي: (الشكل رقم ٢٧)
- مغناطيس قوي لتوليد مجال مغناطيسي ثابت (B_0).
 - نظام انحدار يتكون من ثلاث ملفات لإنتاج مجالات خطية في الاتجاهات x و y و z والمكبرات المناظرة.
 - مرسل موجات راديوية RF بملف إرسال مبني في الماسح.
 - مستقبل موجات راديو RF عالي الحساسية للتقطط إشارة الرنين المغناطيسي MR وتكييرها. بدلاً من ذلك، يمكن للمصورين استخدام ملف راديو RF واحد ينتقل بين الإرسال والاستقبال.
 - ملفات إضافية، إما ملفات استقبال وإما ملفات إرسال/استقبال.
 - حاسبات مختلفة للتحكم في الماسح والانحدار (حاسوب تحكم)، لتوليد صور الرنين المغناطيسي MR (معالج المصفوفة)، ولتحورة كل العمليات (الحاسوب الأساسي أو الاستضافة، والتي يوصل إليها لوحة التشغيل وأرشيفات الصورة).

- أجهزة محيطة أخرى مثل التحكم في جدول المريض، جهاز رسم القلب (ECG) ومراقبة التنفس لبدء تتابعات الرنين المغناطيسي MR الخاصة، نظام تبريد للمغناطيس، لوحة تشغيل للمشغل (المعالجة الصور مثلاً)، جهاز لتحميص الأفلام أو PACS نظام أرشيف واتصالات للصورة.



. الشكل رقم (٢٧). المكونات الأساسية لماضي الرنين المغناطيسي MR .

٦، (١) المغناطيسي The Magnet

- المجال المغناطيسي المتولد بالمغناطيس يجب أن تكون له الخواص التالية:
- شدة مناسبة، والتي تتراوح بين $1,0,0$ و $3,0 T$ في حالة التصوير بالرنين المغناطيسي MR الطبيعي.
- ثبات عالي بدون أي تغيرات في شدة المجال.

- أحسن تجانس ممكن مع انتظام الشدة في كل المجال بدون أي ثقوب. يعبر عن تجانس المجال بالجزء في المليون ppm نسبة إلى المجال الأساسي على مدى مسافة معينة. عدم التجانس خلال حجم المسح يجب أن يكون أقل من ٥ ppm (٠.٠٠٠٥%).

ثلاث أنواع من المغناطيسيات يمكن تمييزها:

١- مغناطيسيات مقاومة resistive magnets وهي مغناطيسيات كهربائية عادية تعتمد على مصدر قدرة ثابت لتوليد شدة المجال. أقصى شدة مجال تولد بمغناطيس المقاومة تكون حوالي ٣٠ T . العيوب الأساسية هي تكلفة التشغيل العالية نتيجة كمية القدرة المطلوبة وتجانس المجال السيء في العادة. من المميزات لهذا النظام، الأمان حيث يمكن وقف المجال لحظياً في حالة أي طوارئ.

٢- مغناطيسيات دائمة تكون من مواد فرومغناطيسية تولد مجالاً مغناطيسياً يبقى حتى بدون استخدام مصدر قدرة خارجية. وبذلك، فإن المغناطيسيات الدائمة تكون ثقيلة جداً، يمكنها إعطاء مجال حوالي ٥ T فقط، ويعتمد على ثبات درجة الحرارة الخارجية.

٣- مغناطيسيات التوصيل المتأهي أو التوصيل الفائق Superconducting magnets تكون من ملف مصنوع من سبيكة النيوبيوم- التيتانيوم (Nb-Ti) والتي تتلاشى مقاومتها للتيار الكهربائي تقريباً عند تبریدها قریباً من الصفر المطلق (٤ درجات كلفن، أو -٢٦٩ درجة مئوية). في هذه الحالة من التوصيلية المتأهية، والتي يتم الحصول عليها باستخدام مادة مبردة تعرف بمخفضات درجة الحرارة cryogens (وهي في العادة الهيليوم السائل)، فإنه بمجرد تمرير التيار فيها فإنه يمر إلى مالا نهاية. بمجرد تكون المجال المغناطيسي فإنه يبقى بدون أي قدرة خارجية. مجالات قوية جداً ومتجانسة تصل إلى ١٨ T يمكن توليدها بهذه الطريقة. على الرغم من ذلك، فإن الهيليوم السائل يتبعز ويجب إمداده باستمرار. في حالات

الطوارئ لا يمكن ببساطة وقف المغناطيس. حوالي ٩٥٪ من أنظمة الرنين المغناطيسي MR هذه الأيام تستخدم مغناطيسات متناهية التوصيل. القمع أو الإخاد يقصد به فقد المفاجئ للتوصيلية المتناهية للمغناطيس مع أنهيار المجال المغناطيسي والذي قد ينشأ نتيجة حركة دقيقة للملف. نتيجة طاقة الاحتكاك المتولدة من هذه العملية، فإن درجة الحرارة ترتفع فوق حد التشبع للتوصيلية المتناهية وبذلك يكتسب الملف مقاومة. مرور التيار خلال مساحة المقاومة المرتفعة يولّد حرارة، والتي تسبب غليان مفاجئ للهليوم السائل. مخاطر القمع يمكن تقليلها عن طريق عزل سبيكة النبوبوم - التيتانيوم - Nb-Ti بملفات نحاس إضافية. القمع المغناطيسي يمثل عوامل خطيرة ولكنها أصبحت نادرة باستخدام أحدث تقنيات المغناطيسات.

تجانس المجال المغناطيسي يكون دائمًا مطلباً مهمًا في التصوير بالرنين المغناطيسي MRI الطبي، بصرف النظر عن المغناطيس المستخدم. للوصول إلى التجانس المثالي، يكون في العادة من الضروري عمل عملية ضبط تسمى الحشو. يتم ذلك إما بطريقة خاملة وإما بطريقة غير فعالة عن طريق وضع قطع من الشرائح المعدنية عند مواضع معينة في ثقوب المغناطيس على السطح الخارجي للماسح، أو بطريقة فعالة عن طريق تشغيل ملفات متخصصة والتي قد تزيد عن ٢٠ ملفاً موجودة داخل الماسح.

موضوع آخر مهم هو عزل المغناطيس، والذي يخدم في التحكم في المجالات الهدية للمغناطيس. في الماضي، كانت المجالات الهدية يتم احتواوها عن طريق استخدام كمية كبيرة من الحديد في الحوائط وسقف حجرة الماسح (١٠ - ٢٠ طن!). بسبب هذا الوزن، والتكلفة، فإن هذا النوع من العزل أصبح لا يستخدم واستخدم بدلاً منه المغناطيسات المتكاملة أو المعزولة بشكل فعال. إن المغناطيسات المعزولة بشكل فعال لها مجموعة مضاعفة من الملفات، الداخلي منها يولّد المجال بينما الخارجي يمثل طرق عودة خطوط المجال المغناطيسي.

(٦,٢) نظام الانحدار The Gradient System

الانحدارات المغناطيسية يتم تطبيقها لاختيار الشرحمة والتشفير المكاني (الفصل الرابع). مجموعة من ثلاثة ملفات انحدار منفصلة، وكل منها له المكابر الخاص به، تكون الحاجة إليها لتغيير شدة المجال خلال المحاور x و z . يتم تشغيل هذه الملفات منفصلة أو مجمعة، مثلاً لتحديد شريحة مائلة أو غير مباشرة. المركز الأساسي هو المركز الهندسي للمجال المغناطيسي الأساسي، والتي عندها لا تتأثر شدة المجال بأي واحد من الانحدارات. تولد ملفات الانحدار مجالات مغناطيسية تكون صغيرة بالمقارنة بالمجال الأساسي بالرغم من احتياجها لتيار يبلغ عدة مئات من الأمبير. المجالات المغناطيسية المتغيرة التي تتولد عند تشغيل الانحدارات تؤدي إلى هذا الصوت الذي يسمع أثناء المسح بالرنين المغناطيسي MR. مثل السماعة، والتي تمثل ملف داخل مجال مغناطيسي، ملفات الانحدار "تحاول أن تتحرك" عندما يتم تشغيل أو توقف التيار، والذي يسبب الصوت الضوضائي.

بصرف النظر عن التيارات العالية، فإن مجالات الانحدار يجب أن تكون ثابتة لأقصى درجة وذلك لمنع تشوه الصورة. وفوق ذلك، فلقد وضمنا أن ملفات الانحدار وأيضاً الملفات المعزولة بشكل فعال (المقطع ٦, ١) تكون متقدمة عن النسخ أو الموديلات البسيطة: والتي لها مجالات هدية أو جانبية صغيرة، فإنه يكون هناك تداخل ترددات راديو RF خارجي أصغر (حيث من التيارات التي تسمى بالتياز الدوامية، المقطع ٧, ١٣).

أداء الانحدار يتم قياسه بثلاث معاملات:

- ١- الشدة العظمى للانحدار (بوحدات mT/m).
- ٢- زمن الارتفاع rise time، الزمن حتى المقدار الأعظم للانحدار.
- ٣- معدل التسارع slew rate، مقدار الانحدار الأعظم / زمن الارتفاع.

(٦) نظام الترددات الراديوية The radiofrequency System

يتكون نظام الترددات الراديوية RF من مولد ترددات راديو RF قوي (تردد لارمور عند المجال $1.5T$ يكون $63.8MHz$ ، والذي يقع في مدى مرسلات التعديل الترددية FM) ومستقبل ذي حساسية عالية. ثبات هذين المكونين يكون مهما جداً: لأنّه كل من الطور والتردد للإشارة تكون هناك حاجة إليها للتشفير المكاني، وأي تشويه، مثلًا دوران للطور عن طريق جهاز الاستقبال، سيتّبع عنه صورة ضبابية غير واضحة. بالإضافة لذلك، فإنه لاكتشاف الإشارات الضعيفة بجودة معقولة، فإنه من الضروري عزل حجرة الماسح موجياً لمنع أي تداخل من المصادر الخارجية. يمكن أن يتم ذلك عن طريق وضع المغناطيس في هيكل مغلق موصل يسمى بقفص فارادي.

يشمل أيضاً النظام الجانبي لترددات الراديو RF ملفات الإرسال والاستقبال. هذه الملفات قد تكون ملفات مجمعة تعمل كمرسلات ومستقبلات مثل ملف الجسم والذي يكون داخل الماسح. إنه لا يمكن رؤيته من الخارج ويكون من قفص من ملفات النحاس تلف حول المريض. مرسل ترددات الراديو RF يعطي نبضات تقابل التردد الرئيسي للذرات الميدروجين.

كما شرحتنا في الفصل الخامس، فإن نسبة الإشارة للضوضاء SNR يمكن تعديلاً لها باستخدام ملفات غير ملف الجسم. من المهم اختيار الدقيق للملفات تبعاً للعضو الذي يتم تصويره للحصول على جودة مثالية للصورة.

(٤) نظام الحاسوب The Computer System

إن الحاسوبات في نظام التصور بالرنين المغناطيسي MRI تحكم وتنظم العديد من العمليات بدءاً من تشغيل وإيقاف ملفات الانحدار و ترددات الراديو RF حتى التعامل مع البيانات ومعالجة الصور.

المراجع References

- 1- McFall JR (1997) Hardware and coils for MR imaging. In: Riederer SJ, Wood ML (eds) Categorical course in physics: The basic physics of MR imaging. RSNA Publications no 41, Oak Brook .

الفصل السابع

تابعات النبضات الأساسية Basic Pulse Sequences

دعنا للمرة الثانية نستعرض الخطوات المختلفة التي تصنع تتابع نبضات الرنين المغناطيسي MR.

- إثارة المنطقة المختارة
 - تشغيل انحدار اختيار الشريحة
 - إعطاء نبضة الإثارة (RF) (نبضة RF)
 - وقف انحدار اختيار الشريحة
- تشفير الطور
 - تشغيل انحدار تشفير الطور تشغيلاً متكرراً، بشدة مجال مختلفة في كل مرة، لتوليد العدد المطلوب من إزاحات الطور خلال الصورة.
- تكوين الصدى أو إشارة الرنين المغناطيسي MR
 - توليد الصدى الذي يمكن عمله بطريقتين (ستشرح فيما يلي).
- تجميع الإشارة
 - تشغيل التشفير الترددية أو انحدار القراءة
 - تسجيل الصدى.

يتم تكرار الخطوات عدة مرات، اعتماداً على جودة الصورة المطلوبة. هناك

أنواع مختلفة من التتابعات تستخدم في تصوير الرنين المغناطيسي MR الطبي. أهم هذه الأنواع هو تتابع الصدى المغزلي (SE, spin echo)، وتتابع الاسترجاع gradient echo (IR, inversion recovery)، وتتابع انحدار الصدى العكسي (GRE)، والتي تمثل تتابعات نبضات الرنين المغناطيسي MR الأساسية.

لقد ذكرنا الصدى باختصار مسبقاً (الفصل الثالث) وقلنا أنه يجب مرور بعض الوقت قبل أن تكون إشارة الرنين المغناطيسي MR بعد إثارة بروتون الهيدروجين. والآن سنشرح لماذا:

- قبل أن يتم تجميع إشارة الرنين المغناطيسي MR، يجب تشغيل انحدار تشفير الطور للتشفيير المكانى للإشارة.
- يحتاج بعض الوقت أيضاً لتوقيف انحدار اختيار الشريحة وتشغيل انحدار تشفير التردد.
- في النهاية، فإن تكوين الصدى نفسه يحتاج لبعض الوقت، والذي يتغير مع تتابع النبضة المستخدمة.

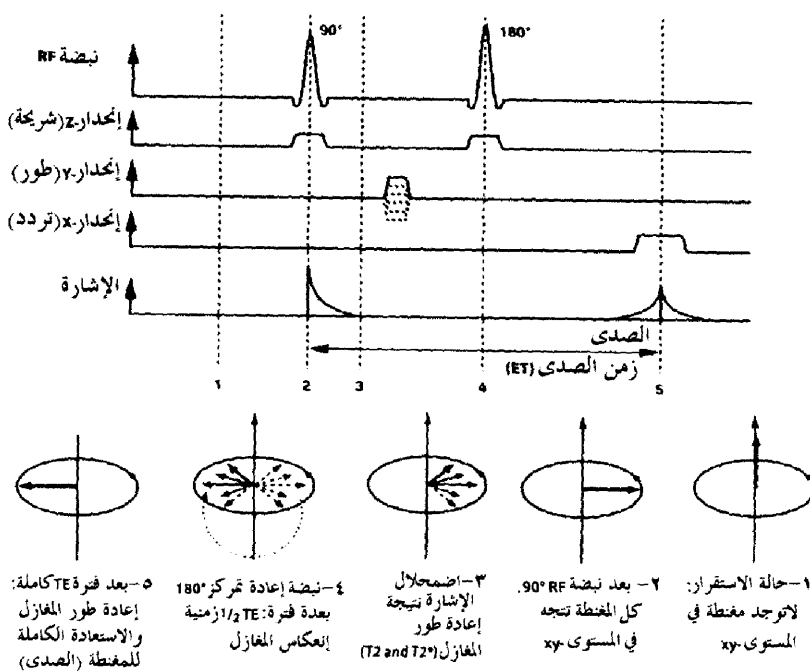
١) (٧) تتابعات الصدى المغزلي Spin Echo (SE) Sequences

تابعات الصدى المغزلي تستخدم نبضة إثارة اختيار الشريحة ٩٠ درجة للإثارة، والتي بعدها تنقص المغنتة المستعرضة T_2^* كما شرحنا في الفصل الثاني. إن تغيير الطور يحدث بسبب أن بعض المغازل تتقدم أسرع من الأخرى نتيجة عدم التجانس في المجال المغناطيسي الثابت والتي تكون موجودة في العادة. هذا يوضح لماذا بعد مرور نصف زمن الصدى TE، يجب إعطاء نبضة راديو RF ١٨٠ درجة لعكس المغازل أو مركزتها: هذه المغازل التي كانت متقدمة تصبح الآن متاخرة والعكس. على الرغم من ذلك، فإن المغازل التي أصبحت الآن متاخرة ستستمر كما لو كانت متعرضة لنفس عدم التجانس في المجال والتي سببت الفروق في الطور في المقام الأول. لذلك، بعد مرور الفترة الزمنية

للصدى TE، فإن كل المغازل تقابل مرة أخرى بنفس الظرف. هذه هي اللحظة التي يتكون عندها الصدى (الشكل رقم ٢٨). الدور الذي تلعبه نبضة إعادة التمرکز ١٨٠ درجة في توليد صدى المغازل يمكن توضيجه عن طريق فرض سباق يبدأ فيه عدد من العدائين مع بعضهم، وبعد مرور بعض الوقت، يتم إعطاءهم إشارة للرجوع مرة أخرى. عند إعطاء الإشارة، فإن أسرع عداء سيكون قد قطع مسافة أكبر وسيكون الأبعد في طريق العودة. إذا افترضنا أن كلاًّ منهم يجري بنفس السرعة التي بدأ بها، فإن جميعهم سيعود لنقطة البداية مع بعضهم. (التماثل هنا ليس صحيحاً بالضبط لأنَّه ليس اتجاه التقدم هو الذي تم عكسه ولكن تقريباً مكان المغازل على طريق التقدم بالنسبة لبعضهم. بالتطبيق على مثال السباق، فإن الساحر فقط هو الذي يستطيع أن يعكس ترتيب العدائين بدون تنبئهم !!).

نبضة إعادة التمرکز ١٨٠ درجة تعمل على إلغاء تأثيرات عدم التجانس في المجال المغناطيسي T2* ولكنها لا تستطيع تعويض عدم التجانس المتغير الذي يميز التفاعل بين مغزل ومغزل (T2). لذلك، فإن الانخفاض في المغنته الذي يحدث بعد الإثارة يكون أبطأ بسبب أنه دالة في T2 وليس T2*. بسبب هذا الأضمحلال، فإن مكون المغنة العرضي يكون أصغر عند وقت تجميع الصدى عنه بعد الإثارة مباشرة، على الرغم من أن النقص في الإشارة يكون أقل بوضوح عنه بدون تطبيق نبضة إعادة التمرکز ١٨٠ درجة. عودة للمثال التوضيحي، فإن هذا يعني أنه ليس كل العدائين سيصلون لنقطة البداية مع بعضهم لأنَّ جميعهم لا يحرون في العادة بسرعة ثابتة.

تتابعات الصدى المغزلي تتميز بوجود صورة عالية أساساً بسبب أن تأثيرات عدم التجانس في المجال الثابت قد تم إزالتها عن طريق تطبيق نبضة إعادة التمرکز ١٨٠ درجة. المقابل لذلك هو زمن مسح أطول قليلاً، والذي يجعل التابع عال الحساسية لتأثيرات الحركة. تتابعات الصدى المغزلي SE مازالت تستخدم كتابع قياسي للحصول على صور موزونة بالزمن الأولى T1 أو موزونة بكثافة البروتونات PD. إنها تكون مفضلاً للتتصوير بكثافة البروتونات PD لأنَّها أقل عرضة لتأثيرات الحركة بالمقارنة بتتابعات الصدى المغزلي السريع FSE.



الشكل رقم (٢٨). تتابع الصدى المغزلي SE. نسبة الإثارة لها في العادة زاوية انقلاب 90° درجة، المغازل التي أعيد طورها تكون متعركة في الصدى المغزلي بنبضة ١٨٠ درجة. الخطوط المنقطة توضح خطوات تشفير الطور

(٧) تأثير الدم الأسود

تأثير الدم الأسود، أو تأثير التدفق الخارج outflow، يقصد به التباين العالي الطبيعي بين الدم المتذبذب والنسيج. إنها خاصية محددة لتابعات الصدى المغزلي SE نتيجة طول زمان الصدى. الدم المتذبذب يظهر أسود لأنه لا يعطي إشارة. وهناك سببان لذلك:

- معظم أو كل الدم يترك الشريحة المصورة أثناء فترة زمان الصدى TE الطويلة ولذلك فإن المغازل لا تتأثر بنبضة إعادة التمرير 180° درجة.

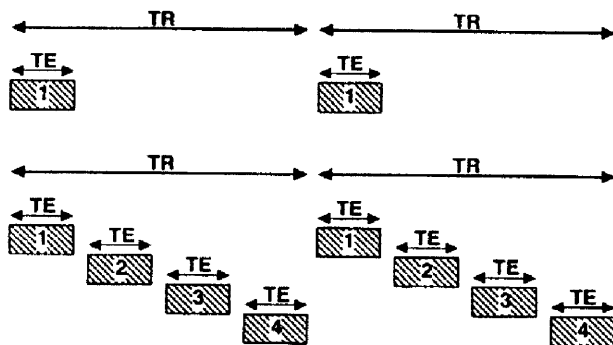
- في حالة التدفق الدوامي للدم، يكون هناك فقد إضافي للإشارة نتيجة تشتت الطور.
- اعتماداً على حقيقة أن الدم المتدفق طبيعياً يكون أسود، يمكننا أن نشرح هذه الحالات حيث إن تأثيرات التدفق الخارج لا تتوارد:

 - إذا كان هناك تدفق بطيء للدم، فإن الدم المثار يظل في الشريحة ويتيح إشارة.
 - الدم المثار يمكن أيضاً أن يبقى في الشريحة ويصبح مرئياً إذا كان هناك مقطع طويل من وعاء دموي موجود في الشريحة المصورة.
 - في حالة الخلطة، فإن الخلطة الحديثة ستعطى إشارة لامعة بينما الخلطة القديمة، تظهر أقل لمعاناً إلى حد ما.

(٧، ٣) التصوير متعدد الشرائح Multislice Imaging

التصوير العادي باستخدام أزمنة التكرار غير الفعال (TR) بين نبضتي إثارة متتابعين يكون غير فعال بدرجة كبيرة، خاصة عند استخدام تتابعات مع أزمنة مسح كبيرة وأزمنة تكرار TRs كبيرة (مثلاً: زمن مسح في حدود 3 min للحصول على صورة صدى مغزلي SE موزونة بالزمن الأول T1 مع ٢٥٦ إثارة وזמן تكرار TR يساوي ٥٠٠ ملي ثانية). أزمنة الانتظار "wait times" أو الأزمنة الميتة "dead times" يمكن استخدامها بصورة جيدة عن طريق الإثارة وتسجيل الإشارات من الشريحة الأخرى في أثناء هذه الفترة. بهذه الطريقة، يمكن الحصول على ١٢ شريحة بدلاً من واحدة فقط في نفس الزمن (أو حتى ٣٠ شريحة في حالة تتابعات الوزن بالزمن الثاني T2 مع أزمنة تكرار TRs يساوي ٢٠٠٠ حتى ٤٠٠٠ ملي ثانية (الشكل رقم ٢٩).

هناك عيب للتصوير متعدد الشرائح وهو أنه نتيجة الشكل غير المنتظم للشريحة أو نسبة الرadio RF، فإن البروتونات خارج الشريحة المختارة سيتيم إثارتها أيضاً. نتيجة لذلك سيكون هناك منطقة طولية أقل وإشارة الرنين المغناطيسي MR أضعف.



الشكل رقم (٢٩). التصوير متعدد الشرائح (التجميع المتداخل). زمن التكرار غير الفعال، TR، للشريحة الأولى يستخدم إنتاجياً للحصول على بيانات من الشريحة الأخرى. في المثال الموضح، حصلنا على أربع شرائح بدلاً من واحدة فقط في نفس الوقت. (المستطيلات تمثل الشرائح المختلفة).

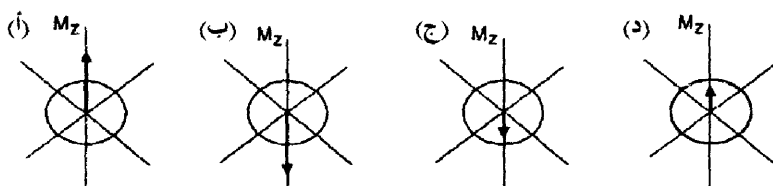
(٤) تتابعات استرداد الانعكاس Inversion Recovery (IR) Sequences

تابعات استرداد الانعكاس IR تستخدم في الأساس للصور الموزونة بالزمن الأول T1 ولكن يمكن استخدامها أيضاً للحصول على الصور الموزونة بالزمن الثاني T2.

تابع استرداد الانعكاس IR هو تتابع صدى مغزلي SE مع نبضة انعكاس 180° درجة إضافية والتي تسبق نبضة الإثارة 90° درجة العادمة ونبض إعادة الطور 180° درجة في تتابع الصدى المغزلي SE العادي. نبضة العكس تقلب المغネットة الطولية من الاتجاه z إلى الاتجاه -z السالب (الشكل رقم ٣٠)، والمواضحة بمتوجه المغネットة الطولية والذي يشير الآن في الاتجاه المعاكس. بما أنه ليست هناك مركبة لمتجه المغネットة في الاتجاه العمودي، فإنه لن تتكون إشارة بعد إعطاء نبضة الراديو RF 180° درجة. بدلاً من ذلك، فإن متوجه المغネットة الطولية يتحرك خلال المستوى العمودي لتعود إلى وضعها الأصلي. بعد حدوث بعض السكون، يتم تطبيق نبضة الـ 90° درجة لتتابع الصدى المغزلي SE. الزمن بين النبضة 180° درجة ونبضة الراديو RF 90° درجة هو زمن العكس (TI).

تبالين الصورة يمكن التعامل معه عن طريق تغيير زمن العكس. مع زمن T1 قصير وإعطاء نبضة إثارة ٩٠ درجة تماماً بعد نبضة العكس ١٨٠ درجة، فإن كل المغネットة الطولية السالبة تنقلب إلى المستوى العرضي. مع فترة أكثر طولاً، فإن مغネットة طولية أقل يتم قلبها إلى المستوى المستعرض وتتولد إشارة ضعيفة. وبالرغم من ذلك، فإذا كان زمن العكس أطول بقيمة كافية ليسمح باسترخاء كامل، فإن الإشارة تصبح أقوى مرة أخرى.

طريقتان من طرق استرداد الانعكاس IR تستخدمان بكثرة في تطبيقات العيادات العادمة: تتابع الاسترداد العكسي مع زمن T1 قصير (STIR)، وتتابع الاسترداد العكسي المضمحل (FLAIR)



الشكل رقم (١٣٠-د). تتابع الاسترداد العكسي مع تراخي T1. (أ) بعد نبضة العكس ١٨٠ درجة، (ب) متوجه المغネットة الطولية يشير في الاتجاه المعاكس، (ج و د) تراخي T1 يوجد من $-z$ حتى $+z$. لا تكون إشارة طالما ليس هناك مرکبة متوجه في المستوى العرضي (نقطة الصفر null point للتنسيق).

٥) تتابعات استرداد انعكاس T1 القصير ST1R Sequences ST1R short T1 inversion recovery STIR

تتابعات استرداد انعكاس T1 القصير STIR تستخدم بكثرة لإخاد الدهون fat suppression لأنها تخلص من الإشارة الناتجة من الدهون عند أي شدة للمجال المغناطيسي. تتابع استرداد انعكاس T1 القصير STIR

النموذججي يعكس المغذة الطولية لكل من الدهون والماء عن طريق إعطاء النسبة ١٨٠ درجة، والمصحوبة بالزمن الأول T1 حوالي بعض المثاث من ملي ثانية. لإخراج إشارة الدهون، يتم ضبط الزمن الأول T1 بحيث يتم بدء نبضة الراديو RF ٩٠ درجة تماماً عند اللحظة التي تمر فيها الدهون بالصفير. إن الزمن الأول T1 اللازم لإخراج الدهون يكون حوالي ١٥٠ ملي ثانية مع شدة مجال مقداره ١,٥ T و ١٠٠ ملي ثانية عند شدة مجال مقدارها ٥ T.

٦) تتابعات الاسترداد الانعكاسي للسوائل المضمحة FLAIR

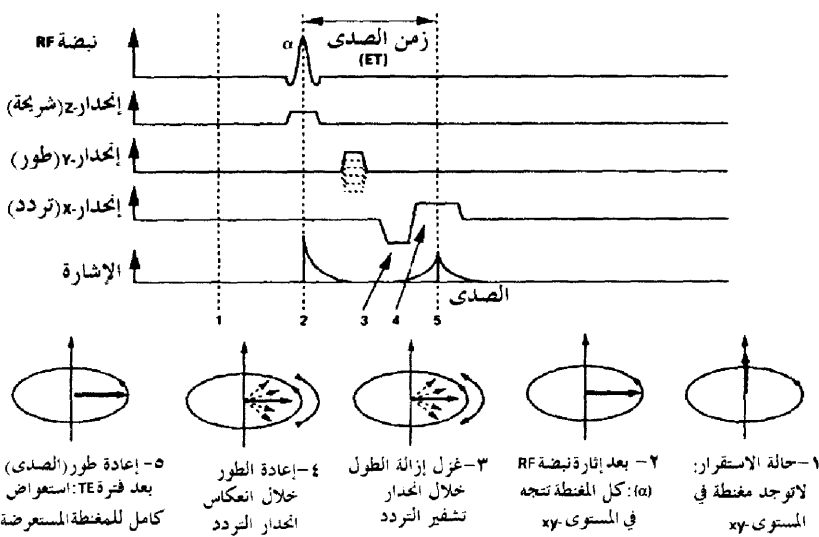
FLAIR Sequences

إن الاسترداد الانعكاسي للسوائل المضمحة fluid attenuated inversion recovery FLAIR هو طريقة استرداد عكسي تختلف عن الـ STIR حيث يتم استخدام قيم طويلة جداً للزمن الأول T1 (بالتحديد حوالي ٢٠٠٠ ملي ثانية). فرق آخر هو أن تتابعات الاسترداد الانعكاسي للسوائل المضمحة FLAIR هي تتابعات صدى مغزلي سريع FSE. مع أزمة الانعكاس الطويلة بهذه، يكون هناك إخراج للإشارة من السوائل الدماغية (CSF)، بينما يكون هناك اكتشاف كامل للإشارات من نسيج المخ، والأورام، والاستسقاء، والدهون. إن تتابعات الاسترداد الانعكاسي للسوائل المضمحة FLAIR تكون مفيدة لاكتشاف الأمراض مع تباين ضعيف من نسيج المخ المحيط.

٧) تتابعات انحدار الصدى Gradient Echo (GRE) Sequences

تعرف تتابعات انحدار الصدى أيضاً بتتابعات نداء الصدى gradient-recalled أو تتابعات مجالات الصدى السريعة FFE. كما يتوقع من الاسم، فإن تتابعات echo

نداء الصدى GRE تستخدم ملفات الانحدار لإنتاج الصدى بدلاً من أزواج من نبضات الراديو RF. يتم عمل ذلك عن طريق تطبيق انحدار تشفير التردد بإشارة سالبة لتدمير التوافق في الطور في المغازل المتقدمة (تغيير طور dephasing). وبذلك، يتم عكس الانحدار، والمغازل تعيد طورها لتكون انحدار صدى (الشكل رقم ٣١).



الشكل رقم (٣١). انحدار الصدى. بفرض التبسيط تم افتراض زاوية انقلاب θ تساوي ٩٠ درجة.

بما أنه لا توجد هناك حاجة لإعادة تمركز 180° درجة refocusing pulse لتوليد انحدارات صدى، فإنه يمكن الوصول إلى أزمنة تكرار TR قصيرة جداً. بما أن زمن التكرار TR المحدد الأساسي لزمن المسح الكلي لتابع نداء الصدى GRE - ولعزم التتابعات الأخرى - فإنه من الممكن الحصول على تصوير أسرع كثيراً جداً بالمقارنة مع تتابعات الصدى المغزلي SE و استرداد الانعكاس IR، والتي هي أهم ميزة في التصوير نداء الصدى GRE. كنتيجة لذلك، فإن تتابعات نداء الصدى GRE

تكون أقل تعرضاً لتأثيرات الحركة ولذلك يتم تفضيلها عندما تكون هناك حاجة لזמן مسح قصير. من عيوب قصر زمن التكرار TR أن الزمن المتاح لاسترخاء الزمن الأول T1 يكون قصيراً أيضاً. وقد يؤدي هذا إلى التشبع وتقليل نسبة الإشارة للضوباء SNR عند استخدام زاوية انقلاب كبيرة. لأنه لا يتم إعطاء نبضة راديو RF ١٨٠ درجة، فإن عدم التجانس في المجالات الثابتة لا يتم الاسترداد عنها وتضمحل الإشارة مع زمن T2*. تباين الصورة الناتج من الفروق في اضمحلال الزمن T2* في الأنسجة المختلفة يسمى بتباین زمـن T2*. إن تباين الزمن T2* في صور نداء الصدى GRE يتاثر بزمن الصدى TE، والذي يجب أن يكون أقصر ما يمكن للحصول على وزن بزمن T1 مثالي (لتقليل تباين بزمن T2* وتقليل تأثيرات التعرض أو الحساسية). وبالعكس، فإنه يتم اختيار زمن تكرار TE أطول للتتأكد على تباين T2*. يتم تقليل تأثيرات الزمن الأول T1 عن طريق استخدام زمن تكرار TR أطول. الصور الموزونة بالزمن T2* تستخدم لاكتشاف التكليس أو تراكمات متغيرات الدم في الأنسجة باستخدام زمن T2 قصير جداً مثل الأنسجة التوصيلية. تستخدم تتابعات نداء الصدى GRE أيضاً بالاستعابة بإدارة وسط من أكسيد الحديد - وسط تباين (الفصل الثاني عشر).

وبالرغم من ذلك، هناك مشكلة واحدة، تحتاج لأن نذكرها باختصار. بها أن بعض تتابعات نداء الصدى GRE تكون سريعة جداً وتستخدم زمن تكرار قصير جداً، فإنه من المحتمل جداً أن جزءاً من الإشارة سيتم تركه من دورة لأخرى. هذه الإشارة يجب تدميرها عند الحصول على الصور الموزونة بالزمن الأول T1. التدمير المألف لإشارة الرنين المغناطيسي MR المتبقية يسمى الإفساد ويتم الحصول عليه عن طريق تشغيل انحدار اختيار الشريمية، زمن إضافي لإعادة طور المغازل قبل تطبيق نبضة الراديو RF التالية. وتستخدم تتابعات نداء الصدى GRE الخام بكثرة في تركيبات العيادات وهي متاحة من كل مصنعي ماسحات الرنين المغناطيسي MR.

إن تتابعات نداء الصدى GRE الخام هي انحدار صدى متهالك، spoiled fast low angle shot (SPGR) وطلقة سريعة بزاوية صغيرة (gradient echo). التباين في تتابعات نداء الصدى GRE الخام يمكن التعامل معها كالتالي:

- الوزن بالزمن الأول T1 يزداد مع نقصان زمن التكرار TR

- الوزن بالزمن الأول T1 يزداد مع زاوية الانقلاب

- الوزن بالزمن $T2^*$ يزداد مع زمن الصدى TE

يتم الحصول على الصور الموزونة بكثافة البروتون باستخدام زمن تكرار TR طويل إلى حد ما (٤٠٠ ملي ثانية)، وزاوية انقلاب صغيرة (أقل من أو تساوي ٢٠ درجة)، وזמן صدى TE قصيرة (٥ - ١٠ ملي ثانية). تنتج الصور الموزونة بالزمن $T2^*$ عند استخدام زمن تكرار TR طويل (٢٠٠ - ٥٠٠ ملي ثانية) وזמן صدى TE طويل (٢٠ - ٥٠ ملي ثانية). يتم الحصول على الوزن بالزمن الأول T1 باستخدام زمن تكرار TR قصير (٨٠ - ٢٠ ملي ثانية)، وזמן صدى TE قصير (١٠ - ٥ ملي ثانية)، وزاوية انقلاب ٣٠ - ٣٠ درجة.

يمكن الحصول على تتابعات نداء الصدى GRE الخام في الحالات ثنائية الأبعاد 2D وثلاثية الأبعاد 3D. إن طرق نداء الصدى GRE الخام في الحالة ثلاثة الأبعاد 3D تنشط التصوير الحجمي للشرايين الرقيقة بدون فجوات بين الشرايين وتسمح بإعادة التشكيل في المستويات المتعددة.

يستخدم نوع خاص من تتابع نداء الصدى GRE في تصوير الرئتين المغناطيسي MR الروتيني وهو حالة الاستقرار للتتابعات الدقة الحرة (SSFP). إن التتابع حالة الاستقرار للتتابعات الدقة الحرة SSFP هو تتابع غير خام في هذا الجزء من توافق الطور للمغناطة العرضية ويتم الاحتفاظ به من فترة زمن التكرار TR إلى فترة زمن التكرار TR التالية لها. هذا يعني أن المغناطة العرضية المولدة من نبضة راديو RF

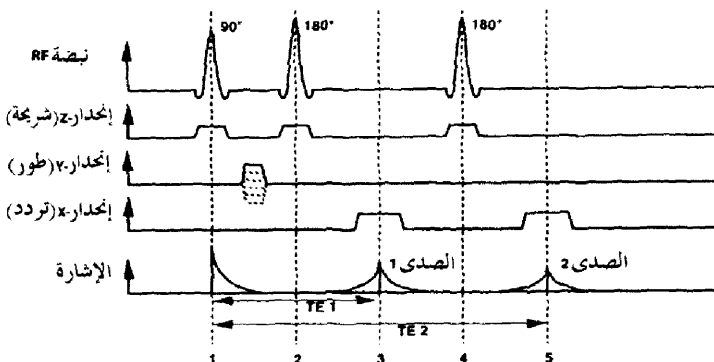
واحدة تشارك في تكوين أكثر من صدى. اختصارات مختلفة تم استخدامها من مصنعين مختلفين لتمييز تتابعات حالة الاستقرار لتتابعات الدقة الحرة SSFP مثل اكتساب الانحدار الاستدعاي في حالة الاستقرار gradient recalled acquisition (in the steady state (GRASS fast). أو التصوير السريع مع دقة حالة الاستقرار imaging with steady state precession (FISP الاستقرار لتتابعات الدقة الحرة SSFP هي التصوير السريع مع استخدام اكتساب حالة الاستقرار FIESTA (fast imaging employing steady state acquisition)، صدى المجال السريع المتوازن FFE (fast field echo)، والتصوير السريع مع دقة حالة الاستقرار FISP الحقيقي. التتابعات للتصوير السريع مع استخدام اكتساب حالة الاستقرار FIESTA والتصوير السريع مع دقة حالة الاستقرار FISP الحقيقة هي تتابعات نداء الصدى GRE موزونة بالر梓 من الثاني T2 يتحدد تباين صورها عن طريق النسبة T2/T1. الدم له نسبة T2/T1 عالية ولذلك فإنه يظهر لامع في صور حالة الاستقرار لتتابعات الدقة الحرة SSFP. ميزة أخرى لحالة الاستقرار لتتابعات الدقة الحرة SSFP وهى أنه ليس معرضًا بدرجة كبيرة للدم المتدفق. تميز تتابعات حالة الاستقرار لتتابعات الدقة الحرة SSFP بأ زمن مسح قصيرة جداً ولذلك فإنها مناسبة جداً لتصوير الأوعية والتصوير في الزمن الحقيقي للأعضاء المتحركة مثل القلب (المقطع ٦، ١١).

(٧، ٨) تتابعات الصدى المتعدد Multiecho Sequences

يمكن توليد أكثر من صدى في دورة واحدة باستخدام كل من تتابعات الصدى المغزلي SE ونداء الصدى GRE: أكثر من صدى إضافي ينتج عن طريق نبضات تمرر تردد راديو RF إضافية ١٨٠ درجة بينها انحدارات الصدى المتعددة تتولد بالعكس المتكرر لانحدار تشفيه التردد. تستخدم طرق الصدى المتعدد لسبعين:

- توليد أكثر من صدى يشتمل الحصول على تابع بقياسات متعددة تختلف في أرمنة صداتها والأوزان T2. فمثلاً، استخدام زمن تكرار ٢٠٠٠ ملي ثانية وأرمنة صدى ٢٠ ملي ثانية للأول و ٨٠ ملي ثانية للصدى الثاني يسمح بالحصول على صور موزونة بكثافة البروتون (٢٠ ملي ثانية) وصور موزونة بالزمن الثاني T2 (٨٠ ملي ثانية) بقياس واحد. تستخدم طريقة الصدى المتعدد روتينياً في تركيبات العيادات (الشكل رقم ٣٢).

- طرق الصدى المتعدد تعجل تجميع البيانات ويمكن استخدامها للتصوير فائق السرعة (الفصل الثامن).



شكل رقم (٣٢). تابع SE متعدد الصدى. نبضة تردد راديو RF ١٨٠ درجة (٤) يتم تطبيقها لتوليد صدى ثان (٥)، مما يتيح صورة موزونة بالزمن T2 نتيجة استخدام زمن تكرار TE أطول. النبضة ١٨٠ درجة الثانية يتم إعطاؤها في الوسط تماماً بين (٣) والصدى الثاني (٥).

المراجع References

- 1- Mitchell DG, Cohen MS (2004) MRI principles, 2nd ed. Saunders, Philadelphia.
- 2- Elster AD (1993) Gradient-echo MR imaging: Techniques and acronyms. Radiology 186:1
- 3- Haacke EM, Frahm J (1991) A guide to understanding key aspects of fast gradient echo imaging. J Magn Reson Imaging 1:621

الفصل السادس

تتابعات النبضات السريعة

Fast Pulse Sequences

هناك العديد من الأسباب التي تجعل من المرغوب فيه زيادة سرعة المسح.

- تسمح التتابعات السريعة للمستخدم بإجراء دراسات ديناميكية، مثلاً تتبع تباين وسط ناعم كروي bolus.
- إن الحصول على الإشارة في وقت قصير يجعلها أقل عرضة لتأثيرات الحركة غير المرغوبة، وبالذات مع المرضى غير المتعاونين.
- يمكن الحصول على التتابع السريع بما فيه الكفاية أثناء توقف التنفس وبذلك نحصل على صورة خالية من تأثيرات حركة التنفس.

هناك طرق مختلفة للحصول على زمن مسح أقصر:

- استخدام أحدث طرق الانحدار وأنظمة الراديو RF إلى أقصى سعة وتوقيت أكثر كفاءة للتتابعات العادية (انحدار الصدى GRE فائق السرعة).
- أخذ عينات من أصداء متعددة بتشغيرات طور مختلفة (صدى مغزلي سريع FSE، تصوير الصدى السطحي).
- أخذ عينات غير الكامل للفراغ-K (تصوير الصدى الجزئي، وتصوير فوري الجزئي، و المجال الرؤية المستطيل).

(٨) تتابعات الصدى المغزلي السريعة أو الدوامية

Fast or Turbo Spin Echo Sequences

تابعات الصدى المغزلي السريعة (FSE) (تسمى أيضاً من بعض المصنعين بتابعات الصدى الدوامية TSE) هي تتابعات صدى مغزلي SE معدلة لها زمن مسح قصير بدرجة معقولة. يتم ذلك عن طريق إعطاء عدة نبضات تمرير RF ١٨٠ درجة أثناء كل فترة زمن تكرار TR وباختصار يشغل انحدار تشفير الطور بين الأصداء. بهذه الطريقة، يتم الاستخدام الأمثل للفترة زمن التكرار TR عن طريقأخذ عينات من أصداء متعددة بتشفييرات طور مختلفة بعد كل نبضة إثارة (الشكل رقم ٣٣). التوالي في أصداء المغازل المتولدة بهذه الطريقة يسمى تابعاً أو تالياً أو قطاراً من الصدى وعدد الأصداء التي تم أخذ عيناتها هي طول قطار الصدى ETL.

زمن التصوير في تتابع صدى مغزلي سريع FSE يمكن حسابه كما يلي:

$$\text{زمن المسح} = \text{زمن التكرار TR} \times \text{عدد خطوات تشفير الطور} \times \text{عدد متواسطات متواسطات الإشارة [ETL]}$$

ETL هو طول قطار الصدى ويقصد به عدد الأصداء التي تم أخذ عيناتها لكل قطار صدى.

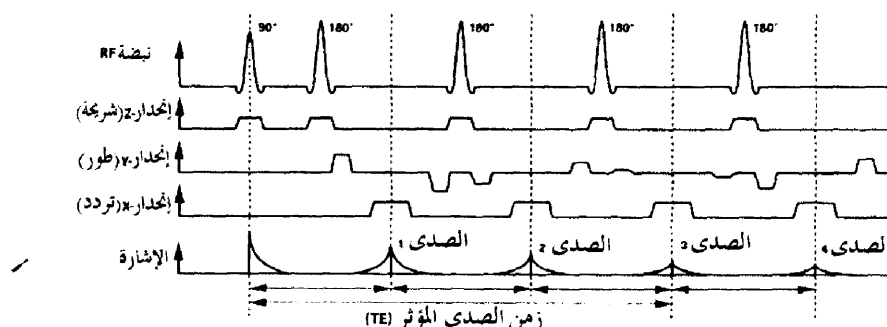
إن تتابعات الصدى المغزلي السريعة FSE ليست سريعة فقط، ولكنها تختلف عن طرق الصدى المغزلي SE العادي في أكثر من وسيلة كذلك:

- تتابعات الصدى المغزلي السريعة FSE لها زمن تكرار TR أطول لكي تعطى أكبر عدد ممكن من نبضات التمرير RF ١٨٠ درجة. زمن التكرار TR في حالة الصدى المغزلي السريعة FSE يكون ٤٠٠٠ ملي ثانية أو أكبر بالمقارنة مع ٢٠٠٠ حتى ٢٥٠٠ ملي ثانية لتتابعات الصدى المغزلي السريعة FSE. مع زمن تكرار TR أطول، تكون تتابعات الصدى المغزلي السريعة FSE أكثر ملائمة للحصول على صور موزونة بالزمن الثاني T2.

- زمن الصدى TE لتابعات الصدى المغزلي السريعة FSE للصور موزونة بالزمن الثاني T2 يكون أطول أيضاً.

حقيقة أن أصياء متعددة يمكن أن تولد بعد نبضة إثارة واحدة تستخدم بوضوح في التصوير العادي للحصول على صورة موزونة بكثافة البروتون (وزن مرحلة متوسطة) وصورة موزونة بالزمن الثاني T2 بنفس التتابع (المقطع ٧، ٨). وبالتالي، فإن طرق الصدى المتعدد يمكن استخدامها للحصول على تتابعات أسرع.

يمكن استخدام تتابعات الصدى المغزلي السريعة FSE لإجراء صور الصدى المزدوج عن طريق تقسيم قطار الصدى. باستخدام قطار صدى طوله ثانية، كمثال، فإن الأربع أصياء الأولى يمكن استخدامها لتوليد صورة موزونة بكثافة البروتون والأربع أصياء الأخيرة لتوليد صورة موزونة بالزمن الثاني T2.



الشكل رقم (٣٣). تتابع صدى مغزلي سريع. أربعة نبضات RF تردد ١٨٠ درجة تم تطبيقهم لتوليد أربعة أصياء (قطار صدى)، على العكس من طريقة الصدى المتعدد، تم تشغيل انحدار تشفير الطور قبل كل صدى، الأصياء الأربع التي يتم الحصول عليها بعد نبضة إثارة وحيدة لها تغيرات طور مختلفة. في المثال الموضح، تباين الزمن T2 يتم تحديده أساساً في الصدى الثالث (زمن الصدى TE الفعال، المقطع ٨، ٩).

(٨، ٢) تتابعات الصدى المغزلي السريع ذو الطلقة الواحدة

Single Shot Fast Spin Echo (SSFSE) Sequences

تابعات الصدى المغزلي ذو الطلقة الواحدة SSFSE والصدى المغزلي ذو الطلقة الواحدة المكتسب بنصف فورير half Fourier acquisition single shot fast spin echo(HASTE)، هي أسماء بديلة لطريقة الرنين المغناطيسي MR السريعة جداً بزمن مسح مقداره ثانية واحدة أو أقل. تعتمد الطريقة على الملء غير الكامل للفراغ K (تصوير صدى كسري وفورير جزئي). «الطلقة الواحدة» توضح أن نصف خطوط الفراغ K يتم ملؤها بعد نبضة إثارة RF. سرعة الحصول أو التجميع تقلل تأثيرات الحركة إلى أقل ما يمكن. نتيجة طول أزمنة الصدى، فإن صور HASTE أو SSFSE تتوضّح اختيارياً الأنسجة التي لها أزمنة تكرار TE طويلة، بمعنى الأماكن التي تحتوي على سوائل حرة، بينما الأنسجة التي لها TE قصيرة أو متوسطة تكون غير واضحة. لهذا السبب، فإن طريقة SSFSE أو HASTE تستخدم لتصوير الرنين المغناطيسي MR للنخاع myelography، والجهاز البولي urography ومخاطط القنوات البنكرياسية (cholangiopancreatography) (MRCP).

(٨، ٣) تتابعات الاسترداد العكسي السريع أو الدوامي

Fast or Turbo Inversion Recovery (Fast STIR) Sequences

إن تعديل قطار الصدى لتتابع الاستعادة العكسية IR يكون فعالاً خاصة لأن زمن التكرار TR الطويل جداً يسمح للتراخي الكامل للزمن الأول T1 بأن يحدث. تتابعات الاسترداد العكسي أو الدوامي لها نفس زمن العكس مثل تتابعات STIR العادية وتستخدم أيضاً نبضة عكس ١٨٠ درجة ابتدائية ولكنها تأخذ عينات من كل الأصداء في قطار الصدى بتشغير طور مختلف.

(٤ , ٨) تتابعات انحدار الصدى السريعة

Fast Gradient Echo (GRE) Sequences

تابعات انحدار الصدى السريعة GRE (تعرف أيضاً بانحدار الصدى التربيني أو تتابعات انحدار الصدى متناهية السرعة) تستخدم مع أحدث أنظمة الانحدار (العزل الفعال) للحصول على أزمنة صدى تحت الواحد ملي ثانية مع أزمنة تكرار ٥ ملي ثانية أو أقل. تتابع انحدار الصدى السريع GRE هو أساساً تتابع نداء الصدى GRE العادي والذي يعمل بسرعة ويستخدم بعض الحيل الحاسبية، مبدئياً الملة غير الكامل للفراغ K (تصوير الصدى الكسرى وفورير الجزيئي، المقطع ٣ ، ٥). إن تتابعات انحدار الصدى GRE السريعة تعطي جودة صورة ممتازة بالرغم من أن الشريحة يمكن الحصول عليها في ثواني قليلة فقط (٢ - ٣ ثانية تماماً). مثل هذه التتابعات مناسبة جداً للتصوير الديناميكي، مثلاً، لتبسيط التدفق الداخلي لوسط تبادل مضغعة. فوق ذلك، فإن طرق انحدار الصدى GRE السريعة تستخدم لتصوير مناطق الجسم التي يجب فيها التخلص من تأثيرات الحركة مثل الصدر (حركة التنفس) والبطن.

تستخدم طرق انحدار الصدى GRE السريعة زاوية انقلاب صغيرة، تماماً أقل من ٤٥ درجة، للوزن المثلثي بالزمن T1. إن هذا يحسن نسبة الإشارة للضوضاء SNR لأن هناك زمن أقل لترابي الزمن T1 عندما يكون زمن التكرار TR قصيراً (التشبع، الفصل الثالث).

(٥ , ٨) تتابع تصوير الصدى المستوي

Echo Planar Imaging (EPI) Sequence

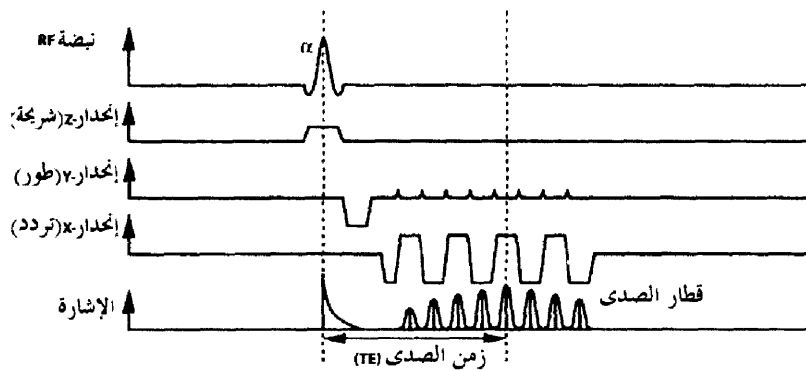
إن تصوير الصدى المستوي EPI يمكننا من التجميع المتناهي السرعة للبيانات، مما يجعله مرشحاً ممتازاً للتصوير الديناميكي والوظيفي بالرنين المغناطيسي MR. تتطلب هذه الطريقة انحدارات تشفير ترددية قوية وسريعة الفتح. يمكن الحصول على قطار

صدى يتكون من عدد من الأصداء التي تصل إلى ١٢٨ (الشكل رقم ٣٤). في هذه الطريقة، يمكن الحصول على صورة بتباين يصل إلى 256×228 بعد نبضة إثارة واحدة (طلقة واحدة) في ٧٠ ملي ثانية، والتي تقابل ١٦ صورة في الثانية! وبالرغم من ذلك، فإن تصوير الصدى المستوي EPI مازال عليه أن يواجهه عدداً من المشاكل، والتي أخرت استخدامه حتى الآن في العيادات بشكل روتيني. هذه المشاكل هي:

- كطريقة انحدار الصدى GRE، فإن تصوير الصدى المستوي EPI لا يستطيع استرداد عدم التجانس في المجال وستضيق محل الإشارة مع الزمن $T2^*$.
- سرعة تشغيل الانحدار تسبب عدم تجانس في المجال يترافق مع الزمن، مما يسبب تشوهات هندسية في صورة الرنين المغناطيسي MR.
- نتيجة اضمحلال $T2^*$ السريع للإشارة، سيكون هناك وقت قصير لتجمیع الصدى. للحصول على عدد معقول من القياسات في هذه الفترة القصيرة، سنحتاج إلى انحدار قوي جداً وسريع. سرعة تشغيل الانحدار تتحدد بالعزم الكهربائي لملفات الانحدار ومخاطر الضرر الذي قد يحدث للشخص الذي يتم تصويره كنتيجة للإثارة العصبية المصاحبة للمجالات المغناطيسية سريعة التغير. فوق ذلك، فإن التردد السريع للانحدار يسبب ضوضاء تحتاج لحماية أذن المريض منها !.
- تباين الصورة يكون في العادة ضعيفاً لأن تجمیع البيانات بالطلقة الواحدة لا يحتوي على تكرار ومن ثم فليس هناك تأثير للزمن $T1$.

٦) التتابعات المهجنة Hybrid Sequences

إن الطرق المهجنة تولد وتسجل تتابعات من الأصداء المغزلية SEs وانحدارات الصدى GREs بالتبادل. الانحدار وصدى المغازل gradient and spin echo ((GRASE)) والتصوير الحلزوني هي طرق مهجنة.



الشكل رقم (٣٤). تصوير الصدى المستوى EPI. كما في طريقة الصدى المغزلي السريع FSE، يتم توليد عدة أصداء (ثمانية كما في المثال الموضح) بتشفيرات طور مختلفة. على العكس من الصدى المغزلي السريع FSE، فإن الأصداء لا تولد بنبضة RF ١٨٠ درجة ولكن بتشغير انحدار ترددی كما في تتابع انحدار الصدى المغزلي GRE. تتطلب هذه الطريقة مكibrات عالية الكفاءة جداً لأن تشغير الانحدار الترددی يجب عكسه بسرعة كبيرة جداً. القمم في تشغير انحدار الطور تسمى الومضات «blips».

(٧، ٨) تتابع الانحدار وصدى المغزلي

Gradient and Spin Echo (GRASE) Sequence

تابع الانحدار والصدى المغزلي هو تركيبة من الصدى المغزلي السريع FSE والتصوير بالصدى المستوى EPI. تتابع من نبضات الرايو RF ١٨٠ درجة يتم تطبيقه لتوليد عدد من الأصداء المغزلية (كما في الصدى المغزلي السريع FSE). بالإضافة لذلك، العديد من انحدارات الصدى GReS يتم إنتاجها لكل صدى مغزلي SE عن طريق التشغيل السريع لقراءة خرج قطبية الانحدار. هذا يجعل طريقة GRASE أسرع حتى من الصدى المغزلي السريع FSE بدون أي تأثير على جودة الصورة لأن الإشارة تضمحل مع الزمن T_2 بدلاً من الزمن T_2^* . التباين الذي سنحصل عليه هو نفسه مثل التباين الذي نحصل عليه مع تتابعات الصدى المغزلي SE العادية.

(٨، ٨) التتابعات الحلزونية Spiral Sequences

اكتسبت التتابعات الحلزونية اسمها من حقيقة أن الفراغ K يتم ملؤه باستخدام مسار حلزوني. التصوير الحلزوني يتم إجراؤه باستخدام تتابع انحدار الصدى GRE بالترابط مع انحدارين متذبذبين. إنها طريقة واعدة، وخاصة لتصوير القلب في الزمن الحقيقي.

(٩، ٩) زمن الصدى وتبابن T2 في التتابعات السريعة

Echo Time and T2 Contrast in Fast Sequences

في تصوير الصدى المغزلي SE وانحدار الصدى GRE العادي، يتم توليد صدى واحد بعد كل إثارة. كتيبة لذلك، فإن كل الأصداء التي تمأخذ عيناتها لصورة معينة يكون لها نفس زمن الصدى وبذلك نفس وزن الزمن T2. وزن الزمن T2 للصور المتولدة بهذه الطريقة يكون محدوداً بدقة.

وعلى العكس، فإن تتابعات الصدى المغزلي SE وتصوير الصدى المستوى EPI السريعة تولد أصداء عديدة بأوزان الزمن T2 مختلفة، كلها تساهم في تبادل الصورة الناتجة. وهذا هو السبب في اختيار واحد من الأصداء ليحدد أساساً تبادل الزمن T2 في الشكل رقم ٣٣ الثالث من أربع أصداء). زمن الصدى لها يسمى زمن الصدى الفعال (TE الفعال). وعلى الرغم من ذلك، يجب أن تكون حريصين على أن تكون أزمن الصدى TEs الأخرى تساهم في تبادل الزمن T2.

تقنياً، يتم اختيار الصدى عن طريق تسجيله بطريقة تملأ مركز الفراغ K (المقطع ٢)، والذي يحتوي البيانات التي تؤثر بقوة في تبادل الصورة.

المراجع References

- 1- Elster AD (1993) Gradient-echo MR imaging: Techniques and acronyms. *Radiology* 186:1
- 2- Frahm J, Häenicke W (1999) Rapid scan techniques. In: Stark DD, Bradley WG Jr (eds) *Magnetic resonance imaging*, 3rd edn. Mosby-Year Book no 87, Mosby, St. Louis.

الفصل التاسع

تقنيات التخلص من اشارة الدهون Fat Suppression Techniques

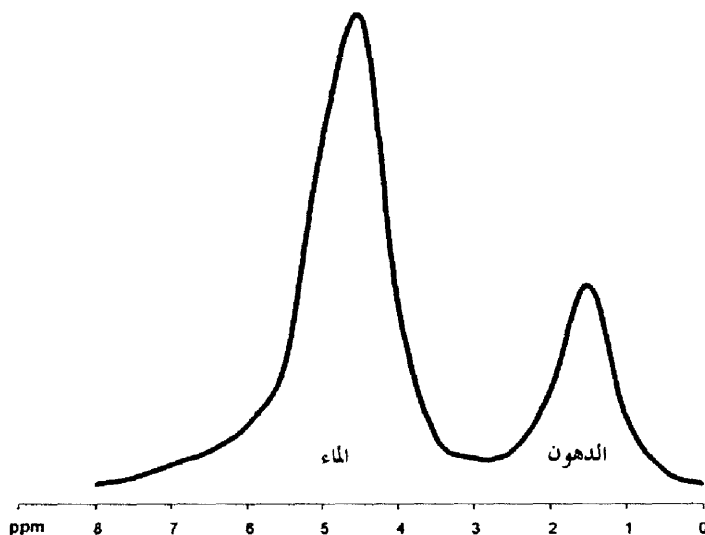
تستخدم تقنيات عديدة في عيادات التصوير بالرنين المغناطيسي MR للتخلص من إشارات الدهون.

- تصوير الإزاحة الكيميائية القائم على إزاحة الطور على الزمن بين الهواء والدهون.
- الاختيار التردددي لتشبع الدهون (نسبة تشبع الدهون fat sat pulse).
- التخلص من الدهون المعتمدة على T1.
- التشبع المسبق الطيفي مع الاسترداد العكسي (SPIR).

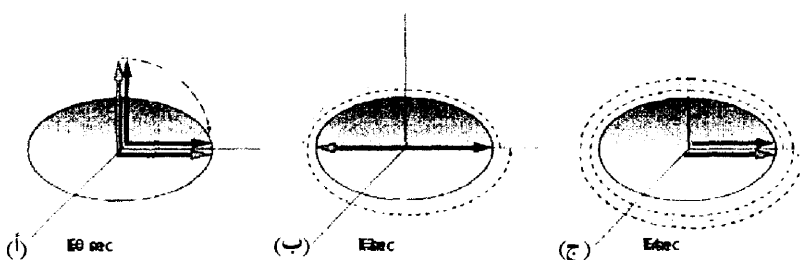
(٩) تصوير الإزاحة الكيميائية Chemical Shift Imaging

كما ذكرنا سابقاً، فإن نواة نفس الذرة تختلف قليلاً في تردداتها الرنينية عندما ترتبط مع جزيئات مختلفة أو موقع جزيئه مختلف. هذا النوع من الفرق في التردد الرنيني يسمى الإزاحة الكيميائية. إن الإزاحة الكيميائية يمكن أن تعطى بالهرتز، والتي تتناسب مع شدة المجال المغناطيسي الخارجي الذي تتعرض له البروتونات، أو "كماء في المليون ppm" (parts per million)، وهي وحدة لا تعتمد على شدة المجال المغناطيسي.

إن الأهمية العظمى للإزاحة الكيميائية في التصوير الإكلينيكي تظهر في بروتونات الدهون والماء. التردد الرئيسي لبروتونات الدهون المرتبطة في سلسلة أحاسيس دهنية (مثلاً الجليسيريدات الثلاثية triglycerides) وبروتونات الماء مختلف بمقدار ٣, ppm، والتي عند شدة مجال مقدارها ١, ٥ T، تجعل الدهون تتقدم بمقدار ٢٢٥ Hz أبطأ من الماء (الشكل رقم ٣٥). إذا كانت بروتونات الدهون والماء في نفس الفوكسل voxel، فإن الفرق في التردد سيظهر كفرق في الطور بعد انحناء التجاه المغناطية إلى المستوى xy وبدء التراخي العرضي في الحدوث. مع الوقت، تكون بروتونات الدهون والماء على التوالي في نفس الطور وفي طور عكسيًا بالنسبة لبعضها البعض. نقول إنها يمكن أن في طور عكسي عندما تكون الزاوية بينها ١٨٠ درجة. عند شدة مجال ١, ٥ T تكون بروتونات الدهون والماء بينها زاوية مقدارها ١٨٠ درجة بعد الإثارة بزمن مقداره ٢, msec، وفي نفس الطور بعد ٤, msec. بعد ٢, ٢ msec أخرى سيكونان في طور عكسي مرة أخرى وهكذا. في تصوير الرنين المغناطيسي MR الإكلينيكي، فإن هذه الفروق في الطور والتي تعتمد على الزمن يتم استخدامها للتخلص من إشارة الدهون (أو الماء) اختيارياً. في حالة الصورة التي يتم الحصول عليها في حالة الطور الواحد بين الإشارتين، فإن مركبة المغناطية العرضية لبروتونات الدهون والماء التي تكون في نفس الفوكسل تجمع مع بعضها وتعطي إشارة قوية، بينما في حالة الطور العكسي فإنه إما الدهون وإما الماء وحدهما تشارك في الإشارة (الشكل رقم ٣٦). الفرق في شدة الإشارة بين الصور التي لها نفس الطور والتي لها طور عكسي يمكن أن تساعد في التفريق بين الأجزاء السليمة والمريرة في صور الرنين المغناطيسي MR. إذا كان عضو يحتوي على دهون، فإن ذلك سيسبب نقصاً في شدة الإشارة البنية في الصورة ذات الطور العكسي بالمقارنة بالصور التي لها نفس الطور. تعرف هذه الطريقة بتصوير الإزاحة الكيميائية لها، كمثال، دور في تقسيم الرنين المغناطيسي MR لأورام الإدريتاليين، حيث وجود الدهون يكون عاملاً مهمًا في التعرف على المرض.



الشكل رقم (٣٥). الإزاحة الكيميائية بين الدهون والماء. التردد الرئيسي لبروتونات الدهون والماء مختلف بحوالي $3,5 \text{ ppm}$ والتي ترجم إلى حوالي 220 هرتز عند شدة مجال مقدارها $1,5 \text{ T}$.



الشكل رقم (٣٦). (أ) الفرق في الطور بين الدهون (السهم الرمادي) والماء (السهم الأسود) كدالة في زمن الصدى TE . (ب) عند شدة مجال مغناطيسي خارجي مقدارها $T = 1,5 \text{ T}$ ، فإن متوجه المغناطة العرضية للدهون والماء يشير إلى اتجاهين متضادين عند $TE = 2,2 \text{ msec}$ ، مما يتبع عنه إشارة رنين مغناطيسي MR ضعيفة. (ج) عندما $TE = 4,4 \text{ msec}$ ، تعود الدهون والماء في نفس الطور وكل منها يشارك في إشارة الرنين المغناطيسي MR .

كيف يعمل التصوير بالرنين المغناطيسي؟

طريقة التصوير بالإزاحة الكيميائية للتخلص الاختياري من إشارة الدهون أو الماء تم افتراضها من قبل Dixon. في هذه الطريقة يتم قراءة مجموعتين من الصور، واحدة عندما تكون الدهون والماء في نفس الطور، والثانية عندما تكون الدهون والماء في طور عكسي. شدة الإشارة للصورتين اللتين يتم الحصول عليهما بهذه الطريقة (صورة رقم ١ و صورة رقم ٢) يمكن توضيحهما كالتالي:

- صورة رقم ١ = الماء زائد الدهون

- صورة رقم ٢ = الماء ناقص الدهون

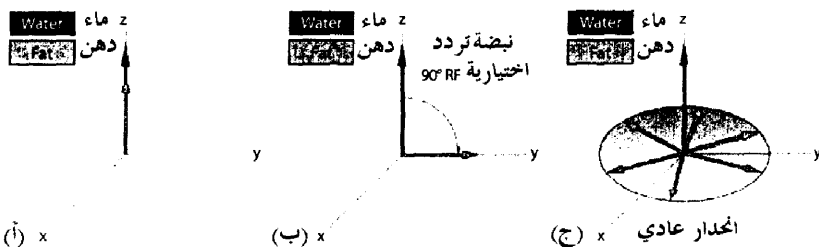
بجمع الصورة رقم ١ مع الصورة رقم ٢ نحصل على صورة ماء فقط (ماء زائد ماء) بينما بطرح الصورة رقم ٢ من الصورة رقم ١ نحصل على صورة دهون فقط.

(٩، ٢) الاختيار الترددية لتشبع الدهون

Frequency Selective Fat Saturation

لأن الماء والدهون يكون لها تردد رئيسي مختلف، فإنه من الممكن أن نختار تشبع قمة الطيف للماء أو الدهون عن طريق تطبيق نبضة راديو RF للاختيار الترددية قبل التصوير. طرق التشبع الحقيقة تعطى نبضة الراديو RF بعد إجراء المعايرة للتحديد التام لقمة الطيف للدهون. تستخدم هذه الطرق باستمرار في تصوير الرنين المغناطيسي MR الطيفي وليس في الاستخدام العادي للتصوير الإكلينيكي بالرنين المغناطيسي MR، حيث يتم التخلص من تأثير الدهون بطرق عادية. إن نبضة تشبع الدهون fat sat pulse هي نبضة تردد راديو RF اختيارية قصيرة بتطور ٩٠ درجة يتم تطبيقها لتدوير المغнطة العرضية للدهون إلى المستوى العرضي. بينما في المستوى العرضي، يتم إعادة الطور لمغنطة الدهون عن طريق تطبيق انحدار اختياري، مما يتبع عنه ترك المغنطة الطولية للماء فقط للإثارة أثناء النبضة التالية (انظر الشكلين رقمي ٣٦ و ٣٧).

طرق التخلص الاختياري الترددى من تأثير الدهون تستخدم في المساحات ذات المجال العالى بينما تتابعات الاسترداد العكسي لأزمنة T1 القصيرة ST1R تكون مفضلة في المساحات ذات المجال المنخفض.



الشكل رقم (٣٧). (أ و ب) إلغاء تأثير الدهون بالتردد الاختياري. نبضة تردد راديو RF اختيارية بطور ٩٠ درجة يتم تطبيقها لتدوير متوجه المغنتة للدهون إلى المستوى المستعرض. (ج) المغازل الدهنية تبدأ في إعادة طورها، والتي يتم تعجيلها بتطبيق انحدار عادي، ولذلك، فإن المغنتة الطولية للماء تكون متاحة للإثارة التالية.

(٤, ٣) الاسترداد العكسي للزمن الأول T1 القصير

Short T1 Inversion Recovery (ST1R)

تتابعات الاسترداد العكسي للزمن الأول T1 القصير ST1R تحقق تخلصاً جيداً لتأثيرات الدهون عند جميع قيم شدة المجالات. إنها تستخدم أساساً للتخلص من تأثيرات الدهون في المساحات ذات المجال المنخفض وفي كل الأحوال الأخرى التي يكون فيها التخلص من تأثيرات الدهون لا يمكن تحقيقه بطرق التردد الاختياري. إن الوظيفة الأساسية لتتابع الاسترداد العكسي للزمن الأول T1 القصير ST1R تم شرحها في المقطع ٥, ٧.

(٤، ٩) طيف التشبع المسبق مع الاسترداد العكسي

Spectral Presaturation with Inversion Recovery (SPIR)

إن طيف التشبع المسبق مع الاسترداد العكسي SPIR يشبه الاسترداد العكسي للزمن الأول T1 القصير STIR في أنه تقنية عكس للتخلص من تأثيرات الدهون. على الرغم من أن تتابع الاسترداد العكسي للزمن الأول T1 القصير STIR يستخدم نبضة تشبع ابتدائية ١٨٠ درجة، فإن طريقة طيف التشبع المسبق مع الاسترداد العكسي SPIR تستخدم نبضة عكس ابتدائية التي تجعل التردد اختيارياً وتعكس فقط مغنة الدهون. لاحظ أن طيف التشبع المسبق مع الاسترداد العكسي SPIR ليس تتابع نبضات ولكنه تقريباً وحدة إضافية يمكن تطبيقها قبل أي تتابع نبضات. يستخدم طيف التشبع المسبق مع الاسترداد العكسي SPIR أساساً للحصول على صور بدون تأثيرات دهون مع الارتباط بتتابع موزون بالزمن الأول T1.

الفصل العاشر

التصوير المتوازي

Parallel Imaging

KLAAS P. PRUESSMANN

(١٠، ١) خلفية عن الموضوع **Background**

إن تتابعات الرنين المغناطيسي MR التي تم تقديمها في الفصول السابقة هي في الحقيقة تتابعات طبيعية تعمل بسرعة. مع هذه التتابعات، تم الحصول على أزمنة مسح قصيرة ولكن المدى الذي يمكن الوصول إليه في تعجيل تجميع البيانات يحدد بما هو متاح من مكونات بنائية للنظام، وبالذات أداء ومعدل تسريع ملفات الانحدار المستخدمة في تشفير الطور والتردد. وفوق ذلك، فإن استخدام انحدارات أقوى وبمعدلات تسارع أعلى تكون محدودة باعتبارات وظيفية للأعضاء مثل مخاطر إثارة العصب المجاور.

إن الاعتبار الآخر هو طاقة ترددات الراديو RF المجمعة في النسيج والتي تؤدي إلى تسخينه (معدل الامتصاص الاعتباري SAR specific absorption rate SAR). للتأكد من سلامة المريض، فقد تم تحديد معدل الامتصاص الاعتباري SAR للتصوير بالرنين المغناطيسي MR. هذه الحدود قد يتم تحطيمها عند استخدام أنظمة تصوير سريعة بزوايا انقلاب كبيرة وأزمنة تكرار قصيرة.

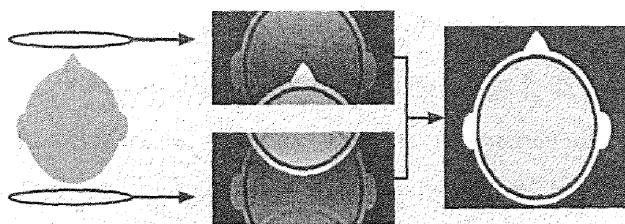
(١٠، ٢) أساسيات التصوير المتوازي **Principles of parallel imaging**

إن طرق التصوير المتوازي تقدم حلًا جيداً للحدود التي تم عرضها. تستخدم هذه الطرق مجموعة من ملفات السطح توفر جنباً إلى جنب للتجميع المتفافق لمجموعات

كيف يعمل التصوير بالرنين المغناطيسي؟

البيانات. مثل هذه الملفات الاستقبالية تسمح بقصير زمن تجميع البيانات، ولكن بطريقة تختلف أساساً عن الطرق العادي للتابعات السريعة. في التصوير المتوازي، يتم قصير زمن المسح عن طريق تقليل عدد خطوات تشفيـر الطور بدلاً من تسريع الخطوات المتتابعة. لذلك فإن تقليل زمن المسح يتم الحصول عليه بدون معدلات انحدار أسرع وبدون مخاطر التسخين للأنسجة.

بالتحديد، فإن عدد خطوات تشفيـر الطور يتم تقليله عن طريق العينات غير الملوءة للفراغ K. عندما يتم ملء الفراغ K بكثافة أقل عن طريق تجميع أصـداء مغازل تشفيـر طور أقل، فإنه يتيح تقليل خطى لأـزمنـة المسـح وذلـك لأنـ زـمـنـ الحـصـولـ عـلـىـ الصـوـرـةـ يـتـنـاسـبـ معـ عـدـدـ أـصـدائـ تشـفـيـرـ الطـورـ التـيـ يـتـمـ تـجـمـيعـهاـ. فـعـلـىـ سـبـيلـ المـثالـ فـإـنـ زـمـنـ الـمسـحـ يـمـكـنـ تـقـلـيلـهـ بـنـسـبـةـ ٥ـ٪ـ إـذـاـ تـمـ مـلـءـ خـطـ منـ بـيـنـ كـلـ خـطـينـ. الأـثـرـ الفـورـيـ،ـ معـ ذـلـكـ،ـ هوـ أـثـرـ غـيرـ مـرـغـوبـ فـيـهـ،ـ وـهـوـ بـحـالـ رـؤـيـةـ أـصـغـرـ فـيـ اـجـاهـ تـشـفـيـرـ الطـورـ (ـالـشـكـلـ (ـ٣ـ٨ـ)ـ)ـ معـ حدـوثـ تـأـثـيرـاتـ إـلـتـفـافـيـةـ.ـ وـهـذاـ يـعـنيـ أنـ أـجزـاءـ مـنـ الـحـجـمـ الـصـوـرـ وـالـتـيـ قـمـتـ خـارـجـ مـجـالـ الرـؤـيـةـ FOVـ سـيـتـ تـوـقـيـعـهـاـ فـيـ الجـانـبـ الـمـعـاـكـسـ فـيـ الصـوـرـةـ).



الصورة المركبة	التحسـبـ المـنـفـرـدةـ
- مجال رؤية كامل بدون تأثيرات لتغافلية	- مجال رؤية قليل في اتجاه تشفيـرـ الطـورـ (ـعـاملـ مـنـ ٤ـ)
- الفروق في حساسية الملفات على الأقل عنصري ملفات	- اختلاف في ألوان الإشارة ناتج من مصفوفة ملفات المستقبل
- الوزن العجائب	(ـعـلـىـ الأـقـلـ عـنـصـرـيـ مـلـفـاتـ)

الشكل رقم (٣٨). في التصوير المتوازي ، مصفوفة من الملفات تجمع بشكل متوازي إشارات الرنين المغناطيسي MR. زمن المسح يتم قصيره عن طريق تقليل عدد خطوات تشفيـرـ الطـورـ.ـ كـتـيـجـةـ ذـلـكـ،ـ فـإـنـ الصـوـرـ المـنـفـرـدةـ يـتـمـ الـحـصـولـ عـلـىـ بـحـالـ رـؤـيـةـ أـصـغـرـ وـيـظـهـرـ فـيـهـ التـأـثـيرـ الـلـتـفـافـيـ.ـ صـوـرـ كـامـلـ بـدـونـ التـأـثـيرـاتـ الـلـتـفـافـيـةـ يـتـمـ تـرـكـيـبـهـاـ عـنـ طـرـيقـ تـجـمـيعـ الصـوـرـ المـنـفـرـدةـ.

هذه التأثيرات الالتفافية يمكن التخلص منها باستخدام التصوير المتوازي. في هذه الطريقة، فإن كل عنصر في مصفوفة الملفات يعطي صورة منفصلة بمجال رؤية صغير حيث يتم اختفاء جزء من معلومات الصورة عن طريق التأثير الالتفافي. ولكن، الأجزاء التي التفت على بعضها تميز بأوزان مختلفة تغير مع الحساسية المكانية لعناصر الملفات المفترضة. في الشكل رقم (٣٨)، كمثال، الملفات الموضوعة في الأمام ستكون أكثر حساسية للوجه والملفات الموضوعة في الخلف ستتصور أساساً خلفية الرأس. معرفة هذه الحساسيات تسمح بالفصل حسابياً للمعلومات وتكون الصورة التي تعطي مجال رؤية كامل بدون التأثيرات الالتفافية. فوق ذلك، فإن عملية تكوين الصورة تخلص أيضاً من الأوزان المختلفة، مما يتبع عنه صورة نهائية بكثافة إشارة متجانسة.

(١٠،٣) متطلبات خاصة Special Requirements

للمكونات البنائية للنظام، فإن أهم عنصر ضروري لأداء التصوير المتوازي هو مصفوفة مناسبة للملفات الاستقبال. على حسب التطبيق المفترض، فإن مصفوفة الملفات تتكون من اثنين إلى ثمانية عناصر. الترتيب الهندسي المناسب للملفات يكون عامل مهم في تحديد نسبة الإشارة للضوضاء SNR التي يمكن الوصول إليها. من المهم أيضاً أن نحافظ على الحساسية المكانية لعناصر المصفوفة بحيث تكون ثابتة أثناء التصوير. يتحقق ذلك عن طريق الترتيب الجيد، فمثلاً، يمكن استخدام شكل قفصي عند تصوير الرأس. وعلى العكس، يفضل استخدام ترتيبات مرنة يتم تثبيتها على المريض بطرق انفرادية عند التصوير المتوازي للصدر والمنطقة الأمامية. في النهاية، فإن ماسح الرنين المغناطيسي MR يجب أن يحتوي على عدد مماثل من قنوات الاستقبال المنفصلة لتوصيل كل عناصر الملفات.

للتأكد من تكوين صورة يمكن الاعتماد عليها في التصوير المتوازي، من المهم أن نحدد بدقة تأثيرات التشغيل في حساسية كل مستقبل. يتم ذلك في العادة عن طريق إجراء قياس مرجعي إضافي عند بداية كل فحص (معايرة). بطريقة أخرى، يمكن الحصول على بيانات مرجعية منفردة مع كل عملية تصوير.

(٤٠) تطبيقات Applications

يمكن استخدام التصوير المتوازي لقصير زمن أخذ الصورة بالتعاون الافتراضي مع كل التابعات المعروفة وأدوات التبادل. كقانون، التصوير المتوازي لا يغير من صفات التبادل، ولذلك يمكن تفسير أو ترجمة الصورة بنفس الطرق العاديّة المتّبعة مع نظائرها.

يتناصف الكسب في السرعة طردياً مع النقص في خطوات تشفيـر الطور. معـامل التعـجيـل هوـ المعـامل الـذـي تـقلـ بـمـقـدـارـهـ خـطـوـطـ عـيـنـاتـ الفـرـاغـ Kـ.ـ يـمـكـنـهاـ أنـ تـأخذـ أيـ رقمـ صـحـيـحـ أوـ قـيـمةـ كـسـرـيـةـ بيـنـ ١ـ (ـبـدـونـ تعـجيـلـ)ـ حـتـىـ ٣ـ أوـ ٤ـ.ـ يـمـكـنـ الحصولـ عـلـىـ تـجـمـيـعـ أـسـرـعـ لـلـبـيـانـاتـ مـعـ التـقـنيـاتـ ثـلـاثـيـةـ الـأـبعـادـ 3Dـ الـتـيـ تـحـقـقـ تعـجيـلـاـ أـكـثـرـ عـلـىـ الـمـقـابـلـ منـ نـظـائـرـهـاـ ثـنـائـيـةـ تـشـفـيـرـ الطـورـ.

من البرمجيات المتاحة تجاريًا للتصوير المتوازي SENSE و IPAT و ASSET و SPEEDER. إن زمن المسح الأسرع الذي يمكن الحصول عليه بهذه الأدوات يتم استخدامه في مدى عريض من التطبيقات. في تركيبات العيادات، يكون التقليل في زمن المسح له جاذبية خاصة في بروتوكولات التصوير مع التابعات الطويلة جداً أو التصوير أثناء مسک النفس. أزمنة المسح القصيرة تكون ذات فائدة أيضاً في دراسات الرنين المغناطيسي MR الديناميكية مثل تحقيق وسط تبادل مروري أو حركة القلب. بالتبادل، فإن تقنيات التصوير المتوازي يمكن توظيفها لتحسين التبادل المكاني أو الحصول على شرائح أكثر بدون زيادة زمن المسح.

في النهاية، فإن التصوير المتوازي يمكن أن يساعد التأثيرات الحركية. عند استخدام تابعات بزمن تجميع طويل، فإن القراءات التتابعية يمكن أن تقلل التأثيرات غير المرغوبـةـ الـتـيـ تـتـدـاخـلـ مـعـ جـوـدـةـ الصـورـةـ.ـ يـطـبـقـ هـذـاـ خـاصـيـةـ عـلـىـ تصـوـيرـ الصـدـىـ المستوي EPI،ـ والتـيـ تـتأـثـرـ سـلـيـباـ عـنـ طـرـيقـ تـأـثـيرـاتـ مـحدـدةـ وـجـدـتـ بـسـبـبـ عدمـ تـجـانـسـ فـيـ المـجـالـ بـسـبـبـ سـرـعـةـ التـأـثـيرـ (ـقـابـلـيـةـ التـأـثـيرـ)ـ susـcepـtu~bi~tyـ المتـغـيـرـةـ وـالـحـرـكـةـ وـالـتـدـفـقـ.ـ فـوقـ ذـلـكـ،ـ فإـنـ انـعـكـاسـ الـانـحدـارـ الـفـاقـتـ الـسـرـعـةـ الـضـرـوريـ

في تصوير الصدى المستوي EPI يكون مصحوباً بمستوى عالٍ جداً من الضوضاء. التصوير المتوازي يكون أقل ضوضاء لأن معدل انعكاس الانحدار يقل بسبب تقليل القراءات في حين يظل زمن المسح الكلي هو نفسه.

عندما نفترض تطبيق تقنية التصوير المتوازي لأي سبب من الأسباب السالفة الذكر، فإنه يجب التنبيه أن التابع المستخدم يجب أن تكون له نسبة إشارة للضوضاء SNR يجب الحفاظ عليها. هذا يكون ضرورياً، مع بعض الاستثناءات، فإن التصوير المتوازي يقلل نسبة الإشارة للضوضاء SNR.

المراجع References

- 1- Sodickson DK, Manning WJ (1997) Simultaneous acquisition of spatial harmonics (SMASH): fast imaging with radiofrequency coil arrays. Magn Reson Med 38:591–603
- 2- Pruessmann KP, Weiger M, Scheidegger MB, Boesiger P (1999) SENSE: sensitivity encoding for fast MRI. Magn Reson Med 42:952–962
- 3- Griswold MA, Jakob PM, Heidemann RM, Nittka M, Jellus V, Wang J et al (2002) Generalized autocalibrating partially parallel acquisitions (GRAPPA). Magn Reson Med 47:1202–1210

الفصل العاشر

تصوير القلب والأوعية الدموية Cardiovascular Imaging

Daniela Nanz (*)

يمكن فحص نظام القلب والأوعية الدموية بالرنين المغناطيسي عند مستويات مختلفة.

يمكن رؤية الأوعية مباشرة في مصور الأوعية (MR angiography, MRA) وهي يمكن تقييمها في الأجزاء التشريحية غير العادية وفي الضيق والتتوسّع أو الفحص. إن موضوع وسط التباثن الجديد قد غير بشكل كبير تصوير الأوعية بالرنين المغناطيسي MR وقد سهل بشكل خاص دراسات الوقت التحليلية. إن صور الرنين المغناطيسي MR تعرض ليس فقط الدم، ولكن أيضاً جدار الأوعية وأمراضها.

بينما لا يمكن عادة رؤية الأوعية والشعيرات التي يقل قطرها عن واحد مليمتر مباشرة، ومع ذلك فإن الحقن يمكن تقييمه باستخدام طرق الرنين المغناطيسي MR والتي تعرض الأنسجة بكثافة إشارة تتغير مع تدفق الدم فيها. بهذه الطريقة يمكن مباشرة رؤية الاختلافات النسبية لمناطق الحقن في العضو.

تأثير اضطرابات الحقن التي تحدث بعد أي أزمة قلبية يمكن تقييمها على صور الرنين المغناطيسي MR موزونة الانتشار يمكن الحصول عليها في خلال دقائق من بداية الأعراض. في هذه الصور، تعكس كثافة الإشارة مقدار حركة جزيئات الماء عند المستوى الميكروسكوبى.

(*) مراجع

1- Clinical indications for cardiovascular magnetic resonance (CMR) (2004)
Consensus Panel report. European Heart Journal 25:1940–1965

في المخ، يحقق التصوير الوظيفي بالرنين المغناطيسي معلومات غير مباشرة عن النشاط المخي عن طريق عرض التغيرات في تشعّب الأوكسجين في الشعيرات الدموية. تصوير الرنين المغناطيسي للقلب يعكس بعض المشاكل الخاصة. على الرغم من ذلك، فإن الكثير من الأسئلة يمكن الإجابة عليها عن طريق مجموعة من صور الرنين المغناطيسي لعضلة القلب باستخدام مجموعة من التتابعات المختلفة.

١١، ١) تصوير الأوعية Angiography

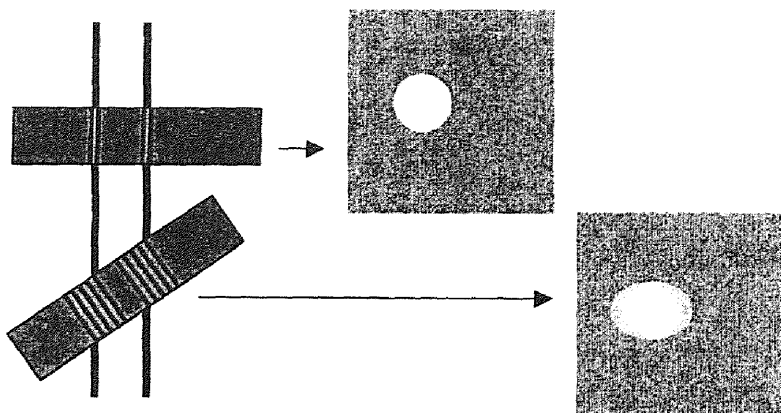
طرق تصوير الأوعية الدموية بالرنين المغناطيسي MR تم تحسينها لتصوير الدم والتشريح المحيط بإشارات ذات كثافات مختلفة. نقدم فيما يلي ثلاثة طرق (زمن الطيران time of flight وتبالين الطور phase contrast، و الدم الأسود بالرنين المغناطيسي للأوعية MRA)، وهذا يمكن الحصول عليه عندما يتحرك الدم بسرعة أكبر من الهياكل المحيطة. الطريقة الرابعة، بالرنين المغناطيسي للأوعية MRA المحسن التباين، مختلف في أن النسيج يظهر مضيئاً عندما يتم تقدير زمن التراخي الطولي إلى قيم أقل من ١٠٠ ملي ثانية عن طريق إدارة أو استخدام عامل تباين. بهذه الطريقة، فإن صورة الأوعية الدموية التي تستخدم عامل التباين تحسن إشارة الدم بعد الحقن في الأوعية الدموية مباشرة.

١١، ١، ١) تصوير الدم المضيء Bright Blood Imaging

تقنيات تصوير الأوعية الدموية بالرنين المغناطيسي MRA الأوسع انتشاراً المستخدمة في تركيبات العيادات تقوم بتصوير الدم باستخدام إشارة عالية الشدة (التصوير المضيء للدم). الأوعية ذات التباين الموجب تكون أكثر بروزاً، وفي المعالجة النهائية لبيانات التصوير بالرنين المغناطيسي، يمكن رؤيتها بسهولة أكثر على إسقاطات من خلال تكتسات من الصور. وعلى الرغم من ذلك، فإن كل تقنيات الدم المضيء تكون محدودة بحقيقة أنه لا تكون

هناك في العادة إشارة من الدم عندما يكون التدفق دوامياً أو توربينياً. تحت هذه الظروف، لا يمكن تمييز الدم من الأنسجة المحيطة. يحدث التدفق الدوامي في مقاطع الأوعية المهمة مثل التفرعات أو في الأوعية البعيدة المتقلصة. عامة، الوسيلة الوحيدة لتقليل هذا التأثير هي بالحفاظ على أن يكون زمن الصدى أقصر ما يمكن.

يمكن استخدام تقنيات تصوير الأوعية بالرنين المغناطيسي للحصول على بيانات ثنائية الأبعاد (2D) أو ثلاثة الأبعاد (3D). يمكن إجراء معالجة متأخرة على البيانات ثنائية الأبعاد 2D للحصول على أحجام ثلاثة الأبعاد 3D. ميزة عامة في التصوير ثلاثي الأبعاد 3D هي أن الشريان الرقيق يمكن الحصول عليها بدون فراغات بين الشريان، مما يحسن أيضاً من نسبة الإشارة إلى الضوضاء SNR في بعض التطبيقات. وفوق ذلك، فإنمجموعات البيانات الحجمية تسمح بإعادة التشكيل في العديد من المستويات بتباين جيد. عند إجراء تصوير الأوعية بالرنين المغناطيسي MRA في حالة ثنائية الأبعاد 2D، يتم الحصول على نتائج مثالية مع وضع الشريان عمودية على الوعاء المقصود ويتم المسح ضد اتجاه تدفق الدم. سيقلل هذا من التشبع غير المرغوب وتآثيرات الأحجام الجزئية (الشكل رقم ٣٩).



الشكل رقم (٣٩). تآثيرات الحجمالجزئي تحدث عندما تكون الشرحقة التي يتم تصويرها مائلة على المستوى العمودي لمحور الوعاء الطولي. قطر الوعاء يظهر أصغر في الصورة المأخوذة من المستوى المائل.

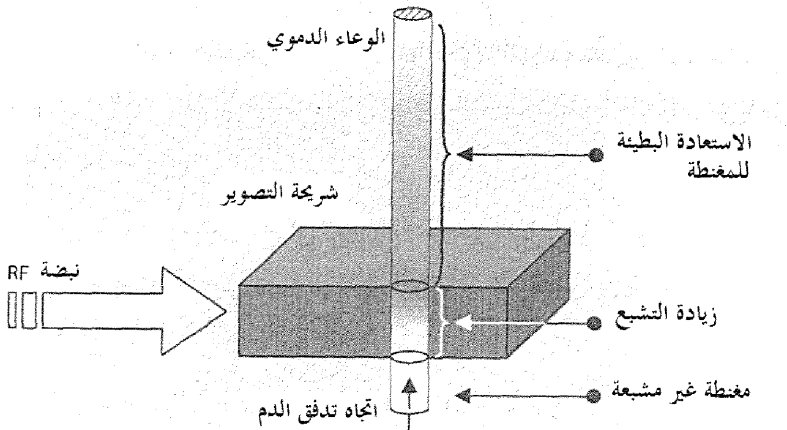
زمن الطيران لتصوير الأوعية بالرنين المغناطيسي

Time-of-Flight (TOF) MR Angiography

زمن الطيران Time-of-flight، TOF لتصوير الأوعية بالرنين المغناطيسي يقوم بعرض تدفق الدم (بسرعة) من خلال مستوى التصوير بإشارة ذات كثافة عالية (مضيء). زمن الطيران لتصوير الأوعية يتم إجراؤه عادة في وضع محوري لتقييم أوعية الرأس والرقبة مثل الشريان السباتي ودائرةWillis circle of Willis . نظرياً، على الرغم من ذلك، فإن زمن الطيران لتصوير الأوعية بالرنين المغناطيسي MR يكون اختياراً لتصوير الأوعية في كل أجزاء الجسم.

التعبير "زمن الطيران" من المحتمل أن يكون قد تم الأخذ به من تقنية القياس الطيفي للكتلة التي تفصل الشظايا الجزيئية التي لها كتل مختلفة على أساس الأزمنة المختلفة التي تحتاجها هذه الشظايا للتنقل أو تسافر خلال أنبوبة مفرغة. بطريقة مشابهة، فإن تصوير الأوعية عن طريق زمن الطيران يبين دوران جزيئات الماء التي تتحرك في الدم من خلال الأوعية. يظهر الوعاء الدموي لاماً عندما يكون هناك مصدر مستمر لغازل حديثة تستبدل مكان المغازل في مستوى الصورة (تأثير التدفق الشكل رقم ٤٠).

تصوير الأوعية الدموية باستخدام زمن الطيران يتم باستخدام تتابعات انحدار الصدى GRE مع أزمنة تكرار قصيرة (٣٠ حتى ٥٠ ملي ثانية). ويجب الحفاظ على أزمنة الصدى أقصر ما يمكن. وتتواءح زوايا الانقلاب المستخدمة من ٢٠ حتى ٤٠ درجة تقريرياً للتصوير ثلاثي الأبعاد وحتى ٥٠ درجة أو أكثر للتصوير ثنائي الأبعاد. إن المغازل التي تستقر خلال الشريحة بدون تحرك تكون متتبعة بدرجة كبيرة بنبضات الإثارة المتتابعة (انظر الشكلين رقمي ١١ و ١٢) وتعطى فقط إشارة ضعيفة جداً، تجعل الأنسجة المستقرة تظهر أكثر إيلاماً في الصورة الناتجة. على العكس، فإن الدم المتدفق في مستوى الصورة لم يتعرض لنبضات الراديو RF. كنتيجة لذلك، فإن مغناطة طولية أكثر تكون متاحة للإشارة التالية والدم المتدفق يظهر لاماً.



الشكل رقم (٤٠). أساس تصوير الأوعية عن طريق زمن الطيران. الظلال الرمادية المختلفة تمثل مقدار المغناطة الطولية.

إذا لم تترك المغازل حديثة الوصول من الحجم الممسوح في خلال فترة زمن التكرار واحد، فإن المغناطة الخاصة بها ستتشبع أيضاً عن طريق نبضات إثارة الراديوي RF التالية. لذلك فإن إشارة الرنين المغناطيسي الخاصة بها تصبح أقل ثم أقل مع تحركها بعيداً عن شريحة الدخول. إذا استمر الدم في الحجم المصور لزمن طويل فإنه يمكن أن تظهر مشكلة، فمثلاً، إذا كان هناك تدفق بطيء نتيجة مرض في الأوعية (مثل تشوهات الأوعية، أو جراحات في جدار الأوعية، أو تندد الأوعية أو التجويف المزيف)، أو إذا كانت الأوعية تأخذ مسار منحنى خلال الشريحة، أو إذا تم التعامل مع شريحة سميكة (خاصة في التصوير ثلاثي الأبعاد). فقدان المترافق للإشارة يمكن تخفيفه إلى حد ما عن طريق الزيادة المتدرجة في زاوية الانقلاب المصاحبة للمغازل وهي في طريقها إلى حجم المسح (مثالية الانحناء، Tilted Optimized, Non-saturating Excitation, (TONE). إثارة غير مشبعة، MOTSA بالتبادل، فإن الشريحة السميكة يمكن تقسيمها (اكتساب شرائح رقيقة متعددة متداخلة (Multiple Overlapping Thin Slab Acquisition, MOTSA

يحدث أقصى تحسين للتدفق عند التعامل مع شرائط رقيقة ثنائية الأبعاد عمودية على اتجاه تدفق الدم. هذا هو السبب في لماذا تكون تقنيات تصوير الأوعية بالرنين المغناطيسي MRA ثنائية الأبعاد متميزة في تصوير الأوعية الدموية ذات التدفق البطيء مثل نظام الوريد البابي.

يمكن أن نواجه بعض مشاكل تشبع المغnette عندما لا يأخذ الوعاء مساراً مستقيماً ولكنه يترك مستوى المسح ثم يعود إليه مرة أخرى. إن هذا قد يؤدي إلى إشارات ضعيفة جداً في مقاطع الأوعية الأمامية.

إن الزيادة في الإشارة الناتجة عن التدفق الداخل للدم لا تعتمد على الاتجاه الذي يدخل منه الدم إلى مستوى التصوير. لهذا السبب فإن الأوردة لا يمكن تمييزها من الشرايين في طريقة التصوير للأوعية بزمن الطيران. يمكن التغلب على هذه المشكلة عن طريق تطبيق تشبع مسبق في المنطقة قبلأخذ عينات البيانات. حتى هذه النهاية، فإن المغnette تكون متشبعة تماماً إما في شريحة متقدمة لشريحة التصوير (تصوير شريان) وإما في الخلف بالنسبة لها (تصوير وريدي). الدم المتداهن في حجم المسح من الشريحة التي سبق تشبعها تظهر داكنة (الشكل رقم ٤١).

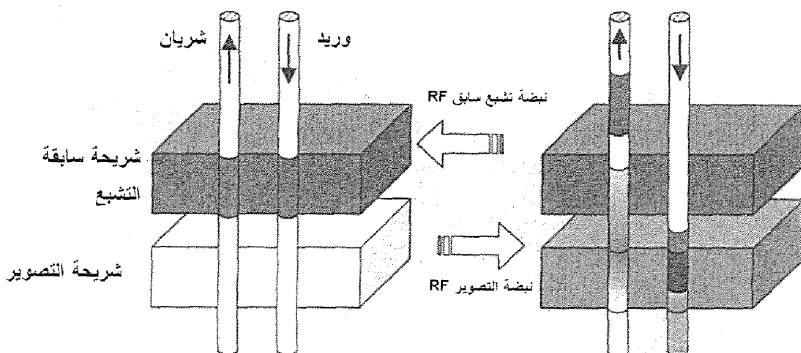
الإشارة من الأنسجة الثابتة يمكن قمعها أكثر عن طريق تشبع المغnette في بركة البروتونات المترابطة (المقطع ٦ ، ٣)، والتي ستحسن تباين الأوعية في معظم الأحوال. إن قمع الدهون هو اختيار آخر لتحسين التباين.

وجود تركيزات محدودة من وسط تباين في تصوير الأوعية يزيد من إشارة الأوعية ولكن التفريق بين الشرايين والأوردة في هذه الحالة يكون أصعب.

إن طيب الأشعة الذي يقرأ صور الأوعية المعتمدة على زمن الطيران TOF يجب عليه أن يكون مدركاً أن قطر الوعاء الدموي يكون مقدراً بأقل من قيمة بينما التقلص يكون مقدراً بأكثر من قيمته وأن التباين قد يكون ضعيفاً عندما يكون هناك تدفق بطيء للدم أو أن الوعاء الدموي لا يأخذ مساراً مستقيماً. يمكن أيضاً ظهور إشارة براقة غير

متوقعة عند تقصير أزمنة الاستقرار عن طريق الميثوموجلوبين methemoglobin، والذي قد يتواجد مع الأورام الدموية (الميمازوما) أو الجلطات.

من مميزات تصوير الأوعية عن طريق زمن الطيران هي قوتها في ظروف العيادات الروتينية والكافحة في قراءة واكتساب البيانات.



الشكل رقم (٤١). التفريق بين الشرايين والأوردة في صور الأوعية الدموية باستخدام زمن الطيران TOF. بعد التشبع المسبق للدم على أي من جانبي شريحة التصوير، فإن كثافة إشارة الوعاء تصبح أكثر اعتدالاً على اتجاه تدفق الدم.

تصوير الأوعية بتباين الطور Phase Contrast Angiography

تصوير الأوعية عن طريق تباين الطور phase contrast هو تقنية أخرى لسطوع الدم والتي تعتمد على استخدام انحدارات ثنائية الطور (تشغير التدفق). عن طريق اختيار الإشارة ومقدار الانحدار، فإن المشغل يمكنه أن يحدد اتجاه التدفق ومدى سرعات التدفق التي يكون التتابع حساساً بالنسبة لها. هذه التقنية تساعد على حساب السرعات المتوسطة للتدفق في كل الأحجام المصورة.

الصور ثنائية الأبعاد المأخوذة في اتجاه التدفق وعكس اتجاه التدفق، كمثال في الشريان الكلوي، يمكن استخدامها لتقدير الانخفاض في الضغط فوق مقطع الوعاء المتقلص. إن شريحة واحدة خلال التقلص تكون الشخص من تحديد القيمة العظمى للسرعة ودرجة الضيق الظيفي.

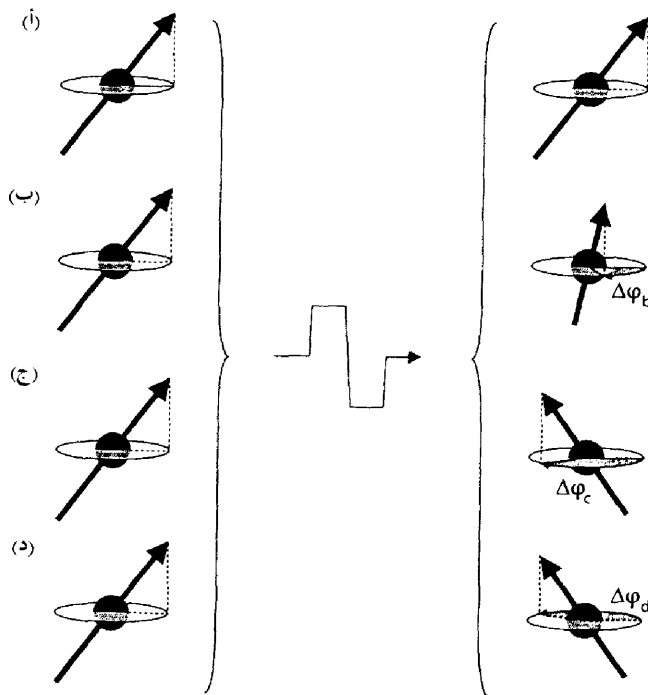
وضع شريحة ثنائية الأبعاد في التصوير القلبي في الأورطي الصاعد فوق صمام الأورطي سيوفر معلومات عن توزيع سرعات التدفق الخارج على مساحة المقطع العرضي للأورطي لكل أطوار إشارة القلب ECG (كمثال: ٢٠) للدورة القلبية. إلى هذا الخد، فإن تابعاً من صور الأوعية بتباين الطور ثانئ الأبعاد المتزامن مع معدل ضربات القلب يمكن اكتسابه عند أوقات متفرقة خلال دورة القلب (التصوير بتباين الطور). من مثل هذه البيانات، فإن حجم الضربة وخرج القلب يمكن تقديرها. فوق ذلك، فإن عدم الكفاءة في الصمام الأورطي يمكن تشخيصها وكذلك عدم الكفاية المقاومة عن طريق تحديد الارتجاع الحجمي نسبة إلى حجم الضربة. هذه الصور الحدية للسرعة توفر معلومات أيضاً عن القوى القصبية التي تؤثر على حاجز الوعاء.

تقنيات تباين الطور ثلاثية الأبعاد تستخدم أساساً لتصوير الأوعية داخل الغرف حيث يمكن الحصول على نتائج ممتازة في الوضع السهمي.

تابعات تصوير الأوعية بتباين الطور تكون تتابعات صدى انحداري GRE بأزمنة تكرار في المدى من ١٠ حتى ٢٠ ملي ثانية وأزمنة صدى يجب أن تكون أقصر مما يمكن (حوالي ٥ حتى ١٠ ملي ثانية). يمكن جعل التتابعات حساسة لظاهرة التدفق عن طريق انحدار ثانئي القطبية يتم تطبيقه بين نبضات إشارة الراديو RF وقراءة الإشارة (الشكل رقم ٤٢). نبضات انحدار تشفير التدفق تسبب إزاحة طورية في الدم المتدفق والتي تتناسب مع السرعة ولكنها لا تؤثر على الإشارة من المغازل المستقرة (الشكل رقم ٤٣).



الشكل رقم (٤٢). رسم بياني لتابع تباين الطور في تصوير الأوعية.



الشكل رقم (٤٣-د): إعطاء نقطة انحدار ثنائية القطبية وزاحة الطور الناتجة في المغازل المستقرة (أ)، ($\Delta\Phi_0 = \Delta\Phi_b$)، وغازل متذبذبة ببطء في اتجاه انحدار المجال (ب، $\Delta\Phi_b > \Delta\Phi_c$)، وغازل متذبذفة بسرعة في اتجاه انحدار المجال (ج، $\Delta\Phi_b > \Delta\Phi_c > \Delta\Phi_d$)، وغازل متذبذبة بسرعة في الاتجاه العكسي (د، $\Delta\Phi_b = -\Delta\Phi_c = -\Delta\Phi_d$). في صورة تباين الطور يمثل التدرج الرمادي للبكسل زاوية الفرق المتوسطة، $\Delta\Phi$ ، المقاسة في الفوكسل المقابلة.

إن تأثير انحدار تشفير التدفق يكون مهمًا للمغازل التي تستقبل نصف النبضة ثنائية القطبية عند نفس المكان. هذه المغازل تتعرض للتغيير في تردد لارمور Larmor الخاص بهم كنتيجة للتغير في شدة المجال المغناطيسي ولذلك تعمل عند معدلات مختلفة. النصف الثاني من النبضة ثنائية القطبية تُعرض المغازل المستقرة للتغير في المجال المغناطيسي والذي يساوي في المقدار لما حدث بالنصف الأول، في هذا الوقت فقط يحدث عكس للإشارة. بالنسبة للمغازل المستقرة، فإن النبضة ثنائية القطبية ليس لها تأثير تمام وزاوية الطور لهم تكون هي نفسها كما لو أن النبضة لم تطبق على الإطلاق.

يكون الموقف مختلفاً بالنسبة للمغازل التي تتحرك خلال المجال عندما يتم بدء الانحدار ثنائي القطبية. نتيجة تغيير أماكنها، فإن هذه المغازل تتعرض للتغير مختلف في المجال عن طريق النصف الثاني من النبضة. هذا التغير في المجال لا يمكن تعويضه بإزاحة الطور الناتج من النصف الأول. كنتيجة لذلك، يكون هناك استدامة لإزاحة الطور المقابلة في المقدار للسرعة التي تتحرك بها المغازل في اتجاه الانحدار. تسمح الإزاحة في طور المغازل بحساب سرعة تدفق الدم اعتماداً على مقدار الانحدار الثنائي القطبية المطبق.

تتحدد إشارة إزاحة الطور عن طريق اتجاه تدفق الدم بالنسبة إلى اتجاه الانحدار. إذا كانت موجة للشرائين (إزاحة الطور من صفر حتى ١٨٠ درجة)، تظهر الشرائين لامعة على صورة الرنين المغناطيسي MR، وتكون سالبة للأوردة (من صفر حتى - ١٨٠ درجة) وتظهر الأوردة داكنة والعكس صحيح.

حساب سرعات التدفق من زوايا الطور بين - ١٨٠ درجة و + ١٨٠ درجة يكون بطريقة مباشرة. تنشأ مشاكل عندما تتحرك المغازل بسرعة كبيرة تزيد عندها إزاحة الطور عن ١٨٠ درجة. فمثلاً، إزاحة طور ٢٠٠ درجة سيتم التعرف عليها عن طريق الخوارزم كما لو كانت إزاحة طور سالبة مقدارها - ١٦٠ درجة. كنتيجة لذلك فإن الدم المتدفق قريباً من جدار الوعاء يمكن أن يظهر لاماً، بينما الدم الأسرع في المركز يصبح

فجأة داكاً أو العكس . هذه الظاهرة تعرف بخلاف الطور أو التزوير في الطور ويمكن منها عن طريق الضبط الصحيح لمعاملات تشفيـر السـرعة Velocity ENCoding، معـالـات تشـفيـر السـرـعـة VENC يجب اختيارها لتشـمل أعلى سـرـعـة تـدـقـقـةـ منـ المـحـتمـلـ المـحـصـولـ عـلـيـهـ فـيـ الـوـعـاءـ الـذـيـ نـهـتـمـ بـهـ إـنـ هـذـاـ يـتـطـلـبـ بـعـضـ الـعـرـفـةـ بـسـرـعـاتـ الـدـمـ فـيـ الـأـوـعـيـةـ الدـمـوـيـةـ الـمـخـلـفـةـ سـرـعـاتـ الـدـمـ فـيـ الشـرـائـينـ تـغـيـرـ عـلـىـ مـدـىـ كـبـيرـ بـداـيـةـ الـدـمـ مـنـ الـقـلـيلـ مـنـ السـتـمـيـرـاتـ /ـ الـثـانـيـةـ إـلـىـ أـعـلـىـ مـنـ ٢٠٠ـ سـتـمـيـرـ /ـ ثـانـيـةـ فـيـ الـأـوـرـطـيـ النـازـلـ.ـ وـعـذـلـكـ،ـ فـإـنـهـ وـيـشـيـءـ مـنـ الـأـنـ يـمـكـنـ اـخـتـيـارـ قـيـمـةـ مـنـخـفـضـةـ لـتـشـفـيـرـ السـرـعـةـ VENCـ بـجـلـعـ الـتـابـعـ حـسـاسـ لـلـتـدـفـقـ الـبـطـيـ.ـ إـنـ هـذـاـ سـيـقـلـلـ مـنـ الـتـقـدـيرـ السـيـءـ لـأـقـطـارـ الـأـوـعـيـةـ مـعـالـلـ تشـفـيـرـ السـرـعـةـ VENCـ يـضـبـطـ قـوـةـ زـوـجـ الـمـنـحـنـيـ الـثـانـيـ الـقـطـبـيـةـ وـمـنـ ثـمـ ثـابـتـ الـتـنـاسـبـ الـخـاصـ بـإـزـاحـةـ الـطـورـ وـسـرـعـةـ الـتـدـفـقـ.

الزاوية المطلقة لأي إشارة تصوير رئيسي تتأثر بعوامل وتدخلات متعددة. وهذا هو السبب في لماذا تجمـع طـرق تصـوـيرـ الـأـوـعـيـةـ بـتـبـاـيـنـ الـطـورـ بـيـاـنـاتـ ضـعـفـ ماـهـوـ فـيـ طـرـقـ تشـفـيـرـ انـحدـارـاتـ التـدـفـقـ الـأـخـرـىـ.ـ جـمـعـةـ الـبـيـاـنـاتـ الـثـانـيـةـ يـتـمـ تـجـمـعـهـاـ بـانـحدـارـ صـفـرـ أوـ عـكـسـ قـطـبـيـةـ الـانـحدـارـ ثـانـيـ الـقـطـبـيـةـ (ـمـثـلاـ نـبـضـةـ +ـ /ـ مـتـبـوـعـةـ بـنـبـضـةـ -ـ /ـ +ـ).ـ لـذـلـكـ مـكـنـ تـصـحـيـحـ أيـ خـطـأـ نـظـامـيـ فـيـ قـيـاسـ الـطـورـ عـنـ طـرـيقـ الـطـرـحـ لـجـمـوـعـيـ الـبـيـاـنـاتـ.ـ الـمـقـابـلـ لـذـلـكـ هـوـ زـمـنـ مـسـعـ كـلـيـ أـطـولـ.

عـنـدـ أـخـذـ أـرـبـعـ مـعـمـوـعـاتـ مـنـ الـبـيـاـنـاتـ،ـ وـاـحـدـةـ بـدـونـ تـشـفـيـرـ لـلـتـدـفـقـ،ـ وـثـلـاثـةـ مـجـامـعـ بـتـطـبـيقـ الـانـحدـارـاتـ ثـانـيـةـ الـقـطـبـيـةـ عـلـىـ الـمـحاـوـرـ xـ وـ yـ وـ zـ،ـ إـنـ الـثـلـاثـ مـرـكـبـاتـ الـخـاصـةـ بـمـتـجـهـ سـرـعـةـ الـتـدـفـقـ يـمـكـنـ حـسـابـهـاـ مـعـ تـحسـينـ الخـطاـ.ـ بـهـذـهـ الـطـرـيقـةـ،ـ يـمـكـنـ تـولـيدـ مـخـطـطـاتـ أـوـعـيـةـ بـاستـخـادـ الـرـنـينـ الـمـغـناـطـيـسـيـ تـكـافـيـعـ أوـ تـشـبـهـ الصـورـ الـمـاخـوذـةـ بـتقـنيـاتـ تصـوـيرـ الـأـوـعـيـةـ الـأـخـرـىـ حـيـثـ يـظـهـرـ الـدـمـ الـمـتـدـفـقـ بـصـورـةـ لـامـعـةـ.ـ وـعـذـلـكـ،ـ إـنـ تصـوـيرـ الـأـوـعـيـةـ الـأـخـرـىـ تـكـوـنـ أـكـثـرـ تـقـدـمـاـ عـنـ الـتـقـنـيـاتـ الـأـخـرـىـ مـثـلـ زـمـنـ الطـيرـانـ TOFـ لـأـنـ إـضـاءـةـ الـدـمـ أـوـ لـعـانـهـ تـعـكـسـ حـصـرـيـاـ سـرـعـةـ الـتـدـفـقـ وـلـاـ تـأـثـرـ بـاتـجـاهـ الـتـدـفـقـ.

كميات محدودة من وسط تباين في حالة تصوير الأوعية بالرنين المغناطيسي MRA ستزيد من كثافة الإشارة من الدم ولذلك ستحسن نسبة الإشارة للضوضاء SNR.

إن تجميع بيانات صور الأوعية ثلاثية الأبعاد باستخدام تشفيت التدفق في الاتجاهات المساحة الثلاثة من الممكن أن تأخذ وقتاً أكثر. التدفق السريع في الأوعية الكبيرة والدم شبه الراكد في الأوعية المتمددة والتشكل الخاطئ للوعاء الدموي لا يمكن وصفها بحساسية عالية في عملية قياس واحدة. تصوير الأوعية بتباين الطور، مثله مثل التقنيات الأخرى، يميل إلى التقدير القليل لأقطار الأوعية والتقدير الأعلى للتقلص.

تشتمل ميزات تقنيات تباين الطور على التقدير الكمي والمساحي لسرعات التدفق والاتجاهاته والقمع الجيد للإشارة من الأنسجة الثابتة. بالضبط الجيد للمعاملات، فإن تصوير الأوعية بتباين الطور يكون هو الأنسب لإظهار التدفق البطيء أو التدفق من خلال شريحة تصوير. لا توجد تقنية رنين مغناطيسي أخرى تحقق هذا النوع من المعلومات الكمية التي يمكن استنتاجها من التحليل الزمني للسرعة وشكل التدفق الذي يمكن الحصول عليه من تصوير الأوعية بتباين الطور لأطوار مختلفة للدورة القلبية.

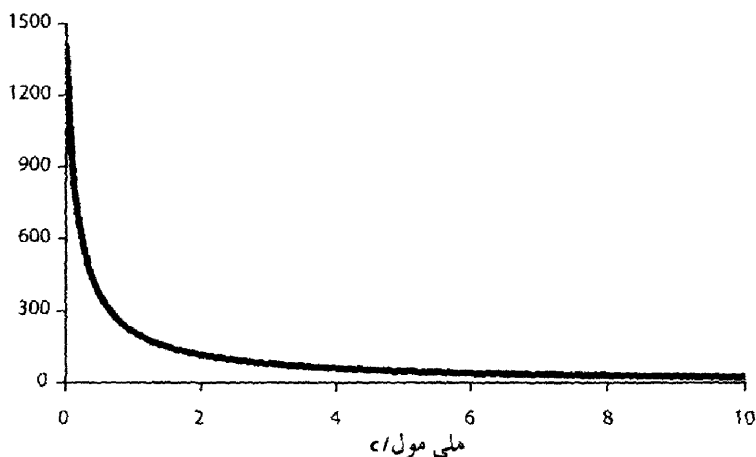
التباین المحسن لتصوير الأوعية بالرنين المغناطيسي

Contrast-enhanced MR angiography

يعطى الدم إشارة لامعة في صور الأوعية بالرنين المغناطيسي ذات التباين المحسن إذا كان زمن استقرارها الطولي تم تقصيره فعلياً عن طريق وسط تباين مناسب (الشكل رقم ٤٤). تصوير الأوعية بالرنين المغناطيسي المحسن ينشط الحصول السريع (في خلال ثوانٍ) على مجموعات البيانات ثلاثية الأبعاد بنسبة إشارة لضوضاء SNR عالية ومقدرة تحليلية في مدى المليمتر، وبذلك تسمح بتصوير مقاطع كبيرة من النظام الدموي في كل

مناطق الجسم. تصوير الأوعية بالتبابين المحسن تم تكوينه جيداً لتصوير معظم الأوعية في الجزء والأجزاء المحيطة ويستخدم أيضاً لتقدير الأوعية في الرأس والرقبة بالترابط مع تقنيات أخرى.

ملي ثانية/٢٠



شكل رقم (٤٤). تقدير الزمن الأول T_1 للدم عن طريق زيادة تركيز وسط التبabin. قيم تقريرية لوسط التبabin ذي استقرار مول ٤١ ملي مول. ثانية و زمن T_1 يساوي ١,٤ ثانية بدون وسط تبabin.

عامة، يتم حقن العامل المساعد للتبابين في صور الأوعية بالرنين المغناطيسي في وريدي في انحاء المرفق أو الكوع. العامل المساعد في تصوير الأوعية بالرنين المغناطيسي MRA يكون عبارة عن مركبات مغناطيسية تعتمد على عنصر الجادوليانيوم (الفصل الثاني عشر) والتي تكون مجهزة بجرعات ٥٠، ٣٠، ٥٠ ملي مول من الجادوليانيوم لكل كيلوجرام من وزن الجسم. في تصوير الشرايين حيث تكون إشارة الشرايين المطلوبة كبيرة وإشارة ضعيفة من الأوردة المطلوبة أيضاً، فإن الصور يجب قراءتها

عند المرور الأول لوسط التباين من خلال الشريانين. التحسين في إشارة الشريانين يقل بسرعة نتيجة زيادة الإشارة التالية في الأوردة والأنسجة المحيطة. فيما عدا المخ، يكون هناك انتشار سريع ل معظم أوساط التباين خلال حوائط الأوعية للسوائل خارج الخلايا. نافذة تصوير تقدر بثوانٍ قليلة تكون متاحة من أول دخول الوسط في الشريانين حتى وصوله إلى الأوردة. وهذا هو السبب في أن التزامن الصحيح وفترة المسح تكون أساسية في تصوير الأوعية الدموية. إن المسح النموذجي لا يأخذ أكثر من ٢٠ ثانية. هذه الأزمة الصغيرة للمسح تسمح بتصوير الأوعية في المنطقة الصدرية والأمامية أثناء توقف التنفس.

عند استخدام أزمنة مسح قصيرة جداً، يمكن تكرار تصوير أي منطقة في الجسم لتقدير توزيع نموذج وسط التباين بطريقة تحليل الزمن.

اختيار آخر هو لنقل مستوى المسح مع تقدم وسط التباين ليغطي منطقة أكبر من الجسم وذلك بعدة فراءات (وهو ما يسمى بالمطاردة متعددة المحطات). يتم ذلك باستخدام تقنية جدول تغذية آلي. هذه المجاميع من البيانات يتم عمل معالجة مبدئية لها إلكترونياً ويمكن ترابطها لتعطى صورة مركبة واحدة. تحت الظروف المثالية، تسمح هذه التقنية بمسح النظام الشرياني من الرأس للكاحل بعد حقن وسط تباين واحد. الأوساط التباينية المتاحة هذه الأيام يمكن تكرار حقنها في الفحص الواحد.

تصوير الأوعية بالتباین المحسن يتم إجراؤه بتتابعات انحدار الصدى GRE مع أزمنة تكرار TR قصيرة جداً (تقريباً من ١,٧ ملي ثانية) وزمن صدى TE قصير جداً (أقل من ٢ ملي ثانية). زوايا الانقلاب التي يمكن استخدامها تتراوح تقريباً من ١٥ درجة حتى ٥٠ درجة. التتابعات تشبه لحد كبير هذه التي تم استخدامها لتصوير الأوعية بزمن الطيران TOF ولكن مع تقليل ظاهر في أزمنة الصدى والتكرار. كنتيجة لذلك، سيكون هناك إخراج أكثر كفاءة للإشارة من المغازل الثابتة في حجم المسح. وعلى الجانب

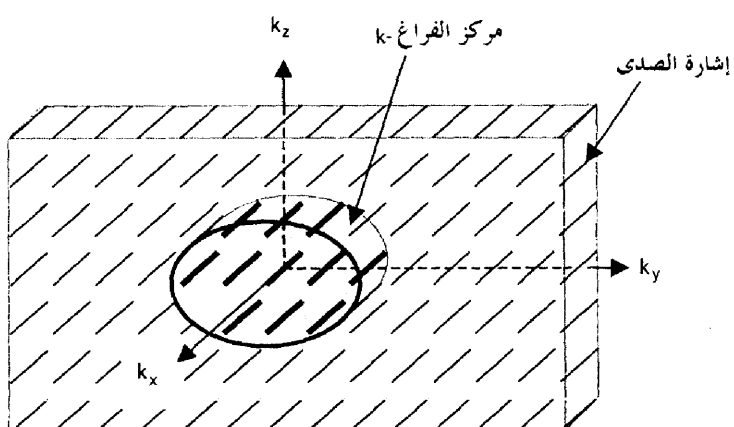
الآخر، فإن منطقة الدم يتم استعراضها سريعاً عند حضور تركيز مناسب من وسط التباين في المدى من ٥ ملي مول / لتر اعتماداً على العامل المساعد المستخدم). بهذه الطريقة، فإن الدم يعطي إشارة قوية ويظهر لاما بالرغم من نبضات إثارة الرadio RF المتكررة. يمكن تحسين التباين أكثر عن طريق ربط هذه التقنية مع تقنية تشبع الدهون.

زمن المسح يكون عاملاً خطيراً وحاسمًا وكل أنواع الحيل يتم تطبيقها لقصير زمن تجميع الصورة. معظم هذه التقنيات المتاحة تقلل من نسبة الإشارة للضوضاء SNR بذلك. هذه الطرق تضم:

- تقصير الصدى و زمن التكرار من خلال القراءة غير الكاملة للبيانات في اتجاه تشفير التردد (تصوير الصدى الجزئي، المقطع ٣، ٥).
- تقليل عدد تشفير الطور و/أو خطوات اختيار الشريحة من خلال القراءة غير الكاملة لتشفيير الطور وبيانات اختيار الشريحة (تصوير فوري الجزئي مقطع ٣، ٥). البيانات التي لم تقرأ إما أن تكمل اعتماداً على الترافق المتماثل للفраг k وإما أن تستكمل عن طريق تطبيق خوارزم زكي.
- تقليل أقل صدى وأ زمن التكرار من خلال عرض مجال أوسع للمستقبل.
- التصوير المتوازي (الفصل العاشر) باستخدام مصفوفة ملفات استقبال مناسبة تسمح للشخص بتقليل آخر في تشفير الطور و/أو خطوات اختيار الشريحة لاكتساب صور بمقدمة تحليلية محسنة في نفس وقت المسح.

وفوق ذلك فإن التقنيات الخاصة بتنظيم الفраг k يمكن استخدامها لاكتساب بيانات شريانية في أثناء التحسين المثالي للتباين. هذه التقنيات تعتمد على حقيقة أن كثافة الإشارة والتباين لأي صورة تتحدد بدرجة كبيرة بالبيانات التي في مركز الفраг

(المقطع ٣، ٥) (الشكل رقم ٤٥). كل بيانات الفراغ k المركزية يمكن اكتسابها عند بداية المسح عن طريق تطبيق زاوية ضحلة أو سطحية ودرجات في تشغيل الشريحة في البداية.أخذ العينات عند مركز الفراغ k بينما يكون وسط التباين مازال موجوداً في النظام الشرياني يسمح بالحصول على صور بتباين جيد وأقل تداخل وريدي. يتم تطبيق ذلك أيضاً بينما يتم ملء خطوط الفراغ k المحيطة بعد وصول كمية معقولة من وسط التباين إلى الأوردة. بهذا النوع من التنظيم المركزي للفراغ k ، يمكن الحصول على أ زمنة مسح أطول وجودة محسنة للصورة بدون تأثير التباين الشرياني. التنفيذ العملي لهذه التقنيات متاح تجاريًا ويعرف بـ CENTRA أو التنظيم المنحني للفراغ k .



(الشكل رقم ٤٥). رسم تخطيطي بين البيانات الخام للرنين المغناطيسي في الفراغ k بصورة ثلاثة الأبعاد. كل خط قطري يمثل إشارة صدى تم تسجيلها في خلال ١ أو ٢ ملي ثانية. تباين صورة الرنين المغناطيسي الناتجة يتحدد أساساً بالبيانات في مركز الفراغ k .

إنه من الأساسي تجميع الخطوط المركزية للفراغ k عندما يكون تركيز وسط التباین في الوعاء الدموي المستهدف أعلى ما يمكن. طرق عديدة متاحة للحصول على التزامن المثالي وهي:

- تقنية اختبار الكتلة الحجمية وهي طريقة يتعدد فيها زمن دوران المريض عن طريق قياس الزمن الذي يحتاجه وسط التباین ليمر من مكان الحقن إلى الوعاء الدموي المستهدف. للوصول لذلك، فإن كمية صغيرة من وسط التباین (١ إلى ٢ ملی مصحوبة بمحلول ملح) يتم حقنها ويتم تصوير المنطقة المستهدفة تكراراً باستخدام تتبع سريع، مثل تتبع انحدار الصدى GRE ثنائي الأبعاد موزون بالزمن الأول T1 الذي يجدد الصورة مرة في الثانية. الكتلة الحجمية يجب أن تكون كبيرة بما يكفي لتسبب تحسين الإشارة عندما تصل إلى الوعاء المستهدف ولكنها يجب ألا تحسن إشارة الخلفية في البيانات ثلاثة الأبعاد المكتسبة بعد ذلك. اعتماداً على معرفة زمن الدوران الذي يحدد بهذه الطريقة وطريقة تنظيم الفراغ k المستخدمة، فإن تتبع تصوير الأوعية ثلاثة الأبعاد يمكن تنسيقه بطريقة مثالية مع حقن وسط التباین.

- تقنيات القدر الآلي تعتمد على القياس المستمر لإشارة الأوعية الدموية في حجم اختباري قريب. يبدأ التتبع مع حقن الكتلة من وسط التباین، وبعدها يبدأ قدر التتابع ثلاثي الأبعاد آلياً باستخدام تأخير يتم التحكم فيه عن طريق مشغل بمجرد زيادة كثافة الإشارة في منطقة الاهتمام فوق حد تشبع محدد. عند تصوير الشرايين الكلوية، فإن حجم الاختبار يمكن وضعه في الأورطي البطني.

- بطريقة مماثلة، يمكن بدء الالكتساب ثلاثي الأبعاد يدوياً بمجرد أن يلاحظ المشغل وصول وسط التباین في حجم الاهتمام على الصور ثنائية الأبعاد سريعة التجديد. هذه الطريقة يطلق عليها أحياناً القدر الفلوروسكوبى.

تقنيات القدر الآلي أو اليدوي تحقق صوراً بتباين شرياني مثالي عند ربطها مع تقنيات تنظيم الفراغ k التي تأخذ عينات الخطوط المركزية أولاً. ولذلك، فهذه التقنيات تكون عرضة للقدر الخاطئ المبكر أو المتأخر لاكتساب البيانات. وفوق ذلك، تكون هناك حاجة لتعديلات سريعة للمريض إذا كانت هناك حاجة ضرورية للتصوير بوقف التنفس. تزامن الكتلة على الجانب الآخر يكون متوافقاً مع أي طريقة من طرق ملء الفراغ k.

يمكن الوصول أحياناً إلى قمع أفضل لإشارة الخلفيّة عند اكتساب مجموعة بيانات تصوير الأوعية مرتين بنفس المعاملات قبل وبعد حقن وسط التباين. الصورة غير المحسنة، والتي تسمى القناع، تطرح بعد ذلك من الصورة محسنة التباين. الصور الفرقية الناتجة تركز أو تظهر تغيرات الإشارة التي تحدث بعد إدارة وسط التباين.

أظهرت دراسات عديدة أن تصوير الأوعية بالتباين المحسن لها دقة علاجية عالية بالمقارنة بطرق التصوير العادي أو الأشكال العلاجية المرجعية الأخرى. معظم المشاكل التي تظهر في التطبيقات العلاجية تكون مصاحبة للتزامن الصحيح لعملية اكتساب البيانات بالمقارنة بحقن وسط التباين. ربما تكون المشاكل مجرد مشكلة تقنية في طبيعتها أو أنها نتيجة تغيرات أحاديث في أزمنة الدوران وتوزيع وسط التباين. التمدد في الأوعية أو التجويف الخاطئ أو التشكل الخاطئ للشريان أو الوريد قد لا يمكن ملاؤها بالكامل بوسط التباين عند زمن المسح حتى عندما يكون هناك تحسن معقول في باق النظام الشرياني. عند استخدام محطات عديدة من الكتل المتتابعة فإن الحصول على إشارة من وريد ساطع عند الإسقاط من صور الساق قد يجد من التتحقق من شجرة الشرايين. هذه مشكلة تحدث عادة مع مرضى السكر. التدفق العكسي لوسط التباين قد يعيق تشخيص الانسداد في الأوعية. على الرغم من ذلك، وكما في التقنيات الأخرى، فإن تصوير الأوعية بالتباين المحسن عادة يغالي بدلاً من أن يبعس التجويف. مع صور التحليل الزمني (مقطع ١, ٣, ١١)، فإن معظم المشاكل المصاحبة للتزامن الكتل المثالي

يمكن التغلب عليها. حقن وسط التباين يكون أقل تداخل، كما أن أوساط التباين في الرنين المغناطيسي تكون مصحوبة بمعدل قليل جداً من الأشياء العكسية أو المضادة وردد فعل الحساسية تكون نادرة (الفصل الثاني عشر).

تضم مميزات تصوير الأوعية في الرنين المغناطيسي بالتباین المحسن ما يلي:

- زمن مسح قصير.
- عرض ثلاثي الأبعاد لأحجام كبيرة في أي وضع.
- نسب إشارة لضوضاء SNR عالية وتباین أوعية جيد.
- عدم التعرض للإشعاعات مؤينة.
- وسط تباين بسماحة عالية.
- أقل تدخل لحقن وسط التباين.
- قوة وتحمل في الاستخدامات الروتينية في العيادات.

(١١, ١, ٢) تصوير الدم الأسود

تصوير الرنين المغناطيسي بالدم الأسود للأوعية الدموية هو عبارة عن تقنية تصوير للأوعية يتم فيها قمع لإشارة تدفق الدم بدلاً من تحسينها أو تحفيزها كما هو معروف في تصوير الأوعية كما في تقنيات زمن الطيران TOF. يتضح التأثير الأسود للدم من حقيقة أن الدم في مستوى المسح يتم استبداله بدم متجدد أثناء عملية المسح.

تابعات تصوير الأوعية بتقنية التصوير الأسود للدم مناسبة جداً لفحص جدار الأوعية والعضلة القلبية. إنها تعطي معلومات عن سماكة الجدار، ووجود مناطق ملتهبة في الجدار، وجود خثرات thrombi في الجدار. مما سبق، نجد أن تقنيات التصوير الأسود للأوعية تستخدم لتصوير الأوعية الكبيرة مثل الأورطى البطنى

وغرفات القلب أو الأوعية التي يسهل الوصول إليها مثل الشريان السباتي. مع ذلك، فإن التصوير الأسود للأوعية الدموية يظهر بوضوح الأوعية التاجية.

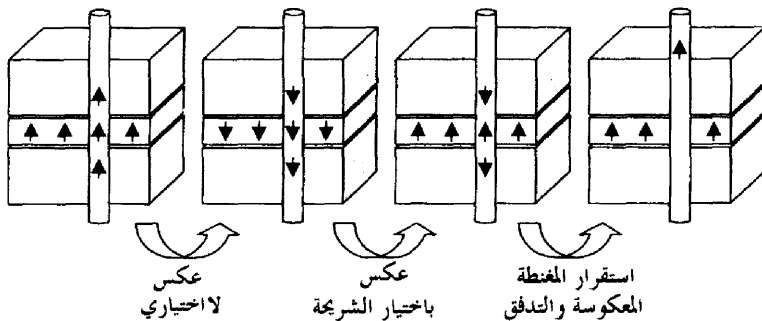
التأثيرات المختلفة للدم المتعدد المتدايق في مستوى المسح ترجع أساساً لحقيقة أن التصوير بزمن الطيران يتم تفيذه بتابعات صدى انحداري GRE بينما تتابعات الصدى المغزلي SE تستخدم مع تصوير الأوعية الأسود. الدم الذي يتم دوران مغنته إلى المستوى العمودي عن طريق نبضة إثارة ٩٠ درجة في تتابع الصدى المغزلي SE وبعد ذلك يترك الشرحمة قبل إعطاء نبضة التركيز ١٨٠ درجة لا يشع إشارة (المقطع ٧, ٢) حيث إن النبضتين يتم فصلهما بنصف زمن الصدى. بنفس الطريقة، لا يكون هناك إشارة من الدم الذي مازال خارج الشرحمة عند إعطاء النبضة RF ٩٠ درجة والذي يتدايق بعد ذلك إلى الشرحمة بين الإثارة والقراءة.

يمكن عمل قمع أكثر لإشارة الدم عن طريق العكس المزدوج للمغنة الطولية قبلأخذ عينات البيانات ببعض المثاث من الملي ثانية (استعادة العكس المزدوج، الشكل رقم ٤٦). في هذه الطريقة، يتم تطبيق نبضة ١٨٠ درجة غير اختيارية، يعقبها نبضة ١٨٠ درجة لاختيار الشرحمة وذلك للدوران الاختياري للمغنة خارج مستوى المسح فقط إلى الاتجاه z السالب. تستقر المغنة وتمر خلال الصفر قبل أن تنمو مرة أخرى في الاتجاه z الموجب. ثلاثة شروط يجب تحقيقها للقمع الجيد لإشارة الدم عن طريق استعادة العكس المزدوج:

- يجب أن يكون الدم خارج مستوى المسح في أثناء نبضتي العكس لكي يتم عكس المغنة الخاصة به.

- يجب أن يتدايق الدم في مستوى المسح بين العكس المزدوج وجمع الإشارة.

- مركز الفراغ k يجب تجميعه عندما يمر الدم المستقر المغнет ماراً خلال الصفر. الفترة الزمنية بين العكس المزدوج وبده تجميع البيانات يتم حسابها آلياً عن طريق برمجيات الماسح.



الشكل رقم (٤٦). رسم تخطيطي لتصوير الأوعية بالدم الأسود مع الاستعادة عن طريق العكس المزدوج. الأسهم السوداء تمثل المغناطة الطولية في وحدة الحجم المقابلة أو الفوكسل.

استعادة العكس المزدوج يمكن ربطها بنبضة عكس إضافية للدوران الاختياري للمغناطة الطولية للدهون إلى الاتجاه \pm السالب قبل المسح. لهذا سيحدث قمع إضافي للإشارة من الدهون كما في تتابعات STIR (المقطع ٥, ٧).

في وضع العيادات الروتيني، يتاح فقط التصوير ثنائي الأبعاد للأوعية بالدم الأسود. الإشارة من الدم المتدايق ببطء كما في هياكل الترابيكوليتر trabecular قرب جدار غرف القلب من الممكن أن يكون من الصعب قمعها. استخدام تتابعات الصدى المغزلي SE يجعل هذه الطريقة أبطأً إلى حد ما عن الطرق المعتمدة على تتابعات صدى الانحدار GRE. تصوير الأوعية بالدم الأسود هي تقنية تصوير للأوعية بالمعنى الحقيقي للكلمة حيث أنها أساساً تعرض جدران الأوعية بدلاً من الدم. الدقة التشخيصية لتصوير الأوعية بالدم الأسود لا تتأثر سلبياً بالتدفق الدوراني للدم وهذه الطريقة لها معدل أقل للنتائج الخطأ- السلبية عند تقييم أمراض التصلب الوعائي atherosclerotic lesions خاصة المرضى في المراحل المبكرة من المرض وقبل حدوث ضيق ظاهر في الوعاء.

(١١، ١، ٣) تصوير الرنين المغناطيسي للأوعية بالتحليل الزمني

Time Resolving MR Angiography

تستخدم عبارة تصوير الرنين المغناطيسي للأوعية الدموية بالتحليل الزمني للإشارة إلى الدراسة الديناميكية لتوزيع العامل المساعد للتباین في الجهاز الدوري. تقنياً، يتم ذلك عن طريق تصوير منطقة من الأوعية بسرعة وتكرارية بعد وضع جرعة واحدة من وسط التباین. الصور المنفردة للأوعية المأخوذة بهذه الطريقة تمثل مراحل مختلفة من التقدم في توزيع وسط التباین.

مثلاً، تصوير الرنين المغناطيسي بالتحليل الزمني يعرض المراحل المبكرة من تدفق وسط التباین، عندما يكون كل وسط التباین ما زال محصوراً في الشرايين، والأطوار اللاحقة للأوعية عند وجود وسط التباین في كل من الشرايين والأوردة. تصوير الأوعية بالتحليل الزمني يمكن أيضاً أن يشمل تقييم الحقن المتواصل للأعضاء، كما رأينا بالنسبة للكليتين.

عند التجديد السريع لصور الأوعية بالتحليل الزمني، فإن الأوردة والشرايين يمكن التمييز بينها سهولة حتى في أحوال التزامن الأقل مثالية لاكتساب البيانات. فوق ذلك، فإن هذه الطريقة تعرض التجويف الخطا في التشريح أو التحليل وتسهل تحديد التراجع في التدفق الداخلي لوسط التباین.

في النهاية، فإن معلومات التحليل الزمني تنشط التقييم التفصيلي للجهاز الدوري الذي به خطأ شكلي في الأوردة أو الشرايين أو ورم.

إن الاحتياج لزمن المسح يكون عالياً في حالة تصوير الأوعية بالتحليل الزمني، مقارنة بتقنيات تصوير الأوعية بتحسين التباین. إن تقليل زمن المسح يكون مطلباً أساسياً ولكنه يكون عادة على حساب المقدرة التحليلية على مساحة الصورة. الطرق المتاحة لقصير زمن المسح تكون خاصة بالتصوير الديناميكي من الطرق شائعة

الاستخدام وهي إعادة تشكيل مجموعات البيانات التي لا تحدد لها محيطات الفراغ k (تصوير التحليل الزمني للتباين الحركي، تصوير ثقب المفتاح TRICKS, time resolved imaging of contrast kinetics, keyhole imaging). في هذه الطريقة، فإن بيانات الفراغ k للمحيط من قياسات سابقة يتم ربطها مع بيانات الفراغ k المركزية k التي يتم تحديدها بصورة دورية. في الصور الناتجة، فإن البيانات من مركز الفراغ k تعكس آخر تغيير في كثافات الإشارة. الفراغ k ثلاثي الأبعاد المستخدم في هذه التقنية يتم تقسيمه إلى مساحات مختلفة حيث يتم تحديد معلومات الصورة في فترات زمنية مختلفة. يتم تحديد البيانات باستمرار، كلما كانت المساحة أقرب لمركز الفراغ k. عند ربط هذه التقنية ملء للفراغ k مع طرق تقليل زمن المسح التي شرحت سابقاً، فإنه يمكن كسب مجموعات بيانات ثلاثية الأبعاد في ثانية واحدة حتى ٦ ثوان، اعتماداً على الحجم الذي يتم تصويره والتحليلية المطلوبة.

إذا كانت هناك رغبة في اكتساب أسرع للصور، فإنه يمكن تنفيذ ذلك بتشغير الطور في اتجاه اختيار الشريحة. بهذه الطريقة، يمكن الحصول على صور ثنائية الأبعاد تمثل مساقط كثافات الإشارة خلال حجم المسح، مثل طرق التصوير بأشعة x العادية. اعتماداً على الموقف، يمكن تحديد الصور مرات عديدة في الثانية مع الاحتفاظ بتحليلية مساحية عالية.

(١١،٢) التصوير الموزون بالرش Perfusion Weight Imaging, PWI

تقنيات تصوير الرنين المغناطيسي التي تظهر تدفق الدم خلال الشعيرات الدموية لعضو من الأعضاء أو نسيج بكثافات مختلفة للإشارة تعرف بأنها تصوير موزون بالرش (perfusion weight imaging (PWI). التصوير الموزون بالرش يعطى معلومات مباشرة عن رش الأنسجة ، بصرف النظر عمّا إذا كان الدم مغذي من وعاء دموي رئيسي أو فرعى. التصوير بالرش يستخدم أساساً لتقدير تدفق الدم في المخ، وعضلة

القلب والرئتين، والكليتين. يقاس تدفق الدم داخلياً عن طريق ملاحظة التغيرات في الإشارة التي تحدث نتيجة افتقاء أثر مادة تدخل النسيج المستهدف. يمكن التفريق بين مواد الأثر الخارجية أو الداخلية.

من أمثلة مواد الأثر الخارجية هو الجادولينيوم gadolinium المستخدم في تحسين التباين في تصوير الأوعية. هذه المواد لها تأثير قوي على إشارة الأنسجة عندما تتدفق في العضو المستهدف بحيث تظهر فروق موضعية في الرش مباشرة عندما تظهر الصورة (تصوير المرور الأول).

الدم نفسه يمكن استخدامه كمادة أثر داخلية. لعمل ذلك، فإن المغذنة الطولية للدم في أي شريان مغذي يتم تشبيعها أو عكسها (تعليم أو توسيم مغازل الشريان arterial spin labeling, ASL). عندما يصل الدم المعلم إلى المنطقة المستهدفة قبل حدوث الاسترخاء التام في المغذنة، فإنه يحدث نقص في الإشارة. لأن النقص في الإشارة يحدث عن طريق تدفق الدم الداخلي يكون عادة صغيراً جداً للرؤية المباشرة، فإن التباين يمكن زيارته أو تأكيده عن طريق طرح الصور باستخدام مجموعتين من بيانات الصور التي تم الحصول عليها مع وبدون التشبع الأولى للدم المتدفق الداخلي.

إن إمداد عامل مساعد للتباين المغناطيسي خلال الأنسجة يحدث تقصيراً لحظياً لزمن الاسترخاء، والذي يمكن رؤيته كزيادة في الإشارة في الصور الموزونة بالزمن الأول T1 ونقص في الزمن الثاني T2 أو الصور الموزونة بالزمن الثاني T2. يستغل كل من التأثيرين بكثرة في التصوير بالرنين المغناطيسي.

التصوير المعتمد على رش وسط التباين للقلب، والرئتين، والكليتين يتم تنفيذه باستخدام تتابعات انحدار الصدى GRE موزونة بالزمن الأول T1. بالنسبة للتصوير بالرش للقلب، فإن التتابع يجب أن يتزامن مع الدورة القلبية ويعطي صورة واحدة على الأقل كل ضربة قلب تالية من مرحلة الدورة القلبية. التتابعات التي تعطى أكثر من صدى واحد لكل إثارة (التصوير المستوى ذو الصدى متعدد الإطلاق المقطع ٤,٨)

تكون مفضلة نتيجة قصر زمن المسح لها. التصوير بالرش للرئتين والكليتين يتم تنفيذه عادة باستخدام تتابعات انحدار الصدى GRE ثلاثة الأبعاد موزونة بالزمن الأول T1. تقييم وصول وسط التباين إلى المنطقة المستهدفة يمكن تكملته عن طريق ملاحظة معدل تدفق التباين الخارج من النسيج. طبيعى أن تترتب هذه الخطوة الإضافية في أزمنة المسح الطويلة.

يستخدم التصوير بالرش عامة مع التتابعات ذات الصدى المستوى الموزونة بالزمن الثاني T2 ثنائية أو ثلاثة الأبعاد التي تعرض مرور وسط التباين كقص لحظي في شدة الإشارة (تصوير الرنين المغناطيسي بتحسين التباين والقابلية الديناميكية). بهذه التتابعات، فإن معظم المخ يمكن تصويره مع اكتساب صورة جديدة تقريريا كل ثانية.

مثاليًا، يمكن تحديد تدفق الدم المطلق لكل وحدة زمن لكل فوكسل في المنطقة المستخدمة، مثلاً، بالمليمتر لكل ثانية والجرام من النسيج. بهذه الطريقة، يمكن تحديد مساحات صغيرة بمعدلات تدفق متخصصة بالنسبة لما يحيط بها وعلى ذلك يتم تشخيص الرش المخفض في عموم العضو. لسوء الحظ، فإن التكميم المطلق لتدفق الدم يكون صعبا بكل من الأثر الخارجي والداخلي على الرغم من أن العديد من الدراسات المشورة أظهرت قيم مطلقة. العديد من العوامل يجب أن تؤخذ في الاعتبار مع كل من التقنيتين والمراجعة لأشهر المؤلفات تظهر أنه مازال هناك عدم توافق على ما هي أنساب طريقة، على الأقل بالنسبة للطرق المعتمدة على وسط التباين.

مع هذه المشاكل في التكميم المطلق لتدفق الدم، فإنه تم افتراض عوامل مختلفة لتمييز تغيرات الإشارة وصفياً. العديد من هذه العوامل تم إيضاح أنه يمكن إعادة إنتاجها عندما تكرر عملية القياس. عوامل الرش المحددة عن طريق تحسين التباين الديناميكي لصور الرنين المغناطيسي تشتمل على الزمن لقمة إشارة التحسين، مقاسة من لحظة رؤية أول تغيير، أو تغير الإشارة على الزمن (ميل التحسين). على الرغم من أن هذه العوامل تسمح بتحليل كمي ولا تعتمد بدرجة كبيرة على الفاحص، فإنها

محدودة لأن النتائج تتغير مع تتابع النبضات المستخدمة ومع معاملات المسح الأخرى كذلك. وعلى ذلك، فإن هذه العوامل يجب معايرتها بعد كل تغيير في وضع التجربة ومن الصعب مقارنة النتائج بين مراحل الدراسة المختلفة.

مقارنة بالأنماط الأخرى المختلفة، فإن تقنيات التصوير بالرنين المغناطيسي بالرش، تتمتع بميزة عدم التدخل أو أقل تدخل في تدفق الدم في أي نسيج مع الاحتفاظ بتحليلية مساحة جيدة. التصوير بالرنين المغناطيسي لا يشمل التعرض لأي إشعاعات مع كونه سريعاً نسبياً. لذلك يمكن تكرار فحص المرضى، مثلاً، للاحظة علاج معين أو متابعة عملية. وفوق ذلك، قياسات الرش يمكن تنفيذها بالتوازي مع قياسات الرنين المغناطيسي الأخرى في نفس الوقت. أشكال البيانات الأخرى يمكن أن تتحقق أو توفر معلومات تشريحية أخرى أو تساعد في تمييز المناطق الخطرة ذات الرش الأقل من الأنسجة المقرحة أو ذات القرح أو المساحات ذات السدادات الحادة.

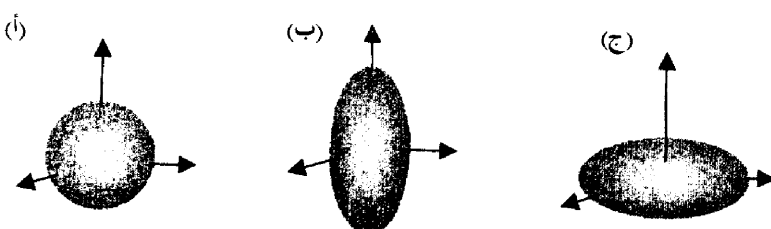
(١١,٣) التصوير الموزون بالانتشار Diffusion Weighted Imaging

التصوير الموزون بالانتشار DWI، Diffusion Weighted Imaging، يبين تغيرات شدة الإشارة الناتجة من حركة جزيئات الماء عن طريق الانتشار. بالتحديد، فإن إشارة أي نسيج حيوي أو سوائل الجسم تحدد بمسافة المتوسطة التي يتحركها جزيء الماء وجين لكل وحدة زمن أثناء الحركة الانتقالية الميكروسكوبية العشوائية. الفقد في الإشارة الناتج عن الحركة الجزيئية الانتقالية في صور الرنين المغناطيسي يزداد مع زيادة السرعة التي تحرك بها الجزيئات خلال تدرج المجال المغناطيسي. اتجاه ومقدار وزن الانتشار يمكن التحكم فيه عن طريق المشغل وذلك عن طريق تغيير اتجاه وشدة انحدار المجال المغناطيسي المطبق.

يمكن وصف حركة جزيئات الماء كميةً عن طريق ثابت الانتشار وفي العادة تتغير مع اتجاه الانتشار.

يحدث الانتشار الأيزوتروبي (موحد الخواص) عندما تكون المسافة المقطوعة بجزئيات الماء هي نفسها في كل الاتجاهات (الشكل رقم ٤٧). في أي وسط أيزوتروبي يكون تأثير حركة الجزيئات على صورة الرنين المغناطيسي الناتجة غير معتمد على اتجاه انحدار المجال. في الجسم البشري، يحدث الانتشار الأيزوتروبي في سوائل الجسم التي بها جزيئات ماء حرة الحركة تقريباً مثل سائل الوعاء الدماغي وفي البطينين أو سوائل البنكرياس. ثوابت الانتشار لهذه الأنسجة تكون عالية ومتساوية في جميع الاتجاهات. ينبع عن هذا اضمحلال قوي لإشارة الصور الموزونة بالانتشار.

في الأوساط التي تتعدد صفاتها عند المستوى микروسكوبى، يكون انتشار جزيئات الماء معتمداً على الاتجاه وتسمى هذه الظاهرة بتباين الخواص. في المخ، مثلاً، تنتشر جزيئات الماء في اتجاه المحاور العصبية المغطاة جيداً بال_myelin_ أسرع منها في الاتجاه العمودي على هذه المحاور. ثابت الانتشار يكون أعلى في اتجاه المحور الطولي للمحور العصبي عنه في المستوى العمودي على هذا المحور. يكون فقد الحادث في الإشارة نتيجة الانتشار أقل عندما يكون تدرج الانتشار مطبقاً في اتجاه عمودي على جسم الشعيرية وأكبر عندما يطبق في اتجاه المحور.

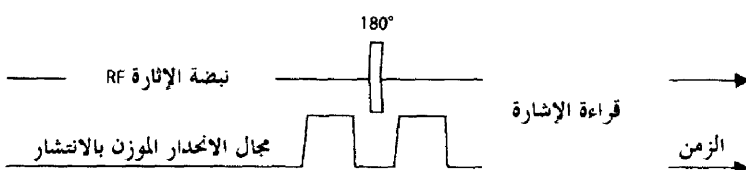


الشكل رقم (٤٧). منحني اتجاه الانتشار (أ) الأيزوتروبي (ب) الأنبوبي (ج) وسط طبقات

تظهر عيوب في الصور الموزونة بالانتشار بسبب الجلطة في خلال أول ٦ ساعات من ظهور الأعراض قبل أن يظهرها التصوير بالرنين المغناطيسي العادي مثل الصور الموزونة بالزمن الثاني T2. في المراحل الحادة، يكون فقدان الإشارة الناتج عن الانتشار أقل ظهوراً في المساحات المتأثرة وتشير هذه المساحات أكثر إضاءة بالمقارنة بمناطق المخ غير متأثرة. هذا التباين الموجب يفقد بالتدريج في خلال بعض الأيام وفي النهاية يصبح سالباً كنتيجة للحركة الكبيرة لجزيئات الماء.

يتم الحصول على الصور الموزونة بالانتشار باستخدام تقنيات الصدى المستوي للتصوير. يتم إعطاء زوج من نبضات الانحدار بين نسبة الإثارة وتجميع الإشارة لجعل التتابع حساساً للانتشار (الشكل رقم ٤٨). يختلف زوج النبضات هذه المرة عن الذي استخدم في تصوير الأوعية بتباين الطور في أن كلاً من النصفين لها نفس القطبية. ومع ذلك، فإن التأثير يكون مشابهاً جداً لنتيجة النسبة RF ١٨٠ درجة والتي يتم إعطاؤها بين نصفين النسبة. يتم نقل التغير في القطبية فقط لهذه المغازل التي تتحرك خلال تدرج المجال في أثناء تطبيق النبضات. كنتيجة لذلك، فإن المغازل التي في وحدة الحجم أو الفوكسل والتي تعرضت لإزاحات طوريه مختلفة لم تعد متزامنة أو متواقة ولذلك فإنها تتبع إشارة رنين مغناطيسي ضعيفة. يعتمد اضمحلال الإشارة على قوة وزمن بقاء نبضات التدرج، والفترقة بينها، وثبت الانتشار خلال اتجاه تدرج المجال.

إن كمية الانتشار الحادثة بناء على زوج من نبضات الانحدار مع نسبة عكس أو انقلاب بينهما تسمى بالقيمة - b أو b-value. هذا المعامل يحدد فقدان الإشارة المتوقع من تتابع نبضات معين مع ثابت انتشار معين.



الشكل رقم (٤٨). رسم تخطيطي للتتابع الموزون بالانتشار.

في الأنسجة البيولوجية يمكن قياس ثوابت الانتشار عن طريق المسح المتكرر مع قيم مختلفة للقيمة- b مع ثبات جميع معاملات التصوير الأخرى، وبالذات عدم تغيير اتجاه الانحدار. يتم التعبير عن ثوابت الانتشار المقاومة بمعاملات الانتشار الظاهرية apparent diffusion coefficient (ADC)، والتي تكون مميزة من ثابت للانتشار غير المعاق في الماء.

الصور التي تمثل قيم مستوى الرمادية فيها القيمة المتوسطة لمعاملات الانتشار الظاهرية ADCs للفوكسل المقابلة تسمى خرائط معاملات الانتشار الظاهرية ADC. أي مساحة بها انسداد حاد والتي تكون في الصور الموزونة بالانتشار (حركة قليلة لجزيئات الماء) ستظهر داكنة في خرائط معاملات الانتشار الظاهرية ADC المقابلة (ثابت انتشار أصغر).

ثوابت الانتشار للاحتجاهات المختلفة يمكن قياسها عن طريق تغيير اتجاه مجال الانحدار. مثل هذه القياسات توفر معلومات تفصيلية عن الشكل الهندسي المحلي للهيكل الميكروسكوبى الذي يعوق انتشار الماء. اعتماداً على قياسات ثوابت الانتشار في ستة اتجاهات مختارة، فإن الشكل الهندسى الكلى يمكن حسابه عن طريق الاستخدام الشكلي لمتجهات الأبعاد الثلاثية. هذه الطريقة من التصوير بالانتشار تعرف على أنها تصوير متوجه الانتشار (DTI diffusion tensor imaging). توفر هذه الطريقة قيمة تقريبية لمتوسط انتشار جزيئات الماء في كل الاتجاهات في منحني قد يختلف طول محاوره الأساسية الثلاثة في الطول عندما يكون هناك انتشار غير أيزوتropic (الشكل رقم ٤٧). يمكن الحصول على نموذج هندسى أكثر دقة للهيكل الذى تعوق الانتشار في أي فوكسل أو وحدة حجم عند قياس ثوابت انتشار إضافية في الاتجاهات الأخرى.

التصوير بمتجه الانتشار يستخدم أساساً فيما يسمى تتبع الشعيرات fiber tracking (التصوير بالتتابع tractography) في مادة المخ البيضاء. تستخدم المعلومات المجمعة باستخدام تصوير متوجه الانتشار DTI في تشكيل المجرى المساحي للشعيرات على مساحات أطول من الاتجاه النسبي وحجم منحني الانتشار في الفوكسلات المجاورة.

تكون الصور الموزونة بالانتشار حساسة جداً لكل أنواع الحركة. يشمل ذلك الدوران أو ارتعاش الرأس في التصوير المخي أو الحركة التنفسية في تصوير الجزء. إن هذا يبين أهمية قصر أزمنة المسح. الفتح السريع لنضجات الانحدار السريعة يتطلب ماسحاً رئيناً مغناطيسياً قوياً. عند جعل تتابع حساساً للانتشار في اتجاه معين فقط، فإن المساحات العادلة يمكن أن تظهر تبايناً موجياً خطأً إذا كان الاتجاه الغالب لمسار الشعيرية عمودياً على اتجاه الانتشار الذي تم اختياره مبدئياً. لذلك، يجب على متخصص قراءة الأشعة أن يأخذ في اعتباره معلومات عن الانتشار في ثلاثة اتجاهات متعددة، والتي يمكن الحصول عليها باستخدام مسحة واحدة.

إن زوج الانحدارات التي يتم تطبيقها لجعل التتابع حساساً لعملية الانتشار تضعف الإشارة فقط بالمقارنة بالصور التي يتم الحصول عليها بدون انحدار. الميكل التي لها إشارة قوية مثلـ CSF بالمقارنة بالصور غير الموزونة بالانتشار يمكن أن تظهر لامعاً على الصور التي لها وزن انتشاري يتراوح من خفيف إلى معتدل عندما يكون ثابت الانتشار لها عالياً. إن هذا التأثير يسمى بالمعنى الخلالي للزمن الثاني T2 ومن الممكن أن يكون من الصعب التفريق بينه وبين إعاقة الانتشار. وتكون قوة الإشارات محددة أساساً بالانتشار في الصور الموزونة بالانتشار بقوة فقط.

يعتبر التصوير الموزون بالانتشار مساحة للبحث المكثف لأنه يوفر معلومات وحيدة لا يمكن الحصول عليها من الطرق الأخرى أو فقط إلى امتداد محدود جداً.

(٤) تأثير التباين المعتمد على مستوى أوكسيجين الدم BOLD في التصوير الوظيفي

The BOLD Effect in Functional Cerebral Imaging

تصوير الرنين المغناطيسي الوظيفي FMRI للمخ يهدف لتحديد مساحات خالية تستجيب لتأثيرات خارجية محددة عن طريق تغيير في الإشارة (خرائط المخ). يتم الحصول على الصور الوظيفية باستخدام تقنيات الوزن بالزمن الثاني T2. إن الطرق

الكلاسيكية المستخدمة لإحداث استجابات عصبية تكون بصرية (مثل النظر إلى نماذج متغيرة) أو تأثيرات عصبية (مثل تابع محدد من حركات الأصابع). وهنالك بروتوكولات عديدة للتأثيرات العصبية وقراءة هذه التغيرات على صور الرنين المغناطيسي الوظيفي.

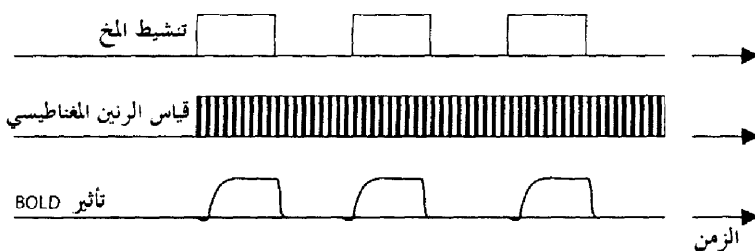
ويعتمد تصوير الرنين المغناطيسي الوظيفي على افتراض أن التأثير العصبي يزيد احتياجات الأوكسجين في مساحة معينة من المخ والتي تنشط بهذا التأثير. لتحقيق هذا الطلب الزائد، فإن الدم يتدفق في الشعيرات الدموية وحجم الدم في المنطقة النشطة يزداد عن طريق توسيع الأوعية الدموية. بناءً على ذلك، فإنه من المفترض أن يتم إمداد الأوكسجين الزائد للمنطقة النشطة لأن الدم المتدفق الزائد يزيد الاحتياج للتحول الغذائي في هذه المنطقة بعد فترة. النسبة العالية من جزيئات الهيموجلوبين المرتبطة بالأوكسجين تطيل الزمن T_2^* للماء المحيط، والتي يمكن ملاحظتها كزيادة في الإشارة في الصور الموزونة بالزمن T_2^* . هذه الآلة من التباين تعرف بالتباين المعتمد على مستوى الأوكسجين الدم blood oxygen level dependent (BOLD) contrast.

يعتمد معدل استقرار الزمن T_2^* للدم على ما إذا كان الهيموجلوبين مرتبطة بالأوكسجين أم لا. إن الهيموجلوبين غير المرتبط بالأوكسجين يكون قابلاً للمغناطية نتيجة عدم تزاوج الإلكترونات ويقلل الزمن T_2^* في الماء المحيط. على العكس، فإن الهيموجلوبين المرتبط بالأوكسجين يكون ضعيف المغناطية لأن جميع الإلكترونات تكون في صورة أزواج ويكون تأثيره مهملاً على أزمنة الاستقرار في الماء المحيط. وهذا يوضح كيف أن التشبع الزائد للأوكسجين يطيل الزمن T_2^* في ماء الدم.

بينما يعتمد التصوير البولد BOLD على محتوى الأوكسجين في الدم، فإن هناك تقنيات تصوير رنين مغناطيسي وظيفي تستفيد من ميزة التدفق العالي للدم أو زيادة حجم الدم في إظهار الشاط المخي.

يتم تنفيذ التصوير البولد BOLD باستخدام تتابعات انحدار الصدى وتصوير الصدى المستوي GRE EPI موزونة بالزمن T_2^* (المقطع ٨، ٥) والتي تسمح بمسح

المخ بالكامل في ثواني قليلة. لالتقاط التغيرات الضعيفة في الإشارة الناتجة من التنشيط، فإن كل الشرائح يتم تكرار تصويرها. يستمر التصوير لبعض الوقت مع التبديل بين دورات تشغيل وتوقيف (نموذج تصميم البلوك، الشكل رقم ٤٩). إن التعبير عن البيانات يتطلب طرقاً إحصائية متقدمة للربط بين تغيرات الإشارة على صور الرنين المغناطيسي مع النموذج المستهدف المعروض. بهذه الطريقة، يتم توليد خرائط تنشيط المخ حيث الفوكسولات التي تحدد على أن لديها نشاطاً حقيقياً نتيجة تطبيق مستوى تشيع إحصائي، يتم تلوينها. يتم إضافة خرائط النشاط النهائية على صور الرنين المغناطيسي ذات الشكل العادي التي توضح الميكل التشريحى بمقدرة تحديد عالية، حيث بذلك تسمح بالتحديد التام لمساحات المخ النشطة.



الشكل رقم (٤٩). نموذج رسم تخطيطي لتصوير المخ الوظيفي.

يزداد تباين البولد BOLD مع قوة المجال المغناطيسي لاسع الرنين المغناطيسي. إن الضوضاء المصاحبة لمسح الرنين المغناطيسي تجعل من الصعب إلى حد ما قياس تنشيط المخ عن طريق التأثير السمعي. علاوة على ذلك، فإن التقنيات القياسية للإثارة لها مقدرة تحديده محدودة في المجال الزمني لتسجيل التغيرات الفسيولوجية. لذلك، فإن

النهاج المتعلقة بفترات نشاط زمنية قصيرة أصبحت هي الأكثر شيوعاً. إن التحديد المساحي لتصوير البولد BOLD يكون محدوداً لأن المساحة التي يزداد دمها تشبعاً بالأوكسيجين من الممكن أن تكون أكبر بكثير من المنطقة التي تم تنشيطها حقيقة. في النهاية فإن الزمن $T2^*$ يتأثر بعوامل متضاربة عديدة عند المستوى الميكروسكوبى والتي يكون من الصعب فصلها. وهذا لا يوفر مقدار التغير في الإشاره الذي يتم ملاحظته قياساً كمياً للتغيرات الفسيولوجية الناتجة من الإثارة.

بينما هناك تركيز كبير ومركز على التصوير الوظيفي للرئتين المغناطيسي، فإنه يشغل حيزاً صغيراً جداً في التطبيقات العلاجية عند معظم مراكز التصوير بالأشعة. أكلينيكيأ، يستخدم تصوير البولد BOLD في التخطيط للتدخل الجراحي في عمليات الأعصاب. بالرغم من محدوديته، فإن تصوير البولد BOLD الوظيفي يعطي تقديرآ بدون أي تدخل وخلال من الإشعاعات للتغيرات الدقيقة في النشاط المخلى بتحديد مساحي في حدود ١ حتى ٢ مليمتر أو أحسن وتحديد زمني في حدود ١٠٠ ملي ثانية.

(١١،٥) التصوير القلبي Cardiac Imaging

تصوير القلب يختلف عن تصوير الأجزاء الأخرى في أن الحركة المستمرة للقلب تسبب ضبابية للصورة ومشاكل أخرى خلال تشفير اتجاه الطور في صور الرئتين المغناطيسي المكتسبة مع أزمنة مسح طويلة. مع أحدث الأجهزة المتاحة، مع ذلك، فإن زمن المسح لشريحة واحدة يمكن تقليله إلى الحد الذي عنده يمكن ملاحظة حركة القلب على تتابع من الصور في زمن قريب من الزمن الحقيقي وبدون تقليل في جودة الصورة بسبب المشاكل التي تحدث نتيجة لحركة القلب أو التنفس. معظم هذه المشاكل يمكن التخلص منها بفاعلية عندما يكون زمن المسح أقل من ٥٠ ملي ثانية أثناء الضغط الانقباضي وأقل من ٢٠٠ ملي ثانية أثناء الضغط الانبساطي.

تصوير القلب في الزمن الحقيقي يتم أساساً للتحديد السريع للقلب، والنظرية السريعة للمحاور الطويلة- والقصيرة- لاكتساب البيانات اللاحقة.

لتحسين التباين المساحي أو الزمني لتصوير القلب في الزمن الحقيقي، يتم الحصول على الصورة على مدى عدة ضربات قلبية (ما يسمى الاكتساب المقسم). إن هذا يكون ممكناً لأن حركة القلب تكون دورية في الأحوال العادية وعضلة القلب ستكون في نفس المكان عند نقط زمنية معينة خلال الدورات المختلفة. وللتتأكد من أن جميع البيانات لأي صورة يتم أخذ عيناتها في نفس الطور للدورة القلبية، فإن التصوير المقسم يجب ضبطه على معدل ضربات القلب لكل شخص. للوصول لذلك، فإنه يتم تسجيل رسم القلب الإلكتروني (ECG) وتستخدم البيانات عن طريق برمجية المسح لتحديد الموجة R في كل دورة قلبية. بيانات خطط القلب ECG يمكن استخدامها بطريقتين، إما لإطلاق اكتساب الرنين المغناطيسي لطور معين في الدورة القلبية (إطلاق قلبي، بوابة قلبية محتملة) وإما العرض الاستعادي المستمر للبيانات المكتسبة للأطوار القلبية المقابلة (بوابة قلب استعادية).

يكون زمن المسح لكل دورة قلبية أقصر عندما يتم اكتساب الصورة على عدة دورات، مما يتبع عنه تحسين في التحديد الزمني لحركة القلب. ومع ذلك، فإن زمن المسح الكلي لكل صورة يكون أطول وتنظهر تأثيرات حركة الجهاز التنفسى بصورة أطول بين المسحات.

هذه العوائق يمكن التغلب عليها بمسك التنفس أثناء التصوير. مثلاً، مع زمن تكرار TR مقداره ٥ ، ٣ ملي ثانية وجمع خطوة تشفيير طور واحدة لكل فترة R-R، فإن ١٤ خطوة تشفيير طور يمكن أخذ عيناتها في ٥ ملي ثانية. إذا أردنا الحصول على صورة بتحديد مقداره ٢٢٤ بكسل في اتجاه تشفيير الطور، فإن عملية الاكتساب يجب أن تقسم إلى $16 = 14 / 224$ نبضة قلب. على الرغم من ذلك، يمكن أن نجد بعض مرضى القلب لا يستطيعون توقف تنفسه لمدة ١٦ نبضة قلب.

بها أن الحركة التنفسية تكون هي الأخرى دورية، فإن اكتساب البيانات لا يمكن توزيعه فقط على عدة دورات قلبية ولكن أيضاً على عدة أنسفاس. يتم ذلك عن طريق ملاحظة الإيقاع التنفسى للمرضى. يتم التبادل بين المسح أحادى الأبعاد واكتساب الصورة لتحديد المدى الفاصل بين الحاجز الحاجز والرئتين خلال المحور الطولي للجسم. بهذه الطريقة، يمكن تحصيص بيانات الصورة للأطوار المختلفة في الدورة التنفسية (تقنية الاستكشاف). باستخدام تقنية المستكشف تصبح عملية المسح غير مقصورة على فترة وقف التنفس ولكن يمكن إجراؤها لمرضى يتتنفسون بحرية. تقنيات المستكشف تكون محدودة بالاكتساب غير الكفاءة أو غير الفعال وأ زمن المسح الطويلة. وفوق ذلك فإنها تعطى أحسن النتائج في حالة الأشخاص الأصحاء الذين لهم قلب منتظم النبضات والتنفس.

عندما تستخدم مرتبطة بالبوابات، فإن تقنيات تصوير الأوعية القلبية بالرنين المغناطيسي التي وضحت فيها سبق تسمح بالرؤية ثلاثية الأبعاد لكل غرف القلب التشريحية والأوعية الداخلية والخارجية منه، بدون التعرض لإشعاعات وبحساسية جيدة في الأحوال العامة. يمكن لذلك استخدام التصوير بالرنين المغناطيسي لفحص المتكرر للمرضى المشكوك في أن لديهم تشوهات خلقية، أو اعتلال عضلات القلب *cardiomyopathy*، أو صمام لا يعمل بكفاءة، أو اضطراب في غلاف القلب، ولمتابعة المرضى بعد جراحة تحويل، وملاحظة مرضى زرع القلب. أنواع عديدة من تتابعات النبضات وتعديلات في النبضات يتم استخدامها لتصوير الأوعية التاجية، وكلها لها عيوبها وعيوبها الخاصة بها. الميزة الأساسية في تصوير القلب بالرنين المغناطيسي توجد في التقييم المتكرر للشكل، والأداء، والضخ بدون التعرض لإشعاعات بالذات في حالة المرضى بالأوعية التاجية كما هو أيضاً في حالة التحديد الدقيق للمساحات المصابة. بعض التطبيقات المحددة سيتم شرحها فيما يلي.

٦) التصوير القلبي باستخدام تتابعات SSFP

Cardiac Imaging With SSFP Sequences

لقد أصبح التصوير الدقيق المستقر مركبة أساسية في بروتوكولات تصوير القلب بالرنين المغناطيسي. مع قصر زمن التكرار TR الخاص به (حوالي ٢ حتى ٥ ملي ثانية) بالمقارنة بتتابعات صدى الانحدار GRE الأخرى، فإن تتابع حالة الاستقرار الدفة الحرة SSFP (المقطع ٧، ٧) يعطي صوراً بإشارة دم أقوى. لذلك فإنه يمكن التصوير السريع للدم في الغرف القلبية بتباين جيد بالنسبة لعضلة القلب. هذا التباين الجيد يمكن الحصول عليه حتى في حالة التدفق القليل للدم في مستوى المسح وفي حالة أن تكون إشارة الدم غير محسنة من خلال تأثيرات التدفق الداخلي. هذه تكون ميزة بالذات عند الحصول على منظر طولي للبطين الأيسر.

يتم اكتساب التتابع وعرضه في نمط العرض مع تصوير كل شريحة أثناء الأطوار المختلفة للدورة القلبية. إذا افترضنا، كمثال، الاكتساب بزمن مسح مقداره ٥٠ ملي ثانية وأن معدل ضربات قلب المريض كان ٧٠ ضربة في الدقيقة، فإن حركة القلب يمكن الحصول عليها بتتابع ١٧ صورة من الأطوار المختلفة للدورة القلبية التي تم الحصول عليها في اكتساب واحد. عند اكتساب عدة شرائح بهذه الطريقة أثناء توقف التنفس في عدة فترات، فإن حركة القلب كله يمكن التتحقق منها كميّاً. حتى قمة القلب أو رأسه يمكن إظهارها بجودة عالية في منظر ومحاور طولية.

مجاميع البيانات المكتسبة يمكن استخدامها لتحديد الشكل العام والمعاملات الوظيفية مثل كتلة عضلة القلب، وجاء الإخراج لكل من البطينين، أو حجم الضربة. هذه المعاملات يمكن تحديدها مباشرة بدون الحاجة إلى عمل افتراضات هندسية مثل طرق النمذجة العاديّة. هناك مراقبة جيدة وإنذاجية لهذه النتائج.

بجانب تقدير المعاملات العامة ، فإن تلك الطريقة توفر معلومات عن معاملات الوظائف المنطقية أو الخاصة بكل منطقة مثل الحركة الجدارية المحلية أو التضخم أو

الزيادة في سمك عضلة القلب من الانقباض إلى الابساط. يمكن تشخيص الضخ المضطرب بدرجة عالية من الدقة إذا أظهرت منطقة من عضلة القلب حركة جدارية عادلة أثناء الاستقرار وتصبح هذه المنطقة من عضلة القلب زائدة الحركة بسبب الإجهاد الناتج عن تأثير دواء (الدوبيوتامين dobutamine).

يمكن الحصول على زيادة تحسين بسيطة في إشارة الدم في صور الـ SSFP عن طريق استخدام كميات معتدلة من عامل تحسين التباين.

صور الـ SSFP تقل جودتها بسبب عدم التجانس في المجال المغناطيسي الثابت، وبالذات المتصل بتأثيرات التدفق، وتردد الراديو RF غير المناسب. وبالرغم من ذلك، فإن المشاكل التقنية قد تم حلها إلى الحد الذي أصبح عنده الـ SSFP يمكن الاعتماد عليه بدرجة كبيرة في التطبيقات العلاجية الروتينية.

(١١,٧) تصوير ضخ عضلة القلب Myocardial Perfusion Imaging

ضخ عضلة القلب يمكن التحقق منه عند رؤية التحسن في صور الرنين المغناطيسي الموزونة بالزمن الأول T1 والتي يمكن الحصول عليها أثناء المرور الأول لوسط تباين في خلال نسيج العضلة. نموذجياً، يتم تجديد الصورة لكل ضربة قلب. يتم حقن وسط التباين وريدياً، بجرعات منخفضة في العادة عن المستخدمة في تصوير الأوعية. المناطق التي يقل الدم فيها يمكن تحديدها مباشرة عن طريق التأخير في التدفق الداخلي لوسط التباين و/ أو انخفاض في قوة الإشارة أثناء مرور وسط التباين. الفروق في عضلات القلب المتجاورة ذات التدفق العادي تكون بارزة عند رؤية الصور في تتابع سريع في حالة العرض. بهذه الطريقة، يمكن أيضاً تحديد الضخ المضطرب المحصور في طبقات عضلة القلب الداخلية، والتي يكون من الصعب تحديدها باستخدام طرق التشخيص المنافسة.

يتم التصوير أثناء تأثير الدواء المعطى (أدينوسين adenosine، ديبيرادمول dipyridamol) وأثناء مسك التنفس. المسح الحقيقي يأخذ أقل من دقيقة. المناطق ذات

الضخ المنخفض يمكن تفريقها إلى مساحات ذات حيوية وأخرى ليس بها حيوية عن طريق الربط بين تصوير الإجهاد مع قياسات الضخ عند الاستقرار أو عند التصوير المؤخر للتحسين (المقطع ١١، ٨).

التقنيات واسعة الاستخدام لتصوير عضلة القلب بالضخ هي صدى الانحدار GRE السريع وتصوير الصدى المستوي EPI المتعدد الإطلاق بالتوافق مع نبضة إعداد الراديو RF. نبضة الإعداد تكون إما نبضة تشبع ٩٠ درجة وإما نبضة عكس ١٨٠ درجة، تنتج على التوالي في تتبع استعادة التشبع أو تتبع استعادة عكس. يسمح الأخير بوزن أقوى للزمن الأول T1 بينما السابق يكون أكثر استقراراً حيث يكون أقل حساسية لمعدل ضربات القلب غير المنتظمة ويعطي نتائج أكثر إنتاجية. مع الضبط المثالي للمعاملات، والخيارات المتاحة في مساحات معينة، يمكن الآن اكتساب حوالي أربع شرائح لكل ضربة قلب أو ثهابي شرائح لكل ضربتي قلب.

لأغراض التحليل الكمي، فإن المسار الزمني لتركيز وسط التباين في عضلة القلب يتم ربطه بالمسار الزمني للتراكيز في الدم في الشرايين المغذية. حيث إن المسار لا يمكن قياسه مباشرة في كل فوكسل، فإنه يتم استخدام التقرير لتحديد المسار في الدم في البطين الأيسر. هذه التقنية للتحليل الكمي يصاحبها عدد من المشاكل: التحسينات المختلفة للإشارة في عضلة القلب والدم، وتأثير غير واضح للتبدل الماء خلال الخلايا وجدران الشعيرات، والعبور البطيء غير المعروف لوسط التباين من غشاء الشعيرات الدموية، وفروق في الإشارة نتيجة تغيرات موضعية في حساسية ملف الاستقبال، والتحسين في الإشارة غير المحدد والناتج من الحركة النفسية للهيكل التشريحية في مستوى التصوير. هناك اختيارات عديدة للتعامل مع هذه المشاكل.

على الرغم من هذه المشاكل، فإن نتائج التقارير المطبوعة تعتقد أن البيانات المجمعة بهذه التقنية لا تعتمد بدرجة كبيرة على الفاصل ولها دقة تشخيصية عالية بالمقارنة بالطرق المرجعية الأخرى.

(١١،٨) تصوير التحسين المتأخر Late Enhancement Imaging

في التحسين المتأخر، يتم أخذ الصور بعد إدارة عامل التباين في تصوير الأوعية بحوالي ١٠ حتى ٢٠ دقيقة، والإشارة اللامعة تدل على مساحة في العضلة القلبية ذات تراكم متزايد للتباین بالنسبة للعضلة القلبية المحيطة. بهذه الطريقة فإن كلاً من الأنسجة حادة الانسداد أو المقرحة بعد سداد قديم يمكن تصويرها بتحديد مساحي دقيق (اللامع يكون ميتاً). تراكم وسط التباين في هذه المساحات يكون مرجعه للأحجام الكبيرة خارج الأوعية وخارج الخلايا و/أو التخلص منه. الدراسات القائمة حتى الآن تعتقد أن التحسين المتأخر للصور تسمح بالتحديد الدقيق لحجم المساحة المسدودة.

التحسين المتأخر ليس سمة خاصة بانسداد العضلة القلبية. يمكن أيضاً ملاحظة تحسين مشابه في الإشارة في مناطق من عضلة القلب تكون متأثرة بأمراض قلب أخرى. بينما يكون التحسين المصاحب للانسداد مخصوصاً على مناطق جانبية من عضلة القلب التي تكون متعلقة بامتداد الجدار في العديد من الأحوال، فإن التحسين المتأخر المرئي في الإعاقات الأخرى من الممكن أن يكون مخصوصاً في الطبقة المتوسطة للجدار.

وعلى الرغم من ذلك، فإن المساحات فقيرة الضخ، وغير الحية من الممكن لا تظهر تحسيناً في التباين نتيجة فشل وسط التباين للدخول لهذه المساحات عند وقت اكتساب الصور. يطبق ذلك خاصة على الصور التي يتم الحصول عليها في خلال الدقائق الأولى من إدارة وسط التباين. قد يغيب التحسين في الانسدادات الكبيرة حيث يظهر المركز داكناً بينما المساحات المحيطة تكون لامعة. في بعض التقارير المنشورة، يتم وصف هذه الظاهرة بالعبارة "إعاقة الأوعية الدقيقة". لقد تم توضيح أن إعاقات الأوعية الدقيقة غير المتغيرة والمستمرة لعدة أيام تكون مصحوبة بتكهن أو تنبؤ ضعيف للغاية.

يتم اكتساب صور التحسين المتأخر بتتابعات صدى الانحدار GRE ذات انعكاس مسترد. زمن الاسترداد بين نبضة الراديوا RF العاكسة واكتساب البيانات (زمن العكس الأول T1) يتم اختياره بحيث تمر مغنته عضلات القلب الصحيحة خلال الصفر عند ملء خطوط مركز الفراغ k ، بحيث ترك الأنسجة العادية داكنة على الصور الناتجة. إذا أخذ

المسح عدة دقائق، فإنه قد يكون من الضروري إعادة ضبط الزمن الأول T1 إلى تركيز وسط التباين المتغير. تصوير التحسين المتأخر يمكن إجراؤه مع التتابعات ثنائية وثلاثية الأبعاد.

بينما يكون التفريق بين النسيج المسدود والصحيح في العادة بسيطاً، فإن التفارق بين الانسدادات في أوعية القلب والدم في البطين الأيسر من الممكن أن يكون صعباً ويحتاج لمسحات إضافية، مثلاً بقيم مختلفة للزمن الأول T1.

إنه من المقترن أن يكون التصوير بالتحسين المتأخر هو الطريقة ذات الاختيار الأول لتوضيح انسدادات عضلة القلب وتقدير امتدادها.

١١،٩) تحديد الزيادة في تركيز الحديد في عضلة القلب

Detection of Increased Myocardial Iron Concentration

يبدو أن التصوير بالرنين المغناطيسي ستكون لديه القدرة ليعتمد عليه في تحديد تركيزات الحديد العالية في عضلة القلب على أساس تأثيرهم في تقصير الزمن T2* عند استخدام بروتوكولات محددة بدقة لاكتساب البيانات وتحليلها. مثل هذه البروتوكولات تحتوي على شرائح قصيرة المحور خلال الجزء المركزي للبطين الأيسر الذي يتم الحصول عليه تكرارياً بأزمنة صدى مختلفة باستخدام اتحدار الصدى GRE. الفقد الملاحظ في الإشارة مع زيادة أزمنة الصدى يسمح بحساب ثابت الاستقرار للزمن T2* في منطقة الاهتمام الموجودة في الحاجز. النتائج الأولية التي يتم الحصول عليها في مرضى الثالاسيميا thalassemia تقترح أن القصر في الزمن T2* يتوقع انخفاضاً في وظيفة القلب فقط عندما تنخفض القيمة تحت مستوى تشبع معين. التشبع المحدد يكون حوالي ٢٠ ملي ثانية عند ٥ ، ١ تسلا بالمقارنة بقيمة متوسطة مقدارها ٥٢ ملي ثانية في الأشخاص الأصحاء. قياسات أزمنة الاستقرار T2* يمكن أن تحقق كذلك قواعد لتحديد هؤلاء المرضى الذين يمكنهم الاستفادة من علاج الحديد المتخالب iron-chelating المكثف وبذلك يمكن توفير الشبؤات الفقيرة المصاحبة للقصور في وظيفة القلب.

الفصل الثاني عشر

العوامل المساعدة للتباين في الرنين المغناطيسي

MR Contrast Agents

JOHANNES M. FROEHLICH

إن تباين الصورة في تصوير الرنين المغناطيسي الطبي ينبع من الفروق في شدة الإشارة بين نسيجتين ويتحدد بعوامل ضمنية أو جوهرية وأخرى عارضة أو غير جوهرية. وهذه على التوالي خواص للأنسجة المختلفة وخواص لماسح الرنين المغناطيسي، وبالذات في تتابع النبضات المستخدم.

أوساط التباين للرنين المغناطيسي هي مستحضرات صيدلانية تستخدم في تصوير الرنين المغناطيسي لزيادة تحسين التباين الطبيعي وبالإضافة لذلك للحصول على معلومات ديناميكية (حركية الدواء pharmacokinetic). للوصول لهذا الهدف، فإن أوساط التباين المستخدمة للتصوير بالرنين المغناطيسي يجب أن تكون لها خواص طبيعية وكميائية معينة وأيضاً إطار حركي دوائي مناسب.

أوساط التباين في الرنين المغناطيسي تغير أساساً في خواص التباين للأنسجة الحيوية بطريقتين:

- مباشرة عن طريق تغيير كثافة البروتونات للنسيج

- أو غير مباشرة عن طريق تغيير المجال المغناطيسي الموضعي أو الخواص الرنينية للنسيج ومن ثم قيم الزمن الأول T1 و/أو الزمن الثاني T2 الخاصة به.

تتغير شدة المجال المغناطيسي الموضعي لأن الإلكترونات المغزلية المنفردة في وسط التباين تتفاعل مع نوى الهيدروجين المحيط في الماء، والدهون، أو جزيئات البروتين في

النسيج. لذلك، فإن آلية التفاعل في وسط تبادل الرنين المغناطيسي تشمل على عمليات على الغلاف الإلكتروني الخارجي وليس فقط العمليات على مستوى النوى، كما يفعل تأثير الرنين المغناطيسي. العزوم المغناطيسية للإلكترونات تكون أكبر بـ ٦٥٧ مرة من هذه التي في البروتونات. وهذا هو السبب في لماذا يكون غلاف الإلكترونات له خواص مغناطيسية أكثر بكثير من نوى الميدروجين.

التفاعلات التي تحدث بين إلكترونات وسط التبادل وبروتونات الأنسجة تشمل على "استرخاء الكرة الداخلية inner sphere relaxation" (من خلال التفاعل مع الماء المحصور) و"استرخاء الكرة الخارجية outer sphere relaxation" (مثلاً الناشئ من انتشار الماء القريب). كل من الطريقتين تشارك بصفة أساسية في التأثير الكلي لوسط تبادل الرنين المغناطيسي.

قبل أن نسترسل في شرحنا لأوساط التبادل، بعض المصطلحات الفنية يجب توضيحها:

- للمواد البارا مغناطيسية paramagnetic لها عزم مغناطيسي (ناتج من مغازل فردية) لأنها تتكون من ذرات أو جزيئات لها عزم مغناطيسي نتيجة وجود مدارات إلكترونية منفردة في الغلاف الإلكتروني الخارجي أو نوى منفردة في نواة الذرة. عندما تتعرض هذه المواد لمجال مغناطيسي خارجي، فإن معظم العزوم المغناطيسية تتحاذى مع اتجاه المجال المغناطيسي بحيث تجتمع هذه العزوم المغناطيسية مع بعضها، مما يتبع عنه زيادة موضعية في المجال المغناطيسي (تماماً مثلما مع البروتونات). وفي حالة عدم وجود مجال مغناطيسي، فإن العزوم المغناطيسية تحدث في نماذج عشوائية ولا يكون هناك مغناطة تامة. معظم الأيونات المعدنية المذابة (بما في ذلك الحديد في الدم) وأيضاً الشقوق (الجذور) المستقرة تكون كلها مواد بارا مغناطيسية لأنها تحتوي على إلكترونات منفردة. من أمثلة ذلك Co^{2+} , Co^{3+} , Fe^{2+} ,

ما سبق)، فإن المواد التي لها إلكترونات منفردة تكون مفضلة كوسط تباين للرنين المغناطيسي. معظم أوساط التباين المستخدمة للرنين المغناطيسي تكون أيونات مركبات معدنية (الجادوليinium، gadolinium، المنجنيز manganese، والحديد iron).

- للمواد فائقة البارامغناطيسية superparamagnetic خواص مغناطيسية قوية. يتبع عزمها المغناطيسي المتزايد جداً (١٠ إلى ١٠٠ مرة) من ترتيب الأيونات البارامغناطيسية paramagnetic في الشبكة البلورية الصلبة، والتي تزيد من حركة إلكتروناتها المحاطة (مثلاً، أكسيد الحديد في صورة دقائق فائقة البارامغناطيسية بحجم النانو). إن أوساط التباين فائقة البارامغناطيسية تكون مواد صلبة وليس لها تأثير فقط على الزمن الأول T1 والزمن الثاني T2 ولكنها أيضاً تشهو بقوة المجال المغناطيسي (القابلية المغناطيسية).

- تتكون المواد الفرومغناطيسية ferromagnetic أيضاً من مجموعات كبيرة من الذرات التي تتشابك بقوة إلكتروناتها المنفردة عن طريق تبادل الأزدوج (الحالة الصلبة). تحفظ هذه المواد بال מגناطة حتى بعد إزالة المجال المغناطيسي الخارجي ومن ثم تصبح مغناطيساً مستديماً. أفضل مثال معروف هو الحديد (Fe).

وعلى ذلك فإن معظم المواد دايا مغناطيسية diamagnetic (بالتحديد، الديايا مغناطيسية تكون موجودة مع صور أخرى من الخواص المغناطيسية في هذه المواد). عند وضع المواد الديايا مغناطيسية في مجال مغناطيسي خارجي فإنها تكتسب مغناطة عامة ضعيفة جداً في الاتجاه المعاكس (Z-)، وهذا في الغالب بسبب أن الحركة المدارية لمعظم الإلكترونات تكون عكس عقارب الساعة.

كيف يعمل التصوير بالرنين المغناطيسي؟

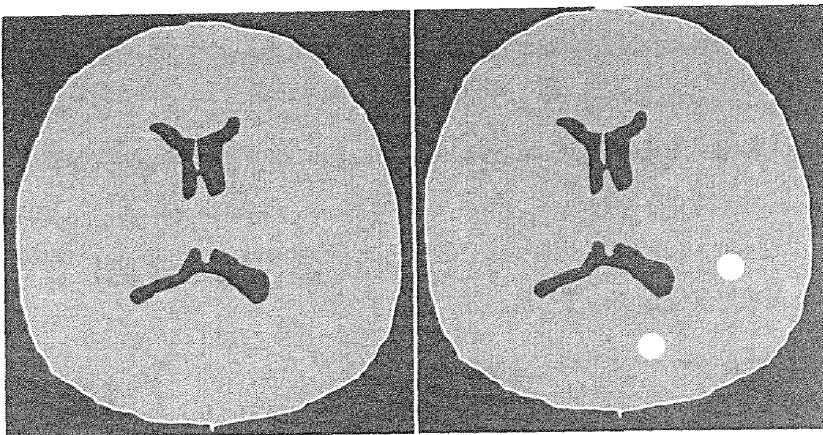
الآن يمكننا أن نسأل كيف يغير وسط التباين إشارة الرنين المغناطيسي وبذلك يحسن التباين في الصورة الناتجة.

على العكس من أوساط التباين في التصوير بالراديو، والتي يتم رؤيتها مباشرة، على صور أشعة X، فإن وسط تباين التصوير بالرنين المغناطيسي، مثل مركب الجادولينيوم، يؤثر بطريقة غير مباشرة عن طريق تغيير خواص الاسترخاء لبروتونات الهيدروجين المحيطة. في المثال الموضح في (الشكل رقم ٥٠) فإن الصورة المأخوذة بعد حقن مركب الجادولينيوم (يمين) توضح جرحين لم يمكن رؤيتهما في الصورة المكتسبة قبل استخدام وسط التباين (اليسار). وللحصول على هذا التأثير، فإن وسط التباين لا بد أن يكون له خاصيتان: أولاً، لا بد أن يتشرّر خلال حاجز الدم - المخ، وثانياً، يجب أن يكون قادراً على التفاعل مع البروتونات الموضعية (ومن ثم ينقص من الزمن الأول T_1 الخاص بهم).

العوامل المساعدة للتباهي في التصوير بالرنين المغناطيسي يمكنها أن تغير صور الرنين المغناطيسي في واحدة من أربع طرق.

تغيير كثافة البروتونات أو المغازل **Changing Spin or Proton Density**

إن وجود وسط التباين يؤثر على كمية البروتونات الموجودة في وحدة الحجم أو الفوكسل. معظم هذه العوامل المساعدة تقلل من هذا العدد (مثلاً، مركبات شبيه الفريون freon مثل بروميد بيرفلورو أوكتيل [PFOB] perfluoro-octyl bromide وكبريتات الباريوم، والمستحلبات الدهنية). إن نقص كثافة البروتونات الموضعية يكون مصحوباً بضعف في الإشارة، مثلاً بعد استخدام أو حقن معلق كبريتات الباريوم.



الشكل رقم (٥٠). رسم تخطيطي لـ CNC في وضع مستعرض. صورة رنين مغناطيسي قبل استعمال وسط تباين (اليسار) وبعد الحقن بـ ١٠ mmol Gd/kg من وزن الجسم (اليمين). نلاحظ وجود جرحين في الصورة التي تم تحسين تباينها. الزيادة في الإشارة تنتج من تقصير موضعي في الزمن الأول T1 والتوزيع الخارجي لوسط التباين في المنطقتين.

قصير زمن الاسترخاء الأول T1 والثاني T2 (الأعظم أهمية)

Shortening T1 and T2 Relaxation times (Most important)

وسط التباين للتصوير بالرنين المغناطيسي يمكن التفكير فيه على أنه محفز يعدل من استقرار البروتونات المجاورة عن طريق سحب الطاقة الزائدة (في الوزن بالزمن الأول T1) التي امتصتها البروتونات مسبقاً من نبضة الإثارة (تفاعل شبكة الغزل). الاستعادة السريعة للمغفطة الطولية ينتج عنها إشارة رنين مغناطيسي قوية. العامل المحفز الذي يحسن الإشارة يسمى وسط تباين موجب. بالإضافة لذلك، فإن العزوم المغناطيسي للإلكترونات المنفردة تغير من شدة المجال المغناطيسي الموضعي، مما ينتج عنه تسريع لاستعادة الطور نتيجة تأثيرات المغزل للأخر وتحسين الاستقرار للزمن

الثاني T2. إن التركيزات العالية لوسط التباين، مثلاً في الأنوب البولي الأسفل، ينتج عنه عدم تجانس موضعي في المجال وقصير للزمن الثاني T2، والذي يتم ملاحظته كفقد في الإشارة خاصة في الصور الموزونة بالزمن الثاني T2.

الدلالة على الاستقرار السريع يمكن توضيحها بجاء عن طريق مقارنة أزمنة الاستقرار في أوساط مختلفة:

- الاستقرار التلقائي في الفضاء: ١٠١٦ سنة،

- الاستقرار في محلول مائي: حوالي ١ ثانية،

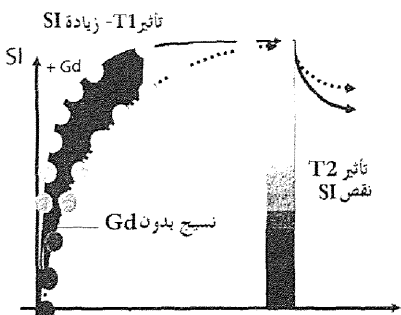
- الاستقرار في وسط تباين مائي: بعض ملي ثواني.

الأنسجة المريضة التي تأخذ وسط التباين تظهر تغيراً في الإشارة (إشارة أعلى تماماً في الصور الموزونة بالزمن الأول T1 وإشارة أقل في الصور الموزونة بالزمن الثاني T2 عندما يكون تركيز وسط التباين عال) بينما تبقى الأنسجة الطبيعية والتي لا تحتوي على وسط التباين غير متأثرة. للإظهار المثالى للتأثيرات الناتجة عن دخول العامل المساعد إلى المناطق المريضة، يكون من الضروري ضبط معاملات التصوير، وبالذات الوزن (مثلاً، باستمرار الوزن بالزمن الأول T1 وزمن تكرار TR قصير عندما يعمل مركب الد (Gd) (الشكل رقم ٥). الأعضاء من هذا النوع المستخدمة في تصوير الرئتين المغناطيسي الإكلينيكي هي المركبات المعتمدة على الجادولينيوم، ومركبات المنجنيز، ومحاليل الحديد.

الاستعادة الأسرع للتطور خلال عدم تجانس المجال الموضعي (تأثيرات القابلية) Faster dephasing through local field in homogeneities (susceptibility effects)

ما يسمى بتأثيرات T2* يمكن رؤيتها باستمرار في الصور الموزونة بالزمن الثاني T2. عدم التجانس في المجال الموضعي الذي سببه العزم المغناطيسي العالي لوسط التباين يتعجل من استعادة الطور للبروتونات لما بعد الأضمحلال الذاتي الحر FID العادي

ولذلك فإنه يقصر الزمن الثاني T2 أيضاً. هذه الظاهرة تسمى القابلية المغناطيسية وتحدث باستمرار في وجود شدة مجال موضعية قوية أو عند الأسطح البينية ويمكنها أن تسبب مشاكل. تكون القابلية ظاهرة فقد ظاهر في الإشارة يرى بوضوح في الصور الموزونة بالزمن الثاني T2. العوامل المساعدة التي تنتج فقداً في الإشارة يطلق عليها أوساط تبادل سالبة. من أمثلتها دقائق أكسيد الحديد فائق البارا مغناطيسية بحجم النانو (SPIO) التي يتم أخذها عن طريق نظام الجهاز الشبكي البطاني (RES) reticuloendothelial (RES) لأنسجة الكبد الطبيعية ويمكن لذلك أن يخدم كوسط تبادل خاص بالكبد بمحمد اختيارياً الإشارة من الكبد الطبيعي.



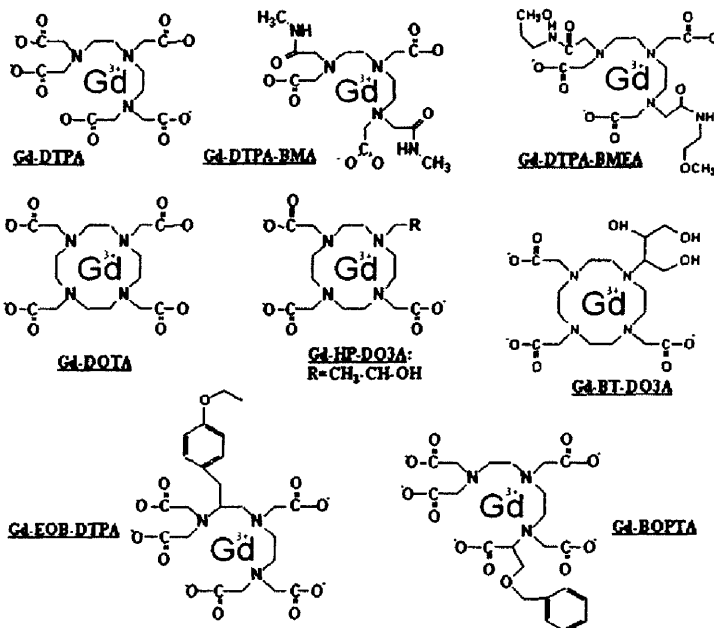
الشكل رقم (٥١). منحنى استقرار الزمن من التسبيح مع وبدونأخذ Gd. تأثير التقصير في الزمن الأول T_1 والزيادة في شدة الإشارة SI تكون عابرة (المساحة السوداء). الزيادة في الإشارة يمكن ملاحظتها في الصور المزرونة بالزمن الأول T_1 وزمن تكرار TR قصير. عند استخدام زمن تكرار TR أطول لن يكون هناك زيادة في شدة الإشارة (إلا كنتيجة لزيادة تأثير الزمن الثاني T_2 والذي يحدث في وجود تركيزات عالية من وسط التباين).

إزاحة تردد الرنين (Dysprosium) Shifting the Resonance Frequency (Dysprosium)

الآلية الأخرى للحدوث هي إزاحة تردد الرنين بعدة مئات من أجزاء في المليون ppm. هذا التأثير يعادل الإزاحة الكيميائية ويضعف إشارة البروتونات المقاسة. من المعروف أن المركبات المعتمدة على إزاحة تردد الرنين لها هذا التأثير ولكنها فعلياً ليس لها دور في التصوير الطبي بالرنين المغناطيسي.

١٢) التركيب الكيميائي Chemical Structure

معظم المواد البارا مغناطيسية التي يمكن استخدامها كوسط تبادن تكون أيونات معدنية سامة ولها توزيع غير مرغوب فيه في الجسم. وهذا مطبق خاصة للجادولينيوم، والذي يتبع مجموعة الالثانيد من عناصر الأرض النادرة. هذه العناصر لا يتم إدخالها للجسم في حالتها الأصلية ولكن فقط بعد أن تصبح متخلبة إلى مرتبط أو ليجند. يجب أن تكون هذه المرتبطات المستخدمة في التراكب قوية وذات ألفة (أو صلة) خاصة للمكون النشط (DTPA, DOTA, DTPA-BMA, HP-DO3A, BT-DO3A, BOPTA) (الشكل رقم ٥٢). على أية حال، كما أن ترابط المترابك يكون عملية عكسية (تفاعل اتزان بين الصور الحرة والمرتبطة)، فإن جزءاً صغيراً من الذرة المركزية (في الغالب Gd) يمكن أن ينطلق من المركب. وتعتمد هذه الكمية المنطلقة على الأسس الميدروجيني pH، والحرارة، ووجود مواد تنافسية (كمثال أيونات المعادن الأخرى مثل Cu^{2+} , Ca^{2+} , Zn^{2+} , $\text{Fe}^{2/3+}$) أو بروتونات حمضية في المعدة) ولكنها تكون صغيرة بحيث لا يحدث تأثير سام ملموس. كحماية إضافية، فإن معظم أو ساط التباين المتاحة تجاريًا تحتوي على كميات زائدة من المركبات الحرة (تماماً مركبات Na/Ca) والتي تتعرض فوراً أي أيونات جادولينيوم يتم تحريرها.



الشكل رقم (٥٢). التركيب الكيميائي للمركيبات المعتمدة على الجادولينيوم (التركيب الخطبي: Gd-DTPA, Gd-DTPA-BMA, Gd-DTPA-BMEA, Gd-DOTA, Gd-HP-DO3A, Gd-BT-DO3A, Gd-EOB-DTPA, Gd-BOPTA, Gd-EBT-DO3A). Gd-BOPTA and Gd-EOB-DTPA لها سلسلة جانبية محبة للشحوم lipophilic مع حلقة بنزيل. هذان المركبان يرتبطان عكسيًا مع البروتين. السلسلة الجانبية تكون أيضًا مسؤولة عن الأخذ النوعي ل hepatocytes والإزالة الجنينية له (المقطع ١٢,٣). المركيبات الأخرى المعتمدة على الجادولينيوم Gd تكون كواشف غير محددة يتم التخلص منها عن طريق الكليتين.

إن سمية أيونات الجادولينيوم تنتج من أن قطرها يساوي تماماً قطر أيونات الكالسيوم. لذلك فإن أيونات الجادولينيوم يمكنها أن تعمل كخصم لأيونات الكالسيوم وتعمل على سد قنوات الكالسيوم عن طريق الارتباط بها. وقد يؤدي هذا إلى عرقلة التنفس الخلوي، وقابلية العضلات للانقباض، وتحمط الدم. بجانب الإقلال من سمية الجادولينيوم،

فإن المرتبطات تحدد التوزيع الحيوي للمركب كما يمكن التفريق بين المركبات الجزيئية الضخمة المعتمدة على الجادولينيوم والخاصة بالكبد وغير الخاصة به.

١٢، ٢) الاسترخائية Relaxivity

الاسترخائية هي مقياس لكتفاءة استرخاء عامل التباين في الرنين المغناطيسي. إنها تتغير مع تردد لارمور ودرجة الحرارة وأيضاً مع التركيز والخواص الجزيئية لتركيز وسط التباين البارا مغناطيسي (مثل مقدمة الأيون المترافق على التفاعل مع الماء، وحركة السلسل الجانبي، والحدث المغناطيسي). بسبب إلكتروناتها السبعة المنفردة، فإن الجادولينيوم ثلاثي التكافؤ (Gd^{3+}) يكون من أقوى العناصر المغناطيسية. ويتم تحديد ما يسمى بالاسترخاء الجزيئي عن طريق قياس الزمن الأول T_1 أو الزمن الثاني T_2 في محلول أحادي المولية والذي يمكن الحصول عليه عن طريق إذابة مول واحد من المادة في لتر واحد من الماء.

$$\text{الاسترخائية : } R_2 = 1/T_2 \quad R_1 = 1/T_1$$

(التركيز: ١ مول / لتر، مقاس عند درجة حرارة 20°C وتتردد لارمور / شدة مجال معينة)

كلما كانت الاسترخائية أعلى، فإن التفاعل بين وسط التباين وبروتونات الماء القريبة تكون أفضل. ويؤدي ذلك إلى استرخاء أسرع للبروتونات وزيادة في الإشارة (مثال على ذلك، في الصور الموزونة بالزمن T_1). عندما تكون مادة لها استرخائية عالية، فإنه يمكن من المعمول نظرياً تقليل الجرعة نتيجة وجود علاقة مباشرة بين جرعة وسط التباين وتأثير الاسترخاء التحسيني له. سيكون هناك في المستقبل عوامل مساعدة للتباهي يمكن تطبيقها إما لتقليل جرعة الجادولينيوم (لخفض النفقات) وإما، على العكس، لزيادة الجرعة للحصول على تحسين واضح للإشارة، ومن ثم تحسين التباين والحصول على تصوير أسرع.

إن المركبات المعتمدة على الجادولينيوم غير النوعية والمتحادة حتى الآن تختلف فيما بينها في التأثير التحسيني للتباين (وبذلك يتم استخدامها عند جرعات مختلفة). معظم المركبات المتحادة تجاريًا لها تركيز 5 mol/l ، بالمقابل لكمية من الجادولينيوم وجرعة مقدارها 2 mmol Gd/kg لكل كيلو من وزن الجسم ($= 1 \text{ ml/kg}$ من وزن الجسم).

مع وجود المستحضرات الأخيرة المعتمدة على الجادولينيوم والتطبيقات الجديدة، أصبح من الضروري الاختيار بعناية للمحلول المناسب بدلاًلة التفاعلات الحيوية له وتركيزه للحصول على التأثير التحسيني المطلوب للاسترخاء والغرض المقصود (الجدول رقم ٧):

الجدول رقم (٧). الاسترخائية R1 و R2 لأوساط تباين مختارة مقاسة في الماء عند شدة مجال مقدارها 1 T . لكلوريد الجادولينيوم استرخائية عالية جداً لكنه غير مناسب كوسط تباين لأنه عالي السمية. التركب يقلل من كفاءة الاسترخاء لأنه يزيد المسافة بين الجادولينيوم Gd^{3+} وبروتونات الماء الفريبة.

	R1	R2
GdCl_3	9.1	10.3
$\text{Gd-DTPA} = \text{Magnevist}^*$	3.4	3.8
$\text{Gd-DOTA} = \text{Dotarem}^*, \text{Artirem}^*$	3.4	4.3
$\text{Gd-DTPA-BMA} = \text{Omniscan}^*$	3.9	5.1
$\text{Gd-HP-DO3A} = \text{Prohance}^*$	3.7	4.8 (at 0.5 T)
$\text{Gd-BT-DO3A} = \text{Gadovist}^*$	3.6	4.1 (at 0.47 T)
$\text{Gd-BOPTA} = \text{Multihance}^*$	4.6	6.2
$\text{Mn-DPDP} = \text{Teslascan}^*$	2.3	4.0
$\text{Ferumoxides} = \text{Endorem}^* (\text{SPIO})$	40	160
$\text{Ferucarbotran} = \text{Resovist}^* (\text{SPIO})$	25.4	151
$\text{Ferumoxtran} = \text{Sinerem}^* (\text{USPIO})$	21.6	44.1

- في التصوير المفصلي arthrography بالرنين المغناطيسي فإن محليل الجادولينيوم يتم استخدامها عند ١:١٠٠ حتى ١:٥٠٠، بال مقابلة مع تركيز مقداره ٥ mM (Gd³⁺) = mM Gd / ١١ (mol/l^{٠٠١}, ٠٠٥ mol/l). ولقد ثبت أن ٢,٥-٢ mM Gd تكون الأحسن كفاءة. الحقن داخل المفصل محلول غير مخفف (يحتوي ٥ mol/l) من الممكن أن تسبب فقداً في الإشارة بدلًا من التحسين المطلوب. على العكس من ذلك، فإن الحقن الوريدي للمحاليل المخففة المستخدمة في التصوير المفصلي قد لا تعطي إشارة كافية وتحسين تبادن معقول لاكتشاف الجروح.

- الجادوفيست ١,٠ (جادوبيوترول gadobutrol) يحتوي على ضعف الكمية من المحتويات الفعالة (واحد مول من الجادولينيوم Gd لكل لتر بدلًا من التركيز العادي ٥ mol/l). باستخدام هذه التركيبة، يمكن للشخص أن يقلل من الجرعة بالملي لتر أو معدل استخدامه. ولذلك، فإن الجرعة المفضلة هي ١,٠ ml/kg من وزن الجسم بدلًا من الجرعة العادية ٢ ml/kg من وزن الجسم. في هذه التركيبة، فإن ضعف تركيز المركبات الفعالة يكون مناسباً جداً بسبب الذوبانية العالية للجادولينيوم في الماء. يتوقع أن يوفر هذا محلول تركيزات المرور الأولى في بعض مناطق الأوعية الدموية مثل الشريان السطحية وعلى ذلك، وكما هو مع التركيزات العالية من أوساط التبادن المعتمدة على اليود، فإنه يجب أن يؤخذ في الاعتبار الأسموزية osmo-lality والزوجة الأعلى للمحلول.

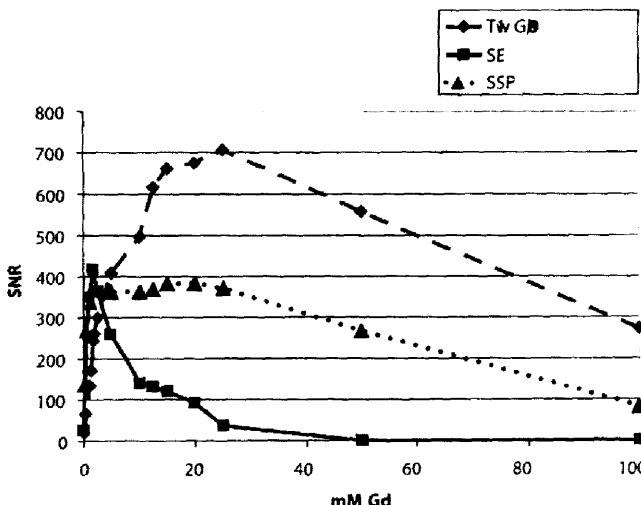
- عوامل الارتباط بالألبومين Albumin-binding agents : أوساط التبادن مثل: Gd-EOB-DTPA (Multihance®- gadobenate dimeglumine)، Gd-EOB-DTPA (Primovist® -gadoxetate disodium- MS-325 EPIX (gado-، أو marketed as a 0.25 mol/l preparation

(®fosvesete trisodium – Vasovist) ترتبط عكسياً بالألبومين البشري ولذلك تكون له استرخائية عالية في الدم بالمقارنة بالماء . إن كبر حجم الجزيئات يغير من توزيع وسط التباین ويغير التأثير التحسيني مع الگة البروتين والتركيز الموضعي للبروتين. أما كيف يؤثر ذلك على نظام الجرعة، فهذا قيد التحديد (الشكل رقم ٥٢).

في النهاية، فإنه يجب الأخذ في الاعتبار أن كلاً من R1 و R2 من الممكن أن تؤثر في إشارة الرنين المغناطيسي.

من حيثيات تأثير الجرعة لأوساط التباین في تصوير الرنين المغناطيسي تختلف عن المنحنيات الخطية لأوساط تباین أشعة X حيث إن لها قمة تبين التركيز المثالي لوسط التباین (الشكل رقم ٥٣). التركيز الذي يعطي تحسيناً مثالياً يتغير مع وسط التباین للرنين المغناطيسي وتتابع النبضات المستخدم. عموماً، يمكن رؤية تأثيرات التركيزات القليلة بوضوح في الصور الموزونة بالزمن الأول T1 بينما تأثيرات الزمن الثاني T2 أو النقص في شدة الإشارة يصبح واضحاً عند التركيزات العالية. من وجهة النظر العملية، فإن ذلك يعني أنه ليس من الضروري أن أعلى تركيز أو كمية من الجادولينيوم هي التي تنتج أعلى زيادة في الإشارة ومن ثم تعطي أحسن تباین. مضاعفة الاسترخائية لا يعني مضاعفة شدة الإشارة!

التحسين الاسترخائي يتغير أيضاً مع شدة المجال ويميل للنقصان مع زيادة شدة المجال (لأن تأثير الزمن الثاني T2 يصبح أقوى) بينما نسبة التباین إلى الضوضاء عند T ٣ تكون، عامة، أكثر جودة عن التي تم الحصول عليها عند T ١ ، ٥ أو مجالات أقل شدة. وفوق ذلك، من المحمّل وجود تغيرات في الأنسجة تنتج من فروق في قيم الأزمنة T1 و T2 الخاصة بهم. كقاعدة، فإن المساحات ذات شدة المجال القليلة (٢ ، ٠ ، ٦ - T ٠) تحتاج إلى جرعات عالية من وسط التباین.



الشكل رقم (٥٣). منحنيات تأثير الجرعة على نسبة الإشارة للمضواد SNR بعد استخدام وسط تبادل معتمد على الجادوليبيوم Gd خارج الخلية (Gd-DOTA) لثلاث تتابعات نبضات مختلفة عند ١,٥ تسلا. SE هو تتابع الصدى المغزلي، و GRE هو تتابع الصدى الانحداري، و SSFP هو تتابع الدقة بحاله الاستقرار الحرر. لاحظ الاختلاف الواضح في القيمة العظمى.

(١٢،٣) الخواص الدوائية Pharmacologic Properties

الخواص الدوائية لعامل تحسين التبادل، وبالذات الحركية الدوائية، تحدد توزيعه في الجسم ومن ثم تأثيره على إشارة الرنين المغناطيسي. اعتماداً على هذه الخواص، يمكن التفريق بين أنواع مختلفة من أوساط التبادل (الجدول رقم ٩).

١٢، ٣، ١) عوامل التبادن خارج الخلية **Extracellular Contrast Agents**

إن أوساط التبادن خارج الخلية تكون ذات أوزان جزيئية منخفضة، وهي المركبات القابلة للذوبان في الماء والموزعة في الأوعية وبين الخلايا والتي تعمل عقب الحقن الوريدية. معظم أوساط تبادن الرنين المغناطيسي المستخدمة هذه الأيام تتبع مجموعة مركبات الجادولينيوم ثلاثي التكافؤ(III) gadolinium (الشكل رقم ٥٢). هذه المركبات هي:

- Gd-DTPA (gadopentetate dimeglumine = Magnevist®/linear ionic complex),
- Gd-DOTA (gadoterate meglumine = Dotarem®/macrocyclic ionic complex),
- Gd-DTPA-BMA (gadodiamide = Omniscan®/linear nonionic complex),
- Gd-HP-DO3A (gadoteridol = Prohance®/macrocyclic nonionic complex),
- Gd-DTPA-BMEA (gadoversetamide = Optimark®/nonionic linear complex),
- Gd-BT-DO3A (gadobutrol = Gadovist®/linear nonionic complex),
- Gd-BOPTA (gadobenate dimeglumine = Multihance®/linear ionic complex; also used as a liver-specific agent).

استخدام جرعة قياسية في الأوعية الدموية من وسط تباين خارج الخلية يقلل من الزمن الأول T1، ويبيح عنه زيادة في شدة الإشارة في الوعاء الدموي (المرور الأول، مقطع ١١، ١١) وفي الأنسجة نتيجة رش الأنسجة أو عرقلة الحاجز الشعري (المخ، العمود الفقري، العينين، والشخصية). في الأحوال العادبة، فإن أوساط التباين هذه لا تعبر حاجز الدم - المخ لأنها تكون محظة للماء بقعة (أي أنها تكون على ارتباط جيد بالماء). التغير الذي يحدث في توزيع وسط التباين عندما يقطع الحاجز يكون معياراً أو مقاييساً مهماً للتشخيص. عموماً، فإن تأثير وسط التباين يكون مستحسنًا جدًا في الصور الموزونة بالزمن الأول T1، ويفضل مع إخماد الدهون. ويقارن هذا التأثير مع تأثير وسط التباين الذائب في الماء لأشعة X و يتميز بالانتشار السريع لوسط التباين في الأنسجة، ولذلك يعادل التركيز بين الفراغ الوريدي والفراغ المحيط بالخلية.

يتم التخلص من العوامل المساعدة للتباين خارج الخلية عن طريق البول بالترشيح السلبي أو غير الفعال. بهذه الطريقة، فإنه يتم التخلص من كل المادة بدون أن تستخدم في عملية التمثيل الغذائي. في الأحوال العادبة، فإنه يتم التخلص لأكثر من ٩٠٪ من الجرعة المستخدمة عن طريق الكليتين في خلال ٢٤ ساعة. وينتج عن التركيز في الكليتين زيادة في قصر الزمن الثاني T2، والذي يمكن رؤيته كفقد في الإشارة في المسالك البولية السفلية. كمية صغيرة فقط من وسط التباين تعبر المشيمة أو تفرز في حليب الثدي. الإرشادات الحالية للجمعية الأوروبية للأشعة البولية والتناسلية (ESUR) لم تعد توصي النساء المرضعات بوقف التغذية من الثدي بعد استخدام الجادولينيوم كوسط تباين.

أوساط التباين خارج الخلية يتم استخدامها وريدياً كأقراص دوائية أو ضخ نقطي (أنظر أيضاً تصوير الأوعية بالرنين المغناطيسي مقطع ١١، ١) بجرعات مقدارها ١-٣ mmol/kg من وزن الجسم. جرعات أعلى تصل إلى ٥، ٥ mmol/kg من وزن الجسم تم استخدامها تابعياً في تصوير الأوعية بالرنين المغناطيسي. وبما أن معظم الجرعات المعده تكون مجهزة ك محلول ٥، ٥ molar، فإن الجرعة القياسية للاستخدام

لمرة واحدة تكون 2 ml/kg من وزن الجسم (ولكن فقط 1 ml/kg من وزن الجسم للتركيبة $1,0 \text{ molar}$). بعض الباحثين يوصون بجرعات أعلى قليلاً للتصوير عند شدة مجال منخفضة ($< 0.5 \text{ T}$) للحصول على تحسين تبادن مشابه لنظيره في ماسحات الرنين المغناطيسي ذات المجالات العالية (1.5 T و 3.0 T).

من وجهة النظر العملية، من المهم أن نلاحظ أن توزيع نصف العمر حوالي $2-5 \text{ min}$ يسمح بتصوير متاخر بعد استخدام الحقن الوريدي، وهذا يكون مفيداً لتقدير علم الأمراض خارج الأوعية (مثل الأورام، والأمراض) عندما تصل كمية كافية من وسط التبادن إلى الفراغ خارج الوعاء.

لا يطبق هذا في الفحوصات التي يكون فيها التقييم المقدم لطور وعائي أو شرياني ذو أهمية (مثل الدراسات الديناميكية للكلبد، والغدة النخامية، والثدي، وأعضاء أخرى).

في حالات نادرة يكون التصوير باستخدام جرعة ثلاثة من وسط التبادن (0.3 mmol Gd/kg من وزن الجسم)، والتي تكون عبارة عن جرعة أحادية يعقبها جرعة ثنائية في خلال 30 دقيقة من الحقن الأول. لقد اتضح أن هذا النظام من الجرعات يحسن اكتشاف الإصابات الدماغية في حالات فردية. المكبب التشخيصي يكون ذو أهمية علاجية ، على الرغم من ذلك ، فقط في الحالات التي تؤدي إلى عواقب علاجية (مثلاً على ذلك، إصابات العمليات ، وعلاج تصلب الأنسجة). اختيار آخر لتحسين تأثير وسط التبادن يكون ذو طريق التصوير تبادن نقل المغذية *magnetization transfer contrast (MTC) imaging* (المقطع $6, 3$).

التأثيرات الجانبية التي من الممكن حدوثها بعد استخدام وسط تبادن في الرنين المغناطيسي هي نفسها كما في حالة أوساط التبادن اليودية غير المتأينة مع أن التفاعلات العكssية تكون أقل حدوثاً بدرجة كبيرة لأن التصوير بالرنين المغناطيسي يتطلب جرعات قليلة من وسط التبادن. تأثيرات جانبية بسيطة مثل الشعور بالحرارة، والصداع، والغثيان أو دوار البحر، وردود فعل شبه حساسية على الجلد والأغشية

المخاطية تحدث في ٢-١٪ من الحالات. بعض أوساط التباین يمكن أن تحدث ألمًا موضعياً وردود فعل التهابية بما في ذلك موت موضعي للنسج. المرضى الذين يعالجون من الربو أو أزمة أو لدفهم تاريخ حساسية لوسط التباین يكونون في مخاطر عالية من ردود فعل للحساسية. حدوث صدمة بسبب وسط تباین رنين مغناطيسي يكون نادر الحدوث (حوالى ١٠٠٠٠٠ من الحالات). هناك جدل حول سماحة مستحضرات الجادولينيوم البولية. حكايات نادرة عن تأثيرات سامة للجادولينيوم تم الإعلان عنها. عند استخدام أحجام قياسية، فإن مستحضرات الجادولينيوم تكون أقل سمية عن أوساط التباین لأشعة X ولكن هذه لم تعد الحال عند مقارنة كميات مطلقة من المواد (المولارية). كما في الحالات الأخرى من أوساط التباین، تحذير مهم يجب اعتباره عند استخدام جرعات عالية أو مع المرضى الذين يكونون في أوضاع أكثر خطورة لأن التخلص من وسط التباین يكون أبطأ بكثير في هذه الأحوال. في حالة المرضى الذين يكونون في الحالة المتأخرة من الفشل الكلوي فإن آثار الجادولينيوم غير النوعي يمكن إزالتها عن طريق تنقية الدم.

أوساط التباین خارج الخلية يمكن استخدامها كأقراص دوائية، بحيث يسمح باستخدامها في الدراسات الديناميكية بالاتصال مع تقنيات المسح السريع، مثلاً، في تصوير الأوعية بالرنين المغناطيسي المحسنة التباین وتصوير الكبد. الصور المأخوذة بعد حوالي ٣٠ ثانية من استخدام وسط التباین تظهر التشريح الشرياني. بعد دقيقة من استخدام وسط التباین يظهر النسيج الرئوي الإسفنجي (يطلق عليها طور الوريد البابي في تصوير الكبد). يمكن تقدير توزيع وسط التباین في الفضاء خارج الخلية بعد حوالي ثلاثة دقائق. يمكن اكتساب بعض صور التحسين المتأخرة لتقديم ظاهرة التخلص المحددة من وسط التباین (مثلاً التخلص منه في عضلة القلب بعد حوالي ٢٠ - ١٠ دقيقة ، المقطع ٨، ١١). في تصوير الأوعية بالرنين المغناطيسي المحسنة التباین، يمكن تقديم ديناميكية المرور الأول لوسط التباین الشرياني.

كونها محاليل معدنية ثقيلة، فإن العوامل المساعدة للتباین المعتمدة على الجادولينيوم تكون غير شفافة للراديو. على الرغم من ذلك، ونتيجة للتركيز المعدني القليل، فإن امتصاصهم للأشعة السينية يكون فقط حوالي ثلث أو ساط التباین من محاليل اليود في الماء (والقيمة KV المثلث لها تكون مختلفة). العوامل المساعدة للتباین المعتمدة على الجادولينيوم يمكن استخدامها في التصوير بالراديو العادي مع المرضى الذين لديهم موانع من استخدام مرکبات اليود (مثلاً أمراض نشاط الغدة الدرقية) ولكن فقط بعد وزن المزايَا المتوقعة ضد الحمل الأسموزي للعامل، والشفافية المنخفضة للراديو، والخواص الصيدلية المختلفة بالإضافة إلى السعر المرتفع.

(١٢، ٣، ٢) العوامل المساعدة للتباین داخل الأوعية أو برکة الدماء

Intravascular or Blood Pool Contrast Agents

عوامل التباین داخل الأوعية أو برکة الدم هي عبارة عن مرکبات ذات وزن جزيئي عال وزمن مكوث داخل الأوعية أطول نتيجة حقيقة أنه لا يمكنها الانتشار من خلال جدران الشعيرات، أو على الأقل ببطء جداً، نتيجة حجمها الجزيئي. بعض عوامل التباین من نوع برکة الدماء يكون لها استرخائية جزيئية أعلى نتيجة أن طول السلاسل الجانبي في المرتبط تقلل من الحركة الجزيئية البراونيه Brownian، ولذلك تزيد إمكانية حصول الذرات المركزية على الماء. زمن المكوث داخل تجويف الوعاء ومن ثم نافذة التصوير تتغير مع تغير الوزن الجزيئي ومعدل التخلص من عامل التباین. ومع ذلك، فإنه عند قطع حاجز الشعيرات، فإنه يحدث تسرُّب لوسط تباین برکة الدماء إلى الفراغ خارج الخلية مما يوفر معلومات عن سماحية الجزء المريض أو القطع في غشاء الشعيرة (ورم، أو كدمة، أو نزيف، أو عدوى، أو تعرض لأشعة). في الفترة الأخيرة ، ظهر أن أو ساط تباین برکة الدماء يمكنها اكتشاف التزيف المعيدي الخفي أو تحديد وتشخيص

الأنسجة التي بها إعاقة في سماحية الشعيرات مثل الأورام. وفوق ذلك فإن أوساط تباین برکة الدماء بتركيزها الثابت تقريباً داخل الأوعية (حالة الاستقرار) يتوقع منها أن تحسن من قياس الضغط الكمي كذلك. تصوير الأوعية باستخدام أوساط تباین برکة الدماء ليست مقصورة على تقييم طور الشرايين. وعلى الرغم من ذلك، فإن الأوردة المتداخلة يمكن أن تتعرض التشريح الوريدى.

يمكن تمييز عوامل التباین التالية على أساس الخواص الصيدلية الخاصة بكل منها:

- الجادولينيوم أو أكسيد الحديد micells ، أو دوائى النانو liposomes ، أو دوائى النانو SPIO ، أو USPIO المقطع (١٢، ٣، ٥). هذه المستحضرات لها أزمنة دورية طويلة نتيجة طبيعتها الخاصة. معظم الجرعة المستخدمة تكون غير فعالة في النظام الغشائي (reticuloendothelial system RES). مستحضرات مختلفة من دوائى أكسيد الحديد بحجم النانو يتم تطويرها الآن. من هذه المستحضرات . *Sinerem*/Combidex* and Supravist

- العوامل الجزيئية الكبيرة macromolecular مثل الديكسترانات المعتمد على الجادولينيوم أو بولي لیستات gadomelitol=Vistarem®; Gd-(DTPA cascade polymer=Gadomer-17 الجزيئية الضخمة لها استرخائية عالية وميزة أنه يتم التخلص منها عن طريق الكلتين.

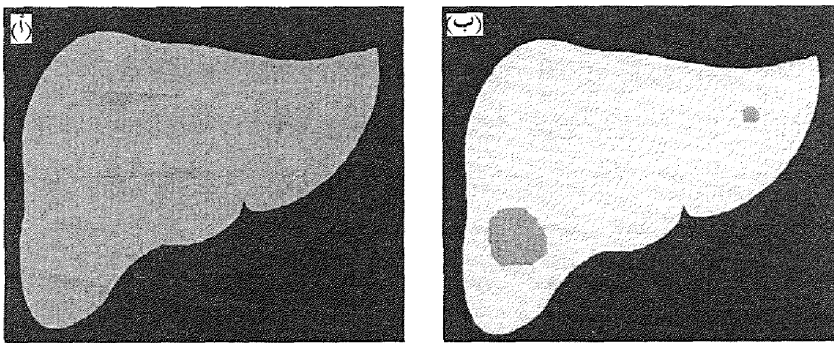
- مركبات الألبوماين المرتبطة بالجادولينيوم ذات الوزن الجزيئي المنخفض لها سلسلة جانبية محبة للدهون lipophilic (الشكل رقم ٥٢) التي تنشط الارتباط العكسي للبروتين البشري، ومن ثم تبطئ الانتشار إلى خارج الأوعية.

١٢، ٣، ٣) عوامل التباین الخاصة بالکبد

Liver Specific Contrast Agents

عوامل التباین الخاصة بالکبد يتم استخدامها داخل الورید وتراکم داخل خلايا الكبد السليمة من خلال مستقبل للأيونات السالبة بواسطة الالتقاط الخلوي endocytosis وليس في صورة موجة أخرى أو أي أنسجة غريبة عن الكبد (الشكل رقم ٥٤). هذه العوامل محبة للدهون جداً (Gd(III)) أو لمتراكبات (Mn(II)). طریق التخلص من هذه العوامل هو الطریق الصفراء (الدوران داخل الكبد enterohepatic والکلوي). وسط التباین الخاص بالکبد في الاستخدام العلاجي يكون $Mn-DPDP$ (*mangafodipir trisodium* – *Teslascan**) 0.01 mol/l solution – and 0.05 mol/l in the USA $Gd\text{-BOPTA}$ (*Multhance**) 0.5 mol/l في التسیح الإسفنجي للرئة بعد ٣٠-٦٠ دقيقة بالتابع لطور ابتدائي يكون بالأحرى أو على الأصح غير محدد. هذه المستحضرات تم اعتمادها لاكتشاف بؤر الكبد المريضة في بعض الأقطار. فقط ٢-٧٪ من العامل المستخدم يتم فرزه في العصارة الصفراء. إن حقيقة أن مستحضر وسط التباین يلعب دورين كعامل جادولينيوم غير محدد بالسعة التي تغير استرخائية البلازمما نتيجة تركيزها المسيطر داخل الأوعية كنتیجة للارتباط العکسی للألبوماين وكوست تباین خاص بالکبد في أطوار الكبد المتتالية يفتح مجالات جديدة للتطبيقات في تصویر الأوعية بالرنین المغناطيسي، تصویر مناطق المخ، وفي اكتشاف سرطان الثدي، وفي الأورام المنقوله للکبد. $Gd\text{-EOB-DTPA}$ (*Primovist**) 0.25 mol/l أكبر معدل امتصاص نوعي مع حوالي ٥٠٪ تخلص کبدي صفراء وتم اعتمادها مؤخرًا لاكتشاف وتشخيص البؤر الكبدية المصابة في أوروبا. إنها تحسن أنسجة الكبد السليمة بعد الاستخدام بحوالي ١٠-٢٠ دقيقة. المناطق المصابة التي لا تأخذ وسط التباین تظهر تبايناً سالباً وظهور خطوطها الخارجية كمساحات

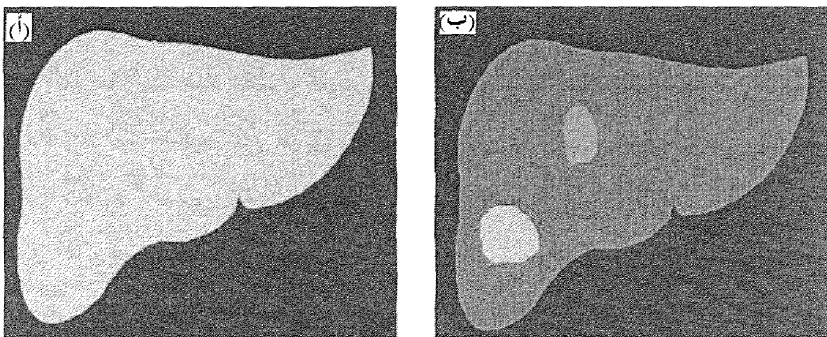
ذات شدة إشارة ضعيفة على العكس من الخلفية المضيئة من أنسجة خلايا الكبد الصحيحة في الصور الموزونة بالزمن الأول T1. فقط في حالة المرضى بعوائق في الصفراء لن يكون هناك أخذ أو استيعاب لوسط التباين في خلايا الكبد. بعيداً عن تحسين اكتشاف البؤر المريضة في الكبد، فإن هناك إمكانية لاستخدام Gd-EOB-DTPA في تصوير الـ MRCP، حيث يعطى تبايناً موجباً لقنوات الصفراء نتيجة التخلص منه عن طريق الصفراء. يوصى المصنع بمستحضر للتصوير الموحد المطور الديناميكي (أول مرور) والتطور المتأخر للخلايا الكبدية على الرغم من أن هذا التطبيق يجب تحقيقه أكثر.



الشكل رقم (٥٤، ب). رسم تخطيطي للكبد بدون (أ) ومع (ب) استخدام وسط تباين خاص بالكبد. أوساط تباين الكبد مثل **Gd-BOPTA** و **Mn-DPDP** و **Gd-EOB-DTPA** تنتج زيادة في انتشار الـ SI في أنسجة الكبد الصحيحة في الصور الموزونة بالزمن الأول T1 (ب) بالمقارنة بالصور غير المحسنة (أ). المناطق المصابة التي ليس بها خلايا كبد سليمة مثل الـ **metastases** تصبح مرئية كمساحات سالبة أو ذات إشارة ضعيفة. وهذا هو السبب في أن الصور المحسنة للتباين تكون صوراً وظيفية. العوامل المساعدة للتباين الخاصة بالكبد تحسن ليس فقط اكتشاف المناطق المصابة في الكبد ولكن أيضاً خواصها.

(٤) عوامل تباين الغشائي الشبكي RES Contrast Agents

العوامل المساعدة لتصوير الرنين المغناطيسي استهدفت النظام الغشائي الشبكي RES يتم استخدامها عن طريق الحقن الوريدي وتكون سائدة بالبكتيريا بواسطة خلايا النظام الغشائي الشبكي RES، وخاصة خلايا كوفر Kupffer في الكبد، وإلى مدى أقل، في الطحال وفي نخاع العظام. العوامل المساعدة الخاصة بالنظام الغشائي الشبكي RES المستخدمة علاجيا هي الـ ferumoxides (AMI-25/Endorem*) والـ ferucarbotran (SHU 555 A/Resovist) والـ Feridex*. هذه العوامل ذات البارا مغناطيسية الفائقة تقصير الزمن الثاني T2 بدرجة كبيرة ومن ثم تقلل من SI لأنسجة الكبد السليمة مع النظام الغشائي الشبكي RES بينما الأنسجة المتورمة بدون النظام الغشائي الشبكي RES تكتسب إشارات مضيئة (الشكل رقم ٥٥). المعدل الذي يترافق به وسط التباين في المنطقة المريضة يمكن إظهاره تشخيصيا لتحسين الموصفات المرضية لأن الأورام الحميدة، والـ FNH، أو الـ hemangioma يكون لها أيضاً أنشطة النظام الغشائي الشبكي RES. التباين المثالي يمكن الحصول عليه عند استخدام تتابع موزون بالزمن الثاني T2 كوسيلط بأزمنة تكرار TR وأزمنة صدى TE أطول والتي يجب ألا تكون زائدة الطول، بمعنى التتابع الذي له تأثير قابلية عالٍ وبدون زمن أطول من اللازم. الزيادة في الإشارة من داخل الأوعية المصاحبة لتأثير قصر الزمن الأول T1 يمكن استخدامها تشخيصيا لتقدير الأوعية في مناطق الكبد مثل الأورام الحميدة hemangiomas.



الشكل رقم (٥٥ أ، ب): رسم تخطيطي للكبد بدون (أ) وباستخدام وسط تباين سالب للرنين المغناطيسي (SPIO) (ب) عوامل تباين الرنين المغناطيسي الموجهة لـ RES مثل SPIO تنتج انخفاضاً انتشارياً في خلايا نسيج الكبد الصحيحة SI في التابعات الموزونة بالزمن الثاني T2 قصير (ب) بالمقارنة بالصور غير المحسنة (أ). لذلك فإن المناطق الخالية من خلايا الكابفر Kupffer مثل الكبد المحول أو المتقول تظهر بكثافة إشارة عالية (ب المنطقة اللامعة). المناطق الحميدة في الغالب تظهر نشاط RES مخفض ولذلك فإنها تظهر أكثر لمعاناً من نسيج الكبد الإسفنجي العادي ولكن أكثر إظهاراً من الصور غير المحسنة (ب المنطقة الأكثر إظلاماً). الصور المحسنة بالـ SPIO تعتبر صوراً وظيفية لأنها تعكس نشاط الـ RES. جزيئات الـ SPIO تحسن من اكتشاف مناطق الكبد وكذلك خواصها.

يتكون الـ ferumoxides و Ferucarbotran من دفائق النانو من أكسيد الحديد بأحجام جزيئية مختلفة والمغطاة بالديكستران dextran والكريبوكيسي ديكستران carboxydextrans على التوالي. إنها تستخدم كأقراص أو حقن بجرعات 8-15umol Fe/kg من وزن الجسم. نافذة التصوير المثلية لإظهار تأثير الزمن T2* تكون حوالي 15 دقيقة حتى ثباتي ساعات بعد الاستخدام. هذه المركبات من أكسيد الحديد تتصل مرئية في الكبد لمدة ٣ - ٧ أيام. بعدها، يدخل الحديد دورة التمثيل الغذائي العادي في الجسم. تأثير جانبي نادر يحدث والذي لم تتضح الآلية الخاصة به وهي آلام الظهر. بعض الأشياء الجانبية الأخرى والنادرة هي ردود الفعل التي تشبه الحساسية.

(٥، ٣، ١٢) عوامل التأثير الخاصة بالعقد اليمفاوية

Lymph Node Specific Contrast Agents

إن أوساط التباین الخاصة بالعقد الليمفاویة تم استخدامها تجربیاً منذ زمان قریب. إنها عبارة عن دقائق نانو من أکسید الحديد الفائق البارا مغناطیسیة (AMI-227, ferumoxtran, Sinerem*/Combidex) والتي يمكن استخدامها بطريقه غير مباشرة (تحت الجلد)، أو مباشرة (من خلال الغدد)، أو وریدیاً. تستخدم أسماء أخرى للعوامل المساعدة لتصوير الرزین المغناطیسی للغدد وهي دقائق متناهیة الصغر فائقه البارا مغناطیسیة من أکسید الحديد (USPIO) أو دقائق النانو من بلورات أکسید الحديد الأحادیة (MION). بعد الحقن الوریدی، فإن هذه العوامل تبقى في الدم من ٣٦ - ٢٤ ساعه قبل أن تترکم في الغدد والأوعیة الليمفاویة. بما أنها تكون فاتكة للخلیة phagocytosed عن طريق الـ macrophages ومن ثم تصل إلى تركيز عال، فإن لها تأثیراً واضحاً للتقصیر في الزمن الثاني T2 والذي يقلل من إشارة الغدد الليمفاویة. العقد الليمفاویة غير المستقرة metastatic يمكن تمیزها لأنها لا تأخذ وسط التباین. مستحضرات دقائق أکسید الحديد بحجم النانو يتم تطويرها أيضاً كوسط تباین للأوعیة (عوامل برکة الدماء).

(٦، ٣، ١٢) عوامل التباين الموجهة للورم

Tumor- Targeted Contrast Agents

العوامل المساعدة لتبين تصوير الرنين المغناطيسيي والوجهة لخلايا الورم تكون عبارة عن مركبات مثل الفرفرينيات porphyrins والذي يتراكم في الخلايا سريعة الانقسام. آلية فهم ذلك ما زالت غير واضحة. هذه العوامل المساعدة يمكن استخدامها لاكتشاف الأورام الأولية والثانوية أو الأنسجة المتضخمة وتستخدم في نفس الوقت للتتصوير الديناميكي للعلاج بالليزر (PDT). للأغراض العلاجية، فإن معدن الفرفرينيات porphyrins المتراكم يتم تنشيطه لتدمير الأنسجة المتورمة المحاطة

عن طريق تطبيق شعاع ذي طاقة عالية. لسوء الحظ، فإن العوامل المساعدة لتبين الورم يكون لها سمية عالية ويتم بحثها حتى الآن في الحيوانات.

(١٢، ٣، ٧) عوامل أخرى واعدة لتبين الأنسجة

Other Emerging Tissue Specific Contrast Agents

لقد تم استنباط عدد من الإستراتيجيات المختلفة لاستهداف العوامل الخاصة بالأنسجة. لا تتضمن الأهداف المحتملة فقط مضادات الأنسجة أو موقع الإستضدادية في الجزيء epitopes ولكن أيضاً الخواص الوظيفية والجينية والتي تميز الأنسجة على المستوى الجزيئي. مثل هذه الأوساط التبانية الخاصة للرنين المغناطيسي تتكون من باعث إشارة مغناطيسية أو فائقة البارا مغناطيسية، فراغ الهيكل (الحيز)، ونظام الاستهداف (النسخة الفريدة للجسم المضاد، أغطية من سكريات متعددة polysaccharide، موقع تنسيق الإنزيمات). بعد التصاق العامل مع المهدف فإن الإنزيمات تطلق سراح موقع الرابط أو تغير من استرخائتها، وذلك يمكن رؤيته على الصورة (تنشيط). آلية مشابهة تعتمد على تحديد تجلط الدم عن طريق مركب ربط بروتين الفاييرين fibrin التجريبي، EPIX 2104 R. هناك اتجاه آخر واعد وهو أن يستهدف عامل التباهن مستقبلات الفولات folate. تحدد أوساط التباهن هذه الحالات المرضية بهذه المستقبلات مثل المناطق التي بها حالات سرطان مبتدئ أو الأغشية المخاطية. لسوء الحظ فإن التطبيق العملي لهذه العوامل مازال محدوداً بناء على حقيقة أن كميات معقولة من هذه العوامل تكون مطلوبة للحصول على تأثير معقول في التصوير بالرنين المغناطيسي.

هناك آليات استهداف أبسط مثل وضع العامل في التمثيل الغذائي للدهون يتم استخدامها لتحديد البقع (التجمعات) الشريانية atherosclerotic plaques. أحد هذه العوامل، هو مشتق الجادولينيوم جادوفلورين، والذي يحسن من شدة الإشارة للألوان التي لها محتويات دهنية أعلى.

لقد أوضحت العديد من الدراسات أن دقات أكسيد الحديد بحجم النانو (USPIO)، والتي تم شرحها مسبقاً للاستخدام كمعاملات بركة دماء والعقد الليمفاوية، يتم أخذها عن طريق الخلايا الملتئبة (macrophages or histiocytes, lymphocytes) ولذلك يمكن استخدامها لما يسمى التصوير الالتهابي (باستخدام التتابعات الموزونة بالزمن الأول T1 والزمن الثاني T2). هناك مجالات واعدة لتطبيق هذه الطرق وهي التحديد المبكر لرفض الأعضاء المزروعة، والاستخدام العملي للتجمعات الشريانية atherosclerotic plaques، والتمييز بين الالتهاب الكلوي الكبيبي glomerulonephritis أو التهاب المفاصل. في كل هذه الأحوال، فإن الخلايا الملتئبة الداخلية endocytic يمكن تمييزها عن طريق التغيرات في الإشارة الخاصة بها.

في المتابعة العلاجية للخلايا الجزعية، فإن تصنيف الخلايا أو تمييزها باستخدام الـ USPIO تم استخدامه فعلاً بنجاح.

(٨، ٣، ١٢) الغازات فائقة القطبية Hyperpolarized Gases

يعتمد استخدام الغازات فائقة القطبية كعوامل تباين في التصوير بالرنين المغناطيسي على قطبية المغازل النبوية. الإثارة بالليزر للغازات الخامدة تعتبر طريقة إنتاج عالية. الغازات المستخدمة لهذا الغرض في التصوير الطبي هي الهيليوم-3 helium-3 والزيون-129-xenon-129، والتي يمكن استخدامها لتقسيم التنفس الرئوي أو أي هيكل محوفة آخر مثل القناة المضمية والجيوب الأنفية. ويمكن رؤية تأثيرات الغازات فائقة القطبية باستخدام تتابعات نبضية خاصة مع ترددات رنين مضبوطة وخطوات مهمة أخرى وذلك لأجل الحصول على نسبة إشارة لضوء SNR عالية. هذه التتابعات المثالية تعطي صوراً تشخيصية لأعضاء مثل الرئتين، والتي يكون من الصعب الحصول عليها بالرنين المغناطيسي. تعقيدات الأجهزة المطلوبة تعتبر هي السبب حتى الآن وراء إعاقة الاستخدام الواسع لهذه التقنيات.

(٩، ٣، ١٢) عوامل تباين الرنين المغناطيسي التي تؤخذ بالفم

Oral MR Contrast Agents

إن عوامل التباين المأخوذة عن طريق الفم تسهل تمييز الفراغ الفسيولوجي من الأنسجة المحيطة وفي نفس الوقت تحسن من الانتفاخ في فراغ البطن. في الوضع العلاجي أو السريري، فإن هذه الآلة تستخدم بطريقة مباشرة في التصوير المفصلي بالرنين المغناطيسي وفي تحديد القناة الهضمية. في التصوير المفصلي بالرنين المغناطيسي فإن محلولاً مخففاً من عامل معتمد على Gd (Artirem* 0.0025 mol/l, Magnevist* 2.0 with 0.002 mol/l) يتم حقنه مباشرة في الفراغ الفاصل. ولذلك يتم التحديد الدقيق للسائل الكبسولي (mol) الداخلي من الأنسجة المحيطة عن طريق إشارته عالية الشدة في الصور الموزونة بالزمن الأول T1 والفراغ الموصل يتم توسيعه بدرجة ملحوظة.

كما يتم في حالة العوامل المستخدمة في التصوير المسحي بالحاسوب، فإن أوساط التباين لتصوير القناة الهضمية بالرنين المغناطيسي يمكن استخدامها عن طريق الفم أو الشرج. بالإضافة لذلك، فإن بيوتيل اسكوبولامين (Buscopan) *butyl scopolamine أو جلايكاجون glucagon يتم إعطاؤه وريدياً لتقليل المشاكل الحركية. يتم التمييز بين العوامل التي تختلط بمحتويات الأمعاء والعوامل التي لا تختلط كعوامل سالبة وموجية (الجدول رقم ٨).

الجدول رقم (٨). أمثلة لأنواع مختلفة من عوامل التباين للتصور بالرنين المغناطيسي
للقناة الهضمية .

	Miscible contrast agents	Nonmiscible contrast agents
Positive contrast agents (SI increase)	Gd-DTPA (Magnevist® enteral) $MnCl_2$ = Lumenhance® Ferric ammonium citrate (Ferriselz*)	Fats Vegetable oils
Negative contrast agents (SI decrease)	Perumoxsil (Lumirem®/ Gastromark®) Barium sulfate Alumina	Perfluorocarbons CO_2

تضم أوساط التبادن الموجبة الذائبة في الماء المركب (Gd(III) غير المحدد وكذلك محليل الحديد والمنجنيز. محليل الحديد والمنجنيز تعانى من الامتصاص الجزئي. عند تعامل القناة الهضمية لـ (Gd-DTPA) (Mangnevist* enteral)، فإن الجادولينيوم يتم عزله بالمانitol لأنه يكون أقل استقراراً إلى حد بعيد جداً في الوسط الحمضي. يزيد العازل من أسموزية القناة الهضمية مما ينبع عنه بذلك انتفاخ نتيجة تدفق دخول الماء مما قد يسبب إسهالاً. ثمة دراسة لـ Gd-DOTA راسخ الحمضية في فحوصات تحربيّة بدون إضافة عازل. بعض العصائر الغنية بأيونات معدنية مثل عصير التوت تزيد أيضاً من الإشارة في تجويف القناة الهضمية.

يتكون وسط التبادن السالب للقناة الهضمية (Lumirem) * من دقائق أكسيد الحديد فائق البارا مغناطيسية بحجم النانو والمغطاة بالسليكون مع الكثير من المكونات الإضافية ويتم استخدامه كمعلق. الآثار الجانبية مرة أخرى تشتمل على الإسهال. تستخدم عوامل التبادن هذه أساساً لقمع أو إخماد الإشارة من القناة الهضمية في الـ MRCP وللمساعدة في فصل حلقات الأمعاء من المياكل المحيطة.

إن كبريتات الباريوم والألومنينا تنقص الإشارة عن طريق إحلال الماء ومن ثم بروتونات الماء. عند استخدام جرعات عالية، فإن التأثيرات المقوية للمعلق من الممكن أن تسبب امتصاصاً. يسبب البيروفلوروكربون perfluorocarbons (مثل بروميد بيروفلوروأوكيل perfluoroctyl bromide) أيضاً نقصاً في الإشارة عن طريق تقليل كثافة البروتونات الموضعية ولكنها أهملت نتيجة تكفلتها العالية.

غالباً يكون الماء هو أقل وسط تبادن للرنين المغناطيسي في التكلفة والتي تؤخذ عن طريق الفم والتي تستخدم لتحديد الفراغ الهضمي. إن له إشارة ضعيفة في الصور الموزونة بالزمن الأول T1 وإشارة عالية في الصور الموزونة بالزمن الثاني T2. ويمكن تحسين انتفاخ الفراغ عن طريق خلط مكونات أو مواد جيلاتينية (هلامية) تزيد من الضغط الأسموزي (mannitol، PEG مانitol).

(٤) التطلعات أو وجهة النظر **Outlook**

إن تطوير أوساط تباین جديدة للتصوير بالرنين المغناطيسي يعتبر مطلباً ملحاً من كل شركات الصيدلة والتي عليها تطوير هذه العوامل والمعاونين لهم في مجال طب الأشعة لأن عليهم مهمة إثبات الأهمية العلاجية من ناحية تحسين تباین الصورة وجودتها. من وجهة النظر العلاجية، فإن الكفاءة التشخيصية العالية لأنظمة أو طرق التصوير الحديثة يتوقع لها أن تؤدي إلى عantages علاجية، في الحقيقة، من الصعب الحصول عليها أو تحقيقها في هذا الوسط التكنولوجي الحديث. أوساط التباین الحديثة يجب أن تربط ما بين أعلى دقة علاجية مع التكلفة المناسبة، والسماحية الجيدة، والتعامل السهل في الأوضاع السريرية أو أماكن العلاج. هذه هي التحديات التي تواجه مطوري أوساط تباین الرنين المغناطيسي الجدد.

الجدول رقم (٩). نظرية عامة على أوساط تباين الرنين المغناطيسي المستخدمة سريريًا وخصائصها الأكثُر أهمية.

اسم المنتج	المكونات الشكلة	تركيز المركب	الغسّر	الدّلالة	الاستقرار الدّماغي في الماء عند 1.0 T	الاستقرار الدّماغي في السّائل العصبي في التّرسيب pH 7	مكونات اضافية في التّرسيب	ملاحظات	Dilute form of Dotarem*
Artarem*	Same as Dotarem	Gd-DOTA 0.0025 mol/l	Gd ³⁺	Arthrography	See Dotarem	250-320	10 ^{15.4} (pH 9-10)	<i>Unspecific</i> water-soluble CM	
Dotarem*	Gadoterate meglumine	Gd-DOTA 0.5 mmol/l	Gd ³⁺	CNS, whole body angiography	R1=3.4 R2=4.3	1350	10 ^{15.8} (pH 9-10)	Citric acid, mannitol	Liver: RES-specific CM dose: 0.075 ml/kg bw=15 μmol Fe/kg bw as infusion
Endorem*	Ferumoxides = Feridex™	11.2 mg Fe/ml	FeO	Focal liver lesions	R1=40 R2=160	340			particle diameter: 160 nm contraindicated in hemosiderosis
Gadovist*	Gadobutrol.	Gd-BT-DOTA 1.0 mol/l	Gd ³⁺	Perfusion, CNS angiography	R1=3.6 R2=5.3	1603	10 ^{15.6}	Na-Ca butrol	<i>Unspecific</i> water-soluble CM double concentration: 50% reduction of volume or injection rate

تابع الجدول رقم (٤).

الاسم السع	المكونات النشطة	تركيز المركب	الغصص	الذئبة	الإسبراد في الماء عند pH7	الasmotic osm/kg H ₂ O	استقرار البلائيوكربون عند pH7	مكونات اضافية في التركيب في عند pH7	ملاحظات
Lument- hance*	Manga- nese chloride tetrahy- drate	MnCl ₂	Mn ²⁺	Gastrointes- tinal tract				Glycine, polygalac- turonic acid, sodium acetate, sodium benzoate, sodium bicarbonate, sugar, xanthane rubber, strawberry flavor	Positive oral MR CM lyophilisate 40 µg Mn ²⁺ /ml dose: 900 ml with 36 mg Mn ²⁺ oral absorption (negligible amount of free Mn) approved in the US
Lumirem* = Ferum- oxsil	Ferum- oxsil	FeO	FeO	Gastrointes- tinal tract oral, rectal		250		E110, E216, E218, ammonium glycy- rrhizinate, sorbitol, saccharin Na, carbox- ymethyl cellulose	Negative oral MR CM 300 – 900 ml administered orally or rectally
Magne- nium* = Gastro- mark™	Gadopen- tate dimeglu- mite	Gd-DTPA 0.5 mol/l	Gd ³⁺	CNS, whole body, angi- ography	R1=3.4 R2=3.8	1940	10 ^{17.7}	0.2% dimeglumine- DTPA	Unspecific water-soluble CM
Magne- vis*	Same as Magnevist 2 mmol/l	Gd-DTPA 0.002 mol/l	Gd ³⁺	Arthrogra- phy		290			Lower concentration
Multic- hance*	Gado- benate dimeglu- mine	Gado- benate 0.5 mol/l	Gd ³⁺ BOPTA 0.5 mol/l	Liver, CNS	R1=4.39 R1=9.7 (blood) R2=6.2	1970	10 ²² (pH 9-10)		Liver: hepatocyte-specific low albumin binding release of benzyl alcohol

تابع الجدول رقم (٤).

اسم المنتج	المكونات الشائعة	التركيب	العنصر	النوع	التركيز	التركيز في الماء عند 1.0 T	التركيز الأسموزية في الماء عند H ₂ O	الاستقرارية عند pH 7	مكثفات انتهاجية في التركيب	ملاحظات
Omni-scan*	Gadodia mide	Gd-DTPA-BMA 0.5 mol/l	Gd ³⁺	CNS, whole body; angiography	R1=3.9 R2=5.1	790	10 ^{14.9}	5% CaNa-DTPA-BMA	Unspecific water-soluble CM	
Optimark*	Gadover-setamide	Gd-DTPA-BMEA 0.5 mol/l	Gd ³⁺	CNS, liver		1110		0.05 mol/l calcium versetamide sodium, CaCl ₂ ,	Unspecific water-soluble CM approved for single-dose administration only (USA)	
Primovist*	Gadodoxate disodium	Gd-EOB-DTPA 0.25 mol/l	Gd ³⁺	Liver	R1=4.7, R2=5.1 (1.5T, water)	690		Caloxetic acid, trisodium, trometamol 11% protein binding dose: 0.1 ml/kg bw caution in liver insufficiency	Liver: hepatocyte-specific dose: 0.1 ml/kg bw caution in liver insufficiency	
Prohance*	Gadoteridol	Gd-HP-DO3A 0.5 mol/l	Gd ³⁺	CNS, whole body; angiography	R1=3.7 R2=4.8 (0.47T)	630	10 ^{17.1}	0.1% Ca-HP-DO3A	Unspecific water-soluble CM	
Resovist*	Ferucarbotran	28 mg FeO Fe/ml	FeO	Focal liver lesions	R1=25.4 R2=151	333		Lactic acid, mannitol, NaOH	Liver: RES-specific CM dose: 0.9 ml (<60 kg), 1.4 ml (>60 kg) as a bolus particle diameter: 60 nm	

تابع الجدول رقم (٩).

اسم المنتج	المكونات المكونات النشطة	التركيز المركب	الغضر الدارجة	الإمتصاصية في الماء عند 1.0 T	الستقرار في التردد الموجي pH 7 H ₂ O	مكونات اضطرابية في التركيب	ملاطفات
Sinerem® = Combi-dex™	Ferumoxtran	210 mg Fe/g hydrophilisate	FeO (Lymph node staining)	R1=25 R2=80-85 (0.47T)	Lymph nodes blood pool agent dose: 2.6 mg Fe/kg bw		
Supravist®		PeO	Angiography, blood pool	R1=15.4 R2=42.9	Blood pool agent expected approval: 2007		
Teslascan®	Mangafodipir trisodium	Mn ²⁺ -DTPA 0.01 mol/L (0.05 mol/L in the US)	Liver	R1=2.3 R2=4.0	Vitamin C, NaCl	Liver hepatocyte-specific CM manganese release and metabolism dose: 0.5 ml/kg bw=5 µmol/kg	
Vasovist®	Gadofosveset trisodium	Gd ³⁺	Angiography	R1=19 R2=17 (blood, 1.5T)	Albumin binding High protein binding expected approval in EU: 2006 (MS-325)		R1=5.2 R2=5.9 (1.5T)

المراجع References

- 1- Bellin M-F, Webb JAW, Der Molen AJ, Thomsen HS, Morcos SK (2005): Safety of MR liver specific contrast media. *Eur Radiol* 15:1607–1614
- 2- Dawson P, Cosgrove DO, Grainger RG (eds) (1999) *Textbook of Contrast Media*. ISIS Medical Media, Oxford
- 3- Earls JP, Bluemke DA (1999) New MR imaging contrast agents. *Magn Reson Imaging Clin North Am* 7:255
- 4- Kirchin MA, Runge VM (2003): Contrast agents for magnetic resonance imaging: safety update. *Top Magn Reson Imaging* 14:403–425
- 5- Reimer P, Vosshenrich R (2004): Contrast agents in MRI. Substance, effects, pharmacology and validity. *Radiologe* 44: 273–283
- 6- Rohrer M, Bauer H, Mintorovitch J, Requardt M, Weinmann H-J (2005): Comparison of magnetic properties of MRI contrast media solutions at different magnetic field strengths. *Investigative Radiology* 40:715-724
- 7- Runge VM (2000) Safety of approved MR contrast media for intravenous injection. *J Magn Reson Imag* 2:205
- 8- Saeed M, Wendland MF, Higgins CB (1998) Blood pool MR contrast agents for cardiovascular imaging. *J Magn Reson Imaging* 12:890-898
- 9- Semelka RC, Helmberger TK (2001) Contrast agents for MR imaging of the liver. *Radiology* 218:27
- 10- Taupitz M, Schmitz S, Hamm B (2003): Superparamagnetic iron oxide particles: current state and future development. *RÖFO* 175:752–765
- 11- Webb JAW, Thomsen HS, Morcos SK (2005) The use of iodinated and gadolinium contrast media during pregnancy and lactation. *Eur Radiol* 15:1234–1240

الفصل الثالث عشر

تشويس أو زيف الرئتين المغناطيسي^١ MR Artifacts

(١٣) التشويس الناجم عن الحركة والجريان (أو التدفق) (ظل أو شبح الصورة)

Motion and Flow Artifacts (Ghosting)

إن تتابعات الرئتين المغناطيسي الكلاسيكي بطيئة، وعادة تحتاج لعدة دقائق للحصول على صورة موزونة بالزمن الأول T1 باستخدام تتابع الصدى المغزلي SE. ولذا نجد أن صور الرئتين المغناطيسي تتأثر بشدة عالية بأي نوع من أنواع الحركة. هناك نوعان من التشويس الحركي شائع الحدوث في صور الرئتين المغناطيسي المعتمد:

- تشويس ناجم عن التنفس وحركة الأمعاء الحوية ونبضات القلب (هذا ما يدعى بالتشويس الحركي التنفس أو القلبي المنشأ).
- تشويس ناجم عن جريان أو تدفق الدم النبضي ضمن الأوعية الدموية وجريان أو دوران السائل الدماغي الشوكي (هذا ما يدعى بالتشويس الحركي التدافي أو الجريان المنشأ).

مشاكل الحركة Motion Artifacts

المشاكل الحركية الناجمة عن التنفس، ونبضات القلب، والحركات المعاوية، تعتبر ظاهرة شائعة في تصوير الرئتين المغناطيسي العادي وحدوثها كان يؤخذ كحججة في الماضي ضد التصوير البطني. المشاكل الحركية تشوّه صورة الرئتين المغناطيسي على هيئة ضباب

أو أشباح تضاف للصورة. الأشباح التي تنشأ نتيجة الحركات القلبية والتنفسية يمكن رؤيتها في صور الرنين المغناطيسي للصدر في صورة ضوضاء خلال القلب والمنطقة الوسطى (المتصف) mediastinum في اتجاه تشفير الطور.

طرق عديدة تم اكتشافها للتخلص من هذه المشاكل:

- يمكن تقليل تأثيرات الحركة التنفسية عن طريق خوارزميات تم تطويرها خصيصاً لذلك (الاستعاضة التنفسية). أبسط صورها هو في اكتساب الصورة أثناء انقضاء التنفس (البوابة التنفسية، بال مقابلة مع البوابة القلبية). هناك تقنيات أكثر تعقيداً تجمع الإشارات خلال كل الدورة التنفسية، ويتم ترتيب الاكتساب بحيث تكون البيانات التي لها أعلى جودة أثناء انتهاء التنفس هي التي تملأ مركز الفراغ k حيث تكون مشاركتها لتبين الصورة أعلى ما يمكن.

- استخدام تتابعات صدى الانحدار GRE سريعة للتصوير أثناء وقف التنفس. كبدائل يمكن اكتساب تتابع من الشرايين أثناء توقف متكرر للتنفس. التصوير بتوقف التنفس يعطي نتائج أفضل من استخدام الخوارزميات التعويضية ولكنه يحتاج لوقت أطول وينفذ فقط مع المرضى الذين يمكنهم المعاونة في ذلك.

- الحركة القلبية يمكن التغلب عليها عن طريق توفيق عملية اكتساب الصورة مع طور معين في الدورة القلبية (البوابة القلبية). يتم ذلك عن طريق تسجيل المخطط الكهربائي للقلب ECG في نفس الوقت، فمثلاً، يمكن بدء بنسنة إثارة الراديو RF مع الموجة R في المخطط الكهربائي للقلب ECG. في هذه الحالة، يكون زمن التكرار TR من الطول مثل عدة فترات R-R.

- المشاكل الحركية الناتجة عن الحركة المعاوية يمكن تقليلها باستخدام عامل مهدئ مثل بيتوتيل سكوبولامين (بوسكوبان) (buscopan) spasmolytic .
- التصوير المتوازي (الفصل العاشر) يقلل أيضاً من المشاكل المتبعة عن الحركة القلبية أو التنفسية أو المعاوية .
- تقنية الملاح أو المستكشف يمكن استخدامها كبدائل عن التصوير بتوقف التنفس. هذه التقنية تحد من مشاكل الحركة التنفسية ويمكن لذلك استخدامها لتصوير القلب أثناء تنفس المريض بحرية .
- مشاكل نبضات الـ CSF تعتبر من الظواهر الخاصة. تعتبر هذه مناطق داخلية ذات شدة إشارة منخفضة والتي يمكن رؤيتها بوضوح في صور الصدی المغزلي SE والصدی المغزلي السريع FSE الموزونة بالزمن الثاني T2 . مشاكل نبضات الـ CSF يمكن منها أو التخلص منها عن طريق استخدام تتابعات الصدی الانحداري GRE .

مشاكل التدفق Flow Artifacts

المشاكل المتعلقة بالتدفق تكون نتيجة تدفق الدم وأيضاً تدفق الـ CSF وتحدث في اتجاه تشفير الطور. هذه المشاكل تكون نتيجة أن المغازل التي تتحرك في اتجاه انحدار المجال المغناطيسي (اختيار الشرحمة، أو تشفير الطور، أو انحدار التشفير الترددية) تتعرض لإزاحة طور (انظر أيضاً تصوير الأوعية بتباين الطور، المقطع ١١، ١، ١). كثيفة لذلك، فإن أي عضو يتحرك في فترةأخذ عينة الطور يتم إعطاؤه قيمة خاطئة للطور ويصور في مكان مختلف على الصورة. مشاكل التدفق تظهر: أشباحاً، بمعنى هيأكل لم تكن موجودة في الحقيقة، مثل وعاء دموي يظهر أكثر من مرة في اتجاه تشفير الطور.

الطرق التالية متاحة لمنع أو تقليل مشاكل التدفق:

- تعويض التدفق أو لحظة تصفير الانحدار (GMN).
يتم استخدام نبضة انحدار خاصة يتم تطبيقها قبل قراءة الإشارة للتعويض عن تغير الطور الحادث مقدماً.
- التشبع المسبق. يتم ذلك عن طريق تشبع الدم في أحد جانبي شريحة التصوير مباشرة قبل الاكتساب الحقيقي للبيانات. الدم المشبع لا يتبع عنه أي مشاكل لأنّه لا يعطي إشارة عندما يدخل في مستوى المسح.
- تبديل محوري لشفير التردد والطور يمكن أن يخدم في إزالة أي مشكلة قد تحدث فقط في اتجاه تشغيل الطور من منطقة الاهتمام في الجسم.

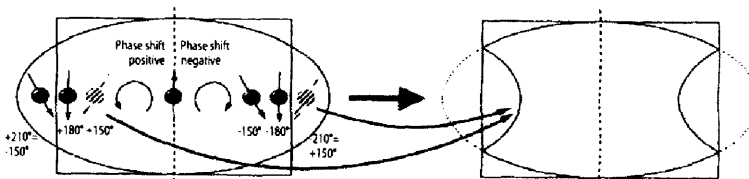
ملاحظة أخرى على التشبع المسبق: إن ظاهرة التشبع كما شرحت في الفصل الثالث والمقطع ١١,١ يمكن استغلالها لإخاد مركبات نسيجية معينة عن طريق الإثارة المتكررة على فترات زمنية قصيرة. النسيج المثار بهذه الطريقة لا يبعث أي إشارة في القياسات التالية لأن المغازل لا يكون لديها الوقت للعودة للسكن بين الإثارات. تستخدم هذه التقنية في تصوير الأوعية بزمن الطيران لإخاد الإشارة من الدم الداخلي للشريحة من اتجاه واحد بينما يستمر الدم الداخلي من الاتجاهات الأخرى في إعطاء إشارة. بهذه الطريقة يمكن للشخص أن يظهر اختيارياً إما الأوردة وإما الشرايين.

(١٣،٢) التفاف الطور Phase Wrapping

مشكلة خطيرة أخرى في تصوير الرنين المغناطيسي العلاجي وهي التفاف الطور (تسمى أيضاً مشكلة التفاف الطور أو طيها)، والتي تحدث نتيجة أخطاء في تشغيل الطور. مشكلة الالتفاف تحدث عندما تكون أبعاد الجسم أو الهدف تزيد عن مجال النظر

المحدد. هذه الأجزاء تلتف ويتم وضعها في غير مكانها في الجانب الآخر من الصورة (الشكل رقم ٥٦).

عند تحديد مجال رؤية FOV معين، فإن ماسح الرنين المغناطيسي يفترض أن كل إزاحات الطور الممكنة من -180° إلى $+180^\circ$ درجة كلها تقع في مجال الرؤية. تحدث المشاكل عندما يتم تشريح الهدف خارج مجال الرؤية في اتجاه تشفير الطور. في هذه الحالة فإن الأجزاء التي في خارج مجال الرؤية يتم إعطاؤها زاوية طور فوق 180° درجة أو تحت -180° درجة. الزاوية $+190^\circ$ مثلاً، تقابل الزاوية -170° درجة. الأهداف التي لها هذه الزوايا يتم إعطاؤها نفس التشفير المكاني ولذلك فإنها تظهر فوق الأهداف الأخرى في صورة الرنين المغناطيسي. الهياكل التي تمتد إلى ما بعد الحد الأيمن ستلتف وتوضع عند الحد الأيسر للصورة والعكس صحيح.



الشكل رقم (٥٦). التفاف الطور. الهياكل التي تقع خارج مجال الرؤية المحدد والتي تأخذ نفس زاوية الطور مثل الهياكل التي بداخل مجال الرؤية يتم وضعها على الأخرى.

هناك عدة خيارات متاحة للتغلب على مشكلة الالتفاف:

يمكن تحديد مجال رؤية كبير يحتوي كل المناطق التشريحية المهمة. إن هذا سيلغي التفاف الطور ولكنه سيكون على حساب التحديد المكاني.

يمكن استبدال اتجاهات تشفير التردد والطور لأن ظاهرة الالتفاف ليست موجودة

في اتجاه تشفير التردد (لأن الترددات العميقة من أحد الاتجاهات يمكن تمييزها بسهولة من الترددات العالية من الاتجاه الآخر). فمثلاً، عند تصوير الصدر أو التجويف، فإن الانحدارات يتم تطبيقها بحيث يكون البعد الأقصر للمريض موجهاً في اتجاه تشفير الطور.

خوارزميات خاصة (ـمنع التفاف الطورـ، ـقمع التفافـ، ـضد التفافـ) تمنع التفاف الطور بأخذ عينات زائدة oversampling في الفراغ k: يتم تكبير مجال الرؤية بحيث لا يكون هناك أي أجزاء تشريحية مهمة محتملة خارجه. هذه البيانات الزائدة التي تم تجميعها يتم تجاهلها أثناء تكوين الصورة. لاحظ، على الرغم من ذلك أن خيارات منع التفاف الطور لا يمكن تضمينها مع بعض تقنيات التصوير الخاصة الأخرى.

يمكن ترتيب الملفات السطحية بطريقة تجعل الهياكل التي ربما تلتف إلى الجانب الآخر تقع خارج مدى الحساسية للملفات الاستقبال وبهذه الطريقة لا تظهر في الصورة.

يعتبر التشبع المسبق (المقطع ٥، ٣) اختياراً آخر لقمع الإشارات من المناطق التي تقع خارج مجال الرؤية المحدد.

(١٣، ٣) الإزاحة الكيميائية Chemical Shift

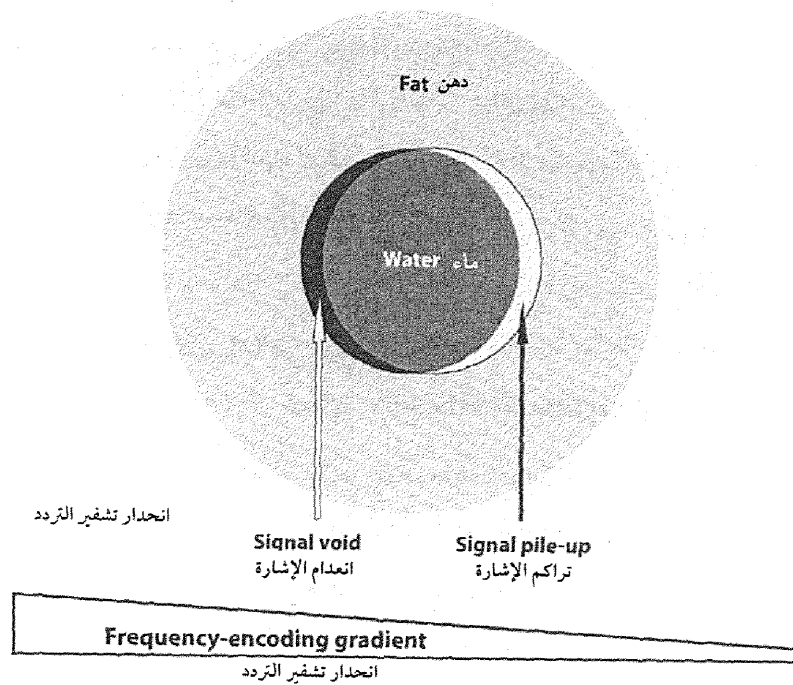
إن مفهوم الإزاحة الكيميائية كما تقدم في الفصل التاسع يصف حقيقة أن التردد الرئيسي للبروتونات يتغير مع الوسط الجزيئي لها. في ماسحات الرنين المغناطيسي التي لها شدة مجال 1.0 T أو أكثر يمكن استغلال هذه الظاهرة للتفرق بين المناطق التي تحتوي والتي لا تحتوي على مركبات دهنية. بالإضافة لذلك، فإن تأثيرات الإزاحة الكيميائية يمكن استخدامها للإختباري نلاشارة من الدهون.

على الجانب الآخر، فإن ظاهرة الإزاحة الكيميائية تُعطى مشاكل متكررة الحدوث في تصوير الرنين المغناطيسي الطبيعي. تحدث مشاكل الإزاحة الكيميائية هذه على أساس آليتين: التسجيل المكاني الخاطئ بين الدهون والماء أو السيلكون والماء (مشاكل إزاحة كيميائية من النوع الأول) وإلغاء الإشارة عند المواجهة أو السطح الفاصل بين الدهون والماء (مشاكل إزاحة كيميائية من النوع الثاني).

مشاكل الإزاحة الكيميائية من النوع الأول

Chemical Shift Artifacts of the First Kind

مشاكل الإزاحة الكيميائية من النوع الأول تحدث عندما نجد بروتونات بترددات سبق مختلفة (دهون، ماء، وسيليكون) في مكان مختلف عن المفروض أن تكون موجودة فيهحقيقة خلال محور تشفيير التردد. يحدث ذلك منحقيقة أن الإشارات من الدهون والماء أو الإشارات من السيليكون والماء يتم وضعها في أماكن خاطئة في اتجاه تشفيير التردد. في التصوير الطبيعي، تحدث مشاكل الإزاحة الكيميائية من النوع الأول عند الواقع التي يتجاور فيها الماء والدهون أو الواقع التي تكون فيها الدهون محاطة بالماء. التوقيع الخاطئ للإزاحة الكيميائية يظهر في صورة شريط داكن (إشارة عالية) على جانب التردد المنخفض (تجمع إشارات) (الشكل رقم ٥٧). أشرطة الإشارة اللامعة يمكن رؤيتها عند ظهور بروتونات بترددات رئينية مختلفة كما لو كانت محورية في نفس وحدة الحجم. مشاكل الإزاحة الكيميائية من النوع الأول تحدث مع كل التتابعات النسبية ويعتمد حجمها على عرض مجال المستقبل وشدة المجال المغناطيسي المستخدم. يمكن تقليلها عن طريق زيادة عرض مجال المستقبل. ومع ذلك، فكما رأينا في الفصل الخامس، فإن كبر عرض المجال سيقلل من نسبة الإشارة للضوضاء SNR. كبدليل، فإن مشاكل الإزاحة الكيميائية من النوع الأول يمكن تقليلها عن طريق تبديل محاور تشفيير التردد والطور أو استخدام تقنية من تقنيات إخماد الدهون.



الشكل رقم (٥٧). مشاكل الإزاحة الكيميائية عند السطح الفاصل بين الماء والدهون. تقييم مكاني خاطئ للدهون بالنسبة لإشارة الماء في اتجاه التشفير الترددي يتبع عنه شريط داكن (انعدام إشارة) على أحد الجوانب وشريط لامع (تراكم إشارة) على الجانب الآخر. اقرأ النص لأي تفاصيل أخرى.

مشاكل الإزاحة الكيميائية من النوع الثاني

Chemical Shift Artifacts of the Second Kind

مشاكل الإزاحة الكيميائية من النوع الثاني تكون مخصوصةً لتصوير صدى الانحدار GRE. الظهور الخاص بها يكون في صورة إطار أسود (انعدام إشارة) عند الحد الفاصل بين الدهون والماء. هذه المشاكل يمكن رؤيتها، مثلاً، عند الحد الفاصل

بين الدهون الكلوية والخلايا الكلوية. إنها تنتج من تأثيرات إلغاء الطور عند اكتساب صور لصدى الانحدار GRE بينها تكون الدهون والماء متعاكسة الطور. يمكن تجنب الإزاحة الكيميائية من النوع الثاني عن طريق استخدام تتابعات الصدى المغزلي SE ويمكن تقليلها في صور صدى الانحدار GRE عن طريق اكتساب البيانات للدهون والماء في نفس الطور.

(٤) القابلية المغناطيسية Magnetic Susceptibility

تعتبر القابلية المغناطيسية خاصية مهمة لكل المواد بما في ذلك الأنسجة الحيوية. إنها تعني قابلية أي مادة لأن تصبح مغنة في وجود مجال مغناطيسي خارجي.

تمثل المعادن قابلية مغناطيسية عالية. هذه الخاصية تصبح مهمة في تصوير الرنين المغناطيسي الطبي عند تصوير مرضى بهم أجسام معدنية غريبة أو مزروعة. هذه المواد يمكن أن تؤدي إلى انعدام الإشارة أو / و تشويه الصورة عند حدود هذه الأجسام مع الأنسجة التي يكون لها قابلية مغناطيسية مختلفة. هذه الظاهرة يطلق عليها مشكلة القابلية. تحدث مشاكل القابلية الأقل وضوحاً عند الحدود الفاصلة بين الأنسجة (مثلاً بين العظام والعضلات) أو الحد الفاصل بين العظام والهواء. الحد الفاصل بين التجويف الأنفي وقاعدة الجمجمة هو مساحة تشريحية خاصة تكون عرضة لمشاكل القابلية. والمواد الأخرى التي قد تسبب مشاكل القابلية هي التراكم الموضعي لهيدروكسي أباتيت الكالسيوم، وتراكم متخلب الجادولينيوم أو جزيئات أكسيد الحديد.

عموماً، إن مشاكل القابلية مع جميع التتابعات النسبية تكون أقل ما يمكن في صور الصدى المغزلي SE لأن نبضة الراديو RF التي طورها ١٨٠ درجة تصحيح من تأثير الزمن T_2^* كما أن تتابعات الصدى المغزلي SE نفسها تكون غير حساسة بدرجة معقولة لعدم التجانس في المجال الثابت. وعلى الجانب الآخر، فإن التأثيرات الظاهرة للقابلية في صور صدى الانحدار GRE يمكن استغلالها للأغراض التشخيصية، مثل

تحديد التزيف البسيط والتكتل. في تصوير الرنين المغناطيسي العلاجي، تقليل مشاكل القابلية يكون منها خاصة عند تصوير مناطق الجسم التي تحتوي على زراعات عظمية. هناك إستراتيجيات عديدة موجودة لتقليل مشاكل القابلية من المعادن المزروعة: استخدام تتابعات الصدى المغزلي SE والصدى المغزلي السريع FSE بدلاً من تتابعات صدى الانحدار GRE، وتبديل محاور تشفيير الطور والتردد، التصوير بعرض مجال أوسع، ضبط المحاور الطولية للمعدن المزروع مع محاور المجال المغناطيسي الأساسية، واستخدام الـ STIR بدلاً من تقنيات التردد الاختياري لإخراج الدهون.

(٥) مشاكل القطع Truncation Artifacts

تسمى مشاكل القطع التطوري أيضاً ringing وجيس Gibb's أو مشاكل التسرب الطيفي وتظهر كنتيجة لاستخدام محول فوريير لتكوين صورة الرنين المغناطيسي. إنها تظهر كخطوط مستقيمة أو شبه دائيرية متوازية مجاورة تماماً لحدود التباين الفاصلة مثل الحدود بين العضلات والدهون أو بين الـ CSF والعمود الفقري. هذه المشاكل تكون أساساً في تصوير العمود الفقري، حيث يمكنها أن تشبه أو تقلد التوسيع في العمود. حيث إن مشاكل القطع تنتج من التقاطع غير المناسب للترددات المكانية العالية، فإن هذه المشاكل يمكن تقليلها عن طريق زيادة المصفوفة في اتجاه تشفيير الطور.

(٦) الزاوية السحرية Magic Angle

إن مشكلة الزاوية السحرية تؤثر أساساً في الهياكل ذات الألياف المتوازية مثل الأوتار والأربطة. هذه الهياكل تميز بشدة بإشارة ضعيفة في معظم التتابعات لأن لها زمن ثاني T2 قصير. يمكن زيادة إشارتها وتقليل أو تشبه مرضياً إذا كان المحور الأساسي للمجال المغناطيسي في اتجاه ٥٥ درجة بالنسبة للألياف.

(١٣,٧) التيارات الدوامية Eddy Currents

تتوارد التيارات الدوامية عند تشغيل ووقف الانحدارات بسرعة. هذه التيارات يمكن حدوثها في المريض، وفي الكابلات أو الأسلاك حول المريض، أو في المغناطيس نفسه. تظهر التيارات الدوامية عن طريق المغناطيس كهبوط في الإشارة في مجال الصورة. هذه المشاكل يمكن تقليلها عن طريق مثالية نبضات تتابعات الانحدار.

(١٣,٨) مشاكل الحجم الجزئي Partial Volume Artifacts

تحدث مشاكل الحجم الجزئي عندما يكون التحديد المكاني محدوداً. ويتم أخذ متوسط شدة الإشارة للأنسجة المختلفة والهيابكل الموجودة في نفس وحدة الحجم. من الممكن أن يتبع عن ذلك إشارة متوسطة عند الحدود الفاصلة بين الأنسجة التي لها شدة إشارات عالية ومنخفضة. مخاطر مشاكل الحجم الجزئي يمكن تقليلها عن طريق زيادة عدد الشرائح المكتسبة في الاتجاه Z.

(١٣,٩) إخماد الدهون غير المتجانس Inhomogeneous Fat Suppression

في وجود مجال مغناطيسي متجانس، فإن الإخماد المنتظم للدهون (التشيع) يمكن تحقيقه عن طريق تطبيق نبضة الراديو RF تكون لها التردد الرئيسي لبروتونات الدهون. على الرغم من ذلك، فإنه في التصوير العلاجي، يكون ذلك نادر الإمكانية لأن بروتونات الدهون تكون موجودة عند ترددات مختلفة نتيجة عدم التجانس الموضعي للمجال، والذي قد يتبع من القرب الشديد للمريض من المغناطيس. وعلى ذلك، فإن إخماد الدهون يكون غير متجانس لأن نبضة الراديو RF التي تم تطبيقها لإخماد الدهون لا يمكن أن تطابق الترددات المختلفة لبروتونات الدهون.

عندما يكون من المحتمل وجود عدم تجانس معقول في المجال المغناطيسي، مثلاً، في المرضى الذين لديهم أجسام معدنية غريبة، فإنه يجب اعتبار استخدام تتابع STIR لإخاد الدهون لأنّه من المحتمل أن يؤدي إلى نتائج أفضل في مثل هذه الحالات بالمقارنة بتقنيات التشبع المسبق المزوجة مع تتابعات الصدى المغزلي SE و الصدى المغزلي السريع FSE أو صدى الانحدار GRE.

Zipper Artifacts (١٠، ١٣) مشاكل المترافق

تشبه مشكلة المترافق خطأً من البكسلات التي تردد بين اللون الغامق والفاتح يمتد خلال الصورة في اتجاه تغير الطور أو التردد. مشاكل المترافق في اتجاه تغير الطور تتبع من ضوضاء في ترددات الراديو. هذه الضوضاء من الممكن أن تنشأ من مصدر خارجي قد يصل إلى المستقبل، مثلاً، نتيجة عدم الإغلاق التام لباب حجرة الماسح. سبب آخر هو انبعاث RF من جهاز مراقبة التخدير مثل قياس الأوكسيجين النبضي المستخدم في حجرة الماسح. مشاكل المترافق في اتجاه تغير التردد تكون عادة نتيجة الاختيار غير التام لإطار الشريحة أو الإرسال غير المضبوط لنسبات الراديو RF.

(١١، ١٣) مشاكل الخطوط المشابكة أو عظمة السمكة

Crisscross or Herringbone Artifacts

إن مشاكل الخطوط المشابكة أو عظمة السمكة تحدث نتيجة خطأ في معالجة البيانات أو تكوين الصورة. إنها تميز بشرط مائل يمكن رؤيته خلال الصورة كلها. هذه المشاكل يمكن التخلص منها عادة عن طريق إعادة تكوين الصورة مرة أخرى.

المراجع References

- 1- Peh WC, Chan JH (2001). Artifacts in musculoskeletal magnetic resonance imaging: identification and correction. *Skeletal Radiol* 30:179–191
- 2- Wood ML, Henkelmann WR (1999) Artifacts. In: Stark DD, Bradley WG (eds) *Magnetic Resonance Imaging*, 3rd edn. Mosby, St. Louis, p 215

الفصل الرابع عشر

تصوير الرنين المغناطيسي في الأكلينيكي ذو المجال العالٰي High Field Clinical MR Imaging

لقد حدثت تطورات مثيرة وملحوظة في تصوير الرنين المغناطيسي الطبي في السنوات الأخيرة. تتراوح شدة المجال المغناطيسي المستخدمة في التصوير الطبي الإكلينيكي العادي من ١٠، ٢٠ حتى ٥٠ T. على مدى السنين الأخيرة، أصبح من الشائع استخدام المجالات ذات الشدة العالية في هذه الأنظمة، وخاصة في مراكز البحث. وفي نفس الوقت، إزداد أيضاً الاهتمام بالتصوير الطبي باستخدام شدة مجال ٣T. إن البيانات المتاحة توحّي بأن المجالات المغناطيسية فوق ٢T ليس لها أي أضرار على المرضى. أقصى شدة مجال معتمدة من هيئة الدواء والطعام الأمريكية FDA للتطبيقات الإكلينيكية العادية هي ٤T. تتركز الاهتمامات السريرية الحالية على المساحات ذات الشدة ٣T على الرغم من أنه من المؤكد إمكانية استخدام مجالات ذات شدة أعلى لفحص المرضى في المستقبل. وفي إطار الدراسات العلمية، فإنه بالفعل قد تم استخدام ماسحات رنين مغناطيسي تعمل عند ٧T على الإنسان.

لا تختلف ماكينات التصوير ذات الشدة ٣T المتاحة تجاريًا هذه الأيام عن نظيرتها ذات الشدة ١.٥T من حيث التركيب. كل هذه المساحات مثلها مثل أنظمة تصوير الرنين المغناطيسي التي تعمل عند شدة مجال ١.٥T أو حتى الأقل شدة.

من أقوى الحجج التي تفضل الانتقال إلى المجالات ذات الشدة العالية هي الزيادة في نسبة الإشارة للضوضاء SNR والتي تزيد تقريرياً مع زيادة شدة المجال.

نظرياً، فإن نسبة الإشارة للضوباء SNR تتضاعف عند شدة المجال 3T بالمقارنة عند الشدة 1.5T. التحسن في نسبة الإشارة للضوباء SNR التي يتم الحصول عليها في المساحات ذات المجال العالى يمكن استخدامها لتحسين التباين المكانى أو تقليل زمن التصوير. إن التباين المكانى المحسن والذي من الممكن أن يسمح بتقييم تشريحى أفضل لا يعرض حتى الآن بطريقة كافية فى حال التصوير بالرنين المغناطيسي. على الجانب الآخر، فإن قصر زمن المسح سيسمح لأنظمة مسح الرنين المغناطيسي بأن تعمل بطريقة أكثر اقتصادية حيث يمكن فحص مرضى أكثر. في النهاية، فإن التصوير عند شدة مجال 3T أو حتى أعلى ستؤدى بقوة لتحسين التطبيقات الأكثر تطوراً أو الأكثر تعقيداً للتصوير بالرنين المغناطيسي مثل التصوير الوظيفي (التصوير الطيفي spectroscopy أو التصوير بالرش وغير ذلك).

الخلاصة هي أن تصوير الرنين المغناطيسي بال المجالات العالية له ميزاته وعيوبه التي يجب أن يكون المستخدم على دراية بها عندما ينتقل إلى مثل هذه التقنية الجديدة.

(١٤) تباين الأنسجة Tissue Contrast

إن شدة المجال العالية تغير من أزمنة التراخي T1 و T2 للأنسجة البيولوجية. الزمن الأول T1 يكون في العادة أطول عند شدة المجال 3T بالمقارنة بالشدة 1.5T بينما يكون الزمن الثاني T2 أقصر. إن ذلك يعني أنه لابد من ضبط أزمنة التكرار TRs وأزمنة الصدى TEs لتابعات النبضات المختلفة عند الرغبة في استخدامها في المساحات ذات الشدة 3T. بالنسبة لتابعات صدى المغازل وتابعات صدى المغازل السريع، فإنه يكون هناك حاجة لزمن تكرار TR أطول عند الشدة 3T للحصول على تباين مماثل كما في حال الشدة 1.5T. على العكس من ذلك، فإن زمن الصدى TE يجب أن يكون إلى حد ما أقصر من أجل تعويض الطول في أزمنة التراخي T1 عند شدة المجال 3T.

(٤، ٢) القابلية المغناطيسية Magnetic Susceptibility

إن تأثيرات القابلية (المقطع ٤، ٣) تزداد طردياً مع شدة مجال المغناطيس. كتيبة ذلك، فإن تشويه الصورة من الممكن أن يزداد مما يقلل من جودة الصورة بالذات عند استخدام تتابعات انحدار الصدى GRE. وعلى العكس من ذلك، فإن تأثيرات القابلية الأقوى من الممكن أن تكون لها ميزات ذات علاقة بتقنيات أخرى للرنين المغناطيسي مثل التصوير بالرش (المقطع ٤، ١) حيث تشارك في تبأين الصورة.

(٤، ٣) الإزاحة الكيميائية Chemical Shift

تزاد الإزاحة الكيميائية باهرتز Hz طردياً مع شدة المجال المغناطيسي. إن الإزاحة الكيميائية الأكبر تكون لها ميزات في التصوير الطيفي حيث تكون خطوط الطيف أكثر انتشاراً أو اتساعاً. إن هذا يحسن التباين الطيفي وتميّز القمم الخاصة بالماء والدهون، مما يؤدّي بدوره إلى ضبط أفضل لنسبة الاختيار التردد RF لإنحدار الدهون. ويمكن تنفيذ التصوير الطيفي بالرنين المغناطيسي عند شدة مجال 3T بأحجام مسح أصغر، ومن ثم تقليل التلوث أو الإفساد للطيف القادم من خارج مساحة الاهتمام.

(٤، ٤) امتصاص ترددات الراديو Radiofrequency (RF) Absorption

إن كمية الطاقة التي يتم امتصاصها في الجسم عن طريق مجال ترددات الراديو RF تتناسب طردياً مع مربع شدة هذا المجال ولذلك تكون مؤثرة بدرجة كبيرة للمساحات ذات المجالات العالية الشدة. لذلك يمكن الوصول لحد التشبع لامتصاص الطاقة في الجسم (أساساً تكون في صورة حرارة) بسهولة، والذى يحدد بمعدل الامتصاص النوعي (specific absorption rate SAR). إن هذا سيحد من أزمنة المسح التي تكون معقولة نظرياً في المساحات ذات المجال العالى حيث لابد من إبطاء تتابع النبضات

الممكنة لمنع السخونة الزائدة. هذه القيود يجب أن توضع نصب أعيننا عند استخدام تتابعات مكيفة بدقة للشدة 1.5 T مع الماسحات ذات الشدة 3T. بالتحديد، فإن أربع مرات من طاقة ترددات الراديو RF يجب تطبيقها لكل وحدة زمنية للحصول على نفس زاوية الانقلاب عند الشدة 3T مثل عند الشدة 1.5T. إن أي تتابع له عرض نبضة ومقدار نبضة محددان بدقة بحيث تكون الطاقة الممتصة تماماً تحت حد التشبع معدل الامتصاص النوعي SAR عند الشدة 1.5T ستخطى الحد الأعلى عند الشدة 3T. إن هذا سيقى من استخدام التتابعات التي لها حدود تشبع معدل الامتصاص النوعي SAR عالية مثل تتابعات الصدى المغزلي SE و الصدى المغزلي السريع FSE.

هناك إستراتيجيات مختلفة متاحة لتقليل حد التشبع الكلى لمعدل الامتصاص النوعي SAR. طريقة واحدة هي باستخدام تتابع من زوايا إنقلاب مختلفة (VFA) variable flip angle، والتي تختلف في كل من حجمها والتباين الزمني بينها. هذه الطريقة VFA تكون مصحوبة بعرض أقل للطاقة لأن الفترة القصيرة بين نبضتي التركيز تقلل من الزمن الكلى للمسح بينما تبقى إشارة الرنين المغناطيسي الناتجة كما هي. وتقنية أخرى واحدة هي التصوير المتوازي (الفصل العاشر)، والتي تقلل طاقة ترددات الراديو RF الممتصة عن طريق تطبيق نبضات تركيز أقل لكل تتابع صدى بينما يتم الحفاظ على زمن الصدى ثابتاً.

الفصل (الثامن عشر)

التأثيرات البيولوجية والأمان Bioeffects and Safety

إن المجال المغناطيسي الأستاتيكي لاسع الرنين المغناطيسي من الممكن أن يكون قوياً جداً حيث تتراوح شدة المجال ما بين ١٥٠٠٠٠ T حتى ٤ T (٤٠٠٠٠ جاوس). مثل هذه المجالات القوية تحمل أخطاراً لكل من المرضى والعاملين. وتشير تلك الخطورة الشديدة من المواد الفرومغناطيسية والتي قد تتحول إلى أسلحة خطيرة عند اقترابها من هذا المغناطيس.

معظم التركيبات (الزراعات) الحيوية المستخدمة هذه الأيام يمكن مسحها بأمان عند شدة مجال تصل إلى 4T. المكونات المعدنية المستخدمة في الكثير من التركيبات المزروعة يمكنها أن تؤدي إلى مشاكل في صورة الرنين المغناطيسي ولكن المعدن المستخدمة هذه الأيام تكون غير مغناطيسية وفي الغالب لا تكون هناك حاجة لخلعها أو إزاحتها عند تعريضها لمجال مغناطيسي لاسع رنين مغناطيسي طبي. إن هذا يسري بالخصوص على معظم تركيبات (مزروعات) العظام (بما في ذلك جراحات وترقيعات الفخذ) والتي مع معظم زراعات الجراحات العصبية مثل التحويلات، والصارفات، والأنبيب، والشرائح، كلها لم تعد تمثل عائقاً للتصوير بالرنين المغناطيسي. مازال ينصح بالحذر مع المرضى الذين معهم مشابك الأوعية المخية. هنا، يجب تحقيق الملاءمة الجيدة للرنين المغناطيسي في كل حالة على الرغم من أن معظم المشابك المستخدمة هذه الأيام لعلاج الجمجمة تكون ملائمة للرنين المغناطيسي. كل المشابك المستخدمة

لإيقاف التزيف في الأوعية المحيطة تكون آمنة. معظم صمامات القلب المزروعة هذه الأيام تكون ملائمة للرنين المغناطيسي ونكرر مرة أخرى أن هذا يجب أن يوطرد مع كل حالة على حدة.

ما تزال منظمات ضربات القلب تمثل عائقاً للتصوير بالرنين المغناطيسي لأنها تحتوي على عدد من المكونات الإلكترونية الحساسة والتي من الممكن أن تعطل وظيفتها أثناء المسح. إلكترودات المنظم تمثل بشكل هوائي ممتاز لاستقبال طاقة الراديو RF، والتي قد تؤدي إلى أزمة قلبية. وعلاوة على ذلك، فإن الإلكترودات يمكنها أن تسخن وتتسبب في حروق أو تخثر في الأوعية الدموية. إن هذا يسري أيضاً على معظم المرضى الذين لديهم منظمات مؤقتة. وعلى العكس من ذلك، فإن المرضى الذين لديهم جهاز عضمة الصدر cerclage يمكن تصويرهم بدون أي مشاكل. يجب عدم إجراء تصوير رنين مغناطيسي للمرضى الذين لديهم دعامات في الشريان التاجي حتى بعد مرور ستة أسابيع على الأقل بعد العملية. نظرياً، فإن كل الدعامات الشريانية والأوعية المحيطة المستخدمة حالياً تكون ملائمة للتصوير المغناطيسي. وعلى الرغم من ذلك، فإنه يوصى دائمًا بالفحص والاختبار قبل إجراء التصوير بالرنين المغناطيسي.

حتى وقت طباعة الكتاب، فإن المسح للمرضى الذين لديهم مانع لخفقان القلب داخلي أو أجهزة مساعدة للبطين الأيسر يكون منوعاً. المؤثرات العصبية والزراعات الأذنية يمكن اعتبارها أيضاً منوعة.

بالنظر للمخاطر التي تم ذكرها سابقاً، فإنه يتضح ضرورة الحصول على تاريخ شامل للمريض قبل الفحص بالتصوير المغناطيسي للتحديد بدقة لأي من هذه الموانع. تستخدم معظم المراكز استطلاعاً قياسياً للرأي للحصول على المعلومات عن المزروعات والأهداف الأخرى التي قد تتعارض مع الرنين المغناطيسي. في معظم الأحوال، يتم إجراء هذا الاستطلاع شفرياً عن طريق مقابلة المريض.

ينصح بتوخي الحذر أيضاً، في حالة المرضى الذين لديهم شرائط معدنية مطمورة أو حتى رصاصات. كقاعدة عامة، فإن المخاطر المتوقعة من هذه الأجسام الغريبة تعتمد على موقعها التشريحي في الجسم وعلى إذا ما كانت هذه المواد فرومغناطيسية أم لا. من الممكن أن تكون الشظايا الفرومغناطيسية خطيرة عندما توجد في مكان حرج أو حساس مثل العين، حيث من الممكن أن تدمر العصب البصري إذا تحركت أثناء المسح. إذا كان الموقف غير واضح، فإنه يجب عمل أشعة X قبل الفحص بتصوير الرنين المغناطيسي. أماكن حرجة أخرى للشظايا الفرومغناطيسية هي المخ، والعمود الفقري، والرئتين، والأعضاء البطنية. الأجسام الغريبة في الأجزاء التشريحية الأخرى تكون آمنة ويمكن عمل مسح لها. سياستنا يجب أن تكون ملاحظة هؤلاء المرضى بعناية أكثر وسؤالهم بأن يخبرونا بأي إحساس غير عادي، خاصة أثناء تحركهم داخل قطر المغناطيس. الأسنان الصناعية تحتوي عادة على شظايا من مواد فرمغناطيسية ولذلك يجب أن يطلب من المرضى نزع هذه الأسنان، لأنها قد تسبب مشاكل في صور الرنين المغناطيسي وليس بسبب أي خطورة قد تسببها تلك الأسنان.

قد تحدث مشاكل مع المرضى الذين لديهم وشم كبير، حيث قد تسبب عرضياً أو صدفة في حدوث حروق. يوصى هنا بالللاحظة والعرض الخاص. وجد أيضاً أن الأسلحة الثاقبة تسبب حروقاً ويجب نزعها قبل المسح.

موضوع أمان آخر يجب اعتباره وهو التعرض للمجالات المغناطيسية المتغيرة المترولة من ملفات الانحدار، بعض الاعتبارات تم إعلانها وهي أن هذه المجالات يمكن أن تتدخل مع التوصيلات القلبية ومن ثم تسبب أزمة قلبية. مثل هذا التأثير لم يتم ملاحظته مع شدة التدرج المستخدم في تصوير الرنين المغناطيسي الإكلينيكي في الوقت الحاضر. وعلى الرغم من ذلك، فإن أصوات عشوائية أو هلوسة ضوئية مثل الوميض الضوئي تم إرجاعها إلى هذه المجالات المترددة وهناك دلائل على أن مجردين للتوصير بالرنين المغناطيسي ببعض المجالات أقوى بكثير وتدرجات أسرع قد أثارت الأعصاب المحيطة (خاصة عند إجراء التصوير بمستوى الصدى، المقطع ٨، ٥).

هناك خلاف مستمر حول قوة تأثيرات الضرر الصحي للمجالات المغناطيسية المتغيرة على الأجنة. من المعروف أن الخلايا وهي في مرحلة الانقسام (كما في أثناء الثلاثة أشهر الأولى من الحمل) تكون حساسة للتأثيرات الفيزيائية المختلفة. وهذا هو السبب في أنه لماذا يجب أن يؤخر تصوير الرنين المغناطيسي للأجنة المتطورة حتى بعد الفصل الأول أو الثلاثة أشهر الأولى.

إن حمى الخوف من الأماكن المغلقة تمنع العديد من المرضى من إجراء فحص بالرنين المغناطيسي. يبحث يحدث قلق نفسي أو خوف للعديد من المرضى من حجم أجهزة الرنين المغناطيسي الهائلة. إن إتمام فحص الرنين المغناطيسي حتى في وجود الخوف الفردي من الأماكن المغلقة يعتمد بدرجة كبيرة على ما إذا كان الموظف أو العامل، وفي أثناء إعداد المريض للفحص، يمكن أن يهدد هذه التخوفات من خلال العناية الجيدة والمعلومات الدقيقة عن مظهر ماسح الرنين المغناطيسي. من الأمور الأخرى التي تسهل عملية مسح الرنين المغناطيسي الأدوية المسكنة، المرايا التي توضع في خلال الماسح، أو زجاج مرايا يسمح للمريض برؤية العالم الخارجي. في هذه الأيام، تتوافر الماسحات ذات القطر المفتوح بفتحة ثانية رئيسية أو أفقيّة كبدائل إضافي لتصوير المرضى الذين يعانون من الخوف من الأماكن المغلقة.

المراجع References

- 1- Hilfiker PR, Weishaupt D, Debatin JF (2002) Intravascular implants: Safety and artifacts. In: Arlart IP, Bongartz GM, Marchal G (eds) Magnetic resonance angiography, 2nd edn. Springer, Heidelberg Berlin, p 454
- 2- Edwards MB, Taylor KM, Shellock FG (2000) Prosthetic heart valves: Evaluation of magnetic field interactions, heating, and artifacts at 1.5 T. *J Magn Reson Imag* 12:363
- 3- Shellock FG (2003) Reference manual for magnetic resonance safety: 2003 edition. Amirsyst, Salt Lake City
- 4- Elster AD, Link KA, Carr JJ (1994) Patient screening prior to MR imaging: A practical approach synthesized from protocols at 15 U.S. medical centers. *Am J Radiol* 162:195
- 5- Quirk ME, Letendre AJ, Ciottone RA, Lingley JF (1989) Anxiety in patients undergoing MR imaging. *Radiology* 170:463

مسود المُصطلحات

Glossary

السهم → يدل على وجود كلمات أخرى متعلقة بالموضوع في قائمة المعاني.

الاكتساب ثلاثي الأبعاد 3D Acquisition

تقنية في التصوير الحجمي بدلاً من اكتساب شرائح منفردة. يتم عن طريق إجراء تشفير للطور → في التماهين (تشفيير طور وتدرج في اختيار الشرححة). الميزات: نسبة إشارة لضوضاء → عالية، شرائح رقيقة جداً يمكن الحصول عليها ، بيانات خام ممتازة للتشكيل الثاني، و . → 3D MRA

تصوير الأوعية ثلاثي الأبعاد 3D MRA

يعتمد تصوير الأوعية على اكتساب أو تجميع البيانات ثلاثة الأبعاد. نموذجياً، يتم اكتساب حجم في أثناء مسك التنفس لمرة واحدة. التصوير الثلاثي للأوعية أصبح تقنية قياسية من تقنيات الرنين المغناطيسي لتصوير الأوعية.

معامل التعجيل Acceleration factor

في التصوير المتوازي، هو المعامل الذي تقل به خطوات تشغيل الطور. معامل التعجيل يمكن أن يتراوح من $1, 0$ (لا يوجد تعجيل) حتى $0, 3 - 0, 4$ تقريرًا.

الحماية النشطة Active shielding

تقنية تحتواء أهداب أو المجالات الفرعية لمغناطيس الرنين المغناطيسي. يتكون المغناطيس ذو الحماية النشطة من مجموعة من ملفين، ملف داخلي لتوليد المجال المغناطيسي وملف خارجي ليوفر طرق عودة لخطوط المجال المغناطيسي.

التعرج Aliasing

دوران الزاوية (الطور) →

$$\mathbf{B}_0$$

المجال المغناطيسي الأستاتيكي الخارجي لمسح الرنين المغناطيسي. شدة المجال في الرنين المغناطيسي الإكلينيكي يتراوح من 0.64 tesla $3 - 0, 8T$ (وحتى $8T$ في تطبيقات التجارب).

تأثير الدم الأسود Black blood effect

فقد إشارة الدم المتدايق تتم رؤيتها على صور مغازل الصدى كنتيجة للطول المعمول في أزمنة الصدى والتي في أثنائها يترك الدم المثار مستوى المسح وإعادة الطور غير المعكوس بسبب الاتحدارات المختلفة.

النقاط المضيئة (الومضات) Blips

→ Echo planner imaging صدى المستوى قمم تشغيل الطور في تصوير

معامل تباين بركة الدم Blood pool contrast agent

مركبات ذات وزن جزيئي عالي أو معاملات خاصة لها زمنبقاء عالي في الأوعية الدموية، والتي تنتج من حقيقة أن كبر حجمها الجزيئي يمنع أو يبطئ الانتشار الغشائي خلال جدران الشعيرات. ويسمى أيضاً معامل التباين داخل الأوعية.

الازدهار (الإزهار) Blooming

الفقد في الإشارة الذي تتم ملاحظته عند الحد الفاصل بين الكالسيوم والأنسجة على صور الـ GRE. الازدهار أو الإزهار هو تأثير لزمن T_2^* .

ملف الجسم Body coil

ملف ترددات الراديو RF المتكمال لمسح الرنين المغناطيسي.

البركة المربوطة Bound pool

بروتونات المربوطة → Bound protons

البروتونات المربوطة Bound protons

هي بروتونات الماء التي لا تتحرك بحرية في النسيج. إنها جزيئات دقيقة من بروتونات الماء المرتبطة بالهدرجة. بروتونات الماء المندمج أو المرتبطة تكون محدودة في

حركتها ولذلك فإنها تتبادل طاقة أقل مع الوسط المحيط بها (الزمن الأول T^1 طويل) بينما يرفع هيكلها الثابت من التبادل بين بعضها (الزمن الثاني T^2 قصير جداً أقل من $1, msec$). وهذا هو السبب في أن البروتونات المغناطيسية لا تشارك في إشارة الرنين المغناطيسي. البروتونات الحرة \rightarrow Free protons \rightarrow إنتقال المغناطيسة \rightarrow transfer

B value B القيمة

تدل القيمة B على مدى حساسية تتبع لتأثيرات الانتشار ولذلك فإنها تمثل قياساً للفقد المتوقع في الإشارة عند ثابت انتشار معين. إنها تحدد، مع أشياء أخرى، بشدة وتزامن نبضات الانحدار لازدواج انحدار الانتشار ونبضة العكس الذي يجعل التتابع حساساً لتأثيرات الانتشار.

ترتيب الفراغ k المركزي Centric k-space ordering

حالة من حالات تجميع البيانات والتي فيها لا يتم ملء الفراغ k بطريقة خطية ولكن من المركز وفي اتجاه المحيط باستخدام مسار حلزوني (التطبيق التجاري لهذه التقنية هو CENTRA أو الترتيب المنحني المركزي للفراغ k).

الإزاحة الكيميائية Chemical shift

إنها تشرح حقيقة أن التردد الرئيسي للبروتونات يتغير مع الوسط الجزيئي. الأهمية القصوى للإزاحة الكيميائية في تصوير الرنين المغناطيسي الإكلينيكي تكون بين بروتونات الماء والدهون. كنتيجة للإزاحة الكيميائية، فإن بروتونات الدهون والماء التي تتوارد معاً في نفس وحدة الحجم يمكن أن تكون في نفس الطور، بمعنى أن متوجه

المغذطة العمودي لكل منها يجمع مع بعضها، أو في طور عكسي بمعنى أن متوجه المغذطة لها يكون في اتجاهين متضادين. هذه الظاهرة يمكن استخدامها للتفريق بين الأنسجة الدهنية (انخفاض في الإشارة في الصور المكتسبة بينما الماء والدهون في طور عكسي) من الأنسجة الأخرى (لا يوجد فقد في الإشارة في صور الطور العكسي).

مشاكل الإزاحة الكيميائية Chemical shift artifact

خطأ في التحديد المكانى بين إشارة الدهون والماء في اتجاه التشفير الترددى تسمى رؤيته كأشرتة بيضاء أو داكنة عند الواقع التي تتجاوز فيها الدهون والماء بجانب بعضهما (مشاكل الإزاحة الكيميائية من النوع الأول). مشاكل الإزاحة الكيميائية من النوع الثانى تظهر بوضوح فقد في الإشارة الناتج من تأثير إلغاء الطور في صور صدى الانحدار GRE التي يتم الحصول عليها عندما تكون الدهون والماء في تضاد طوري.

الملف Coil

مكون من مكونات ماسح الرنين المغناطيسى يستخدم لإرسال نبضات ترددات الراديو RF و/أو يستقبل إشارات الرنين المغناطيسى.

مصفوفة الملفات Coil array

ترتيبه من عدة ملفات سطحية موضوعة بجوار بعضها للتجمیع المتزامن للإشارة في التصوير المتسارع.

نسبة التباين للضوضاء (CNR)

مقاييس لمقدمة التفریق بين هيكلين تشريحين متقاربين في صور الرنين المغناطيسى اعتماداً على شدة إشارتهما بالنسبة لضوضاء الصورة.

مشاكل تشابك الخطوط Crisscross artifacts

تسمى أيضاً مشاكل عظمة سملة الرنكة. وهي مشاكل تحدث بسبب معالجة البيانات أو خطأ تركيب. يمكن التخلص منها في العادة عن طريق إعادة تكوين الصورة.

التداخل Cross talk

تداخل ينتج من الإثارة غير المتوقعة للشريان المجاورة التي تتدخل عند حوافرها نتيجة الإطار غير الكامل وغير المستطيل للشريحة.

تقنية ديكسون Dixon technique

تقنية تصوير بالرنين المغناطيسي لإعادة تركيب صور الدهون والماء اعتدالاً على الإزاحة الكيميائية → بين الدهون والماء.

بوابة راسم القلب الكهربائي ECG gating

تقنية تصوير بالرنين المغناطيسي التي تكتسب بيانات أثناء طور معين فقط من كل دورة قلبية (مثلا الانقباض أو الانبساط) (البوابة gating →).

تصوير مستوى الصدى Echo planar imaging (EPI)

تقنية انحدار صدى تستخدم انحدار التشفير الترددى → الفائق السرعة لتوليد تتابع يصل إلى ١٢٨ انحدار صدى. لذلك فإن تصوير مستوى الصدى EPI ينشط اكتساب صورة واحدة في أقل من ١٠٠ ملي ثانية.

Echo time (TE)

الفترة الزمنية بين إثارة النظام المغزلي وتجميع إشارة الرنين المغناطيسي. زمن الصدى يكون هو السائد في تحديد كمية تبادل الزمن الثاني T2 للصورة الناتجة.

Echo train length (ETL)

عدد عينات الصدى في كل زمن تكرار TR عند استخدام تتابع صدى مغزلي سريع → .

Eddy currents

تيارات كهربية تنتج عندما يتم فتح وقفل الانحدار. هذه التيارات تسبب انخفاضاً في الإشارة في مدى صورة الرنين المغناطيسي.

Effective echo time

في تتابع الصدى المغزلي السريع FSE، هو الزمن بين نبضة الإثارة والزمن الذي يحدد أساساً تبادل الزمن الثاني T2 لأنّه يتبع أقوى إشارة.

EPI

تصوير مستوى الصدى → Echo planar imaging

Ernst angle

زاوية الانقلاب flip angle → التي تتولد عندها أقصى إشارة عند زمن TE و زمن TR معين .

زاوية الإثارة Excitation angle

زاوية الانقلاب → .

التعويذة أو الرقية Exorcist

خوارزم تعويذة يتم تطبيقه لتقليل الشبح Ghosting → الناتج عن التنفس، من هنا تمت له تسمية التعويذة.

معامل تباين خارج الخلية Extracellular contrast agent

مركب يذوب في الماء، ذو وزن جزيئي خفيف يكون له توزيع في فراغات الأوعية والفراغات الفاصلة في الجسم بعد حقنة. معظم معاملات التباين لصور الرنين المغناطيسي في الاستخدامات الإكلينيكية هذه الأيام تتبع مجموعة مركبات الجادولين (III).

تابع الصدى المغزلي السريع Fast spin echo sequence (FSE)

تابع الصدى المغزلي → يسير بسرعة غير عادية ، يعرف أيضاً بالصدى المغزلي التوربيني أو RARE. هذه التقنية تقصّر زمن المسح عن طريق توليد حتى ١٦ صدى مع تتابع من نبضات بزاوية طور ١٨٠ درجة. تتابعات الصدى المغزلي السريع FSE لها نفس جودة الصورة مثل تتابعات الصدى العادية وتكون سريعة تقريباً مثل سرعة تتابعات صدى الانحدار GRE.

التشبع السريع Fast saturation

(تشبع الدهون Fat sat ، وإخماد الدهون fat suppression) هي تقنيات متاحة لإلغاء الإشارة من الأنسجة الدهنية. إحدى تقنيات إخماد الدهون تستخدم نبضة تردد

راديو RF يتم إزاحة ترددتها ٢٢٠ هرتز (عند ١,٥ T) حيث تشيع انتقائيا بروتونات الدهون (تشيع الدهون الاختياري أو الانتقائي). بطريقة أخرى، يمكن تحقيق إخماد الدهون عن طريق استخدام إزاحة كيميائية → بين الدهون والماء أو عن طريق استخدام تتابع STIR.

الفرّ ومغناطيسية Ferromagnetism

خاصية من خواص المواد ، مثل الحديد ، تكون دائمة المغناطة . المواد القابلة للمغناطة يمكن أن تشوّه المجال المغناطيسي تشوّهاً واضحاً وتسبّب فقداً كبيراً في إشارة صور الرنين المغناطيسي .

FFE

صدى المجال السريع Fast field echo ، تتابع الصدى الانحداري → .

مجال الرؤية (FOV) Field of view (FOV)

المساحة التشريحية التي تتم تغطيتها في الصورة. مجال الرؤية يكون عادة مربعاً، على الرغم من أن مجال الرؤية المربع → يمكن اختياره لتقليل زمن المسح. مجال الرؤية الصغير يحسن من التباين المكاني للصورة ولكن يقلل من نسبة الإشارة للضوضاء → .

FLAIR

(الاستعادة المعكوسة للسوائل المخمدة Fluid attenuated inversion recovery) شكل آخر لتابع الاستعادة المعكوسة الذي يعتمد على تتابع صدى سريع

ويستخدم زمن عكس طويل جداً. هذا التابع يستخدم أساساً في التصوير الإشعاعي للأعصاب لأنّه يحمد تماماً الإشارة من السائل المخي ولذلك يحسن من اكتشاف المناطق المريضة التي يكون من أصعب تفريقيها من أنسجة المخ المحيطة.

زاوية الانقلاب *Flip angle*

(زاوية الإثارة، أو زاوية النسبة). هي الزاوية التي تنحرف بها المغнطة عند إثارة النظام المغزلي بنبضة راديو RF. يمكن تغيير الزاوية بحرية عن طريق تغيير شدة وزمن نبضة الإثارة المطبقة. زاوية الانقلاب التي مقدارها ٩٠ درجة تتسبب في انحراف كل المغнطة الطولية (Mz) إلى المستوى العمودي (المستوى xy). تكون الزاوية دائمة ٩٠ درجة في تتابع الصدى المغزلي → بينما يمكن اكتساب تتابع الصدى الانحداري → بزوايا انقلاب مختلفة، مثلاً ٣٠ درجة. زاوية الانقلاب تحدد كمية وزن الزمن T1 في صورة الرنين المغناطيسي.

محول فوريير *Fourier transform*

عملية حسابية تحتاج إليها لإعادة تشكيل صور الرنين المغناطيسي من البيانات الخام. يحمل محول فوريير إشارة الرنين المغناطيسي المقاسة إلى تردداتها الطيفي. في صور الرنين المغناطيسي الطيبة، يتم استخدام محول فوريير ثانوي الأبعاد وثلاثي الأبعاد (2D FT, 3D FT) لإعادة تشكيل الصور.

FOV

مجال الرؤية → .

Fractional echo imaging تصوير الصدى الجزئي

هي تقنية تستخدم لتقليل زمن المسح . فقط نصف (أو أكثر قليلاً من النصف) خطوط الفراغ k في اتجاه تشفير التردد يتم ملؤها. الاكتساب الجزئي للفراغ $\rightarrow k$.

الاضمحلال الذاتي الحر (Free induction decay (FID)

الفقد في الإشارة الذي يحدث عند ثابت زمني مميز T_2^* بدون أي تأثير خارجي.

البروتونات الحرة Free protons

تفاعل البروتونات الحرة (البروتونات في الماء الحر) باستمرار مع الوسط المحيط بها (الزمن الأول T_1 قصير) ولكن تفاعل نادرًا مع بعضها (الزمن الثاني T_2 طويل). فقط البروتونات الحرة هي التي تشارك في إشارة الرنين المغناطيسي. البروتونات المرتبطة \rightarrow ، انتقال المغناطيسة \rightarrow Bound protons

التشفيير التردددي Frequency encoding

هو جزء من التشيير المكاني à spatial encoding لإشارة الرنين المغناطيسي. في أثناءأخذ عينات الصدى، يتم بدأ مجال انحداري في اتجاه واحدًا ما ينشر ترددات السبق المختلفة إلى المغازل النووية في هذا الاتجاه. بهذه الطريقة، يتم الحصول على طيف من الترددات الرنينية بدلاً من تردد واحد (محول فوريير \rightarrow). تخدم معلومات التردد في تحديد مركبات الإشارة الفردية في الفراغ على طول الانحدار.

انحدار التشفير الترددی Frequency encoding gradient

هو المجال الانحداري الذي يتم فتحه في أنسنة تجميع إشارة الرنين المغناطيسي، ولذلك يسمى أحياناً انحدار قراءة الخرج. تتم الحاجة إليه للتشفير الترددی → لإشارة الرنين المغناطيسي.

FSE

. → Fast spin echo sequence تتابع الصدى المغزلي السريع

Gating

هي تقنية لتوافق التصوير بالرنين المغناطيسي مع الدورة التنفسية أو القلبية. عمل بوابة مع المخطط الكهربائي للقلب ECG تخدم في تقليل المشاكل التي تسببها حركة القلب. يتم ذلك عن طريق بدأ المسح مع الموجة R للمخطط الكهربائي للقلب ECG، وبذلك يتم تجميع البيانات في نفس الدورة القلبية مع كل اكتساب.

Ghosting

خطأ في التشفير يتبع عنه صور ضاء تنتشر خلال القلب والمنطقة الأمامية أو المضاعفة في الهيكل التشريحي مثل الأورطي في اتجاه تشفير الطور. هذه المشاكل تحدث نموذجياً من تدفق نبضي، وبصورة أقل تكرارية عن طريق ضربات القلب أو التنفس.

Gibb's artifact

. → Truncation artifact مشاكل القطع أو البت

الانحدار Gradient

يحدد شدة التغير في كمية معينة في اتجاه مكاني محدد. يقصد بالانحدار المجال المغناطيسي في التصوير بالرنين المغناطيسي بأنه التغير الخطى في شدة المجال المغناطيسي المتولد في اتجاه المحاور x أو y أو z للمجال المغناطيسي الثابت. هذه الانحدارات تحتاج إليها لاختيار الشريحة (انحدار اختيار الشريحة slice selection gradient \rightarrow) والتشغير المكاني Spatial encoding \rightarrow ويتم توليدها باستخدام ملفات خاصة مبنية داخل الماسح. بمعنى أكثر شمولية، فإن تعديل الانحدار يستخدم أيضا للدلالة على ملفات الانحدار.

تابع الصدى الانحداري (GRE)

هو تتابع نبضات مختلف عن تتابع الصدى المغزلي à Spin echo sequence في أنه لا يتم تطبيق نبضة إعادة التركيز ١٨٠ درجة. عدم تجانس المجال المغناطيسي والفروق في الزاوية الموجودة بسبب الانحدار لا يتم تعويضها ويتم اضمحلال إشارة الرنين المغناطيسي مع الزمن $T2^*$ بدلاً من الزمن الثاني $T2$. المميزات: زمن مسح أقصر.

GRASE

(الانحدار والصدى المغزلي Gradient and spin echo) هو تتابع نبضي مهجن يربط بين تتابع صدى مغزلي سريع \rightarrow وتصوير الصدى المستوى \rightarrow Echo planar imaging. يتم توليد العديد من الأصداء المغزلية، ولكل صدى مغزلي SE، يتم اكتساب العديد من الأصداء الانحدارية. المميزات: زمن مسح قصير وتبانين أعلى (كما في تتابع الصدى المغزلي \rightarrow). العيوب: تقنياً يتطلب وقتاً وجهوداً، وما زالت طريقة الإكلينيكية غير واضحة.

GRE

. → gradient echo sequence تتابع الصدى الانحداري

الغازات المستقطبة Hyperpolarized gases

هو معامل تباين للرنين المغناطيسي للتوضيحات الخاصة. يتم إنتاجها عن طريق استقطاب الليزر للمغازل النوية في الغازات الخاملة (مثل الهيليوم 3 ، والزينون 129).

Inflow angiography تصوير الأوعية بالتدفق الداخلي

. → Time of flight angiography تصوير الأوعية بزمن الطيران

Inflow effect تأثير التدفق الداخلي

(التحسين المتعلق بالتدفق) وهو يصف حقيقة أن تتابعات الصدى الانحداري السريعة → توضح الدم المتدفق إلى داخل شريحة المسح بإشارة لامعة بينما الأنسجة الساكنة تظهر داكنة نتيجة التشبع . → Saturation

In phase التوافق الطوري

. → Chimgical shifts الإزاحة الكيميائية

Intermediate weighted image صورة الوزن البياني أو المتوسط

. → Proton density weighted image صورة كثافة وزن البروتون

الفراغ بين الشرائح **Interslice gap**

هو المسافة بين أقرب الحواف لشريحتين متجاورتين.

معامل تباين داخل الأوعية **Intravascular contrast agent**

معامل تباين بركة الدماء → Blood pool contrast agent

تتابع استعادة العكس **Inversion recovery sequence**

(تتابع IR) تتابع صدى مغزلي مع نبضة عكس إضافية ١٨٠ درجة تسبق نبضة الإثارة وإعادة التركيز العادي (زمن العكس → Inversion time). يتم استخدام تتابع IR بكثرة في تصوير الرنين المغناطيسي الإكلينيكي وهما STIR → و FLAIR .

زمن العكس الأول (Inversion time (TI

الفترة الزمنية بين نبضة العكس ١٨٠ درجة ونبضة الإثارة ٩٠ درجة في تتابع استعادة العكس → . الزمن الأول TI يمكن اختياره لتصغير الإشارة من نسيج محدد مثل الدهون، حيث يتم ذلك عن طريق تطبيق نبضة راديو RF عندما تكون مغذة هذا النسيج بصفر.

IR

استعادة العكس → Inversion recovery (تتابع استعادة العكس).

المركز المنظور Isocenter

هو المركز الهندسي للمجال المغناطيسي الأساسي لأي ماسح رنين مغناطيسي، حيث لا تتأثر شدة المجال بأي واحد من الثلاثة اندحارات.

k space k- الفراغ

هو الفراغ الحسابي لتخزين البيانات الخام المقاسة قبل إعادة تشكيل صورة الرنين المغناطيسي عن طريق تطبيق محول فورير → ثانوي الأبعاد 2D وثلاثي الأبعاد 3D. الخطوط المتوسطة في الفراغ k هي المؤثرة في تحديد تباين الصورة بينما الخطوط المحيطة تحدد أساساً تحليل الصورة المكاني.

Larmor frequency

هو التردد الذي تسbig عنده المغازل المجال المغناطيسي. الدقة أو التردد الرئيسي يتناسب مع شدة المجال المغناطيسي المطبق.

التراخي الطولي Longitudinal relaxation

• $\rightarrow T_1$ relaxation T_1

القابلية المغناطيسية Magnetic susceptibility

مقياس لأي مدى يمكن أن يصبح النسيج أو أي مادة مغنة عندما تتوضع في مجال مغناطيسي خارجي.

Magnetization transfer تحول المغناطة

إنه يصف تحول تشبع المغناطة من بروتونات الجزيئات الضخمة (الماكرو) المرتبطة إلى البروتونات الحرة. هذه الظاهرة تقلل شدة الإشارة من الماء الحر.

المصفوفة Matrix

هي شبكة ثنائية الأبعاد تتكون من صفوف وأعمدة حيث يمثل كل مربع فيها بكسل (عنصر صورة pixel). تحدد المصفوفة عدد البكسلات المكونة للصورة.

MIP

(الإسقاط الأعظم للشدة Maximum intensity projection) هو تقنية لإعادة تشكيل الصورة والذي يرشح الإشارات ذات الشدة العالية ويسقطهم على مستوى واحد.

تصوير الأوعية بالرنين المغناطيسي MR angiography

تقنية رنين مغناطيسي، تستخدم تتابعات تحقق تبايناً جيداً بين الأوعية والأنسجة لتوليد صور أوعية بالرنين المغناطيسي. تصوير الأوعية بتباين الطور Phase contrast → Time of flight angiography ، تصوير الأوعية بزمن الطيران angiography ، تصوير الأوعية ثلاثي الأبعاد 3D MRA .

تصوير المفاصل بالرنين المغناطيسي MR arthrography

تقنية رنين مغناطيسي لتصوير المفاصل، تتم بالاستخدام الداخلي ل محلول الجادوليوم المخفف تحت الكشف الفلوري. معامل التباين يوسع فراغ المفصل، وبذلك يحسن من تقييم الميakل الداخلية ومن ثم تشخيص أي خلل في المفصل.

الملاحة **Navigator**

تقنية من تقنيات الرنين المغناطيسي لإخاد المشاكل الناتجة عن حركة الجهاز التنفسى حيث يستخدم أصوات إضافية (أصوات الملاحة) لاكتشاف التغير في موضع الحجاب الحاجز. تم إعادة الهيكلة لصور الرنين المغناطيسي بعد ذلك باستخدام البيانات المكتسبة عندما يكون الحجاب الحاجز في وضع معين. باستخدام تقنية الملاحة يمكن إجراء التصوير القلبي بينما يتنفس المريض بحرية.

معامل التباين السالب **Negative contrast agent**

هو معامل تباين للرنين المغناطيسي يحسن التباين عن طريق فقد الاختياري للإشارة في أنسجة معينة تقوم بتراكم المعامل. المعاملات السالبة تستخدم عادة مواد بارا مغناطيسية أو فائقة المغناطيسية. البارامغناطيسية \rightarrow ، فائقة المغناطيسية \rightarrow Supermagnetism .

NEX, NSA

(عدد الإثارات Number of excitations, NEX ، وعدد متواسطات الإشارة Number of signal averages). تدل على كيفية تكرار قياس الإشارة من شريحة معينة لكل تشفييرة طور. الزيادة في عدد الإثارات NEX يحسن نسبة الإشارة إلى الضوضاء . \rightarrow

الزاوية المعاكسة Opposed phase

الإزاحة الكيميائية \rightarrow .

تضاد الزاوية Out of phase

الإزاحة الكيميائية → .

تأثير التدفق الخارج Outflow effect

. → Black blood effect تأثير الدم الأسود

التصوير المتوازي Parallel imaging

تقنية للتصوير السريع بالرنين المغناطيسي عن طريق التجميع المتزامن للإشارة باستخدام العديد من ملفات السطح الموضوعة جنباً إلى جنب.

البارامغناطيسية Paramagnetism

أحد خواص المواد التي تتم趕ط عند تعرضها لمجال مغناطيسي خارجي، ويتجز عنها زيادة موضعية في المجال المغناطيسي. من الأمثلة النموذجية لهذه المواد المعدن أيون الجادولينيوم الثلاثي Gd^{3+} ، والذي يستخدم كوسط تبادل للرنين المغناطيسي. عند استخدام تركيزات ضعيفة منه، فإن هذا المركب يقصر الزمن الأول T1 ولذلك فإنه يعمل كمعامل تبادل موجب → . عند التركيزات العالية، فإن مركبات الجادولينيوم تسبب فقد في الإشارة نتيجة عدم التجانس الموضعي للمجال المغناطيسي. القابلية المغناطيسية → ، الاكتساب الجزيئي للفраг k → .

تصوير فوريير الجزئي Partial Fourier imaging

تقنية لملأ الفраг k والتي فيها يتم أخذ عينات لأزيد من نصف خطوط الفраг k بقليل في اتجاه تشفير الطور والخطوط غير الملوءة يتم إقحامها أو استنتاجها. لذلك

فإن زمن المسح يقل بحوالي ٥٠٪ بينما تكون المقدرة التحليلية نفسها وأما الضوضاء فتزداد قليلاً. الاكتساب الجزئي للفراغ $\rightarrow k$.

k Partial k space acquisition

معنى عام لتقنيات مختلفة تستخدم لتقليل زمن المسح عن طريق العينات الغير كاملة لخطوط الفراغ k . مجال الرؤية المستطيل FOV \rightarrow تصوير فوري \rightarrow الجزئي \rightarrow تصوير الصدى الجزئي \rightarrow .

تأثير الحجم الجزئي Partial volume effect

فقد التباين عند الحدود الفاصلة بين نسيجيين متجاورين بشدة إشارة مختلفة بسبب المقدرة التحليلية غير الكافية عندما يكون كل من النسيجين في نفس وحدة الحجم فوكسل.

الطور أو الزاوية Phase

الزاوية التي يختلف بها متجه المغناطيس الدوار لمغزل في المستوى xy عن الزاوية في المتجه الثاني.

تصوير الأوعية بتباين الطور Phase contrast angiography

تقنية تطبق انحدار زائد لتشفيير سرعة المغازل المتداقة (مثلاً في الدم المتدايق). تصوير الأوعية بتباين الطور عبارة عن تقنية تصوير الأوعية بالرنين المغناطيسي \rightarrow تسمح بالقياس الدقيق لسرعة تدفق الدم.

الميزات: يمكن جعل التتابع حساساً لسرعات تدفق مختلفة عن طريق المستخدم، تسمح التقنية بالتحديد الكمي لسرعة التدفق.

العيوب: زمن مسح أطول نتيجة الانحدارات الإضافية والقياسات المنفصلة لكل اتجاه يتم جعل التتابع حساساً له، التدفق النبضي يسبب مشاكل.

ملفات متوجه الطور Phased array coils

تركيبة من الملفات تتكون من العديد من ملفات السطح تستخدمن متزامنة لتحسين جودة الصورة. مثل هذه المصفوفة تجمع الإشارة من ملف السطح مع مجال الرؤية لملف الجسم وتنشط الاكتساب للصور بمقدار تحليلية أعلى للأعضاء العميقة داخل الجسم مثل الأعضاء الحوضية.

تشفير الطور Phase encoding

جزء من التشفيير المكاني → . يتم عن طريق فتح انحدار ليتتبع إزاحات طوريه مختلفة للمغازل في الشريحة المثارة على حسب موضعهم على طول الانحدار. يمكن بذلك تحديد المواقع المكانية عن طريق كمية محددة من إزاحة الطور.

انحدار تشفيير الطور Phase encoding gradient

الانحدار الذي يتم تشغيله لتشفيير الطور → أثناء قراءة إشارة الرنين المغناطيسي.

دوران الطور Phase wrapping

ظاهرة تحدث عندما يكون جزء من الهيكل التشريحى الذي نهتم به متداخراً خارج مجال الرؤية المحدد حيث يتم دورانها أو لفها ويتم التوقيع المكاني الخطأ لها في الجانب المقابل للصورة.

البكسل Pixel

عنصر ثنائي الأبعاد من الصورة تكون منه المصفوفة \rightarrow Matrix .

معامل التباين الموجب Positive contrast agent

معامل تباين موجب للرنين المغناطيسي يحسن التباين عن طريق تحسين الإشارة، ومن ثم يجعل النسيج يظهر لاماً. معظم معاملات الرنين المغناطيسي الموجبة تقتصر على الزمن T_1 .

النبضة السابقة Prepulse

\rightarrow Presaturation التثبيط المسبق

التثبيط المسبق Presaturation

التثبيط المغناطيسي الاختياري لنسيج معين عن طريق تطبيق نبضة راديو إضافية (ما قبل النبضة أو نبضة سابقة) مباشرة قبل نبضة الإثارة لتوليد الإشارة. يتم إجراء التثبيط المسبق للتخلص من المشاكل أو إخاد إشارة الدم اختيارياً (خارج مستوى المسح) ولزيادة الوزن بالزمن الأول T_1 (خلال مستوى المسح).

الصور الموزونة بكثافة البروتونات Proton density weighted images

الصور الموزونة بكثافة البروتونات (صور بكثافة البروتونات PD)، موزونة الكثافة، أو صور الرنين المغناطيسي متوسطة الوزن هي صور يتحدد تباينها أساساً عن طريق كثافة البروتونات في النسيج المصور. يتم اكتساب هذه الصور باستخدام

زمن تكرار معقول الطول (لتقليل من تأثير الزمن الأول T_1) و زمن صدى معقول القصر (لتقليل تأثير الزمن الثاني T_2). صور بكثافة البروتونات PD لها نسبة إشارة إلى الضووضاء عالية \rightarrow . معامل نموذجي مركب للحصول على صور بكثافة البروتونات PD هو $TR/TE=2000/20 \text{ msec}$.

القمع Quench

الفقد المفاجئ للمغناطيسة الفائقة مع انهيار في المجال المغناطيسي.

R1 and R2

الاسترخائيات : $R_1 = 1/T_1$ و $R_2 = 1/T_2$ ، والوحدة : (sec mol/l^{-1}) .

قراءة الخرج Readout

أخذ عينات من إشارة الرنين المغناطيسي.

قراءة خرج الانحدار Readout gradient

انحدار التشفير الترددية \rightarrow .

عرض مجال المستقبل Receiver bandwidth

هو طيف ترددات المغازل المسجلة في تصوير الرنين المغناطيسي أثناء قراءة الخرج.

مجال الرؤية المستطيل Rectangle FOV

هي تقنيات الاكتساب الجزئي للفراغ $k \rightarrow$ التي تأخذ عينات لعدد أقل من خطوط الفراغ k في اتجاه تشفير الطور. يستخدم مجال الرؤية المستطيل لتقليل زمن المسح بالمقارنة مع الاكتساب الكامل ويتم إجراؤه على حساب الانخفاض البسيط في نسبة الإشارة إلى الضوضاء \rightarrow .

منطقة الاهتمام ROI (Region of interest)

ترمز إلى مساحة صغيرة في النسيج الذي تم اختياره، لقياس شدة الإشارة كمثال.

الاسترخائية Relaxivity

ترمز إلى قابلية المادة للتغير زمن الاسترخاء في أحد الأنسجة، تستخدم أساساً لوصف تأثير معامل تباين الرنين المغناطيسي على $(R1) T1$ و $(R2) T2$. يتم إعطاؤه عادة كاسترخائية مولية ويتغير مع درجة الحرارة وشدة المجال.

زمن التكرار Repetition time (TR)

الفترة الزمنية بين إثاراتين متتاليتين لنفس الشريحة. عن طريق تغيير زمن التكرار TR، يمكن للمستخدم أن يحدد كمية تباين الزمن الأول $T1$ في الصورة الناتجة.

التردد الرئيسي Resonance frequency

هو التردد الذي يحدث عنده الرنين، وهو يقابل تردد لارمور في البروتونات.

التعويض التنفسى (Respiratory compensation Resp comp)

خوارزم يقلل من مشاكل الحركة التنفسية عن طريق تزامن المسح مع الدورة التنفسية. تعرف أيضاً بالرقية أو التعويذة . → Exorcist

البوابة التنفسية Respiratory gating

يتم المسح أثناء طور معين في الدورة التنفسية (أثناء الشهيق أو الزفير مثلاً). يتم إجراؤه باستخدام حزام تنفسى لمراقبة المعدل التنفسى.

مشاكل الحلقات Ringing artifact

مشاكل القطع أو البتر . → Truncation artifact

زمن الارتفاع Rise time

عامل أو ثابت يصف أداء الانحدار. إنه الزمن المأمور للوصول إلى أقصى مقدار للانحدار.

SAR

(معدل الامتصاص النوعي Specific absorption rate) هو مقياس لكمية الطاقة الموضوعة عن طريق نبضة الراديو RF على كتلة معينة من النسيج. الطاقة المطبقة أثناء تجربة رنين مغناطيسي تؤدي إلى تسخين النسيج، والتي يجب ألا تتعدي حد تشبع معين يحدد في الإرشادات الرسمية.

التشبع Saturation

يتسبب التشبع المغناطيسي في فقد في الإشارة عندما يكون زمن التكرار \rightarrow قصيراً لعدم وجود زمن كافي للاستعادة الكاملة للمغناطة بين إثاراتين. يمكن معالجة ذلك عن طريق تقليل زاوية الانقلاب \rightarrow أو تتبع الصدى الانحداري \rightarrow .

زمن المسح Scan time

يُعرف أيضاً بزمن اكتساب الصورة. زمن الاكتساب هو المفتاح للكفاءة الاقتصادية لمساح الرنين المغناطيسي ويتحدد بعدد خطوات تشفير الطور، وعدد الإثارات (\rightarrow Nex)، وزمن التكرار \rightarrow وطول قطار أو تتبع الصدى \rightarrow .

الوميض Shimming

تصحيح عدم تجانس المجال المغناطيسي.

نسبة الإشارة للضوضاء (SNR)

مقياس جودة الصورة يعبر عنه بالعلاقة بين شدة الإشارة والضوضاء الموجودة في الصورة.

معدل التباطؤ Slew rate

معامل أو ثابت يصف أداء الانحدار، يحدد على أنه مقدار الانحدار الأعظم مقسوماً على زمن الارتفاع \rightarrow .

انحدار اختيار الشرحقة Slice selection gradient

تجميع بيانات يتطلب الإثارة الاختيارية لشريحة، والتي تتم عن طريق تطبيق انحدار اختيار الشرحقة.

SNR

نسبة الإشارة للضوضاء → .

التشفيير المكاني Spatial encoding

كل القياسات التي تحتاج إليها لتحديد الموضع المكانية للمكونات المختلفة في إشارة الرنين المغناطيسيي. التشفير المكاني يشتمل على → تشفير الطور → وتشفيير التردد .

الغزل أو الدوران المغزلي Spin

خاصة أساسية في كل الجزيئات الأساسية تقريباً (البروتونات، والنيوترونات، والإلكترونيات). الدوران المغزلي يدل على الخواص المغناطييسية التي تنتج من العزم الزاوي لجزيء ومن ثم تتعلق بقابليته للمرور في رنين مغناطيسيي نووي. نظرياً، كل النوبات الدوارة يمكن استخدامها للتوصير بالرنين المغناطيسيي (الفوسفورى أو الفلورى مثلاً) بينما نواة الهيدروجين، والتي تتكون من بروتون واحد، تستخدم في تصوير الرنين المغناطيسيي الإكلينيكي نتيجة وفرتها في الأنسجة الحيوية.

تابع الصدى المغزلي (SE) Spin echo sequence

التابع النبضي الأكثر استخداماً في تصوير الرنين المغناطيسيي الإكلينيكي العادي. إنه يتكون من نبضة إثارة بزاوية انقلاب 90° درجة تماماً والتي يتبعها نبضة راديو RF

١٨٠ درجة لإعادة تجميع المغازل بعد التشتت الطوري الذي يحدث بسبب تأثير الزمن الثاني T2، إنه تتبع نشيط وغير حساس لعدم التجانس في المجال المغناطيسي والانحدار ولكنه محدود بزمن مسح طويل.

SPIO

(جزيئات أكسيد الحديد فائق البارامغناطيسية iron oxide particles) جزيئات النانو من أكسيد الحديد التي تستخدم أساساً كوسط تبادل في تصوير الكبد. جزيئات الـ SPIO لها قطر أكبر من الـ RES . → USPIO

SPIR

(التشبع المسبق للطيف مع استعادة العكس Spectral presaturation with inversion recovery) تحديداً ، الـ SPIR ليس تابعاً رنيناً مغناطيسياً كاملاً ولكنه مجرد نبضة سابقة ١٨٠ درجة تستخدم للاختيار الترددية وتعكس منطقة الدهون فقط. يمكن ربطه مع تتابعات أخرى لاكتساب صور الدهون المشبعة.

الإفساد Spoiling

تقنية لإعادة الطور للمغزل تستخدم بالاشتراك مع تصوير صدى الانحدار GRE. تتابع صدى الانحدار GRE المفسدة عبارة عن تتابع نبضات يتم فيه تطبيق انحدار إفساد أو نبضة راديو RF للإفساد وذلك لتدمير المغذة المستعرضة قبل تطبيق نبضة الإثارة التالية. تستخدم تتابعات صدى الانحدار GRE المفسدة لإنتاج الصور الموزونة بالزمن الأولى T1 أو الزمن*. T2*

SSFP

(حالة استقرار الدقة الحرة تشارك GRE) تقنية Steady state free precession فيها المغнطة الطولية والمستعرضة في إشارة الرنين المغناطيسي ويتم تحديد التباين عن طريق العلاقة بين الزمن الأول T1 والزمن الثاني T2. من أمثلة تتابعات الـ SSFP الـ FISP ، والـ FIESTA الحقيقية، والـ FFE المتوازن.

STIR

(استعادة العكس لقيم الزمن الأول TI القصيرة Short TI inversion recovery) تتابع لاستعادة العكس → يستخدم لإخماد الإشارة من الدهون، ويتم ذلك عن طريق اختيار زمن العكس بحيث يتم تطبيق نبضة راديو RF ٩٠ درجة عندما تمر مغнطة الدهون خلال الصفر. هذه التقنية تحمد كل الإشارات من الأنسجة التي لها زمن T1 قصير مثل الدهون.

فائقه البارا مغناطيسية Superparamagnetism

بارا مغناطيسية Paramagnetism → فائقه (١٠ حتى ١٠٠٠ ضعف). كمثال على المواد فائقه البارا مغناطيسية المستخدمة كمعامل تباين للرنين المغناطيسي هي جزيئات النانو لمادة أكسيد الحديد. يمكن استخدامها كمعامل تباين سالب .

مشاكل القابلية Susceptibility artifact

فقد الإشارة الناتج عن قابلية النسيج أو أي مادة أخرى للمغنطة.

T1

ثبت زمني نوعي للأنسجة لترادي الزمن الأول \rightarrow T1 والذى يعتمد على شدة المجال المغناطيسى، B، ويكون في المدى من واحد إلى عدة ثوانى عند شدة مجال 1.5T.

ترادي الزمن الأول T1

يسمى أيضا ترادي شبكة المغزل والترادي الطولى. إنها تشير إلى عودة المغازل المثارة إلى حالة الاتزان أو استعادة المعنطة الطولية وتكون مصحوبة بنقل الطاقة إلى الأوساط المحيطة.

الصورة الموزونة بالزمن الأول T1 weighted image (T1w)

هي صور الرنين المغناطيسى التي يتحدد تباينها أساساً (وليس فقط !) عن طريق الزمن الأول T1. يتم الحصول على الوزن بالزمن الأول T1 عن طريق ضم زمن التكرار القصير مع زمن الصدى القصير (لتقليل تأثيرات الزمن الثاني T2). كمثال TR/Te=500/20 msec. الأنسجة التي لها زمن T1 قصير تظهر لامعة بينما تظهر الأنسجة التي لها زمن T1 طويل داكنة.

T2

ثبت زمني نوعي للأنسجة خاص بترادي الزمن الثاني \rightarrow T2 . يقع مداه حتى عدة مئات من ملي ثانية ولا يعتمد على شدة المجال المغناطيسى.

ترادي الزمن الثاني T2

يسمى أيضاً الترادي من مغزل لمغزل والترادي المستعرض. إعادة طور المغازل يتبع من الترادي من مغزل لمغزل وتبادل الطاقة بينهما. لا يوجد نقل للطاقة للوسط المحيط.

T2 weighted image (T2w) T2 الصور الموزونة بالزمن الثاني

هي صور الرنين المغناطيسي التي يعتمد تباينها أساساً على الزمن الثاني T2. يتم الحصول على الزمن الثاني T2 عن طريق دمج زمن تكرار طويل (لتقليل تأثيرات الزمن الأول T1) مع زمن صدى طويل. كمثال: $TR = 2000 / 80 \text{ msec}$. الأنسجة التي لها زمن تكرار TR طويلاً تظهر لامعة في الصور الموزونة بالزمن الثاني T2 بينما تظهر الأنسجة التي لها زمن تكرار TR قصير داكنة.

T2*

ثابت زمني لترابخي $\rightarrow T2^*$.

T2* contrast تباين الزمن $T2^*$

هو تباين صورة ينتج من ثابت الاضمحلال النوعي لزمن $T2^*$ للأنسجة الحيوية المختلفة. التباين $T2^*$ لصور صدى الانحدار GRE يمكن التعامل معه عن طريق تغيير زمن الصدى (TE).

T2* relaxation تراثي الزمن $T2^*$

كل العمليات التي تساهم في تغير الطور المغزلي. تراثي الزمن $T2^*$ يشمل على التراثي النقي من مغزل لمغزل (تراثي الزمن الثاني $T2 \rightarrow$) وتأثير عدم تجانس المجال المغناطيسي الثابت. تطبيق نبضة راديو RF ١٨٠ درجة لا يمكن أن تعكس تراثي الزمن الثاني T2 نفسه ولكن فقط فقد التوافق الطوري نتيجة عدم تجانس المجال الثابت. تتبع الصدى المغزلي \rightarrow .

TI

زمن العكس → .

تصوير الأوعية بزمن الطيران Time of flight (TOF) angiography

(التدفق الداخلي في تصوير الأوعية) هو تقنية تصوير رنين مغناطيسي تعتمد على تأثير التدفق الداخلي → . إنه مناسب جداً لتصوير الأوردة بينما تصوير الشرايين بزمن الطيران مازال يعوقه مشاكل. التباين المحسن 3D MRA → هو الاختيار المفضل لتصوير الشرايين.

التحليل الزمني لتصوير الأوعية بالرنين المغناطيسي Time resolved MRA

إن عبارة التحليل الزمني لتصوير الأوعية بالرنين المغناطيسي تستخدم الآن لإظهار الدراسة الديناميكية لتوزيع وسط التباين في النظام الدوري. يتم إجراء مثل هذه الدراسة الديناميكية عن طريق تصوير المنطقة الوعائية بتكرار وسرعة بعد استخدام جرعة واحدة لمعامل التباين. صور الأوعية الدموية بالرنين المغناطيسي المأخوذة بهذه الطريقة تثل أطواراً مختلفة لتوزيع وسط تباين متقدم.

TIRM

→ FLAIR Turbo inversion recovery magnitude (مقدار استعادة العكس التوربيني)

التراخي المستعرض Transverse relaxation

تراخي الزمن الثاني T2 → .

تابع FISP الحقيقي

تابع انحدار صدى \rightarrow تتحدد فيه كثافة الإشارة في حالة الاستقرار عن طريق نسبة T_2/T_1 .

مشاكل القطع أو البتر

(مشاكل جبس Gibb's artifact، أو مشاكل التسرب الطيفي spectral leakage) مشاكل القطع أو البتر هي خطوط لامعة أو داكنة تتم رؤيتها متوازية أو متباينة مع الحدود أو الحواف التي عندها تغيرات حادة في الشدة، كما في الحدود بين الـ CSF اللامعة والعمود الفقري الداكن في الصور الموزونة بالزمن الثاني T2. في الحال الشوكى تحاكي هذه المشاكل الأنوب syrinx. يمكن ملاحظة ذلك أيضاً في أماكن أخرى في السطح بين المخ / القبة calvarium. تتعلق هذه المشكلة بخطوات التشفير المحددة المستخدمة في حول فوري لإعادة تشكيل الصورة.

TSE

(الصدى المغزلي التوربيني Turbo spin echo) \rightarrow تتابع الصدى المغزلي السريع.

USPIO

(جزيئات أكسيد الحديد الفائقة المغناطيسية الفائقة الصغر Ultrasmall superparamagnetic iron oxide particles) هي جزيئات نانو صغيرة جداً من أكسيد الحديد تستخدم كمعاملات تباعن نوعية لتصوير العقد الليمفاوية بالرنين المغناطيسي.

الفوكسل أو وحدة الحجم Voxel

عنصر حجمي يعبر عنه بالبكسل → في صور الرنين المغناطيسي ذات البعدين، حجم الفوكسل يحدد نسبة الإشارة للضوضاء → والتحليلية المكانية.

الملء بالصفر Zero filling

تقنية للملء غير الكامل للفراغ k. الأجزاء التي لم يتمأخذ عيناتها مباشرة في الفراغ k يتم ملؤها بأصفار. بهذه الطريقة، يتم تشكيل مصفوفات أكبر عن طريق الإقحام. تقنيات الملء بالصفر تستخدم لتشكيل الصور في تصوير الأوعية بالرنين المغناطيسي.

ث بت المصطلحات

أولاً: (عربي - إنجليزي)



test bolus	اختبار المضخة
oversampling	أخذ العينات المفرط
Fat suppression	إخاد الدهون
outer sphere relaxation	استرخاء الكرة الخارجية
inner sphere relaxation	استرخاء الكرة الداخلية
MR signal	إشارة الرنين المغناطيسي
multiple overlapping thin slab acquisition (MOTSA)	اكتساب الشرائح الرقيقة ذات التداخل المتعدد
linear k-space acquisition	اكتساب الفراغ k الخطى
Tilted optimized non-saturating excitation (TONE)	الإثارة غير المشبعة المثالية المائلة
chemical shift	الإزاحة الكيميائية
blooming	الازدهار (الإزهار)
double inversion recovery	الاسترجاع مزدوج الانعكاس

relaxivity	الاسترخائية
inversion recovery (IR)	الاستعادة العكسيّة
Short TI inversion recovery (STIR) T1	الاستعادة العكسيّة للزمن القصير
fluoroscopic triggering	الإطلاق الفلوروسكوبى
blood oxygen level-dependent (BOLD)	الاعتماد على مستوى الأوكسجين في الدم
paramagnetic	البارا مغناطيسية
automatic triggering	البدء أو الإطلاق الآلي
proton	البروتون
pixel	البكسل
bioeffects	التأثيرات الحيوية
contrast	التبابن
hybrid sequence	التابع المهجن
cross-talk	التدخل
Tractography	الtractوغراف (خطط المסלك)
presaturation	التشبع المسبق، ما قبل التشبع
frequency encoding	التشفير الترددية
spatial encoding	التشفير المكاني
arterial spin labeling (ASL)	التصنيف المغزلي للشرايين
cine phase-contrast imaging	التصوير السينمائي بتباين الطور
cardiac imaging	التصوير القلبي
parallel imaging	التصوير المتوازي
diffusion-weighted imaging (DWI)	التصوير الموزون بالانتشار
perfusion-weighted imaging (PWI)	التصوير الموزون بالرش (PWI)
chemical shift imaging	التصوير بالإزاحة الكيميائية
Functional magnetic resonance imaging (fMRI)	التصوير بالرنين المغناطيسي الوظيفي fMRI

Echo planar imaging (EPI)	التصوير بالصدى المستوي
diffusion tensor imaging (DTI)	التصوير بمتوجه الانتشار
aliasing	التعرج
exorcist	التعويذة أو الرقية
active shielding	التغليف أو الحجب النشط
phase wrapping	التفاف الطور
endocytosis	التقانم خلوي
eddy current	التيارات الدوامية
partial volume	الحجم الجزئي
crisscross or herringbone	الخطوط المشابكة أو عظامة السمسكة
claustrophobia	الخوف من الأماكن المظلمة
Precession	الدقة
enterohepatic	الدوران داخل الكبد
magic angle	الزاوية السحرية
crystal lattic	الشبكة البلورية
multiecho	الصدى المتعدد
spin echo (SE)	الصدى المغزلي
Fast (turbo) spin echo (FSE)	الصدى المغزلي السريع (التوريبيني)
single-shot fast spin echo (SSFSE)	الصدى المغزلي السريع ذو الطلقة الواحدة
phase	الطور
longitudinal (T1)	الطولي
angular momentum	العزم الزاوي
magnetic moment	العزم المغناطيسي
electron shell	الغلاف الإلكتروني
k-space	-فراغ k-
susceptibility	القابلية

magnetic susceptibility	القابلية المغناطيسية
B-value	القيمة - b
proton density (PD)	الكثافة البروتونية
elliptical centric	المركز البيضاوي أو الأهليليجي
transverse	المستعرض
artifacts	المشاكل
Magnetization	المغنتة
zipper	المترافق أو السحاب
blips	النقاط المضيئة (الومضات)
intermediate-weighted	الوزن المتوسط
safety	أمان
radiofrequency absorption	امتصاص ترددات الراديو
Magnetization transfer	انتقال المغنتة
gradient	انحدار
isotropic	ايزوتروبي، متناهي (موحد الخواص)

ت

outflow effect	تأثير التدفق الخارج
Inflow effect	تأثير التدفق الداخل
tissue contrast	تباین الأنسجة
spiral sequence	تابع حلزوني
fiber tracking	تتبع الألياف
spoiling	تحريض
decay of transverse	تداعي الاستعراض
Free induction decay (FID)	تداعي حي حر FID
relaxation	تراخي

Precession frequency	تردد الدقة
Larmor frequency	تردد لارمور
saturation	تشبع
spectral presaturation with inversion recovery (SPIR)	التشبع المسبق الطيفي مع الاستعادة العكسية
phase encoding	تشغير الطور
angiography	تصوير الأوعية الدموية
Time-resolved MR angiography	تصوير الأوعية بالتحليل الزمني
MR angiography (MRA)	تصوير الأوعية بالرنين المغناطيسي
phase-contrast (PC) angiography	تصوير الأوعية بتباين الطور
bright blood imaging	تصوير الدم المضيء
multislice imaging	تصوير الشريان المتعدد
high-field MR imaging	تصوير بالرنين المغناطيسي ذات المجال العالي
contrast-enhanced MR	تصوير بالرنين المغناطيسي محسن بالتباين
keyhole imaging	تصوير ثقب المفتاح
myocardial perfusion imaging	تصوير عضلة القلب بالرش
partial Fourier imaging	تصوير فوريير الجزئي
flow compensation	تعويض التدفق
navigator technique	تقنية الملاح
Dixon technique	تقنية ديكسون
phase coherence	توافق الطور
bolus timing	توقيت المضخة
three-dimensional (3D)	ثلاثي الأبعاد
two-dimensional (2D)	ثنائي الأبعاد



ج

جزيئات أكسيد الحديد فائقة البارا
مغناطيسية
Superparamagnetic iron oxide particles (SPIO)

هـ

steady-state free precessing (SSFP)	حالة الاستقرار للتقدم الحر
myocardial iron	حديد عضلة القلب
pharmacokinetic	حركة الدواء
spiral	حلزوني

خـ

extracellular	خارج الخلية
lymph node-specific	خاص بالغدد الليمفاوية
liver-specific	خاص بالכבד

دـ

intravascular	داخل الأوعية
---------------	--------------

رـ

brain mapping	رسم المخ
---------------	----------

زـ

Ernst angle	زاوية إرنست
excitation angle	زاوية الإثارة
flip angle	زاوية الانقلاب
acquisition time	زمن الاكتساب
relaxation time	زمن التراخي
repetition time (TR)	زمن التكرار

Echo time (TE)	زمن الصدى
effective echo time	زمن الصدى الفعال
rise time	زمن الصعود
inversion time (TI)	زمن العكس أو الانقلاب
scan time	زمن المسح

س

polysaccharide	سكريات متعددة
slice thickness	سمك الشرحية

ش

gradient strength	شدة الانحدار
magnetic field strength	شدة المجال المغناطيسي
oral	شفوي أو عن طريق الفم
radicals	شقوق، جذور

ص

gradient echo (GRE)	صدى الانحدار
---------------------	--------------

ض

myocardial perfusion	ضخ عضلة القلب
----------------------	---------------

ط

Echo train length (ETL)	طول تتابع الصدى
-------------------------	-----------------

ع

spasmolytic	عامل مهدئ
number of excitations (NEX)	عدد الإثارات
number of acquisitions	عدد الاكتسابات
receiver bandwidth	عرض أو اتساع مجال المستقبل

hyperpolarized gas	غاز عالي القطبية
inhomogeneous	غير متجانس
anisotropic	غير موحد الخواص -اللاتناحي، الأنيزوتروبي

superparamagnetic	فائقة البارا مغناطيسية
interslice gap	فراغ بين الشرائح
porphyrins	فرفرينت
ferromagnetic	فرومغناطيسية

quench	قمع، إخاد
--------	-----------

net magnetization vector (NMV)	متجه المغناطة الكامل
field of view	مجال الرؤية
rectangular field of view	مجال رؤية مربع
lipophilic	محبة للدهون
Fourier transform	محول فوريير
isocenter	مركز مماثل
matrix	مصفوفة
receiver coil array	مصفوفة ملف الاستقبال
Larmor equation	معادلة لارمور
apparent diffusion coefficient (ADC)	معامل الانتشار الظاهري
contrast agents	معامل التباين

acceleration factor	معامل التسريع
Velocity encoding parameter (VENC)	معامل تشفير السرعة
blood pool contrast agents	معاملات تباين بركة الدماء
specific absorption rate (SAR)	معدل الامتصاص النوعي
resistive magnet	مغناطيس المقاومة
permanent magnet	مغناطيس دائم
superconducting magnet	مغناطيس فائق التوصيلية
body coil	ملف الجسم
surface coil	ملف السطح
radiofrequency (RF) coil	ملف ترددات الراديو

ر

radiofrequency (RF) pulse	نبضة ترددات الراديو
signal-to-noise ratio (SNR)	نسبة الإشارة للضوضاء
contrast to noise ratio (CNR)	نسبة التباين للضوضاء
gradient system	نظام الانحدار
Radiofrequency system	نظام ترددات الراديو

و

tumor	ورم
-------	-----

ثانياً: (إنجليزي - عربي)

A

acceleration factor	معامل التعجيل
acquisition time	زمن الاكتساب
active shielding	التغليف أو الحجب النشط
aliasing	التعرج
angiography	تصوير الأوعية الدموية
angular momentum	العزم الزاوي
anisotropic	غير موحد الخواص - الالاتناحي، الانيزوتوري
apparent diffusion coefficient (ADC)	معامل الانشار الظاهري
arterial spin labeling (ASL)	التصنيف المغزلي للشرايين
artifacts	المشاكل
automatic triggering	البدء أو الإطلاق الآلي

B

bioeffects	التأثيرات الحيوية
blips	النقطاط المضيئة (الومضات)
blood oxygen level-dependent (BOLD)	الاعتماد على مستوى الأوكسجين في الدم
blood pool contrast agents	معاملات تباين بركة الدماء
blooming	الازدهار (الإزهار)
body coil	ملف الجسم
bolus timing	توقيت المضخة
brain mapping	رسم المخ
bright blood imaging	تصوير الدم المضيء
B-value	القيمة - b

C

cardiac imaging	التصوير القلبي
chemical shift	الإزاحة الكيميائية
chemical shift imaging	التصوير بالإزاحة الكيميائية
cine phase-contrast imaging	التصوير السينيائي بتباين الطور
claustrophobia	الخوف من الأماكن المظلمة
contrast	التبابن
contrast agents	معامل التبابن
contrast to noise ratio (CNR)	نسبة التبابن للضوضاء
contrast-enhanced MR	تصوير بالرنين المغناطيسي محسن بالتبابن
crisscross or herringbone	الخطوط المتتشابكة أو عظمة السمكة
cross-talk	التدخل
crystal lattic	الشبكة البلورية

D

decay of transverse	تداعي الاستعراض
diffusion tensor imaging (DTI)	التصوير بمتوجه الانتشار
diffusion-weighted imaging (DWI)	التصوير الموزون بالانتشار
Dixon technique	تقنية ديكسون
double inversion recovery	الاسترجاع مزدوج الانعكاس

E

Echo planar imaging (EPI)	التصوير بالصدى المستوى
Echo time (TE)	زمن الصدى
Echo train length (ETL)	طول تتابع الصدى
eddy current	تيارات الدوامية
effective echo time	زمن الصدى الفعال

electron shell	الغلاف الإلكتروني
elliptical centric	المركز البيضاوي أو الأهليلي
endocytosis	التقان خلوي
enterohepatic	الدوران داخل الكبد
Ernst angle	زاوية إرنست
excitation angle	زاوية الإثارة
exorcist	التعويذة أو الرقية
extracellular	خارج الخلية

F

Fast (turbo) spin echo (FSE)	الصدى المغزلي السريع (التوربيني)
Fat suppression	إخاد الدهون
ferromagnetic	فرّو مغناطيسية
fiber tracking	تبع الألياف
field of view	مجال الرؤية
flip angle	زاوية الانقلاب
flow compensation	تعويض التدفق
fluoroscopic triggering	الإطلاق الفلوروسكوبى
Fourier transform	محول فوريير
Free induction decay (FID)	FID تداعي حي حر
frequency encoding	التشفيير الترددى
Functional magnetic resonance imaging (fMRI)	التصوير بالرنين المغناطيسي الوظيفي fMRI

G

gradient	انحدار
gradient echo (GRE)	صدى الانحدار

gradient strength

شدة الانحدار

gradient system

نظام الانحدار

H

high-field MR imaging

تصوير بالرنين المغناطيسي ذات المجال
العالي

hybrid sequence

التابع المهجن

hyperpolarized gas

غاز عالي القطبية

I

Inflow effect

تأثير التدفق الداخلي

inhomogeneous

غير متجانس

inner sphere relaxation

استرخاء الكروة الداخلية

intermediate-weighted

الوزن المتوسط

interslice gap

فراغ بين الشرائح

intravascular

داخل الأوعية

inversion recovery (IR)

الاستعادة العكssية

inversion time (TI)

زمن العكس أو الانقلاب

isocenter

مركز مماثل

isotropic

ايزوتروبي، متناهي (موحد الخواص)

K

keyhole imaging

تصوير ثقب المفتاح

k-space

الفراغ-

L

Larmor equation

معادلة لارمور

Larmor frequency

تردد لارمور

linear k-space acquisition	اكتساب الفراغ k الخطي
lipophilic	محبة للدهون
liver-specific	خاص بالكبد
longitudinal (T1)	الطولي
lymph node-specific	خاص بالغدد الليمفاوية

M

magic angle	الزاوية السحرية
magnetic field strength	شدة المجال المغناطيسي
magnetic moment	العزم المغناطيسي
magnetic susceptibility	القابلية المغناطيسية
Magnetization	المغنتة
Magnetization transfer	انتقال المغنتة
matrix	مصفوفة
MR angiography (MRA)	تصوير الأوعية بالرنين المغناطيسي
MR signal	إشارة الرنين المغناطيسي
multiecho	الصدى المتعدد
multiple overlapping thin slab acquisition (MOTSA)	اكتساب الشرائح الرقيقة ذات التداخل المتعدد
multislice imaging	تصوير الشرائح المتعددة
myocardial iron	حديد عضلة القلب
myocardial perfusion	ضخ عضلة القلب
myocardial perfusion imaging	تصوير عضلة القلب بالرش

N

navigator technique	تقنية الملاحة
net magnetization vector (NMV)	متوجه المغنتة الكامل

number of acquisitions

عدد الاكتسابات

number of excitations (NEX)

عدد الإثارات

O

oral

شفوي أو عن طريق الفم

outer sphere relaxation

استرخاء الكرة الخارجية

outflow effect

تأثير التدفق الخارج

oversampling

أخذ العينات المفرط

P

parallel imaging

التصوير المتوازي

paramagnetic

البارا مغناطيسية

partial Fourier imaging

تصوير فوريير الجزئي

partial volume

الحجم الجزئي

perfusion-weighted imaging (PWI)

التصوير الموزون بالرش (PWI)

permanent magnet

مغناطيس دائم

pharmacokinetic

حركية الدواء

phase

الطور

phase coherence

توافق الطور

phase encoding

تشفير الطور

phase wrapping

التفاف الطور

phase-contrast (PC) angiography

تصوير الأوعية بتباين الطور

pixel

البكسل

polysaccharide

سكريات متعددة

porphyrins

فرفريات

Precession

الدقة

Precession frequency

تردد الدقة

presaturation	التشبع المسبق، ما قبل التشبع
proton	البروتون
proton density (PD)	الكثافة البروتونية

Q

quench	قمع، إخاد
--------	-----------

R

radicals	شقوق، جذور
radiofrequency (RF) coil	ملف ترددات الراديو
radiofrequency (RF) pulse	نبضة ترددات الراديو
radiofrequency absorption	امتصاص ترددات الراديو
Radiofrequency system	نظام ترددات الراديو
receiver bandwidth	عرض أو اتساع مجال المستقبل
receiver coil array	مصفوفة ملف الاستقبال
rectangular field of view	مجال رؤية مربع
relaxation	ترانхи
relaxation time	زمن الترانخي
relaxivity	الاسترخائية
repetition time (TR)	زمن التكرار
resistive magnet	مغناطيس المقاومة
rise time	زمن الصعود

S

safety	أمان
saturation	تشبع
scan time	زمن المسح
Short TI inversion recovery (STIR) T1	الاستعادة العكسية للزمن القصير

signal-to-noise ratio (SNR)	نسبة الإشارة للضوضاء
single-shot fast spin echo (SSFSE)	الصدى المغزلي السريع ذو الطلقة الواحدة
slice thickness	سمك الشرائح
spasmolytic	عامل مهدئ
spatial encoding	التشفيير المكاني
specific absorption rate (SAR)	معدل الامتصاص النوعي
spectral presaturation with inversion recovery (SPIR)	التشبع المسبق الطيفي مع الاستعادة العكسية
spin echo (SE)	الصدى المغزلي
spiral	حلزوني
spiral sequence	تابع حلزوني
spoiling	تخريب
steady-state free precessing (SSFP)	حالة الاستقرار للتقدم الحر
superconducting magnet	مغناطيس فائق التوصيلية
superparamagnetic	فائقة البارا مغناطيسية
Superparamagnetic iron oxide particles (SPIO)	جزيئات أكسيد الحديد فائقة البارا مغناطيسية
surface coil	ملف السطح
susceptibility	القابلية

T

test bolus	اختبار المضخة
three-dimensional (3D)	ثلاثي الأبعاد
Tilted optimized non-saturating excitation (TONE)	الإثارة غير المشبعة المثلالية المائلة

Time-resolved MR angiography	تصوير الأوعية بالتحليل الزمني
tissue contrast	تباین الأنسجة
Tractography	التراكتوغراف (مخطط المסלك)
transverse	المستعرض
tumor	ورم
two-dimensional (2D)	ثنائي الأبعاد

V

Velocity encoding parameter (VENC)	معامل تشفير السرعة
------------------------------------	--------------------

Z

zipper	المنزلق أو السحاب
--------	-------------------

كشاف الم الموضوعات

١١٥	البدء أو الإطلاق الآلي	١
١	البروتون	اختبار المضخة
٤٠	البكسيل	إخماد الدهون
ث		
٦٦	تأثير التدفق الخارج	الاسترجاع مزدوج الانعكاس
١٣	*T ₂	الاسترخاء
١٩٣	التأثيرات الحيوية	الالتقاف
١٥	التبابين	استهداف الأورام
١١٥	T ₁ تباين	إشارة الرنين المغناطيسي
١٣٨،٧٢	*T ₂ تباين	الإطلاق الفلوروسكوبى
١٢٧	تتبع الألياف	التفاف الطور
١٣٧	تحسين متأخر	الانحدار
٤٣	تداخل	انتقال المغنة
١٣	تداعي الاستعراض	الانحلال (التداعي) الحثي الحر
ث		
١٧٧	تدفق	البارامغناطيسية
٣٦،٣٥	T ₁ تراخي	١٤٠

١٢٢	تصوير ثقب المفتاح	١٠	Tراخي T2
١٣٥	تصوير عضلة القلب بالرش	١٢٧	تراكتوجراف
٤٧	تصوير فورير الجزئي	٥	تردد الدقة
١٧٨	تعويض التدفق	٤	تردد لارمور
٥٩	تغليف نشط	٢٢	تشبع
١٢	تفاعل بين مغزل ومجزل	١٧٨، ٢٦	تشبع مسبق
١٣٤	تقنية الملاح	٢٩	تشغير تردد
٩٠	تقنية ديكسون	٣٠	تشغير طور
١٠	توافق الطور	٢٩	تشغير مكاني
١١٥	توقيت المضخة	١١٧، ١٠٠	تصوير الأوعية الدموية
١٨٥، ٨٤	تيارات دوامية	١٢٠	تصوير الأوعية بالتحليل الزمني
ث		١١٩	تصوير الأوعية بتباين الطور
٣٥	ثلاثي الأبعاد		تصوير أوعية الدم الأسود
٣٤	ثنائي الأبعاد	١٧٧	بالرنين المغناطيسي
ج			تصوير الرنين المغناطيسي
١٦١	جزيئات أكسيد الحديد	١٨٩	بالمجال العالى
الف		١٠٥	تصوير السينائي بتباين الطور
١٣٤	حالة الاستقرار للتقدم الحر	٦٧، ٤١	تصوير الشرائح المتعددة
١٨٥	الحجم الجزئي	١٣١	تصوير قلبي
١٧٥	الحركة	١٢١	تصوير موزون بالانتشار
خ		١٢١	تصوير موزون بالرش
١٦٢	خاص بالغدد الليمفاوية	١٠٠	تصوير بالدم الفاتح
		٩٤، ٨١	تصوير بالصدى المستوى
		١٢٤	تصوير بمتوجه الانتشار

١٥٩		خاص بالكبد
١٨٦	خطوط متشابكة أو عظام السمعة	
١٩٦	الخوف من الأماكن المظلمة	
١٥٧	داخل الأوعية	
٢٨	دقة	
٩٠	ديكسون	
١٢٨	رسم الخ	
٢٦	زاوية إرنست	
٢٥	زاوية الانقلاب	
١٨	الزاوية السحرية	
٤٤	زمن الاكتساب	
٦	زمن التكرار	
١٩،١٨	زمن الصدى	
٨٤	زمن الصدى الفعال	
٢٦	زمن العكس أو الانقلاب	
٥٠	شدة المجال المغناطيسي	
٦	شرط الرنين	
٤٠	فائقه البارامغناطيسية	
٩٤،٣٦	الفraig- k	
١٤٠	الفرو مغناطيسية	
١٣٦،٧٠	صدى الانحدار	
٧٩،٧٤	الصدى المتعدد	
٧٨	الصدى المغزلي السريع (التوربيني)	
١٥	الصور الموزونة بـ T1	
١٣٥	ضخ عضلة القلب	
٧٨	طول تتابع الصدى	
٤٩	عدد الإثارات	
٤٠	عرض مجال المستقبل	
٢	عزم زاوي	
٢	عزم مغناطيسي	
١٦٥	غاز عالي القطبية	
١٢٥	غير موحد الخواص	

٨٠	معامل تشفير السرعة	٩	
١٩١	معدل الامتصاص النوعي		
٥٦	مغناطيس	١٨٣ ، ١٤٧	القابلية
٥٧	مغناطيس دائم	١٨٤	قطع (الرنين ، جبس)
٥٧	مغناطيس المقاومة	٥٧	القمع
٥٧	مغناطيس فائق التوصيلية	١٢٧	القيمة - B
٦	مغنته		ك
٥٠	ملف الأنشطة الداخلية	١٥	الكثافة لبروتونية
٥٠	ملف الجسم		ل
٥١	ملف السطح		
٥٠	ملف ترددات الراديو	١٣١	لمان T2
١٨٦	منزلق أو سحاب		م
١٢١	موحد الخواص - متناغم	٦	متوجه المغذة الكامل
٢٢	مزودة بكثافة البروتونات	٤٤	مجال الرؤية
		٣٣	محول فورير
٦	نبضة ترددات الراديو	١١٩	مركز بياضاوي
٩٥	نسبة الإشارة للضوضاء	١٧٥	مشاكل
٦٠	نظام ترددات الراديو	٩٥	مشكلة الالتفاف
		٤٠	مصفوفة
		٤	معادلة لارمور
١٦	T1 وزن بـ	١٢٧	معامل الانتشار الظاهري
١٨ ، ١٥	T2 وزن بـ	١٣٩	معامل التباين
٥٧	وميض	٢٠٠ ، ٩٥	معامل التعجيل
		١٥٧	معامل تباين بركرة الدماء

